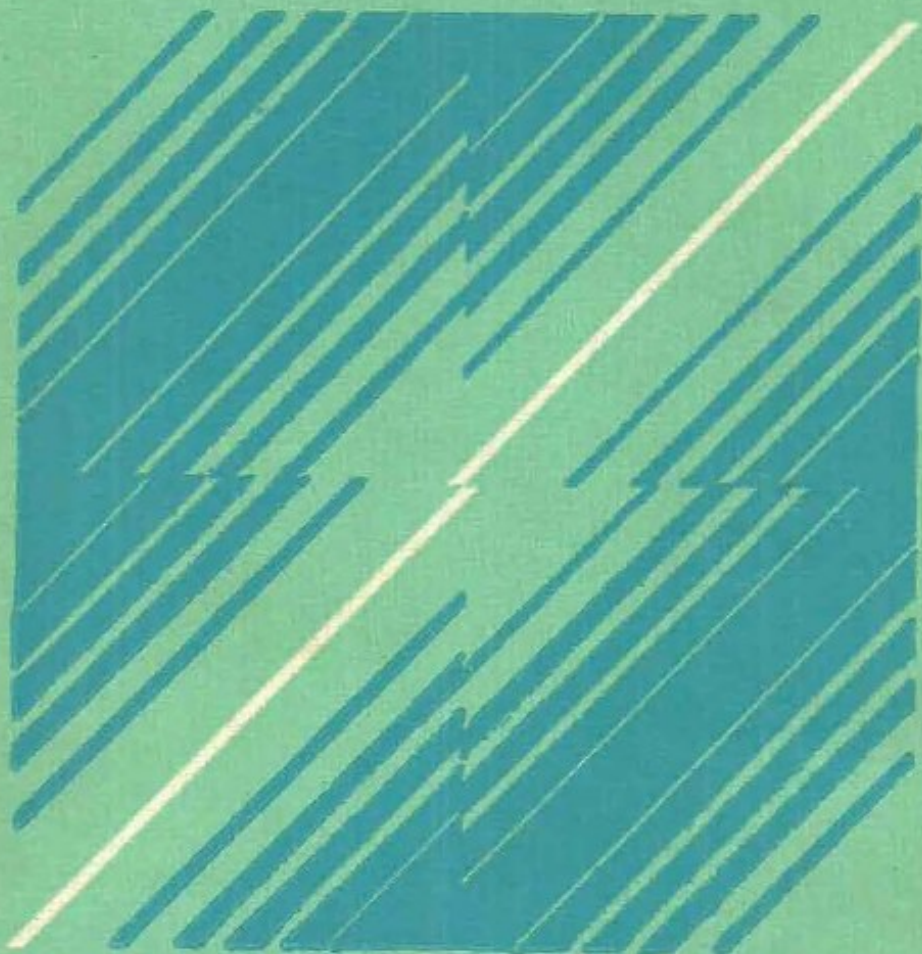


Şunturi și divizoare de tensiune

Gh. Hortopan · Viorica Hortopan



EDITURA TEHNICĂ

Prof. dr. ing. Gheorghe Hortopan

Conf. dr. ing. Viorica Hortopan

Şunturi și divizoare de tensiune



Editura tehnică

Bucureşti 1978

Lucrarea prezintă, într-o manieră originală, probleme teoretice, de calcul, proiectare și utilizare referitoare la convertoarele numite sănturi coaxiale și divizoare de tensiune cu largi posibilități de măsurare și anume : curenți intensi pînă la 500 kA și tensiuni înalte pînă la 10 MV, în condiții de conservare a unei benzi largi de frecvență.

Construcția și funcționarea acestora este fundamentată din punct de vedere teoretic, pe baza criteriilor de calitate preluate din tehnica reglajului automat și anume : timpul de răspuns, timpul de creștere, banda de frecvență. Este dată o clasificare a acestor convertoare de măsură, dată fiind marea varietate a lor, astfel încît să ofere cititorului posibilitatea de a alege pe cel adekvat schemei de încercare sau măsurare pe care trebuie să o realizeze. În cadrul lucrării se analizează și locul sănturilor coaxiale și al divizoarelor de tensiune în scheinele electrice de încercări și interacțiunea cu alte elemente ale schemei.

Lucrarea cuprinde atât o sinteză a experienței actuale pe plan mondial în acest domeniu, cât mai ales contribuții originale ale autorilor rezultate din bogata experiență acumulată pe parcursul a mulți ani de activitate în domeniul măsurării de curenți intensi și tensiuni înalte. Aceste contribuții originale constau în elaborarea unor noi relații de calcul, cum ar fi cele pentru determinarea timpului de creștere, compensarea săntului etc., de noi metode de încercare și instalații de etalonare a acestor convertoare, a numeroase construcții de sănturi și divizoare de tensiune, din care unele sunt brevete și utilizate deja în industria electrotehnică din țară.

Lucrarea este utilă inginerilor și tehnicienilor care lucrează în domeniul electrotehnicii de curenți intensi.

Control științific : Ing. **CHIRIL POPESCU**

Redactor : Ing. **PAULINA DUMITRESCU**

Tehnoredactor : **VALERIU MORĂRESCU**

Coperta : **SIMONA NICULESCU**

Bun de tipar: 18 IV 1978. Coli de tipar: 13

Tiraj: 4 800 + 70 + 20 exemplare legate

C.Z.: 621.317.727.1/3



c. 1517 — I. P. INFORMAȚIA
Str. Brezoianu Nr. 23—25
București

Shunts and voltage dividers

The authors present the reader with an original, scientifical description of the theory, structural analysis and design, as well as use of certain converters called coaxial shunts and voltage dividers ; these have wide measuring ranges and namely : current intensities up to and including 500 kA with voltages up to and including 10 MV, within very wide frequency bands.

The design and operation of such devices are theoretically based on quality criteria borrowed from the automated control technique, i.e. : response time, rise time, frequency band. With an end at helping the reader making the most adequate choice, the authors give a classification of these converters, which is most useful seeing their very wide variety. They also consider the place taken by coaxial shunts and voltage dividers within wiring diagrams for testing purposes, as well as the interactions between these devices and other components of the electric arrangement under consideration.

The work, which is basically a synthesis of the present state-of-the-art at a world-wide level, includes in addition the original contributions of the authors — i.e. the results of more than 15 years of activity in the field of high-current, high voltage measurements. Such contributions are, for instance : new computing relations applied to find the rise time or to compensate the shunt ; new testing methods and calibration arrangements for such converters ; new shunt and voltage divider designs (of which some are patented and already industrially used in the romanian electrical engineering).

From the contents : Criteria to estimate the quality of measuring devices (stepped excitation, sloped excitation, sinewave excitation). Shunts for high-current measurements (two-wire and coaxial shunts). Examples of coaxial shunt designs. Voltage dividers (simple structure of voltage dividers, complex structure of voltage dividers with due consideration given to the propagation phenomenon within the devider). Examples of voltage devider designs. Frequency spectra (stepped, exponential, straight pulse, sloped pulse, voltage standard pulse, post-arc-discharge-current). Arrangements for assessing the performances. Applications to power transformer, circuit-breaker, mutator testing. Interferences in measuring networks. Computations (Appendices).

The book is useful to all engineers and technicians concerned with high-current electrical engineering.

Shunts et diviseurs de tension

Les auteurs abordent d'une façon nouvelle et originale les problèmes théoriques soulevés par le calcul, l'étude et l'emploi des convertisseurs désignés sous le nom de shunts coaxiaux et diviseurs de tension à larges possibilités de mesure : courants forts, jusqu'à 500 kA ; et hautes tensions, jusqu'à 10 MV, à l'intérieur d'une large bande de fréquences.

Le fondement théorique de la construction et fonctionnement de ces dispositifs est constitué par des critères qualitatifs empruntés à la technique de la régulation automatique, à savoir : le temps de croissance, le temps de réponse et la bande des fréquences. Le lecteur peut trouver une classification claire de ces convertisseurs de mesure laquelle, compte tenu de leur grande diversité, lui est très utile pour choisir l'appareil qui répond le mieux aux conditions requises par le montage de mesure ou d'essai qu'il veut réaliser. Dans le même ordre d'idées et aux mêmes fins, il trouvera une analyse servant à déterminer la place que les shunts coaxiaux et les diviseurs de tension doivent occuper dans les montages électriques destinés aux essais, ainsi que l'interaction entre ceux-ci et les autres éléments du montage.

Extraits du contenu : Critères servant à apprécier la qualité des dispositifs de mesure (excitation échelon, excitation en rampe, excitation sinusoïdale). Shunts à mesurer les courants forts (shunt bifilaire, shunt coaxial). Exemples pratiques de shunts coaxiaux. Diviseurs de tension (structure simple des diviseurs de tension, structure complexe des diviseurs de tension, compte tenu du phénomène de propagation à l'intérieur du diviseur). Exemples de réalisations pratiques de diviseurs de tension. Spectres de fréquence (échelon, exponentiel, impulsion droite, impulsion en rampe, impulsion normalisée de tension, courant sinusoïdal coupé, courant post-arc). Installations servant aux essais de performances. Applications à l'essai des transformateurs de puissance, des interrupteurs, des mutateurs. L'interférence, dans les montages de mesure. Annexes servant aux calculs mathématiques.

L'ouvrage est un travail de synthèse, fruit de l'expérience gagnée au niveau de la technique mondiale dans ce domaine, et surtout des contributions originales apportées par les auteurs comme suite à leur activité de plus de 15 ans dans la branche des courants forts et des hautes tensions. Ces contributions originales consistent notamment en : nouvelles relations mathématiques pour calculer, par exemple, le temps de croissance, la compensation du shunt etc. ; nouvelles méthodes et montages d'essai et calibrage de ces convertisseurs ; un grand nombre de constructions de shunts et diviseurs de tension, dont certaines sont brevetées et déjà largement utilisées à l'échelon industriel en Roumanie.

L'ouvrage est destiné aux ingénieurs et techniciens qui s'occupent des courants forts et de leurs applications.

Шунты и делители напряжения

В книге оригинально представлены теоретические проблемы расчета, проектирования и использования конверторов называемых коаксиальными шунтами и делителями напряжения с обширными возможностями измерения: токи до 500 кА и напряжения до 10 Мв, в условиях сохранения широкой полосы частот.

Их конструкция и работа обоснованы теоретически на основе качественных критериев, заимствованных из техники автоматической регулировки: время ответа, скорости роста, полоса частоты. Даня ясная классификация этих измерительных конверторов, вследствие их большой разнообразности, с целью облегчить выбор наиболее соответствующего испытываемой схеме или измерению которое должно производится. В книге рассматривается и место коаксиальных шунтов и делителей напряжения в электрических схемах испытания и их взаимодействие с другими элементами схемы.

Книга содержит синтез современного мирового опыта в этой области, также как и оригинальный вклад авторов на основе богатого опыта накопившегося за многие годы работы в области измерения интенсивных токов и высоких напряжений. Вклад заключается в разработке новых расчетных отношений, таких как например для определения времени роста, компенсации шунта и т.д.; новых методов испытания, установки для эталонирования этих конверторов; многочисленные конструкции шунтов и делителей напряжения, некоторые из которых запатентованы и в настоящее время, используются в электротехнической промышленности Румынии.

СОДЕРЖАНИЕ: Критерии оценки качества измерительных устройств (ступень возбуждения, линейное возбуждение, синусоидальное возбуждение). Шунты для измерения сильных токов (двухпроводные шунты, коаксиальные шунты). Примеры осуществления коаксиальных шунтов. Делители напряжения (простая структура делителей напряжения, сложная структура делителей напряжения, принимая во внимание явление распространения в делителе). Примеры осуществления делителей напряжения. Спектры частоты (ступень, экспоненциал, прямой импульс, стандартный импульс напряжения, прерыванный синусоидный ток, последуговой разрядный ток). Установки для определения возможностей. Применения к испытанию трансформаторов мощности, выключателей, коммутаторов. Интерференция в измерительных схемах. Расчетные приложения.

Книга предназначается для инженеров и техников работающих в области электротехники токов высокого напряжения.

In origineller Weise werden theoretische Fragen, Probleme im Zusammenhang mit der Berechnung, der Projektierung und der Nutzung von Wählern — Messwiderstände und Spannungsteilern — mit weitgehenden Möglichkeiten zur Messung von Starkströmen bis zu 500 kA und Hochspannungen bis zu 10 MV über einen breiten Frequenzbereich behandelt.

Der Bau und die Arbeitsweise dieser Geräte werden theoretisch fundiert, und zwar auf Grund der Qualitätskriterien der automatischen Regeltechnik: Antwortzeit, Anstiegszeit, Frequenzband. Angesichts der großen Mannigfalt dieser Meßwandler wird eine klare Einteilung derselben vorgenommen, die dem Leser die Möglichkeit gibt, das für eine bestimmte Versuchs- oder Meßschaltung geeignete Gerät auszuwählen. Ferner wird die Rolle der Messwiderstände und Spannungsteiler in den elektrischen Versuchsschaltungen und ihr Zusammenwirken mit anderen Teilen der Schaltung beschrieben.

Das Buch faßt die bisherigen weltweiten Ergebnisse auf diesem Gebiet zusammen und enthält vor allem die Originalbeiträge der Autoren, die sich auf deren mehr als fünfzehnjährige Tätigkeit im Bereich der Messung von Starkströmen und Hochspannungen stützen. Diese Beiträge betreffen die Aufstellung neuer Rechenbeziehungen für die Anstiegszeit, den Ausgleich des Messwiderstände u.a., neue Versuchsmethoden und Echanlagen für diese Wandler, den Bau zahlreicher Messwiderstände und Spannungsteiler, die teilweise den Gegenstand von Patenten bilden und in der rumänischen Elektroindustrie angewendet werden.

Aus dem Inhalt: Qualitätskriterien für Meßeinrichtungen (Rechteckerregung, Rampenerregung, Sinuserregung), Messwiderstände zur Messung von Starkströmen (Bifilar-messwiderstand, Koaxialmesswiderstand). Beispiele für den Bau von Koaxialmesswiderständen. Spannungsteiler (einfacher Bau und complexer Bau von Spannungsteilern unter Berücksichtigung der Verbreitung im Teiler). Beispiele für den Bau von Spannungsteilern. Frequenzspektren (Stufen-, Exponential-, Rampen, Standartoss, Nachstrom, geschnittener Sinusstrom). Anlagen zur Ermittlung der Leistungen. Prüfung der Leistungstransformatoren, Abstellschalter und Stromrichter. Interferenz in den Meßschaltungen. Berechnungsanweisungen.

Das Buch ist für Ingenieure und Techniker nützlich, die in der Starkstromindustrie tätig sind.

P r e f a tă

Calitatea echipamentului electrotehnic constituie un factor hotărîtor în procesul creşterii industriale.

În acest sens verificarea performanțelor acestui echipament apare ca o necesitate de prim ordin. Este de la sine înțeles că, prin testarea echipamentului electrotehnic, în faza de elaborare a unui produs nou, de perfecționare a unui produs existent sau de verificare periodică a unui produs asimilat, se urmărește garantarea bunei funcționării în exploatare.

În faza de testare a echipamentului electrotehnic, înregistrarea regimurilor tranzitorii, ce presupun variații rapide de tensiuni și curenți, este necesară. Pentru măsurarea acestor mărimi electrice, convertoarele de uz general, de tipul reductoarelor de curent și de tensiune, nu oferă o soluție satisfăcătoare în ce privește banda de frecvență, timpul de răspuns, timpul de creștere și deci în ce privește comportarea în regim tranzitoriu.

De aceea autorii și-au propus să pună la dispoziția specialiștilor care proiectează, fabrică sau exploatează echipament electrotehnic, ca și studenților din facultățile de profil electric, cunoștințe despre convertoarele numite sunturi și divizoare de tensiune.

Aceste convertoare, care posedă proprietăți de natură a le face apte la măsurarea curenților și tensiunilor în regim tranzitoriu, sînt utilizate pe scară din ce în ce mai mare la încercarea echipamentului electrotehnic (întreruptoare, transformatoare, mutatoare, s. a.), în laboratoare uzinale, în cercetare și în exploatare.

Autorii au considerat că este util, ca pe lîngă aspectele teoretice necesare justificării performanțelor sunturilor și divizoarelor de ten-

siune, să introducă pe cititor în construcția, tehnologia și utilizarea acestor tipuri de convertoare.

În mare măsură relațiile teoretice, soluțiile constructive și metodele experimentale, din care unele brevetate, reprezintă rezultatele activității directe a autorilor în domeniul dezvoltării de instrumente necesare testării echipamentului electrotehnic.

Autorii

C u p r i n s

1. Introducere	13
2. Criterii de apreciere a calității dispozitivelor de măsurare	16
2.1. Excitația treaptă	17
2.1.1. Timpul de răspuns	17
2.1.2. Un exemplu simplu	19
2.1.3. Semnificația fizică a timpului de răspuns	20
2.1.4. Excitația treaptă reprezintă o idealizare	21
2.1.5. Timpul de creștere	22
2.1.6. Alte criterii de calitate bazate pe răspunsul la excitația treaptă	23
2.2. Excitația rampă	24
2.3. Excitația sinusoidală	26
2.3.1. Metoda funcției de variabilă complexă	26
2.3.2. Metoda funcției de transfer	27
2.4. Relația de dependență	28
2.4.1. Relație intre timpul de răspuns și funcția de transfer	29
2.4.2. Timpul de răspuns la sistemele cu defazaj minimal	30
2.4.3. Timpul de răspuns al cuadripolilor în lanț	31
2.4.4. Relația intre timpul de creștere și banda de frecvență	32
2.4.5. Timpul de creștere și banda de frecvență la un lanț de măsurare	35
2.4.6. Caracteristica de frecvență și răspunsul indicial	36
3. Sunturi pentru măsurarea curenților cu variații rapide	41
3.1. Șuntul bifilar	41
3.1.1. Răspunsul conductorului cilindric plin la excitația treaptă de curent	42
3.1.2. Supratensiuni pe rezistențele antiinductive	47
3.2. Șuntul coaxial	48
3.2.1. Soluția aproximativă a răspunsului la excitația treaptă de curent a conductorului tubular	50

3.2.2. Soluția exactă a răspunsului la excitația treaptă de curent a conductorului tubular	52
3.2.3. Comportarea instalației de măsurare în ansamblu	58
3.2.4. Compensarea schemei de măsurare care include un șunt cu pereti subțiri	66
3.2.5. Compensarea schemei de măsurare care include un șunt cu pereti groși	68
3.2.6. Elemente de proiectare	73
4. Divizoare de tensiune	83
4.1. Structura simplă a divizoarelor de tensiune	84
4.1.1. Divizorul capacativ	84
4.1.2. Divizorul mixt, serie, RC	86
4.1.3. Divizorul mixt, paralel, RC	95
4.1.4. Divizorul rezistiv	98
4.2. Structura complexă a divizoarelor de tensiune	99
4.2.1. Divizorul mixt, serie, RC	100
4.2.2. Divizorul mixt, serie RC , simplificat	102
4.2.3. Divizorul rezistiv	103
4.2.4. Divizorul rezistiv, simplificat	104
4.2.5. Divizorul universal	106
4.3. Divizorul de tensiune în lanțul de măsurare	108
4.3.1. Undă reflectată	110
4.3.2. Răspunsul indicial al lanțului de măsurare	111
4.3.3. Timpul de răspuns	114
4.3.4. Un model de calcul pentru timpul de răspuns	116
4.3.5. Cablul coaxial	120
4.4. Exemple de construcții	123
4.4.1. Divizor de tensiune rezistiv pentru 1,6 MV tensiune de impuls . .	124
4.4.2. Divizor mixt, serie RC pentru tensiunea alternativă de 20 kV _{ef}	133
4.4.3. Date suplimentare privind construcția divizoarelor de tensiune	136
5. Spectre de frecvență	138
6. Instalații pentru determinarea performanțelor	146
6.1. Producerea excitației treaptă la încercarea șunturilor coaxiale	146
6.2. Producerea excitației treaptă la încercarea divizoarelor de tensiune . .	149
6.3. Determinarea caracteristicii de frecvență a divizoarelor de tensiune . .	150
6.4. Determinarea timpului de creștere	152

7. Citeva aplicații	154
7.1. Încercarea la impuls de tensiune a transformatoarelor	154
7.2. Măsurarea tensiunii de arc electric, a tensiunii de restabilire și a curentului postarc	156
7.3. Măsurarea curenților în circuitele mutatoarelor	159
 8. Interferențe în circuitul de măsurare	 161
8.1. Detectarea unei interferențe	161
8.2. Efectul trecerii unui curent de interferență prin ecranul cablului coaxial	162
8.3. Metode pentru eliminarea interferenței	164
Anexe	166
<i>Bibliografie</i>	203

Notății principale

- i, u, e — valori instantanee
 I, U, E — valori efective
 $\hat{I}, \hat{U}, \hat{E}$ — valori de virf
 $L, \underline{U}, \underline{E}$ — fazori
 \mathbf{H} — intensitatea cimpului magnetic, vector
 \mathbf{J} — densitatea de curent, vector
 \mathbf{E} — intensitatea cimpului electric, vector
 $\underline{u} = \hat{U} e^{j(\omega t + \phi)}$ — reprezentare în complex nesimplificată
 Z — impedanță, modul
 Z_c — impedanță complexă
 \hat{Z} — impedanță operațională
 $\mathcal{F}(p)$ — transformata Laplace (imagine)
 $\mathcal{L}^{-1}[\mathcal{F}(p)]$ — transformata inversă Laplace (original)
 $\mathcal{U}(p)$ — funcția de transfer
 $\mathcal{G}(p)$ — funcția de transfer normată
 $\underline{G}(j\omega)$ — răspunsul în frecvență
 $\operatorname{Re} [\underline{G}(j\omega)]$ — partea reală
 $\operatorname{Im} [\underline{G}(j\omega)]$ — partea imaginară
 $f(t)$ — răspunsul indicial
 $g(t)$ — funcția pondere
 T_r — timpul de răspuns
 T_{cr} — timpul de creștere

1. Introducere

În tehnica măsurărilor există numeroase situații în care este necesar a se măsura mărimi electrice cu variații rapide în timp. De multe ori aceste mărimi au caracter singular, adică sunt nerepetitive. Astfel de mărimi electrice sunt caracterizate de prezența unui spectru de frecvență larg, în care frecvențe de ordinul MHz sunt prezente.

În același timp, mărimile electrice ce se măsoară ajung la valori extreme. Astfel, este ușual a se măsura tensiuni de ordinul kV sau MV și intensități de curent de ordinul zecilor de kA.

Traductoarele de măsurare uzuale — transformatoarele de tensiune și de curent — nu pot fi utilizate la măsurarea mărimilor electrice în regim tranzitoriu din cauză că ele reprezintă sisteme neliniare, care, în cele din urmă, limitează banda frecvențelor de trecere. Astfel, transformatoarele de curent au neajunsul de a nu transmite componenta de curent continuu a curentului de scurt-circuit și de a limita banda de frecvență numai la cîteva sute de Hz. Un transformator de tensiune nu poate fi utilizat la măsurarea tensiunii tranzistorii de restabilire a unui întreruptor de putere, iar un transformator de curent nu poate fi folosit la măsurarea capacitații de conectare și de deconectare a întreruptorului. De asemenea, la măsurarea curentilor și tensiunilor ce există în circuitele de comutație statică cu semiconductoare se exclude atât utilizarea transformatoarelor de măsură, cît și a șunturilor uzuale de curent continuu.

Drept consecință, pentru măsurarea mărimilor electrice cu variații rapide în timp este necesar a se utiliza dispozitive convertoare care să ofere, la ieșire, un semnal de măsură cît mai fidel față de semnalul de intrare. Asemenea dispozitive de măsură sunt șunturile coaxiale și divizoarele de tensiune. Pentru aceste dispozitive de măsurare, în vederea aprecierii preciziei măsurării, ideea con-

vențională a clasei de precizie nu mai are semnificație; noi criterii de apreciere a preciziei măsurării trebuie stabilite.

Progresele obținute în domeniul teoriei sistemelor și a reglajului automat, în ultimul timp, oferă noi posibilități de apreciere a calității dispozitivelor de măsurare. Acestea se consideră a fi sisteme liniare, pasive, iar proprietățile lor decurg din analiza mărimilor de excitare a sistemului și a răspunsului primit la excitarea dată. În consecință, aprecierea calității unui dispozitiv de măsurare se face pe baza timpului de răspuns, a timpului de creștere, în cazul excitării treaptă și pe baza caracteristicii de frecvență, în cazul excitării sinusoidale. În aprecierea răspunsului, indiferent dacă excitarea este treaptă sau sinusoidală, un rol important îl are funcția de transfer, care descrie convenabil proprietățile dispozitivului de măsurare.

La măsurarea curenților intenși, în regim tranzitoriu, cu ajutorul șuntului coaxial, acesta este solicitat termic și electrodinamic, ceea ce constituie aspecte importante în calculele de dimensionare. Cu ajutorul unui șunt coaxial compensat se pot măsura curenții postarc ce apar la deconectarea întreruptoarelor de putere, într-o bandă de frecvență de ordinul 1 MHz. Este necesar ca performanțele unui asemenea șunt să poată fi calculate teoretic și verificate experimental printr-o metodă, ca de exemplu, a timpului de răspuns.

La măsurarea tensiunii oscilante de restabilire, a tensiunii de arc electric — fenomene ce apar la încercarea aparatelor de comutăție — și la încercarea cu impuls de tensiune a echipamentului electric, divizorul de tensiune este solicitat din punct de vedere dielectric, iar unele componente din punct de vedere termic. și la acest tip de măsurări, garanția preciziei de măsurare se asigură prin încercarea divizorului de tensiune cu ajutorul unor instalații complexe, capabile să producă fie excitare treaptă de tensiune, fie o excitare sinusoidală de frecvență variabilă, în scopul determinării caracteristicii de frecvență.

Caracteristic tehnicii măsurărilor, în regim tranzitoriu, cu ajutorul șunturilor și a divizoarelor de tensiune este faptul că asemenea măsurări se efectuează cu un pol al dispozitivului de măsurare conectat la pămînt.

Dispozitivele de măsurare menționate sunt plasate în stații de încercări, laboratoare sau direct în rețele de înaltă sau joasă tensiune

Această așezare pune dispozitivele de măsurare sub influența unor cîmpuri electromagnetice, ce cauzează interferența semnalului util cu semnale perturbatoare. Metode și mijloace de a scoate semnalul util de sub interferența cîmpurilor electromagnetice externe sănt cu atît mai necesare cu cît aceste cîmpuri sănt mai intense.

Stăpinirea tehnicii măsurărilor mărimilor cu variații rapide presupune elucidarea teoretică a proceselor tranzitorii ce au loc în dispozitivele de măsurare folosite, ca și cunoștințe de tehnologie ce vizează realizarea practică a acestor dispozitive. De aceea, în lucrare, alături de calculații, care descriu cantitativ fenomene tranzitorii, se află și unele date constructive asupra șunturilor coaxiale și divizoarelor de tensiune, ca și scheme de montaj, utile în tehnica măsurărilor.

2. Criterii de apreciere a calității dispozitivelor de măsurare

Dispozitivul de măsurare fiind considerat un *sistem*, aprecierea calității lui se face pe baza *răspunsului* la o *excitație* dată. Răspunsul se mai numește și *semnal de ieșire*, iar excitația se mai numește și *semnal de intrare*. În fig. 2.1 se prezintă schematic un dispozitiv de măsurare *DM* privit ca sistem liniar, pasiv cu mărimele de intrare $a_i(t)$ și ieșire $a_e(t)$. Comportarea în regim tranzitoriu a unui asemenea sistem poate fi descrisă de relația generală

$$\sum_{k=0}^n A_k \frac{d^k}{dt^k} [a_e(t)] = \sum_{q=0}^m B_q \frac{d^q}{dt^q} [a_i(t)], \quad (2.1)$$

în care $m \leq n$.

Sub o formă generală, în regim tranzitoriu, se poate aprecia eroarea sistemului de măsurare, la un timp dat, cu relația

$$\varepsilon(t) = K a_i(t) - a_e(t), \quad (2.2)$$

$$\text{în care : } K = \left. \frac{a_e(t)}{a_i(t)} \right|_{t \rightarrow \infty} = \frac{a_{e\infty}}{a_{i\infty}}.$$

Factorul K poate deveni adimensional numai dacă $a_i(t)$ și $a_e(t)$ sunt mărimi de aceeași natură.

Din punct de vedere aplicativ, în tehnica măsurărilor, importantă au următoarele tipuri de excitații :

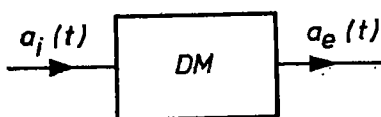


Fig. 2.1. Dispozitivul de măsurare ca sistem.

a) *excitația treaptă*, căreia îi corespunde drept criteriu de calitate *timpul de răspuns* și *timpul de creștere* ;

b) *excitația sinusoidală*, căreia îi corespunde, drept criteriu de calitate, *caracteristica de frecvență*.

2.1. Excitația treaptă

La aplicarea excitației treaptă la intrarea într-un sistem de măsurare, în relația (2.2) rezultă că :

— mărimea de intrare este nulă înainte de $t=0$ și are o valoare constantă pentru $t>0$, adică

$$a_i(t) = A_i ; \quad (2.3)$$

— factorul de amplificare sau reducere este

$$K = \frac{a_e(t)}{a_i(t)} \Big|_{t \rightarrow \infty} = \frac{a_{e\infty}}{A_i} ; \quad (2.4)$$

— eroarea de măsurare, pentru fiecare valoare a lui $t>0$, este

$$\varepsilon(t) = a_{e\infty} - a_e(t), \quad (2.5)$$

adică diferența dintre valoarea stabilizată și cea curentă a răspunsului.

2.1.1. Timpul de răspuns

Timpul de răspuns, prin definiție, este integrala extinsă la infinit a erorii $\varepsilon(t)$, raportată la valoarea stabilizată a mărimii la ieșirea din sistemul de măsurare, adică

$$T_r = \frac{1}{a_{e\infty}} \int_0^\infty [a_{e\infty} - a_e(t)] dt. \quad (2.6)$$

Dispozitivele de măsurare practice sunt sisteme fizice a căror mărime de ieșire, la timpul infinit de la inițierea excitației, capătă o valoare constantă, adică $a_{e\infty} = \text{const.}$ În aceste condiții notind *răspunsul indicial*, sau funcția indicială cu

$$f(t) = \frac{a_e(t)}{a_{e\infty}}, \quad (2.7)$$

expresia timpului de răspuns se mai poate scrie sub forma

$$T_r = \int_0^\infty [1 - f(t)] dt. \quad (2.8)$$

Calculul analitic al răspunsului indicial prezintă importante dificultăți în cazul dispozitivelor de măsurare cu o structură mai complexă. În principiu, funcția răspuns se calculează prin soluționarea ecuației (2.1) în raport cu mărimea de ieșire, utilizând transformarea Laplace. Soluția în imagine se obține fără dificultate, dar adevărata dificultate apare la determinarea funcției originale. Se poate ocoli această dificultate observind că timpul de răspuns se mai poate calcula cu relația

$$T_r = -\mathcal{G}'(0), \quad (2.9)$$

în care $\mathcal{G}'(0)$ reprezintă derivata funcției de transfer normate

$$\mathcal{G}(0) = \lim_{p \rightarrow 0} \mathcal{G}(p). \quad (2.10)$$

Funcția de *transfer normată* $\mathcal{G}(p)$ rezultă din împărțirea funcției de transfer $\mathcal{H}(p)$ cu factorul de amplificare (sau reducere), adică

$$\mathcal{G}(p) = \frac{\mathcal{H}(p)}{K} = \frac{\mathcal{L}a_e(t)}{K\mathcal{L}a_i(t)}. \quad (2.11)$$

Factorul K de amplificare (sau reducere) se determină cu expresia

$$K = \mathcal{H}(0) = \lim_{p \rightarrow 0} \mathcal{H}(p),$$

cu condiția ca această limită să aibă o valoare finită.

În adevăr, $\mathcal{H}(p)$ conține atât caracteristica amplitudine-frecvență, cât și caracteristica fază-frecvență. Dacă $p \rightarrow 0$ și $(\omega = 2\pi f) \rightarrow 0$, deci $\mathcal{H}(0)$ reprezintă amplitudinea lui $\mathcal{H}(p)$ pentru $f \rightarrow 0$. În acest caz $\lim_{p \rightarrow 0} \mathcal{G}(p) = 1$, în acord cu relația (2.13).

La rezultatul dat de relația (2.9) se ajunge prin scrierea ecuației timpului de răspuns (2.6) sub forma

$$T_r = -\frac{1}{KA_i} \int_0^\infty [a_e(t) - KA_i] dt. \quad (2.12)$$

Integralul din relația (2.12) se aduce la o formă convenabilă, prin transformări succesive, după cum urmează :

$$I = \int_0^\infty [a_e(t) - KA_i] dt = \lim_{p \rightarrow 0} \int_0^\infty e^{-pt} [a_e(t) - KA_i] dt.$$

Cu notățiile :

$$\mathcal{L}a_e(t) = \mathcal{A}_e(p); \quad \mathcal{L}KA_i = \frac{KA_i}{p},$$

se obține

$$I = \lim_{p \rightarrow 0} \left[\mathcal{A}_e(p) - \frac{KA_i}{p} \right] = \lim_{p \rightarrow 0} KA_i \left[\frac{\mathcal{A}_e(p)}{KA_i} - \frac{1}{p} \right].$$

Dacă se observă că

$$\frac{\mathcal{A}_e(p)}{KA_i} = \frac{\mathcal{G}(p)}{p} \text{ și că } \mathcal{G}(0) = 1,$$

integrantul devine

$$I = KA_i \lim_{p \rightarrow 0} \frac{\mathcal{G}(p) - \mathcal{G}(0)}{p} = KA_i \mathcal{G}'(0).$$

Se constată, că $\mathcal{G}(0)=1$ prin următorul raționament, ținind seama și de relația (2.4),

$$a_{e\infty} = a_e(t) = \lim_{t \rightarrow \infty} p \mathcal{A}_e(p) = KA_i \lim_{p \rightarrow 0} \mathcal{G}(p) = KA_i. \quad (2.13)$$

Expresia (2.13) introdusă în relația (2.12) conduce la relația (2.9).

2.1.2. Un exemplu simplu

Pentru sistemul de măsurare din fig. 2.2 format din inductivitatea L și rezistența R , se cere să se determine timpul de răspuns la excitația treaptă. Mărimea

de intrare este $a_i = U$, mărimea de ieșire este $a_e = u = Ri$, unde i este curentul care trece prin circuit la aplicarea excitației treaptă. Constanta de timp a circuitului este $T = L/R$. Tensiunea la ieșire este

$$u = Ri = U(1 - e^{-t/T}). \quad (2.14)$$

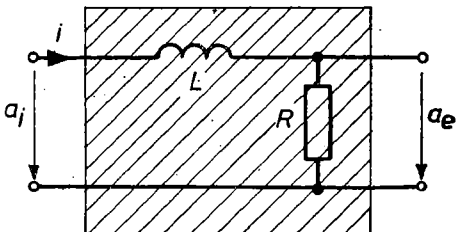


Fig. 2.2. Un exemplu simplu de sistem de măsurare.

Timpul de răspuns se calculează cu ajutorul relației (2.8)

$$T_r = \int_0^\infty [1 - (1 - e^{-t/T})] dt = T = L/R.$$

Același timp de răspuns se obține cu ajutorul relației (2.9)

$$\mathcal{R}(p) = \frac{\mathcal{L}[U(1 - e^{-t/T})]}{\mathcal{L}U} = \frac{1}{1 + pT}.$$

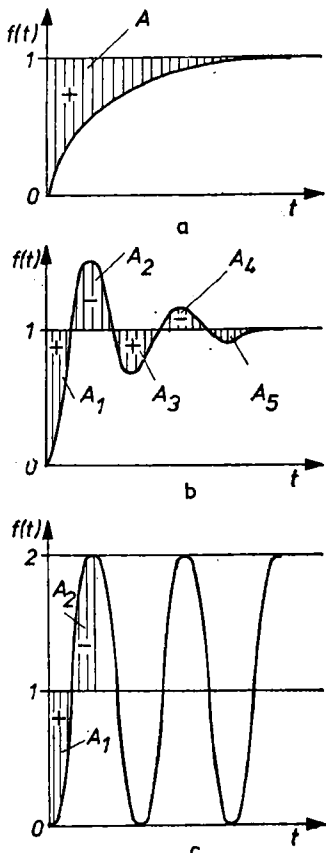


Fig. 2.3. Tipuri reprezentative de funcții indiciale :

a – răspuns aperiodic; b – răspuns oscilant amortizat; c – răspuns oscilant neamortizat.

Factorul de amplificare $K = 1$, și deci $\mathcal{R}(p) = \mathcal{G}(p)$; rezultă astfel

$$T_r = -\left. \frac{\mathcal{G}'(p)}{p} \right|_{p=0} = -\frac{-T}{(1+pT)^2} \Big|_{p=0} = T.$$

Se observă deci că, în cazul în care răspunsul este o funcție exponentială, timpul de răspuns este egal cu constanta de timp a sistemului.

2.1.3. Semnificația fizică a timpului de răspuns

În fig. 2.3 se prezintă trei tipuri reprezentative de răspunsuri la excitația treaptă pentru un sistem de măsurare descris de o ecuație diferențială de ordinul doi. Pentru răspunsul indicial de tip *aperiodic*, din fig. 2.3 a, timpul de răspuns este pozitiv și reprezintă aria hașurată A , sub ordonata 1.

Pentru răspunsul indicial de tip *oscilant amortizat*, din fig. 2.3, b, timpul de răspuns este dat de suma algebrică a ariilor de sub și deasupra ordonatei 1, adică

$$T_r = \sum_{k=1}^n A_k = A_1 - A_2 + A_3 - A_4 + A_5. \quad (2.15)$$

Pentru răspunsul indicial de tip *oscilant neamortizat*, din fig. 2.3, c, se

constată că timpul de răspuns este zero, deoarece aria pozitivă A_1 se compensează cu aria negativă A_2 și. a. m. d.

Cum calitatea unui dispozitiv de măsurare se apreciază după valoarea timpului de răspuns, care din punct de vedere dimensional este un timp, rezultă că *un dispozitiv de măsurare este de calitate cu atât mai bună cu cît timpul de răspuns este mai mic*. Acest raționament este valabil pentru răspunsul de tipul prezentat în fig. 2.3, a, în care unui timp de răspuns redus îi corespunde o arie A mică, adică în valori instantanee semnalul de ieșire se apropie de cel de intrare.

Aprecierea calității unui dispozitiv de măsurare, după criteriul timpului de răspuns, dacă răspunsul este de tipul *oscilant amortizat*, ca în fig. 2.3, b sau *oscilant neamortizat*, ca în fig. 2.3, c, nu are sens. În adevăr, timpul de răspuns al unui dispozitiv de măsurare cu răspunsul indicial din fig. 2.3, c are valoarea zero, dar este clar că acest dispozitiv de măsurare prezintă, la ieșire, un semnal puternic deformat față de cel de la intrare. În tehnica încercărilor experimentale se poate admite, în vederea stabilirii timpului de răspuns, și un răspuns *oscilant puternic amortizat*, caz în care oscilația să nu depășească (spre exemplu) 0,05 din valoarea stabilizată.

2.1.4. *Excitația treaptă reprezintă o idealizare*

În tehnica experimentală, semnalul treaptă aplicat la intrarea în dispozitivul de măsurare este de fapt o rampă, ca în fig. 2.4, unde amplitudinea unitară este atinsă după timpul τ . La dispozitive realizate, timpul τ variază între 0,1 și 10 ns, în funcție de calitatea dispozitivului și scopul urmărit în experimentare. Dacă timpul de răspuns intrinsec al sistemului este, de exemplu, cu două ordine de mărime mai mare decât timpul τ al rampei, în aprecierea timpului de răspuns al dispozitivului de măsură nu apar erori mari. Dacă dimpotrivă timpul de răspuns intrinsec este comparabil cu timpul τ al rampei este necesară o corecție [13].

Timpul de răspuns măsurat pe o oscilogramă obținută la un sistem excitat cu *rampă*, ca în fig. 2.4, este evident mai mare decât timpul de răs-

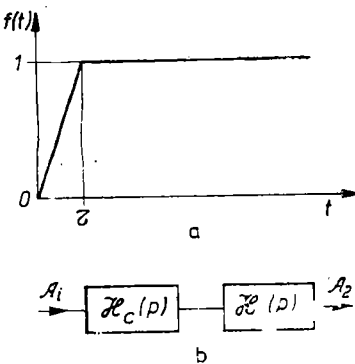


Fig. 2.4. Un semnal rampă :
a – diagrama semnalului ; b – două sisteme în serie.

puns intrinsec, care s-ar obține prin excitația treaptă. În condiția excitației rampă, sistemul de măsurare, care include și generatorul de excitație, are o funcție de transfer echivalentă de forma

$$\mathcal{H}_e(p) = \mathcal{H}_c(p) \cdot \mathcal{H}(p), \quad (2.16)$$

unde $\mathcal{H}(p)$ este funcția de transfer intrinsecă a sistemului și $\mathcal{H}_c(p)$ este o funcție de transfer de corecție, care are ca expresie

$$\mathcal{H}_c(p) = \frac{1 - e^{-pt}}{tp}. \quad (2.17)$$

Demonstrațiile relațiilor (2.16) și (2.17) sunt date în anexa 9.1.

Utilizând o teoremă din teoria reglajului automat, prin care se arată că funcția de transfer a două sisteme în lanț este egală cu produsul funcțiilor de transfer, iar timpul de răspuns al celor două sisteme în lanț este egal cu suma timpilor de răspuns, în condiții restrictive [21], se poate determina timpul de răspuns intrinsec din măsurarea timpului de răspuns pe oscilograma obținută la excitația sistemului cu o rampă cunoscută. Din relația (2.17) se calculează timpul de răspuns al sistemului care are funcția de transfer $\mathcal{H}_c(p)$ și se obține $T_{rc} = \tau/2$. În practica măsurărilor, acest timp se scade din timpul de răspuns măsurat pe o oscilogramă, pentru a obține timpul de răspuns intrinsec al sistemului de măsurare.

Notă. Intuitiv, se observă că dispozitivul de producerea rampei poate fi considerat ca fiind un sistem excitat cu semnalul treaptă și care are drept răspuns semnalul rampă; din fig. 2.4, a se observă direct că timpul de răspuns al acestui sistem este $\tau/2$.

2.1.5. Timpul de creștere

Timpul de creștere reprezintă un criteriu de calitate pentru un dispozitiv de măsurare, în cazul în care se cunoaște răspunsul la excitația treaptă și în cazul în care

acest răspuns este de tip aperiodic, ca în fig. 2.5. Timpul de creștere este timpul necesar creșterii răspunsului indicial de la valoarea 0,1 la valoarea 0,9.

Avantajul de a cunoaște timpul de creștere al unui dispozitiv de măsurare constă în aceea că nu este necesar a preciza originea timpului pentru răspunsul indicial, cum este necesar în cazul determinării timpului de răspuns, ca în fig. 2.3. Înregistrarea fenomenelor ultrarapide se

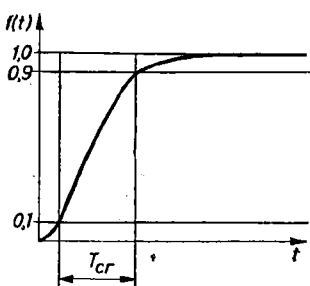


Fig. 2.5. Relativ la definiția timpului de creștere.

face cu ajutorul oscilografelor de tip sincroscop, la care fenomenul declanșează baza de timp, înainte ca el să apară pe ecran. Dificultăți mari apar, folosind această tehnică de înregistrare, la precizarea originii timpului mai ales pentru răspunsuri caracterizate prin valoarea zero, în origine, a fenomenului cercetat. Pentru oscilografele moderne se dău valori atât pentru banda de fecvență cât și pentru timpul de creștere.

2.1.6. Alte criterii de calitate bazate pe răspunsul la excitația treaptă

În afară de criteriul timpului de răspuns și al timpului de creștere s-au mai propus [22] și alte criterii de calitate urmărindu-se să se sensibilizeze prezența erorii ca durată, ca valoare absolută, ca semn, ca amortizare. Cu toate că în *tehnica măsurătorilor curente* a fenomenelor cu variații rapide aceste criterii sunt mai puțin utilizate, o prezentare a acestor criterii poate trezi interes pentru aplicații în cazuri speciale.

Criteriul timpului de răspuns ponderat. Acesta este definit de relația

$$T_{rp} = \frac{1}{a_{\infty}} \int_0^{\infty} \varepsilon(t) \cdot t \cdot dt = \int_0^{\infty} [1 - f(t)] \cdot t \cdot dt. \quad (2.18)$$

Acest criteriu sensibilizează efectul duratei erorii, adică valoarea T_{rp} rezultă cu atit mai mare cu cit eroarea se menține mai mult timp. Din punct de vedere dimensional T_{rp} reprezintă un timp la pătrat. Criteriul (2.18) prezintă interes pentru răspunsuri de tip aperiodic și este neconcludent în cazul răspunsurilor puțin amortizate cind se pot obține valori reduse ale timpului de răspuns ponderat.

Criteriul valorii absolute a timpului de răspuns. Acest criteriu este definit de relația

$$T_{ra} = \frac{1}{a_{\infty}} \int_0^{\infty} |\varepsilon(t)| dt = \int_0^{\infty} |[1 - f(t)]| dt \quad (2.19)$$

și scoate în evidență amortizarea răspunsului. În acest caz, pentru un răspuns oscilant de tipul celui din fig. 2.3, b, valoarea absolută a timpului de răspuns este sensibil mai mare decit valoarea timpului de răspuns din relația (2.6), iar în fig. 2.3, b, rezultă a fi suma ariilor, adică $T_{ra} = A_1 + A_2 + A_3 + A_4 + \dots$

Criteriul erorii pătratice este potrivit pentru a scoate în evidență prezența oscilațiilor. Acest criteriu are drept expresie

$$T_{\tau\varepsilon^2} = \int_0^\infty [\varepsilon(t)]^2 \cdot dt = \int_0^\infty [1 - f(t)]^2 dt. \quad (2.20)$$

Erorile pozitive ca și cele negative sunt ridicate la pătrat și de aceea aportul ultimelor oscilații nu ieșe în evidență. Ca urmare, la folosirea acestui criteriu, ieșe în evidență rapiditatea răspunsului în detrimentul amortizării.

Criteriul timpului de răspuns ponderat absolut are drept expresie

$$T_{rpa} = \int_0^\infty |\varepsilon(t)| \cdot t \cdot dt = \int_0^8 |[1 - f(t)]| \cdot t \cdot dt \quad (2.21)$$

și evidențiază gradul de amortizare în mod mai pregnant decit alte criterii, deoarece se efectuează integrala în timp a produsului între valoarea absolută a erorii și timp.

2.2. Excitația rampă

La încercarea dispozitivelor de măsurare-divizoare de tensiune – pentru determinarea timpului de răspuns este dificil de generat excitația treaptă de tensiune și de aceea se preferă a se încerca dispozitivul excitându-l cu un semnal rampă, desenat în fig. 2.6, și care are expresia

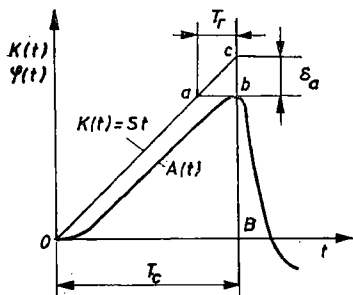


Fig. 2.6. Excitația rampă.

$$K(t) = St, \quad 0 < t < T_c; \quad (2.22)$$

$$K(t) = 0, \quad t < 0; \quad t > T_c.$$

Acest semnal este tăiat la timpul T_c . Răspunsul dispozitivului de măsurare la această excitație este notat cu $A(t)$.

Pe fig. 2.6, printr-o construcție geometrică simplă – se duce o paralelă cu axa timpului din maximul răs-

punsului $A(t)$ pînă la intersecția cu $K(t)$ — se poate determina timpul de răspuns T_r , corespunzător excitării treaptă. Din eroarea relativă δ_{ar} se poate deduce timpul de răspuns T_r la excitărea treaptă cu relația

$$T_r = \delta_{ar} T_c. \quad (2.23)$$

În adevăr, dacă $f(t)$ este răspunsul indicial la excitărea treaptă, cu ajutorul integralei Duhamel scrisă sub forma

$$A(t) = K(0)f(t) + \int_0^t K'(t-\tau)f(\tau)d\tau, \quad (2.24)$$

unde $K'(t-\tau) = K'(t) = S$, se obține răspunsul la excitărea rampă

$$A(t) = S \int_0^t f(\tau)d\tau.$$

Eroarea relativă, în momentul T_c al tăierii undei, este dată de expresia

$$\delta_{ar} = \frac{ST_c - S \int_0^{T_c} f(\tau)d\tau}{ST_c} = \frac{\int_0^{T_c} [1-f(\tau)]d\tau}{T_c}. \quad (2.25)$$

În practica experimentală, oscilațiile răspunsului indicial $f(t)$ se amortizează înaintea timpului de tăiere T_c astfel că se poate scrie

$$\int_0^{\infty} [1-f(\tau)]d\tau = \int_0^{T_c} [1-f(\tau)]d\tau = T_r \quad (2.26)$$

și ca urmare din relația (2.25) se obține relația (2.23) pentru timpul de răspuns. Din triunghiurile asemenea abc și OcB rezultă :

$$\bar{ab} = \bar{OB} \cdot \bar{cb}/\bar{cB} = T_c ST_r/(ST_c) = T_r,$$

ceea ce este identic cu relația (2.23).

2.3. Excitația sinusoidală

Criteriul răspunsului unui dispozitiv de măsurare la o excitație sinusoidală de frecvență variabilă oferă, uneori, informații mai concluzioane, mai ales pentru sistemele oscilante, decât criteriul timpului de răspuns la excitația treaptă. Răspunsul la excitația sinusoidală de frecvență variabilă se numește și *caracteristica de frecvență* și include *amplitudinea* și *faza* semnalului răspuns.

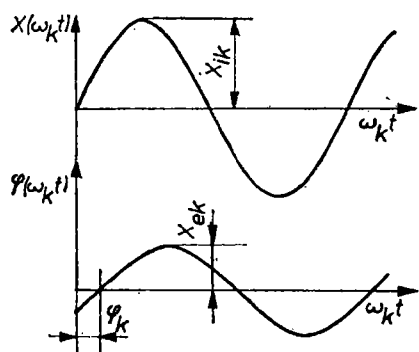


Fig. 2.7. Relativ la caracteristica de frecvență.

Spre exemplu, dacă ecuația (2.1) se restrângă la o ecuație diferențială de ordinul doi de formă

$$a \frac{d^2u}{dt^2} + b \frac{du}{dt} + cu = au_0, \quad (2.27)$$

este necesar a se afla variabila u_k pentru pulsătia ω_k . În cazurile practice, nu se rezolvă ecuația diferențială, ci se recurge la metoda funcției de variabilă complexă sau la metoda funcției de transfer.

2.3.1. Metoda funcției de variabilă complexă

Dacă dispozitivul de măsurare este un sistem liniar și pasiv, se demonstrează [21] că răspunsul va fi tot o mărime sinusoidală. Dacă excitația u_0 din relația (2.27) este de formă sinusoidală, adică dacă

$$u_0 = \hat{U}_0 \sin \omega_k t \text{ sau } \underline{u}_0 = \hat{U}_0 e^{j\omega_k t}, \quad (2.28a)$$

răspunsul va fi de forma

$$u_k = \hat{U}_k \sin (\omega_k t + \varphi) \text{ sau } \underline{u}_k = \hat{U}_k e^{j(\omega_k t + \varphi)}. \quad (2.28b)$$

Cu expresiile pentru u_0 și u_k introduse în (2.27) scrisă sub formă complexă se obține

$$\frac{\hat{U}_k}{\hat{U}_0} e^{j\varphi_k} = \frac{1}{(j\omega_k)^2 + \frac{b}{a} j\omega_k + \frac{c}{a}}. \quad (2.29)$$

Amplitudinea \hat{U}_0 se menține constantă la orice pulsăcie; se constată însă că raportul amplitudinilor \hat{U}_k/\hat{U}_0 , ca și unghiul de defazaj φ_k depind de pulsăcia ω_k . Partea dreaptă a relației (2.29) este o funcție de variabilă complexă de forma $\alpha_k + j\beta_k$. Raportul între modulele de ieșire și intrare este $\hat{U}_k/\hat{U}_0 = \sqrt{\alpha_k^2 + \beta_k^2}$. Defazajul între semnalul de ieșire și cel de intrare rezultă $\operatorname{tg} \varphi_k = \beta_k/\alpha_k$.

2.3.2. Metoda funcției de transfer

Utilizarea funcției de transfer oferă o cale rapidă și comodă pentru determinarea caracteristicii de frecvență a unui dispozitiv de măsurare, cu condiția ca el să reprezinte un sistem liniar. Prin aplicarea transformatei Laplace ecuației generale (2.1) și *cu condiții inițiale nule*, pentru imaginea mărimii de ieșire se obține

$$\mathcal{A}_e(p) = \frac{\sum_{q=0}^m B_q p^q}{\sum_{k=0}^n A_k p^k} \mathcal{A}_i(p), \quad (2.30)$$

cu notațiile $\mathcal{L}a_e(t) = \mathcal{A}_e(p)$ și $\mathcal{L}a_i(t) = \mathcal{A}_i(p)$.

Funcția de transfer a dispozitivului de măsurare descrie comportarea dinamică a sistemului și are ca expresie

$$\mathcal{H}(p) = \frac{\sum_{q=0}^m B_q p^q}{\sum_{k=0}^n A_k p^k} = \frac{\mathcal{B}(p)}{\mathcal{S}(p)}. \quad (2.31)$$

Pentru valori nule ale mărimilor de intrare și ieșire, la $t > 0$, transformatele Laplace și Fourier sunt echivalente, iar p ia numai valori imaginare, adică $p = j\omega$. În aceste condiții, caracteristica de frecvență este descrisă de ecuația

$$\underline{H}(j\omega) = \frac{B_m(j\omega)^m + \dots + B_0}{A_n(j\omega)^n + \dots + A_0} \quad (2.32)$$

sau după separarea modulului și argumentului

$$\underline{H}(j\omega) = H(\omega)e^{-j\varphi(\omega)}. \quad (2.33)$$

Caracteristica de frecvență este descrisă, ca modul și fază, cu ajutorul caracteristicilor logaritmice a lui Bode sau a locului de transfer a lui Nyquist [21].

Funcțiile de transfer corespunzătoare dispozitivelor de măsurare, cum sunt divizoarele de tensiune, nu conțin zerouri cu parte reală pozitivă, deci satisfac condițiile unui sistem cu *defazaj minimal*, condiții stabilite de Bode [6]. Ca urmare, astfel de dispozitive de măsurare sunt definite complet numai prin *caracteristica de frecvență a amplitudinii*. Pentru cazurile practice, se definește o bandă de frecvență a dispozitivului de măsurare pentru care atenuarea amplitudinii mărimii la ieșire nu depășește un număr dat de dB, în mod ușual 3 dB, adică

$$20 \log \frac{H(\omega_k)}{H(\omega_0)} = 3 \text{ dB}, \quad (2.34)$$

unde : $H(\omega_k)$ este amplitudinea corespunzătoare pulsației ω_k , iar $H(\omega_0)$ este amplitudinea corespunzătoare unei pulsații de referință, spre exemplu $\omega=0$, adică pentru curent continuu.

Una din expresiile prin care se stabilește dependența între faza $\varphi(\omega_c)$ la o pulsătie ω_c , și caracteristica de frecvență a amplitudinii $H(\omega)$, dată de Bode pentru sistemele cu defazaj minimal este

$$\varphi(\omega_c) = \frac{2\omega_c}{\pi} \int_0^{\infty} \frac{\ln H(\omega) - \ln H(\omega_c)}{\omega^2 - \omega_c^2} d\omega. \quad (2.35)$$

2.4. Relația de dependență

Funcția de transfer a unui dispozitiv de măsurare descrie comportarea dinamică a dispozitivului și de aceea, cu ajutorul ei se stabilesc atât criterii de calitate, cât și relații de dependență între aceste criterii. Relația (2.9) stabilește dependența între timpul de răspuns T_r și funcția de transfer normată $\mathcal{G}(p)$.

Aceeași relație (2.9) poate fi transferată, pe baza echivalenței transformatorilor Laplace și Fourier în condiții inițiale nule, în domeniul caracteristicii de frecvență; se poate deci scrie

$$T_r = - \frac{d\bar{G}(j\omega)}{d(j\omega)} \Big|_{\omega \rightarrow 0} = - \frac{\bar{G}'(j\omega)}{j\omega} \quad (2.36)$$

cu $\bar{G}(j\omega) = \frac{H(j\omega)}{K}$.

2.4.1. Relație între timpul de răspuns și funcția de transfer

Transformata Laplace mai poate fi definită ca produsul între funcția de transfer $\mathcal{H}(p)$ și transformata Laplace a excitației $\mathcal{A}_i(p)$, adică

$$\mathcal{A}_e(p) = \mathcal{H}(p)\mathcal{A}_i(p). \quad (2.37)$$

Prin aplicarea relației (2.37) răspunsului indicial $f(t)$ și ținând seama de definiția formală a transformării Laplace, se obține

$$\int_0^\infty f(t)e^{-pt} dt = \frac{\mathcal{G}(p)}{p}. \quad (2.38)$$

Transformatei Laplace (2.38) îi corespunde, pentru condiții inițiale nule, transformata Fourier

$$\int_0^\infty F(j\omega)e^{-j\omega t} dt = \frac{\bar{G}(j\omega)}{j\omega}. \quad (2.39)$$

Pe de altă parte, răspunsul indicial $f(t)$ se obține prin transformata Fourier inversă

$$f(t) = \frac{1}{2\pi} \int_{-\infty}^{+\infty} \frac{\bar{G}(j\omega)}{j\omega} e^{j\omega t} d\omega. \quad (2.40)$$

Spectrul de frecvență al excitației treaptă (v. cap. 5) este $1/j\omega$. Se poate deci exprima spectrul diferență între spectrul funcției excitația treaptă și funcția răspuns indicial

$$g(j\omega) = \frac{1}{j\omega} - \frac{\bar{G}(j\omega)}{j\omega} = \frac{1}{j\omega} [1 - \bar{G}(j\omega)]. \quad (2.41)$$

Același spectru diferență se poate obține direct cu transformata Fourier

$$\underline{g}(j\omega) = \int_0^{\infty} [1 - f(t)] e^{-j\omega t} dt. \quad (2.42)$$

În această relație se observă că

$$\lim_{\omega \rightarrow 0} \underline{g}(j\omega) = \int_0^{\infty} [1 - f(t)] dt = T_r. \quad (2.43)$$

Din relațiile (2.41) și (2.43) rezultă

$$T_r = \lim_{\omega \rightarrow 0} \frac{1}{j\omega} [1 - \underline{G}(j\omega)]. \quad (2.44)$$

Prin urmare, timpul de răspuns se obține direct din funcția de transfer normalată, fără derivare. O examinare mai atentă a relației (2.44) arată, că aceasta este echivalentă cu relația (2.36), deoarece $1 = \lim_{\omega \rightarrow 0} \underline{G}(j\omega)$, cum se arată la § 2.1.1.

2.4.2. Timpul de răspuns la sistemele cu defazaj minimal

Funcția de transfer $\underline{G}(j\omega)$ se dezvoltă în serie Mac-Laurin în jurul $j\omega = 0$

$$\underline{G}(j\omega) = \underline{G}(j\omega) \Big|_{j\omega=0} + \frac{d\underline{G}(j\omega)}{d(j\omega) \Big|_{j\omega=0}} j\omega + \frac{d^2\underline{G}(j\omega)}{2! d(j\omega)^2 \Big|_{j\omega=0}} (j\omega)^2 + \dots, \quad (2.45)$$

de unde rezultă

$$\underline{G}(j\omega) = 1 + A j\omega + B (j\omega)^2 + \dots \quad (2.46)$$

cu

$$A = \frac{d\underline{G}(j\omega)}{d(j\omega) \Big|_{j\omega=0}}; \quad B = \frac{d^2\underline{G}(j\omega)}{2! d(j\omega)^2 \Big|_{j\omega=0}}; \dots$$

Expresia (2.46), limitată la primii doi termeni, introdusă în relația (2.41) conduce din nou la expresia timpului de răspuns, dată de relația (2.36), ceea ce este echivalent cu

$$T_r = -A. \quad (2.47)$$

În cazul pulsației ω , extrem de mică, corespunzînd condiției $j\omega \rightarrow 0$, funcția de transfer normată se scrie, în acord cu relația (2.46),

$$G(j\omega) = 1 + A j\omega, \quad (2.48)$$

de unde rezultă defazajul $\text{tg } \varphi \approx \varphi = A\omega$ sau $A = d\varphi/d\omega$, ceea ce conduce, ținând seama de (2.47), la

$$T_r = - \frac{d\varphi}{d\omega} \Big|_{\omega \rightarrow 0}. \quad (2.49)$$

Adică timpul de răspuns este dat de derivata, cu semnul minus, a unghiului de defazaj în raport cu pulsația, cînd aceasta tinde către zero. Această observație oferă posibilitatea de a determina timpul de răspuns al dispozitivelor de măsurare caracterizate prin defazaj minimal, cu ajutorul caracteristicii amplitudine $G(\omega) = \frac{H(\omega)}{K}$. În adevăr, din relația (2.35) se obține

$$-\frac{d\varphi(\omega_c)}{d\omega_c} \Big|_{\omega_c \rightarrow 0} = -\frac{2}{\pi} \int_0^\infty \frac{\ln G(\omega)}{\omega^2} d\omega = T_r. \quad (2.50)$$

2.4.3. Timpul de răspuns al cuadripolilor în lanț

Sistemele de măsurare reale reprezintă lanțuri de cuadripoli, ieșirea unuia fiind conectată la intrarea următorului. Spre exemplu, la măsurarea curentului cu ajutorul unui șunt coaxial se consideră cuadripolii coresponditori șuntului, cablului de măsurare și oscilografului catodic. Cum s-a enunțat în § 2.1.5, timpul de răspuns al întregului sistem în lanț este egal cu suma timpilor de răspuns ai cuadripolilor individuali. Dacă cuadripolii nu se interinfluențează, adică dacă sunt necuplați între ei, funcția de transfer rezultantă este

$$\underline{G}_t(j\omega) = \prod_{i=1}^n G_i(j\omega). \quad (2.51)$$

Timpul de răspuns al întregului sistem se calculează cu relația (2.45), deci

$$\begin{aligned} T_n &= - \frac{d\underline{G}_t(j\omega)}{d(j\omega)} \Big|_{j\omega \rightarrow 0} = - \left[\frac{dG_1(j\omega)}{d(j\omega)} G_2(j\omega) \cdot G_3(j\omega) + \dots \right. \\ &\quad \left. + \frac{dG_2(j\omega)}{d(j\omega)} G_1(j\omega) \cdot G_3(j\omega) + \dots \right]_{j\omega \rightarrow 0}. \end{aligned}$$

Cum $G_1(j\omega)$, $G_2(j\omega)$ pentru $j\omega \rightarrow 0$ iau valori egale cu unitatea, rezultă

$$T_{rt} = T_{r1} + T_{r2} + T_{r3} + \dots . \quad (2.52)$$

2.4.4. Relația între timpul de creștere și banda de frecvență

Stabilirea unei astfel de relații se poate face, pe cale analitică, numai pentru dispozitive de măsurare a căror răspuns indicial poate fi calculat cunoscând funcția de transfer, care satisface condiția de defazaj minim și chiar mai mult, de *defazaj nul*.

Majoritatea dispozitivelor de măsurare destinate a măsura mărimi electrice cu variații rapide, cum sunt șunturile coaxiale compensate ca și divizoarele de tensiune compensate și amortizate, au o caracteristică de frecvență de tip continuu și neted scăzător. O aproximare bună a acestui răspuns se poate face cu ajutorul *funcției Gauss*, a erorilor [67]. În acest caz, în expresia funcției de transfer normalată, conform relației (2.33), se introduce valorile pentru modul și defazaj în funcție de frecvență f , după cum urmează :

$$\underline{G}(j\omega) = e^{-k^2 f^2} e^{-j2\pi f t_0}. \quad (2.53)$$

Pentru ca funcția de transfer să admită defazaj nul există două *posibilități teoretice* :

- a) $t_0 \rightarrow \infty$, adică timpul mort al sistemului să fie infinit, ceea ce pentru un dispozitiv de măsură nu are sens;
- b) funcția de transfer $\underline{G}(j\omega)$ corespunde unui sistem *compensabil* sau *invertibil*. O clasificare a funcțiilor de transfer după poziția polilor și a zerourilor în planul complex $p = \sigma + j\omega$ este dată de anexa 9.2.

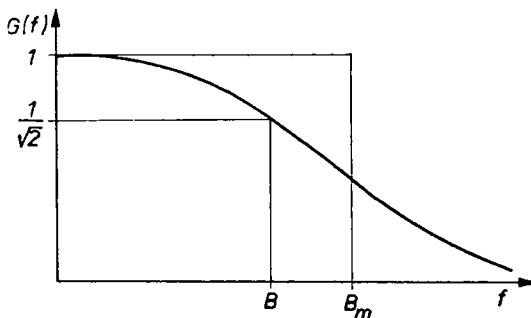


Fig. 2.8. Relativ la banda de frecvență.

În cele ce urmează, se va considera că în expresia funcției de transfer nu intră factorul de defazaj și deci expresia funcției de transfer este

$$\underline{G}(j\omega) = G(f) = e^{-k^2 f^2}. \quad (2.54)$$

Caracteristica de frecvență (în amplitudine) a acestei funcții este de tipul celei desenate în fig. 2.8 și

este caracterizată prin banda de trecere B , pentru care atenuarea este de 3 dB, adică la care $G(f)=1/\sqrt{2}$ la $f=B$. Determinarea factorului k^2 din expresia (2.54) se face tocmai pe baza acestui considerent

$$e^{-k^2 B^2} = 1/\sqrt{2} \quad (2.55)$$

sau

$$k^2 = \frac{\ln \sqrt{2}}{B^2}.$$

Banda medie de trecere B_m este definită ca

$$B_m = \int_0^\infty G(f) df. \quad (2.56)$$

Se ține seama [60] că $\int_0^\infty e^{-q^2 x^2} dx = \sqrt{\pi}/(2q)$ și se obține legătura între B_m și B .

$$B_m = \int_0^\infty \exp\left(-\frac{\ln \sqrt{2}}{B^2} f^2\right) df = \frac{\sqrt{\pi} B}{2\sqrt{\ln \sqrt{2}}} = 1,5053 B. \quad (2.57)$$

Răspunsul indicial $f(t)$ se calculează cu ajutorul funcției de transfer din relația (2.54)

$$f(t) = 4 \int_0^t dt \int_0^\infty e^{-k^2 f^2} \cos(2\pi t f) df. \quad (2.58)$$

Această relație este demonstrată în anexa 3. Pentru a explicita relația (2.58) se face schimbarea de variabilă

$$\tau = \frac{\pi}{k} t \quad (2.59)$$

și se ține seama [3] că

$$\int_0^\infty e^{-a^2 x^2} \cos nx dx = \frac{\sqrt{\pi}}{2a} e^{-n^2/4a^2}. \quad (2.60)$$

Se obține astfel

$$f(\tau) = \Phi(\tau) = \frac{2}{\sqrt{\pi}} \int_0^\tau e^{-\tau^2} d\tau \quad (2.61)$$

unde $\Phi(\tau)$ este funcția erorilor care se află tabelată în [40] și este reprezentată în fig. 2.9. Valorile 0,1 și respectiv 0,9 ale funcției $\Phi(\tau)$ sunt atinse la $\tau_1=0,09$, respectiv la $\tau_2=1,165$. Se observă

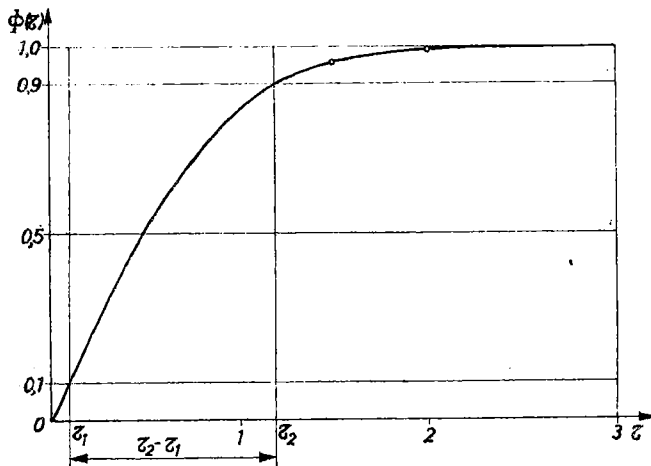


Fig. 2.9. Relativ la dependența între timpul de creștere și banda de frecvență.

că, dacă se ține seama de (2.59) timpul de creștere este dat de

$$T_{cr} = t_2 - t_1 = \frac{k}{\pi} (\tau_2 - \tau_1) = 0,34218k. \quad (2.62)$$

Din relațiile (2.55) și (2.62) se obține dependența între timpul de creștere și banda de frecvență B :

$$T_{cr} = 0,34218 \frac{\sqrt{\ln 2}}{B} = 0,2014/B. \quad (2.63)$$

Notă. Dependența între timpul de creștere și banda de frecvență a fost stabilită de mai mulți autori [6, 25, 67] la sisteme necauzale, în mod concret la stabilirea performanțelor filtrelor active. După formalismul sistemelor necauzale, deși excitația apare la timpul $t=0$, răspunsul există la valori $t<0$. În acest caz răspunsul indicial are forma

$$f(\tau) = \frac{1}{2} + \frac{1}{2} \Phi(\tau) \quad (2.64)$$

cu τ dat de relația (2.59) și cu valori ale timpului cuprinse între $-\infty$ și $+\infty$. Răspunsul indicial prezintă astfel o simetrie răsturnată față de valoarea 0,5, ceea ce din punct de vedere formal apare atractiv. În aceasta situație Wolf [67] stabilește dependența, între timpul de creștere și banda de frecvență, sub forma

$$T_{cr} = \frac{0,34}{B}. \quad (2.65)$$

Atât relația (2.63), cit și relația (2.65) sunt utilizate în primă aproximare. Dacă se măsoară timpul de creștere pe oscilogramele sistemelor fizice de măsurare, se constată dispersii importante față de ambele relații. Relația (2.63) este mai potrivită pentru sistemele la care răspunsul indicial acuză o viteză de creștere mai mare în zona inițială, iar relația (2.65) este mai potrivită pentru sistemele cu viteză de creștere inițială mai redusă.

2.4.5. Timpul de creștere și banda de frecvență la un lanț de măsurare

În cazul unui lanț de măsurare este important să se determine banda de frecvență sau timpul de creștere al lanțului în funcție de banda de frecvență sau timpul de creștere al fiecărui cuadripol ce intră în structura lanțului. În tehnica încercărilor se obține o singură caracteristică de frecvență sau un singur răspuns indicial, în care se includ proprietățile întregului lanț de măsurare, inclusiv ale oscilografului catodic. Din această cauză este util să se determine numai proprietățile convertorului care poate fi un șunt coaxial sau un divizor de tensiune.

Pentru mai mulți cuadripoli în lanț, în acord cu relația (2.54), caracteristica de frecvență este dată de relația

$$G(f) = \prod_{i=1}^n e^{-\frac{k_i^2 f^2}{B_i^2}}, \quad (2.66)$$

iar dacă se ține seama de relația (2.55) se obține

$$G(f) = e^{-\frac{1}{2} \left(\sum_{i=1}^n \frac{1}{B_i^2} \right)}. \quad (2.67)$$

Rezultă din expresia (2.67) că se poate scrie

$$\frac{1}{B^2} = \sum_{i=1}^n \frac{1}{B_i^2},$$

iar banda echivalentă a lanțului de măsurare rezultă

$$B = \sqrt{\frac{1}{\sum_{i=1}^n \frac{1}{B_i^2}}}. \quad (2.68)$$

Relația (2.62) arată că timpul de creștere este invers proporțional cu banda de frecvență. În aceste condiții relația (2.68) se transformă în

$$T_{cr} = \sqrt{\sum_{i=1}^n T_{cri}^2} \quad (2.69)$$

Notă. Relațiile (2.65) și (2.69) sunt aproximative; deoarece:

- a) s-a admis că sistemul de măsurare este caracterizat prin defazaj nul;
- b) s-a admis caracteristica de frecvență în amplitudine de tip Gauss.

În realitate aceste condiții nu sunt îndeplinite pe deplin, dar relațiile (2.68) și (2.69) reprezintă bune aproximări pentru sistemele de măsurare concrete.

2.4.6. Caracteristica de frecvență și răspunsul indicial

Din luerările de sinteza și analiza rețelelor [6], [25], [72] se cunoște relațiile de dependență între caracteristica de frecvență și răspunsul indicial. Una din aceste relații are expresia

$$f(t) = \frac{2}{\pi} \int_0^\infty \frac{\operatorname{Re}[G(j\omega)] \sin \omega t \cdot d\omega}{\omega}. \quad (2.70)$$

Această relație poate fi utilizată cu condiția de a cunoaște expresia funcției de transfer $G(j\omega)$ și de a realiza integrala cerută de relația (2.70).

În cazul testării sistemelor fizice de măsurare, spre exemplu la divizoarele de tensiune, funcția de transfer este dată prin grafice de amplitudine și de fază. Răspunsul indicial se poate determina folosind metoda Floyd [72], în care caz este necesar a se trasa diagrama $\operatorname{Re}[G(j\omega)] = f(\omega)$ și a se descompune această diagramă în trapeze elementare. În cele din urmă, răspunsul indicial se obține prin însumarea răspunsurilor corespunzătoare trapezelor elementare folosind diagrame [1] sau tabele [72] de interpolare.

Utilizarea calculatorului oferă posibilitatea de a calcula direct răspunsul indicial pentru valori discrete ale timpului. Pentru un număr suficient de mare și bine ales de valori ale timpului, spre exemplu 50...1000, se poate trasa o curbă evasicontinuă a răspunsului indicial.

În acest scop în relația (2.70) se fac notațiile :

$$\omega = 2\pi f;$$

$$d\omega = 2\pi df;$$

$$\operatorname{Re}[G(j\omega)] = G(2\pi f) \cos \alpha; \quad (2.71)$$

$$\alpha = \arctg \frac{\operatorname{Im}[G(j\omega)]}{\operatorname{Re}[G(j\omega)]};$$

iar relația (2.70) se scrie sub forma

$$f(t_q) = \int_0^\infty C_{iq} df, \quad (2.72)$$

unde s-a notat

$$C_{iq} = \frac{2}{\pi} \cdot \frac{G(2\pi f_i) \cos \alpha \cdot \sin(2\pi f_i t_q)}{f_i}. \quad (2.73)$$

Pentru momentul t_q , funcția C_{iq} ia valori discrete, la valori discrete atribuite frecvenței f_i . Pentru a găsi valoarea la momentul t_q a răspunsului indicial, se efectuează integrarea numerică indicată de relația (2.72) pînă la frecvență la care amplitudinea tinde către zero.

Această metodă de calcul a fost aplicată pentru găsirea răspunsului indicial al unui divizor de tensiune universal cu raport de reducere de 1/100 și tensiune nominală înaltă 25 kV. În fig. 2.10 se prezintă caracteristica de frecvență a divizorului obținută experimental cu analizorul de rețea HP 8407A. Curba *a* reprezintă atenuarea, iar curba *b* reprezintă unghiul de defazaj α în funcție de frecvență. Testarea în frecvență s-a efectuat pînă la 50 MHz, dar în fig. 2.10 s-a prezentat testarea numai pînă la 10 MHz.

Din curba atenuării s-a dedus caracteristica în amplitudine, reprezentată în fig. 2.11, în care curba *a* reprezintă amplitudinea sistemului fizic, iar curba *b* reprezintă amplitudinea unui sistem de defazaj nul de tip Gauss-ian, al cărui parametru k [vezi relația (2.55)]

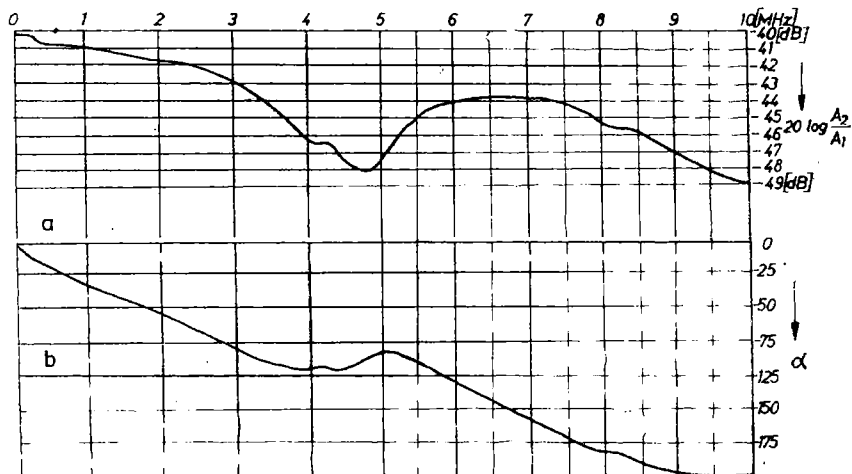


Fig. 2.10. Caracteristica de frecvență a unui divizor de tensiune universal:
a — curba atenuării; *b* — curba defazajului.

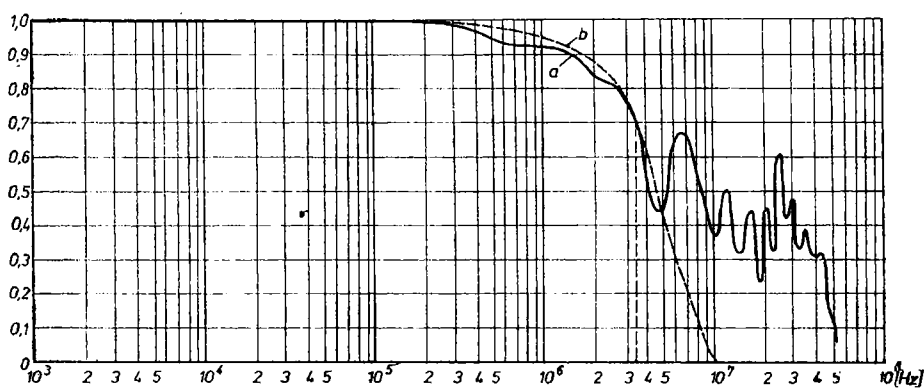


Fig. 2.11. Caracteristica de frecvență în amplitudine:
a — curba fizică; *b* — curba de tip Gauss-ian.

coresponde atenuării curbei fizice de 3 dB, la o bandă de trecere de 3,3 MHz. Cu alte cuvinte, la această frecvență ambele curbe au aceeași valoare și anume 0,707.

În fig. 2.12 se prezintă graficul funcției C_{iq} pentru timpul $t_q = 10^{-6}$ s. Prin integrarea funcției C_{iq} , conform relației (2.72) se obține valoarea 1 a răspunsului indicial. Se constată deci că, la

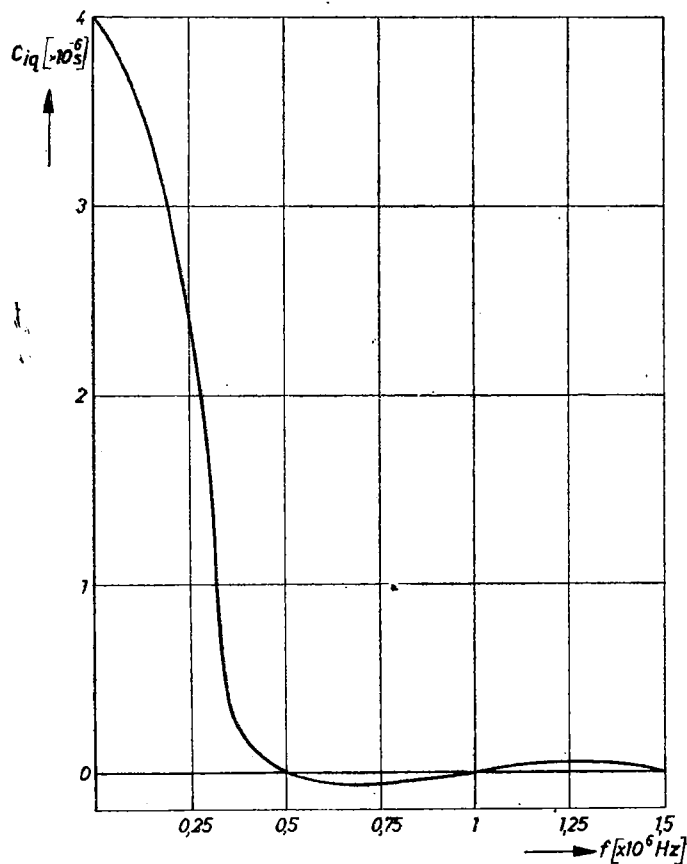


Fig. 2.12. Funcția C_{iq} pentru $t_q = 10^{-6}$ s.

această valoare a timpului, răspunsul indicial este stabilizat. Pentru a se obține valori ale răspunsului indicial în etapa de creștere s-au luat momente $t_a = 5 \dots 200$ ns, cu pasul timpului 5 ns. S-a

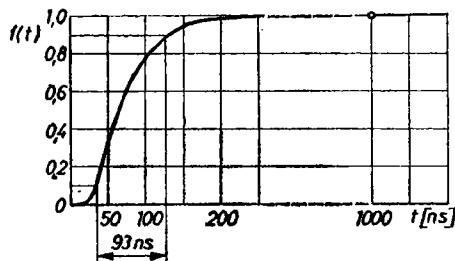


Fig. 2.13. Răspunsul indicial calculat cu relația (2.72).

obținut astfel diagrama răspunsului indicial din fig. 2.13. Timpul de creștere al acestui răspuns este de 93 ns și diferă atât de valoarea 61 ns dată de relația (2.63), cât și de valoarea de 103 ns dată de relația (2.65). Aceste abateri se explică prin faptul că rezultatul de 93 ns s-a obținut prelucrînd proprietățile unui sistem fizic, care nu are defazaj minimal, iar caracteristica de frecvență, în amplitudine, nu este de tip Gauss-ian, după cum se observă și în fig. 2.11.

3. Șunturi pentru măsurarea curenților cu variații rapide

Motivele din cauza cărora transformatoarele de curent inductive nu pot servi drept convertoare la măsurarea curenților cu variații rapide, au fost prezентate în introducerea lucrării. Soluții posibile de convertoare care să satisfacă exigențele încercărilor de echipament electric, în afara sistemelor magneto-optice și a sistemelor care funcționează cu sonde Hall, rămân șuntul bifilar și șuntul coaxial.

3.1. Șuntul bifilar

Desigur că prima încercare de a utiliza convertoare liniare la măsurarea curenților cu variații rapide este de a folosi șuntul normal, de curent continuu. Acest dispozitiv este dimensionat astfel ca, la trecerea curentului nominal, să ofere o cădere de tensiune de ordinul 60 mV, adică potrivit pentru a excita mai departe un aparat analogic, numeric sau un osciloscop echipat cu amplificator și garantat pentru o bandă îngustă de frecvență. Barele, din care este construit șuntul de curent continuu, sunt de manganină, cu un coeficient de temperatură de 10^{-5} grd^{-1} și deci asigură practic o linearitate pentru o gamă largă de curenți. Dacă semnalul de tensiune cules de la șuntul de curent continuu este aplicat unui osciloscop, intensitatea curentului în conductoarele de legătură este determinată, practic, de impedanța de intrare a osciloscopului, de ordinul 1 MHz și rezultă a fi extrem de redus. În aceste condiții semnalul de tensiune măsurat de osciloscop, în acord cu fig. 3.1, este

$$u = \rho J l + \frac{d\Phi}{dt}. \quad (3.1)$$

unde : ρ este rezistivitatea materialului ;
 J — densitatea de curent ;

l — lungimea şuntului;

ϕ — fluxul magnetic care străbate bucla de măsurare.

Tensiunea de măsurare u , din relația (3.1), este sensibil influențată de tensiunea indușă $d\Phi/dt$ și de aceea, măsurarea curentilor cu variații rapide nu se poate efectua cu ajutorul schemelor de măsurare folosite în curent continuu.

În fig. 3.2 se prezintă schița de construcție a unui şunt cu structură bifilară. Curentul de măsurare este trecut prin n conductoare

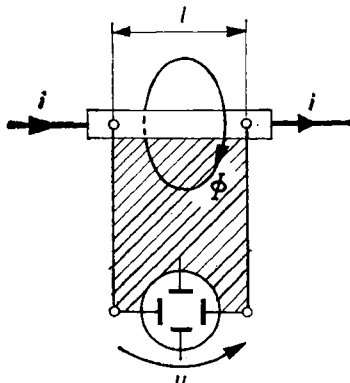


Fig. 3.1. Şuntul de curent continuu.

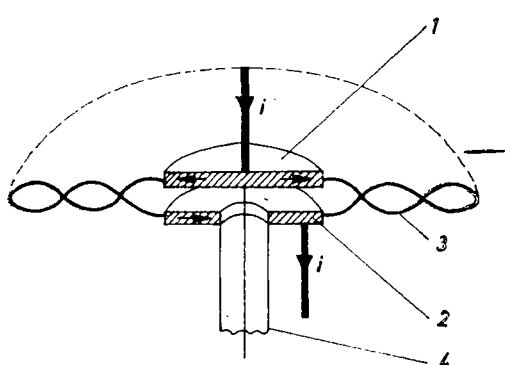


Fig. 3.2. Şuntul bifilar multiplu.

bifilară 3, conectate în paralel la plăcile colectoare 1 și 2, care constituie în același timp și bornele de intrare, respectiv de ieșire ale şuntului. Semnalul de măsurare este captat de cablul coaxial 4.

Într-un asemenea sistem, tensiunea indușă în bucla de măsurare este diminuată în mod sensibil, iar calitatea şuntului depinde, în mod esențial, de răspunsul la excitația treaptă de curent a conductorului din care este realizat elementul bifilar, care în esență este un conductor cilindric plin, din manganină sau un material asemănător, în ce privește rezistivitatea și coeficientul de temperatură al rezistivității.

3.1.1. Răspunsul conductorului cilindric plin la excitația treaptă de curent

Cunoașterea acestui răspuns are semnificație atât pentru determinarea timpului de răspuns, cât și pentru explicarea supratensiunilor ce apar pe rezistențele antiinductive.

Cimpul magnetic și densitatea de curent [29]. Studiul comportării conductorului circular plin, la excitația treaptă, presupune că

metodă exactă de calcul utilizarea ecuațiilor lui Maxwell. Se consideră materialul conductor, de exemplu manganina (86% Cu, 12% Mn, 2% Ni) ea având o permeabilitate constantă $\mu = \mu_0 = 4\pi \cdot 10^{-7}$ H/m și o conductivitate constantă, practic independentă de temperatură, $\sigma = 2,33 \cdot 10^6$ S/m.

Ecuațiile lui Maxwell în regim evasistionar și în cazul conductorilor massive, imobile, liniare, izotrope, omogene, fără polarizație electrică sau magnetică permanentă, cu aproximarea neglijării densității de volum a sarcinii electrice, sunt :

$$\operatorname{rot} \mathbf{H} = \mathbf{J}; \quad \operatorname{div} \mathbf{H} = 0; \quad (3.2)$$

$$\operatorname{rot} \mathbf{E} = -\nu \frac{\partial \mathbf{H}}{\partial t}; \quad \operatorname{div} \mathbf{E} = 0.$$

Prin aplicarea rotorului primelor două ecuații din sistemul (3.2), se obțin ecuațiile diferențiale binecunoscute :

$$\Delta \mathbf{H} = \sigma \mu \frac{\partial \mathbf{H}}{\partial t} \quad (3.3)$$

și

$$\Delta \mathbf{E} = \sigma \mu \frac{\partial \mathbf{E}}{\partial t}. \quad (3.4)$$

Pentru obținerea soluțiilor ecuațiilor (3.3) și (3.4), se utilizează coordonatele cilindrice r, φ, z și se observă că, din cauza simetriei cilindrice a dispozitivului ($E = E_z$ și $H = H_\varphi$), ecuațiile (3.3) și (3.4) se transformă în

$$\frac{\partial^2 H}{\partial r^2} + \frac{1}{r} \cdot \frac{\partial H}{\partial r} - \frac{H}{r^2} = \sigma \mu \frac{\partial H}{\partial t}; \quad (3.5)$$

$$\frac{\partial^2 E}{\partial r^2} + \frac{1}{r} \cdot \frac{\partial E}{\partial r} = \sigma \mu \frac{\partial E}{\partial t}. \quad (3.6)$$

Tinând seama că se urmărește comportarea în regim tranzitoriu a dispozitivului, se transcriu ecuațiile (3.5) și (3.6) sub formă operațională :

$$\frac{d^2 \mathcal{H}}{dr^2} + \frac{1}{r} \cdot \frac{d \mathcal{H}}{dr} - \frac{\mathcal{H}}{r^2} = \sigma \mu p \mathcal{H}; \quad (3.7)$$

$$\frac{d^2\mathcal{E}}{dr^2} + \frac{1}{r} \cdot \frac{d\mathcal{E}}{dr} = \sigma \mu p \mathcal{E}, \quad (3.8)$$

unde : $\mathcal{E}(H) = \mathcal{K}$ și $\mathcal{E}(E) = \mathcal{E}$.

Relația (3.8) este o ecuație Bessel de ordin zero

$$\frac{d^2\mathcal{E}}{dr^2} + \frac{1}{r} \cdot \frac{d\mathcal{E}}{dr} = \gamma^2 \mathcal{E}, \quad (3.9)$$

$$\text{unde } \gamma^2 = \sigma \mu p, \quad (3.10)$$

care admite următoarea soluție cunoscută [29]

$$\mathcal{E} = AJ_0(j\gamma r) + BN_0(j\gamma r), \quad (3.11)$$

unde $J_0(j\gamma r)$ este o funcție Bessel de speță 1 și ordinul zero ; $N_0(j\gamma r)$ – funcție Bessel de speță a 2-a și ordinul zero.

Legătura între H și E este dată de primele două relații din sistemul (3.2) exprimate în coordonate cilindricе, ținând seama că $\mathbf{J} = \sigma \mathbf{E}$

$$\frac{1}{r} \cdot \frac{\partial}{\partial r} (Hr) = \sigma E = J; \quad (3.12)$$

$$\mu \frac{\partial H}{\partial t} = \frac{\partial E}{\partial r}. \quad (3.13)$$

Transcriind ecuația (3.13) sub formă operațională

$$\mu p \mathcal{K} = \frac{d\mathcal{E}}{dr}. \quad (3.14)$$

se poate găsi și soluția ecuației (3.7), ținând seama de relația (3.11)

$$\mathcal{K} = \frac{1}{\mu p} \cdot \frac{d}{dr} [AJ_0(j\gamma r) + BN_0(j\gamma r)]. \quad (3.15)$$

Constanta B trebuie să fie nulă, pentru că la $r = 0$ cimpul magnetic este nul în ax și $N_0(0) = -\infty$. Deci relația (3.15) devine

$$\mathcal{K} = \frac{1}{\mu p} \cdot \frac{d}{dr} [AJ_0(j\gamma r)] = \frac{j\gamma}{\mu p} AJ'_0(j\gamma r) = \frac{\sigma}{j\gamma} AJ_1(j\gamma r), \quad (3.16)$$

unde $\mu p = \frac{\gamma^2}{\sigma}$ din relația (3.10) și $J'_0(j\gamma r) = -J_1(j\gamma r)$.

Originalul expresiei (3.16), demonstrat în anexa 4, este

$$H = \frac{I}{2\pi a} \left[\frac{r}{a} + 2 \sum_{k=1}^{\infty} \frac{J_1\left(\beta_k \frac{r}{a}\right)}{\beta_k J_0(\beta_k)} e^{-\frac{r}{T_k}} \right], \quad (3.17)$$

în care : a este raza conductorului cilindric ;

r — distanța între ax și punctul considerat pe secțiunea conductorului ;

β_k — soluțiile pentru care se anulează funcția Bessel de ordinul 1, $[J_1(\beta_k) = 0]$;

$$T_k = \frac{\sigma \mu a^2}{\beta_k^2} \text{ — constante de timp.}$$

Din relațiile (3.12) și (3.17) se obține densitatea de curent la distanță r de axa conductorului

$$J = \frac{I}{\pi a^2} \left[1 + \sum_{k=1}^{\infty} \frac{J_0\left(\beta_k \frac{r}{a}\right)}{J_0(\beta_k)} e^{-\frac{r}{T_k}} \right]. \quad (3.18)$$

Demonstrația relației (3.18) este dată în anexa 5.

Ca aplicație a relațiilor (3.17) și (3.18) s-au calculat cu ajutorul tabelelor din [40] cîmpul magnetic și densitatea de curent pentru un conductor cilindric plin, din manganină, cu raza $a = 1$ mm, la următoarele distanțe față de axa conductorului : $r = a$; $r = 0,75 a$; $r = 0,5 a$; $r = 0,25 a$. Rezultatele obținute sunt trecute în curbele traseate în fig. 3.3 pentru cîmpul magnetic și în fig. 3.4 pentru densitatea de curent.

În fig. 3.3 H_a reprezintă intensitatea cîmpului magnetic la periferia conductorului, adică $H_a = \frac{I}{2\pi a}$. În fig. 3.4 J_∞ reprezintă densitatea de curent în regim staționar, adică $J_\infty = \frac{I}{\pi a^2}$.

Se constată, în fig. 3.3, că în interiorul conductorului cîmpul magnetic în momentul inițial este nul și că se stabilizează la valoarea $H_a = \frac{r}{a}$.

Densitatea de curent este extrem de importantă în primul moment la periferia conductorului, în timp ce în același moment este nulă în interior. Din analiza expresiilor (3.17) și (3.18) se constată

că și valorile pentru H și J se conservă, dacă raportul $\frac{t}{a^2}$ rămîne constant. Această observație permite să se utilizeze aceleasi diagrame pentru diferite valori ale diametrului conductorului.

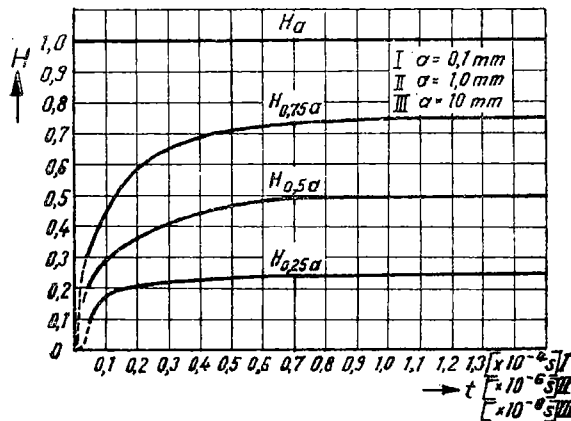


Fig. 3.3. Cimpul magnetic în conductorul de secțiune circulară:
 a — raza conductorului.

Astfel diagramele sunt valabile cu scări ale timpului modificate pentru $a = 0,1 \text{ mm}; 1 \text{ mm}; 10 \text{ mm}$.

Evaluarea timpului de răspuns. Deoarece tensiunea măsurată la bornele șuntului este funcție de densitatea J_e la periferia conductorului, din relația (3.18) pentru $r = a$, se obține

$$J_e = \frac{I}{\pi a^2} \left[1 + \sum_{k=1}^{\infty} e^{-\frac{t}{T_k}} \right] \quad (3.19)$$

și rezultă tensiunea pentru un conductor de lungime l

$$u = J_e \frac{l}{\sigma} = \frac{I}{\pi a^2} \cdot \frac{l}{\sigma} \left[1 + \sum_{k=1}^{\infty} e^{-\frac{t}{T_k}} \right]. \quad (3.20)$$

Timpul de răspuns, conform relației (2.8) devine

$$T_r = \int_0^{\infty} \left[1 - \left(1 + \sum_{k=1}^{\infty} e^{-\frac{t}{T_k}} \right) \right] dt = - \sum_{k=1}^{\infty} T_k. \quad (3.21)$$

Rezultatele numerice obținute cu relația (3.21), în care s-a considerat $k = 10$, se indică în fig. 3.5.

Semnul minus din relația (3.21) se dătorește modului de variație a densității de curent la suprafața conductorului (curba J_a din fig. 3.4), tensiunea măsurată u fiind proporțională cu $J_e = J_a$.

Calculele prezentate arată că, pentru obținerea unui timp de răspuns de ordinul nanosecundelor, cînd un conductor cilindric plin din material rezistiv este supus excitației treaptă, este necesar ca diametrul său să fie de ordinul fracțiunilor de milimetru.

Pentru realizarea unor șunturi destinate a măsura curentări intensă este util să se folosească mai multe fire subțiri în paralel răscuite antiinductiv. În funcție de timpul de răspuns dorit se va alege diametrul firului.

3.1.2. Supratensiuni pe rezistențele antiinductive

Dacă se examinează relația densității de curent la periferia conductorului circular plin și curba corespunzătoare din fig. 3.4 se constată că, pentru valori reduse ale timpului, densitatea de curent este extrem de mare, în mod teoretic la $t \rightarrow 0$; $J_e \rightarrow \infty$. Densitatea de curent și tensiunea de măsurare fiind legate între ele prin relația (3.20) rezultă că, la aplicarea excitației treaptă de curent, în mod teoretic, gradientul de potențial în

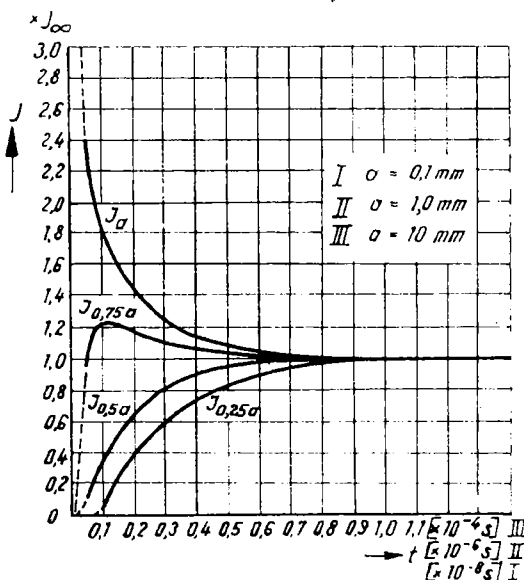


Fig. 3.4. Densitatea de curent în conductorul de secțiune circulară:
a – raza conductorului.

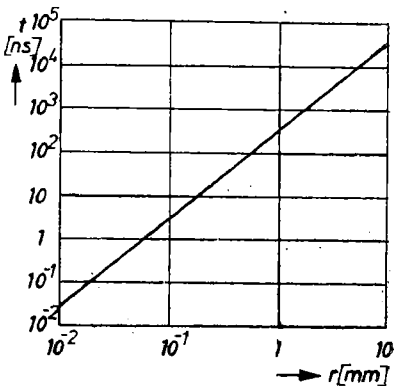


Fig. 3.5. Timpul de răspuns al conductorului cilindric plin.

lungul conductorului este infinit de mare. Cum excitația treaptă de curent este o realitate teoretică și în mod practic excitația este o rampă cu un timp de creștere de $0,5 \dots 10$ ns, rezultă că gradientul longitudinal al potențialului va fi finit, dar foarte mare. Este de așteptat, în consecință, ca pe rezistoarele realizate din fire metalice sau chiar pe rezistoarele cu peliculă să apară în funcționare supratensiuni importante, dacă structura generală a circuitului comportă o inductivitate redusă.

3.2. Șuntul coaxial

Construcția bifilară a șuntului, prezentată în subcap. 3.1, nu elimină în întregime tensiunea indușă în bucla circuitului de măsurare provocată de variația curentului intens măsurat sau de alte cîmpuri magnetice de interferență. De aceea, pentru a elimina efectul tensiunii

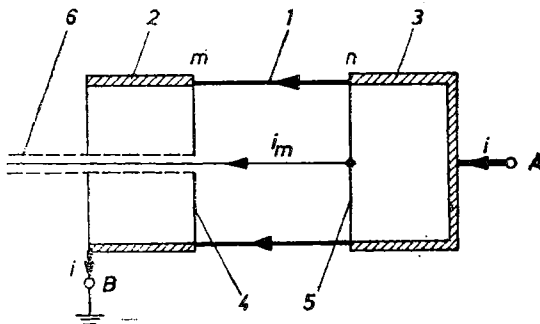


Fig. 3.6. Șunt coaxial neecranat.

induse în bucla circuitului de măsurare, se recurge la șuntul coaxial, a cărui schiță constructivă este prezentată în fig. 3.6, pentru varianta neecranată. Curentul i , care se măsoară, trece prin cilindrul rezistiv 1, realizat din manganină sau alt aliaj cu proprietăți fizice similare. Acest cilindru rezistiv este încadrat între două cilindre 2 și 3 realizate din material cu conductivitate sporită, urmărindu-se astfel eliminarea efectelor de capăt asupra circuitului de măsurare. O bornă A a șuntului se prevede pe cilindrul 3, iar cealaltă bornă B se prevede pe cilindrul 2 și se conectează la masă. Tensiunea de măsurare este culeasă, practic în mod continuu, de la extremitățile circulare m și n ale cilindrului rezistiv 1, prin intermediul discurilor 4 și 5. La discul 5 se conectează conductorul central al cablului coaxial, iar la discul 4 ecranul aceluiași cablu. Intensitatea curentului de măsurare i_m

este determinată de căderea de tensiune între circumferințele m , n și de impedanța terminală a cablului de măsurare, ca și în mod usual este impedanța caracteristică a acestuia. Funcționarea șuntului coaxial se bazează pe faptul că în interiorul cilindrului rezistiv J , cîmpul magnetic datorat curentului intens i este nul și ca urmare, cablul coaxial culege semnalul de tensiune

$$u = \rho Jl. \quad (3.22)$$

Relația (3.22) este acceptată în ideea că inductivitatea circuitului de măsurare este neglijabilă și că intensitatea curentului i_m este suficient de mică, pentru a nu conduce, în regim variabil, la tensiuni induse, semnificative, în raport cu tensiunea semnalului util. Construcția prezentată în fig. 3.6 prezintă inconvenientul de a oferi o protecție redusă contra interferenței cîmpurilor electromagnetice exterioare. Construcția din fig. 3.7 înălțăriă acest inconvenient cu ajutorul ecranului 7 care este parcurs de curentul intens i în sens contrar modului de parcurgere a cilindrului rezistiv 1. Ecranul 7 este un cilindru metalic care împiedică pătrunderea cîmpului electromagnetic din exterior în interiorul bulei de măsurat. În același timp, șuntul coaxial ecranat este lipsit de cîmp magnetic în exteriorul ecranului și ca urmare nu este supus forțelor electrodinamice, chiar dacă este plasat într-un cîmp magnetic intens. Această afirmație este valabilă dacă se face abstracție de efectele de capăt ce pot apărea datorită legăturilor la bornele șuntului.

Calitatea unui șunt coaxial, apreciată fie prin criteriul timpului de răspuns sau al timpului de creștere, fie prin criteriul caracteristicei de frecvență, după cum s-a arătat în cap. 2, depinde, în esență, de

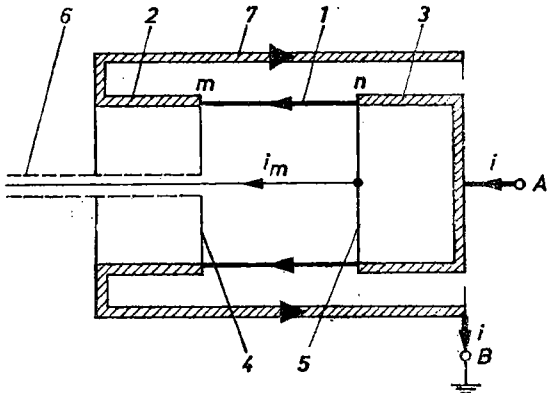


Fig. 3.7. Șunt coaxial ecranat.

proprietățile electromagnetice intrinseci ale tubului rezistiv notat cu reperul 1 în fig. 3.6 și 3.7.

În conexiune cu aceste proprietăți intrinseci mai există și alți factori care determină calitatea instalației de măsurare, în ansamblu. Printre acestia se numără : posibilitatea de compensare a răspunsului dat de șunt ; posibilitatea de adaptare a impedanțelor internă și deci propria șuntului, cu cea externă, adică proprie conexiunii între șunt și oscilograf ; performanțele dinamice ale oscilografului folosit pentru înregistrarea fenomenului cercetat.

3.2.1. Soluția aproximativă a răspunsului la excitația treaptă de curent a conductorului tubular [33]

Această soluție prezintă interes pentru șunturile coaxiale cu perete subțire al tubului rezistiv, adică pentru acel tub la care grosimea peretelui este, de exemplu, sub 0,5 mm.

În literatură tehnică [37, 62, 45], se prezintă relația aproximativă a răspunsului la excitația treptată de curent I , prin expresiile densității de curent J_i pe peretele interior al tubului și J_e pe peretele exterior al tubului. În anexa 6 se prezintă demonstrația corespunzătoare, în care se arată că un termen al ecuației diferențiale, ce descrie fenomenul de pătrundere al cîmpului electromagnetic, este neglijat.

Rezultă astfel expresiile pentru densitățile de curent : pe peretele exterior

$$J_e = \frac{I}{2\pi r_e \delta} \left[1 + 2 \sum_{k=1}^{\infty} e^{-\frac{t}{T_k}} \right] \quad (3.23)$$

și pe peretele interior

$$J_i = \frac{I}{2\pi r_i \delta} \left[1 + 2 \sum_{k=1}^{\infty} (-1)^k e^{-\frac{t}{T_k}} \right], \quad (3.24)$$

în care : σ este conductivitatea materialului ;

μ — permeabilitatea materialului ;

r_e — raza exterioară a tubului ;

r_i — raza interioară a tubului ;

I — treapta de curent ;

$\delta = r_e - r_i$ — grosimea tubului ;

$T_k = \frac{\sigma \mu \delta^2}{k^2 \pi^2}$ — constanta de timp de ordinul k .

Aceste densități de curent conduc, pentru un conductor tubular de lungime l , la tensiunile corespunzătoare :

$$u_e = J_e \frac{l}{\sigma} = \frac{I}{2\pi r_e \delta} \cdot \frac{l}{\sigma} \left[1 + 2 \sum_{k=1}^{\infty} e^{-\frac{t}{T_k}} \right]; \quad (3.25)$$

$$u_i = J_i \frac{l}{\sigma} = \frac{I}{2\pi r_i \delta} \cdot \frac{l}{\sigma} \left[1 + 2 \sum_{k=1}^{\infty} (-1)^k e^{-\frac{t}{T_k}} \right]. \quad (3.26)$$

Timpul de răspuns se obține ținându-se seamă de definiția din relația (2.8), aplicată relației (3.26). Se obține astfel expresia aproximativă a timpului de răspuns

$$T_r = \int_0^{\infty} \left\{ 1 - \left[1 + 2 \sum_{k=1}^{\infty} (-1)^k e^{-\frac{t}{T_k}} \right] \right\} dt = -2 \sum_{k=1}^{\infty} (-1)^k T_k. \quad (3.27)$$

Înlocuind pe T_k cu expresia din relația (3.24), în relația (3.27) rezultă

$$T_r = -2 \frac{\sigma \mu_0 \delta^2}{\pi^2} \sum_{k=1}^{\infty} (-1)^k \frac{1}{k^2}. \quad (3.28)$$

Dar din lucrarea [60] se demonstrează că

$$\sum_{k=1}^{\infty} (-1)^{k+1} \frac{1}{k^2} = 1 - \frac{1}{2^2} + \frac{1}{3^2} - \frac{1}{4^2} \dots = \frac{\pi^2}{12}.$$

Astfel încât,

$$\sum_{k=1}^{\infty} (-1)^k \frac{1}{k^2} = -1 + \frac{1}{2^2} - \frac{1}{3^2} + \frac{1}{4^2} \dots = -\frac{\pi^2}{12}.$$

În consecință, expresia timpului de răspuns din relația (3.28) devine

$$T_r = \frac{\mu \sigma \delta^2}{6} = \frac{\mu \delta^2}{6 \rho}. \quad (3.29)$$

Se constată deci că timpul de răspuns intrinsec, după cum este prezentat de relația (3.29), depinde de proprietățile de material : permeabilitatea μ , conductivitatea σ și de grosimea δ a peretelui tubului

rezistiv. Pentru a obține un timp de răspuns de valoare mică este necesar a se folosi materiale din categoria materialelor rezistive, neferomagnetice și cu grosime mică a peretelui tubului rezistiv. Relația (3.29) oferă soluții satisfăcătoare pentru marea majoritate a aplicațiilor practice.

3.2.2. Soluția exactă a răspunsului la excitația treaptă de curent a conductorului tubular

Dacă se privesc atent expresiile densităților de curent J_e și J_i din relațiile (3.23) și (3.24) se constată, din punct de vedere fizic, o anomalie. Anume, pentru $t \rightarrow \infty$, $J_e < J_i$. În mod normal, la $t \rightarrow \infty$, cele două densități de curent ar trebui să fie egale, dar anomalie provine din neglijarea unui termen — vezi anexa 6 — din ecuația diferențială a răspunsului la excitația treaptă de curent. Găsirea soluției exacte [47, 33] prezintă interes în vederea eliminării anomaliei menționate și în aprecierea aproximatiei ce rezultă prin acceptarea soluției aproximative.

Ecuările cîmpului electromagnetic se mențin sub formă prezentată în § 3.1.1 și anume : relația (3.11) ca soluție generală pentru cîmpul electric în domeniul imagine și (3.15) pentru cîmpul magnetic în domeniul imagine

Originalul expresiei (3.15), demonstrat în anexa 7, este

$$H = \frac{I}{2\pi r_e} \left[\frac{(r^2 - r_i^2)}{(r_e^2 - r_i^2)} \cdot \frac{r_e}{r} - 2 \sum_{k=1}^{\infty} \frac{J_1(x_k)N_1\left(x_k \frac{r}{r_i}\right) - N_1(x_k)J_1\left(x_k \frac{r}{r_i}\right)}{x_k a_k} e^{-\frac{t}{T_k}} \right], \quad (3.30)$$

unde :

$$x_k = J_1(mx_k)N_0(x_k) - N_1(mx_k)J_0(x_k) + m[N_1(x_k)J_0(mx_k) - J_1(x_k)N_0(mx_k)];$$

r este distanța dintre ax și punctul în care se calculează cîmpul magnetic ($r_i \leq r \leq r_e$);

$m = \frac{r_e}{r_i}$ — raportul razelor tubului;

x_k — rădăcina ecuației de tipul

$$J_1(x)N_1(mx) - N_1(x)J_1(mx) = 0; \quad (3.31)$$

$J_0(x)$, $N_0(x)$ — funcții Bessel de ordinul zero și de speță 1, respectiv a 2-a;
 $J_1(x)$, $N_1(x)$ — funcții Bessel de ordinul 1 și de speță 1, respectiv a 2-a;

$$T_k = \frac{\sigma \mu r_i^2}{x_k^2} \text{ — constanta de timp de ordinul } k.$$

Densitatea de curent J rezultă tot din ecuațiile lui Maxwell exprimate în coordonate cilindricice :

$$J = \sigma E = \frac{1}{r} \frac{\partial}{\partial r} (Hr) = \frac{1}{r} H + \frac{\partial H}{\partial r} \quad (3.32)$$

sau conform demonstrației din anexa 8

$$J = \frac{I}{(r_e^2 - r_i^2)} \left[1 - \frac{r_e^2 - r_i^2}{r_e r_i} \sum_{k=1}^{\infty} \frac{J_1(x_k) N_0\left(x_k \frac{r}{r_i}\right) - N_1(x_k) J_0\left(x_k \frac{r}{r_i}\right)}{a_k} e^{-\frac{t}{T_k}} \right]. \quad (3.33)$$

Densitatea de curent la periferia conductorului tubular ($r = r_e$) se obține din relația (3.33).

$$J_e = \frac{I}{\pi(r_e^2 - r_i^2)} \left\{ 1 - \frac{r_e^2 - r_i^2}{r_e r_i} \sum_{k=1}^{\infty} \left[\frac{J_1(x_k) N_0(mx_k) - N_1(x_k) J_0(mx_k)}{J_1(mx_k) N_0(x_k) - N_1(mx_k) J_0(x_k) + m[N_1(x_k) J_0(mx_k) - J_1(x_k) N_0(mx_k)]} \right] e^{-\frac{t}{T_k}} \right\}. \quad (3.34)$$

Densitatea de curent în interiorul conductorului tubular ($r = r_i$) se obține tot din relația (3.33)

$$J_i = \frac{I}{\pi(r_e^2 - r_i^2)} \left\{ 1 - \frac{r_e^2 - r_i^2}{r_e r_i} \sum_{k=1}^{\infty} \left[\frac{J_1(x_k) N_0(x_k) - N_1(x_k) J_0(x_k)}{J_1(mx_k) N_0(x_k) - N_1(mx_k) J_0(x_k) + m[N_1(x_k) J_0(mx_k) - J_1(x_k) N_0(mx_k)]} \right] e^{-\frac{t}{T_k}} \right\}. \quad (3.35)$$

Ca aplicație a relațiilor (3.34) și (3.35) s-au calculat densitățile de curent la exteriorul și interiorul unui conductor tubular din isabellin (84% Cu, 13% Mn, 3% Al), cu :

- conductivitatea $\sigma = 2 \cdot 10^6$ S/m;
- raza interioară $r_i = 32$ mm;
- raza exterioară $r_e = 35,2$ mm;
- permeabilitatea $\mu = \mu_0 = 4 \pi \cdot 10^{-7}$ H/m.

Rădăcinile x_i s-au obținut, din tabelele [40] sub forma indicată în tabelul 3.1.

Tabelul 3.1

Primele patru rădăcini x_k ale expresiei

$$J_1(x)N_1(mx) - J_1(mx)N_1(x) = 0$$

m	$(m-1)x_1$	$(m-1)x_2$	$(m-1)x_3$	$(m-1)x_4$
1,1	3,1427	6,2837	9,4251	12,5666

Calculul funcțiilor Bessel, care nu sunt tabelate, s-a efectuat cu ajutorul expresiilor [40] :

$$J_n(x) \approx \sqrt{\frac{2}{\pi x}} \cos \left(x - \frac{n\pi}{2} - \frac{\pi}{4} \right), \quad (3.36)$$

unde $|x| \gg 1$; $|x| \gg n$;

$$N_n(x) \approx \sqrt{\frac{2}{\pi x}} \sin \left(x - \frac{n\pi}{2} - \frac{\pi}{4} \right). \quad (3.37)$$

S-au obținut rezultatele din tabelul 3.2, reprezentate în fig. 3.8 cu linii pline.

Tabelul 3.2

Densitatea de curent calculată cu relațiile (3.34) și (3.35)

t	0,5	1	2	5	10	20	$\times 10^{-6} \text{ A}$
J_e	3,86	2,76	1,975	1,278	1,0408	1,00088	$\times J_\infty$
J_i	0	0	0,175	0,712	0,9577	0,9990	$\times J_\infty$

În tabelul 3.2 și fig. 3.8, J_∞ reprezintă densitatea de curent în regim staționar, adică

$$J_\infty = \frac{I}{\pi(r_e^2 - r_i^2)}.$$

Calculind densitățile de curent cu formulele (3.23) și (3.24) raportate tot la J_∞ , se obțin rezultatele din tabelul 3.3 și fig. 3.8, cu linii punctate.

Se observă, din tabelele 3.2 și 3.3, că valorile densităților de curent calculate prin metoda exactă, diferă de cele calculate prin

metoda aproximativă mai ales după $10 \mu s$; într-adevăr în timp ce J_e și J_i tind către egalizarea cu J_∞ în tabelul 3.2, în tabelul 3.3 J_i devine mai mare ca J_e , ceea ce constituie o anomalie. Această situație apare

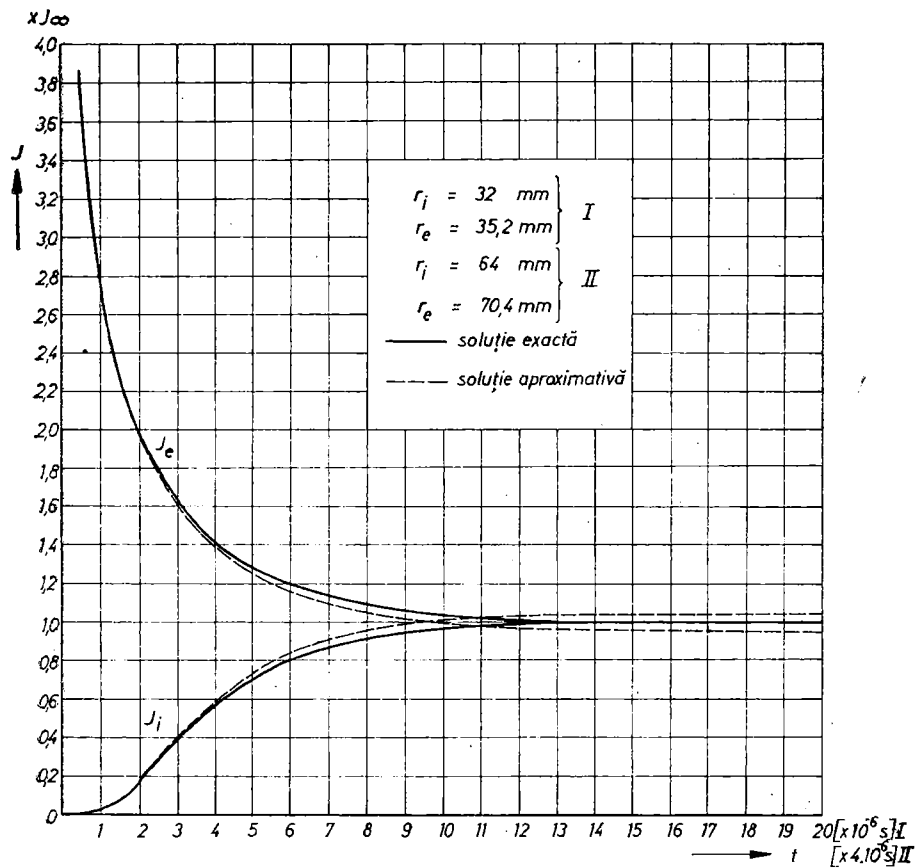


Fig. 3.8. Densitatea de curent în conductorul tubular :

r_i — raza interioară; r_e — raza exterioară.

Tabelul 3.3

Densitatea de curent calculată cu relațiile (3.23) și (3.24)

t	0,5	1	2	5	10	20	$\times 10^{-6} s$
J_e	3,85	2,73	1,935	1,24	1	0,96	$\times J_\infty$
J_i	0	0	0,17	0,745	1,001	1,045	$\times J_\infty$

eu atât mai pregnant cu cît grosimea peretelui tubului rezistiv crește. La grosimi mici, $\delta < 0,5$ mm, diferențele prezentate între densitățile de curent, obținute cu soluția exactă și cea aproximativă, nu mai sunt semnificative.

Timpul de răspuns se calculează cu ajutorul expresiei răspunsului în tensiune obținut cu densitatea de curent pe suprafața interioară a tubului rezistiv, adică

$$u_i = J_i \frac{1}{\sigma} = \frac{I}{\pi(r_e^2 - r_i^2)} \cdot \frac{l}{\sigma} \left[1 - \frac{r_e^2 - r_i^2}{r_e r_i} \sum_{k=1}^n A_k e^{-\frac{t}{T_k}} \right], \quad (3.38)$$

în care, cu notatiile din relațiile (3.31)

$$A_k = \frac{J_1(x_k)N_0(x_k) - N_1(x_k)J_0(x_k)}{J_1(mx_k)N_0(x_k) - N_1(mx_k)J_0(x_k) + mN_1(x_k)J_0(mx_k) - J_1(x_k)N_0(mx_k)}$$

Timpul de răspuns, conform relației (2.8) devine

$$T_k = \int_0^\infty \left[1 - \left(1 - \frac{r_e^2 - r_i^2}{r_e r_i} \sum_{k=1}^n A_k e^{-\frac{t}{T_k}} \right) \right] dt = \frac{r_e^2 - r_i^2}{r_e r_i} \sum_{k=1}^n A_k T_k. \quad (3.39)$$

Se constată că, pentru același material conductor, cu $m = \frac{r_e}{r_i} = \text{const}$ și raza r_i variabile (r_{i1}, r_{i2}, \dots), există următoarea relație între timpii de răspuns corespunzători (T_{r1}, T_{r2}, \dots)

$$\frac{T_{r1}}{T_{r2}} = \frac{r_{e1}^2}{r_{i2}^2} \quad (3.40)$$

În fig. 3.9 s-au reprezentat patru tuburi de raze diferite $r_i = 8 ; 16 ; 32 ; 64$ mm și $m = 1,1$, pentru care s-au calculat cu relația de similitudine (3.40) rezultatele din tabelul 3.4, luând ca bază timpul de răspuns al conductorului cu $r_i = 32$ mm. Acest timp de răspuns s-a calculat cu relația (3.39) considerind $n = 4$, seria fiind rapid convergentă.

În fig. 3.10 s-a trasat diagrama timpului de răspuns în funcție de raza interioară a tubului. Se poate constata o variație parabolică a timpului de răspuns în funcție de această rază după cum rezultă și din relația (3.40).

În ce privește timpul de răspuns, conform relației (3.39), acesta este dependent atât de raza interioară r_i , cât și de grosimea tubului reprezentată de raportul $m = r_e/r_i$. Dacă se calculează timpul de

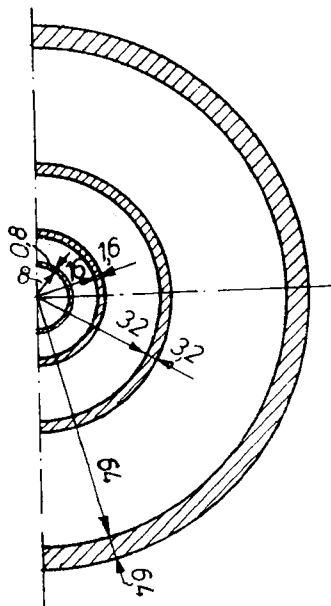


Fig. 3.9. Dimensiunile tuburilor cu $m = 1,1$ pentru care s-a calculat timpul de răspuns.

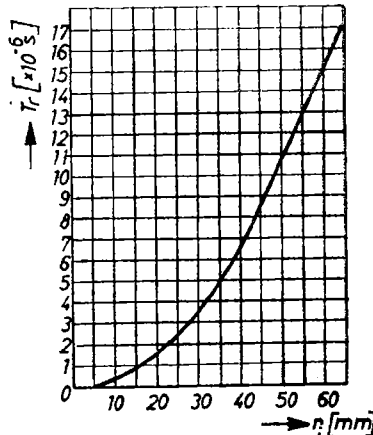


Fig. 3.10. Timpul de răspuns al tuburilor cu $m = 1,1$.

răspuns cu ajutorul relației (3.29) ce reprezintă soluția aproximativă, se observă că raportul între valorile timpilor de răspuns este egal cu raportul grosimilor de perete, la pătrat

$$\frac{T_{r_1}}{T_{r_2}} = \frac{\delta_1^2}{\delta_2^2}. \quad (3.41)$$

În tabelul 3.4 se prezintă timpul de răspuns pentru diferite valori ale razei interioare a tubului și raportul $m = 1,1$, valori

Tabelul 3.4
Timpul de răspuns T_r pentru diferite raze r_i la $m = 1,1$

r_i , mm	8	10	32	64
T_r , μ s	0,264375	1,0575	4,23	16,92

calculate cu soluția exactă (3.39). În tabelul 3.5 se prezintă timpul de răspuns calculat cu soluția aproximativă (3.29).

Tabelul 3.5

Timpul de răspuns T_r' pentru diferite grosimi de tub

$\delta, \text{ mm}$	0,8	1,6	3,2	6,4
$T_r', \mu\text{s}$	0,268	1,072	4,288	17,152

Este clar că la grosimi mari ale peretelui tubului rezistiv soluția exactă oferă o rezolvare corectă a problemei timpului de răspuns, iar la grosimi mici ale peretelui tubului rezistiv, soluția aproximativă oferă o rezolvare comodă și suficient de exactă pentru cele mai multe aplicații practice.

3.2.3. Comportarea instalației de măsurare în ansamblu

În paragrafele 3.2.1 și 3.2.2 s-a analizat comportarea intrinsecă a şuntului coaxial reprezentat, în structura sa de bază, sub forma unui conductor tubular. În utilizările practice, şuntul este introdus într-o schemă de măsurare, ca în fig. 3.11. Şuntul este reprezentat prin rezistență R , iar legătura cu oscilograful catodic OC este realizată prin intermediul cablului de măsurare coaxial C_m , care se închide cu impedanță constituită de o rezistență neinductivă Z_c , egală cu impedanță caracteristică a cablului de măsurare. Prin şunt trece

prin intermediul cablului de măsurare coaxial C_m , care se închide cu impedanță constituită de o rezistență neinductivă Z_c , egală cu impedanță caracteristică a cablului de măsurare. Prin şunt trece

mai mic decât currentul intens i . Între bornele a și b ale impedanței terminale se culege tensiunea u .

În fig. 3.12 se prezintă o schemă electrică echivalentă, corespunzătoare montajului indicat în fig. 3.11.

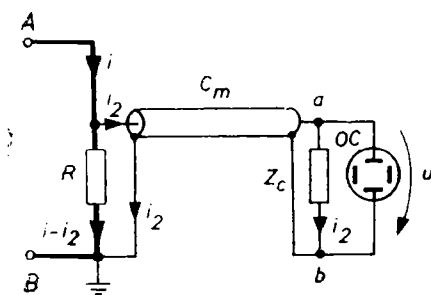


Fig. 3.11. Schemă de măsurare cu şunt coaxial.

În schemă electrică menționată se admite existența inductivităților L_1 în circuitul de curent intens, L_2 în circuitul de măsurare ca și posibilitatea existenței unei inductivități mutuale M între cele două circuite.

Şuntul ideal. Dacă şuntul coaxial este considerat că nu filtrează nici o armonică de curent și deci dacă se face abstracție de refularea curentului în regim tranzitoriu, ecuațiile de funcționare ale schemei din fig. 3.12 sunt următoarele [32] :

$$(i - i_2) R = L_2 \frac{di_2}{dt} - M \frac{di}{dt} + u; \quad (3.42)$$

$$i_2 = \frac{u}{Z_c} \text{ sau } \frac{di_2}{dt} = \frac{1}{Z_c} \frac{du}{dt}.$$

Comportarea sistemului de măsurare rezultă din analiza răspunsului la excitația treapta de curent, adică $i = I$, la $t > 0$ și $i = 0$ la $t < 0$. În aceste condiții, se obține răspunsul în tensiune

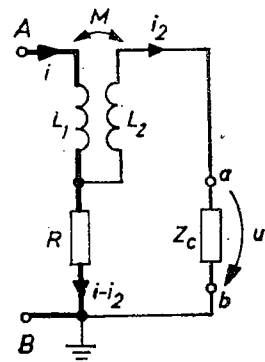


Fig. 3.12. Schema echivalentă a instalației din fig. 3.11.

$$u = I \left[\frac{a}{b} \left(\frac{a}{b} - \frac{c}{L_2} \right) e^{-t/\tau} \right], \quad (3.43)$$

unde :

$$a = Z_c R; \quad b = Z_c + R; \quad c = Z_c M; \quad \tau = L_2/b. \quad (3.44)$$

Analiza expresiei (3.43) conduce la următoarele variante de răspuns, reprezentate în fig. 3.13.

Răspuns subcompensat. Dacă se îndeplinește condițiile :

$$\frac{a}{b} - \frac{c}{L_2} < \frac{a}{b}; \quad \frac{a}{b} - \frac{c}{L} > 0, \quad (3.45)$$

se obține răspunsul din fig. 3.13, a.

Răspuns exponențial. Dacă inductivitatea mutuală M este nulă, răspunsul are forma

$$u = I \frac{a}{b} \left(1 - e^{-\frac{t}{\tau}} \right) \quad (3.46)$$

și este reprezentat în fig. 3.13, b. Prin construcția sa, şuntul coaxial îndeplinește condiția $M = 0$. Timpul de răspuns, corespunzător

acestei condiții, rezultă $T_r = \tau = L_2/(Z_c + R)$. Pentru a diminua timpul de răspuns este necesar a se reduce la maximum valoarea inductivității L_2 din circuitul de măsurare, ceea ce practic se realizează prin introducerea structurii coaxiale pentru cablul de măsu-

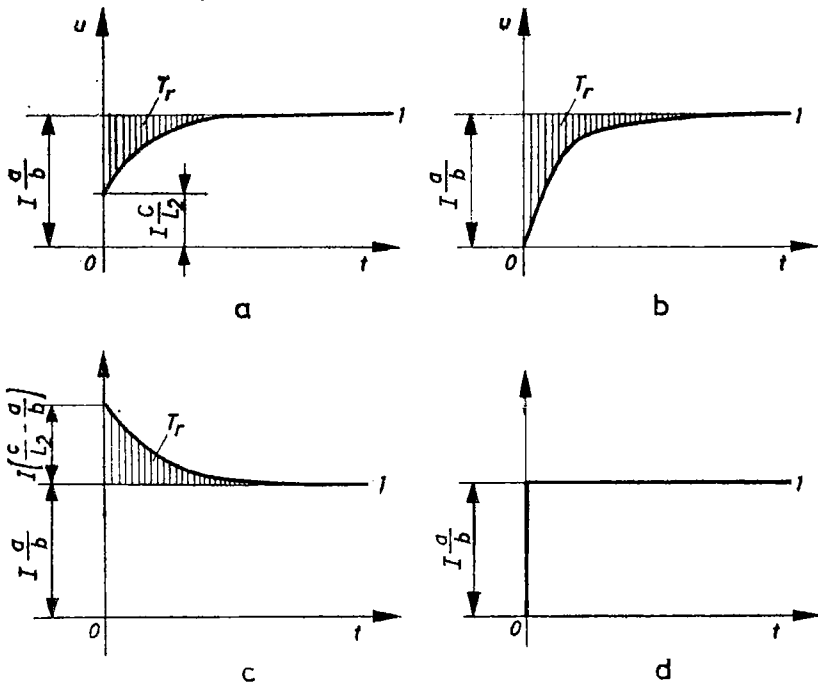


Fig. 3.13. Răspunsuri posibile :
a - subcompensat ; b - exponențial ; c - supracompensat ; d - compensat.

rare C_m și impedanța de sarcină Z_c . De asemenea, adoptarea unor valori sporite pentru rezistența în curent continuu a șuntului, ca și pentru impedanță caracteristică a cablului de măsurare, constituie măsuri eficiente pentru diminuarea timpului de răspuns.

Răspuns suprareactuat. Dacă este îndeplinită inegalitatea

$$\frac{a}{b} - \frac{c}{L_2} < 0,$$

se obține răspunsul din fig. 3.13, c, care pentru $t = 0$ depășește valoarea stabilizată $I(a/b)$.

Răspuns compensat. Dacă în mod voit se realizează un cuplaj magnetic între circuitele de curent intens și de măsurare și este indeplinită condiția $a/b = c/L_2$, adică

$$\frac{R}{Z_c + R} = \frac{M}{L_2}, \quad (3.47)$$

se obține răspunsul de forma treptei

$$u = I(a/b), \quad (3.48)$$

adică, excitației treaptă de curent îi corespunde un răspuns treaptă de tensiune. O asemenea instalație de măsurare este ideală, în ce privește măsurarea curentilor de impuls. Efectul pelicular tranzistorului nu se poate anula, dar prin utilizarea unor șunturi cu peretei extrem de subțiri — de exemplu $10 \mu\text{m}$ — comportarea intrinsecă a șuntului se apropie de cea ideală. Prin realizarea unui cuplaj de inductivitate mutuală M , după relația (3.47), se poate compensa prezența inductivității L_2 din circuitul de măsurare.

Șuntul cu efect pelicular tranzistoriu. Dacă șuntul este destinat a măsura curenți intensi, este necesar ca peretele tubului rezistiv să aibă grosimi mai mari, de exemplu $0,5 \dots 3 \text{ mm}$. În acest caz, în schema circuitului de măsurare, șuntul trebuie să fie reprezentat printr-un cuadripol echivalent [62], spre exemplu de tipul celui prezentat în fig. 3.14, format din două rezistențe $2R$ și inductivitatea L . Răspunsul în tensiune u_2 la excitația treaptă de curent $i = I$ al acestui cuadripol este

$$u_2(t) = RI(1 - e^{-\frac{4R}{L}t}). \quad (3.49)$$

Există două condiții de echivalență, pentru cuadripolul prezentat în fig. 3.14 și anume :

a) Răspunsul cuadripolului echivalent la $t \rightarrow \infty$ să fie egal cu răspunsul, la $t \rightarrow \infty$, dat de relațiile (3.26) și (3.38), care reprezintă răspunsul conductorului tubular la excitația treaptă de curent în rezolvarea aproximativă, respectiv cea exactă.

Din relația (3.49) se obține

$$u_2(t) \underset{t \rightarrow \infty}{=} RI; \quad (3.50)$$

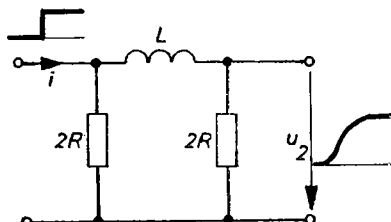


Fig. 3.14. Cuadripol echivalent al șuntului coaxial.

din relația (3.26) se obține

$$\lim_{t \rightarrow \infty} u_i = \frac{I}{2\pi r_i \delta} \cdot \frac{l}{\sigma} = R_{cc} I; \quad (3.51)$$

din relația (3.38) se obține

$$\lim_{t \rightarrow \infty} u_i = \frac{I}{\pi(r_e^2 - r_i^2)} \cdot \frac{l}{\sigma} = R_{cc} I. \quad (3.52)$$

Cu R_{cc} s-a notat rezistența conductorului tubular, măsurată în curenț continuu. Din compararea relației (3.50) cu (3.51) respectiv cu (3.52) rezultă că

$$R = R_{cc}, \quad (3.53)$$

adică, în cuadripolul echivalent, rezistența R are aceeași valoare ca rezistența în curenț continuu a conductorului rezistiv tubular al șuntului coaxial.

b) Timpul de răspuns al cuadripolului echivalent să fie egal cu timpul de răspuns al conductorului tubular. Timpul de răspuns al cuadripolului echivalent, cu răspunsul din relația (3.49), este

$$T_{rr} = \int_0^\infty [1 - (1 - e^{-\frac{4R}{L}t})] dt = \frac{L}{4R} \quad (3.54)$$

Timpul de răspuns al conductorului tubular, în soluția aproximativă, este dat de relația (3.29). Rezultă condiția de echivalență

$$L = \frac{2}{3} \sigma \mu_0 \delta^2 R.$$

Dacă, în această relație se introduce $R = l/(2\pi r_i \delta \sigma)$ se obține

$$L = \frac{2}{3} \cdot \frac{\mu_0 \delta l}{2 \pi r_i}. \quad (3.55)$$

Pentru un șunt coaxial de 1 000 A; 1 s [36], cu $r_e = 32,2$ mm; $r_i = 32$ mm; $l = 154$ mm; $\sigma = 2 \cdot 10^6$ S/m; $\mu_0 = 4\pi \cdot 10^{-7}$ H/m; $R_{cc} = 0,002 \Omega$, s-a trasat, în fig. 3.15, răspunsul calculat cu relația (3.29), marcat cu reperul 1 și răspunsul dat de cuadripolul echivalent, calculat cu relația (3.49), marcat cu reperul 2.

Schema echivalentă a circuitului de măsurare, care cuprinde şuntul reprezentat printr-un quadripol în π , cablul de măsurare

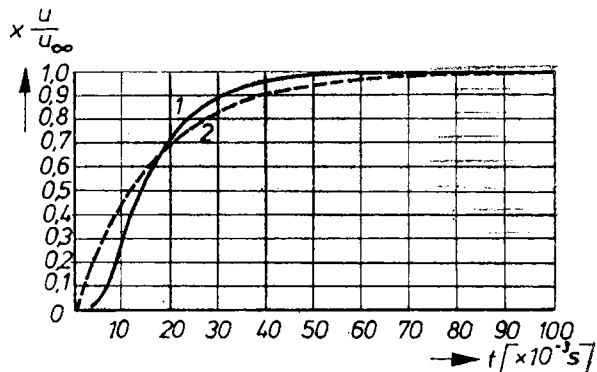


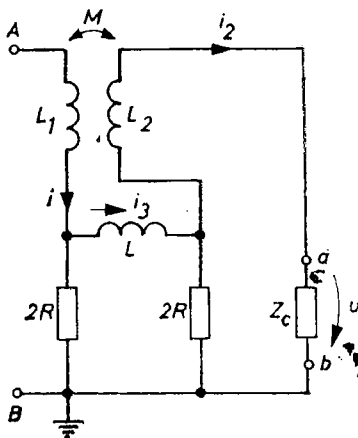
Fig. 3.15. Răspunsul intrinsec al şuntului coaxial :
1 - şunt de $2 \text{ m } \Omega$; 2 - quadripol echivalent.

terminat cu impedanța caracteristică Z_c ca și un cuplaj inductiv între circuitul de curent intens și cel de măsurare, este prezentată în fig. 3.16. Ecuatiile de funcționare ale acestei scheme sunt :

$$2R(i - i_3) + L \frac{di_3}{dt} - 2R(i_3 - i_2) = 0; \quad (3.56)$$

$$2R(i_3 - i_2) - u - L_2 \frac{di_2}{dt} + M \frac{di}{dt} = 0; \quad (3.57)$$

$$u = Z_c i_2. \quad (3.58)$$



Prin aplicarea transformării Laplace sistemului de ecuații (3.56) ... (3.58) și pentru excitarea treaptă de curent, adică $i = I$ și $\xi i = I/p$ se obține soluția în domeniul imaginii

$$u(p) = I \frac{MZ_c}{L_2} \cdot \frac{p^2 + \frac{4R}{L}p + \frac{4R^2}{LM}}{p^2 + 2 \frac{RZ}{LL_2} \left(\frac{2L_2 + L}{Z_c} + \frac{L}{2R} \right)p + \frac{4RZ}{LL_2} \left(\frac{R}{Z_c} + 1 \right)} \quad (3.59)$$

Fig. 3.16. Schema electrică a sistemului de măsurare.

și soluția înălță originală

$$u(t) = I \frac{RZ_e}{R + Z_e} (1 + Ae^{-\alpha t} \operatorname{sh} \omega_e t + Be^{-\alpha t} \operatorname{ch} \omega_e t) \quad (3.60)$$

unde :

$$\omega_e = \sqrt{\alpha^2 - \omega_0^2}; \quad \alpha^2 > \omega_0^2;$$

$$\begin{aligned} \alpha &= \frac{RZ_e}{LL_2} \left(\frac{2L_2 + L}{Z_e} + \frac{L}{2R} \right); \\ \omega_0^2 &= \frac{RZ_e}{4LL_2} \left(1 + \frac{R}{Z_e} \right); \\ A &= \frac{2(R + Z_e)}{LL_2 \omega_e} \left(2M - \frac{LM\alpha}{2R} - \frac{2R\alpha}{\omega_0^2} \right); \\ B &= \frac{2(R + Z_e)}{LL_2 \omega_e} \left(\frac{LM\omega_e}{2R} - \frac{2R\omega_e}{\omega_0^2} \right). \end{aligned} \quad (3.61)$$

Timpul de răspuns calculat cu relația generală (2.8), considerind răspunsul indicial corespunzător relației (3.60) rezultă

$$T_r = A \int_0^\infty e^{-\alpha t} \operatorname{sh} \omega_e t \, dt + B \int_0^\infty e^{-\alpha t} \operatorname{ch} \omega_e t \, dt;$$

după efectuarea calculelor se obține

$$T_r = \frac{A \omega_e + B \alpha}{\omega_0^2}. \quad (3.62)$$

La un sistem coaxial necompensant, inductivitatea mutuală $M = 0$. Cu această condiție răspunsul dat de relația (3.60) devine

$$u(t) = I \frac{RZ_e}{R + Z_e} \left[1 - e^{-\alpha t} \left(\operatorname{ch} \omega_e t + \frac{\alpha}{\omega_e} \operatorname{sh} \omega_e t \right) \right]. \quad (3.63)$$

iar timpul de răspuns corespunzător, calculat cu relația (2.8), devine

$$T_r = 2 \alpha / \omega_0^2. \quad (3.64)$$

Timpul de răspuns dat de relația (3.64) corespunde sistemului format din șunt și cablul de măsurare, cu schema de principiu prezentată în fig. 3.17. În fig. 3.18 s-au traseat:

- curba 1 a răspunsului circuitului de măsurare care include $L_2 = 1,625 \cdot 10^{-7} \text{ H}$ și $Z_c = 75 \Omega$;

- curba 2 a răspunsului sistemului de măsurare care include și șunțul coaxial de $1000 \text{ A}-1$ și cu $R = 2 \text{ m}\Omega$; $L = 1,34 \cdot 10^{-10} \text{ H}$.

Timpul de răspuns al circuitului de măsurare în cazul menționat este

$$T_{r2} = L_2/Z_c = 2,16 \cdot 10^{-9} \text{ s}; \quad (3.65)$$

iar timpul de răspuns al circuitului echivalent pentru șunt este

$$T_{r1} = L/4R = 16,75 \cdot 10^{-9} \text{ s}. \quad (3.66)$$

Timpul de răspuns al sistemului de măsurare rezultă

$$T_r = T_{r1} + T_{r2} = 18,91 \cdot 10^{-9} \text{ s}. \quad (3.67)$$

Observație importantă.
În cazul determinării experimentale a timpului de răspuns al unui sistem de măsurare ce include un șunt coaxial, este necesar a se ține seama de faptul că excitația treaptă de curent reprezintă o idealizare, după cum s-a arătat la § 2.1.4 și că oscilograful are un timp de răspuns propriu. În consecință, pentru a

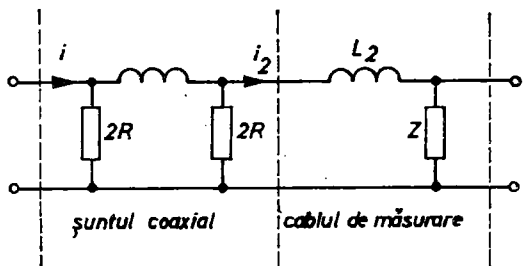


Fig. 3.17. Schema electrică a sistemului de măsurare $M = 0$.

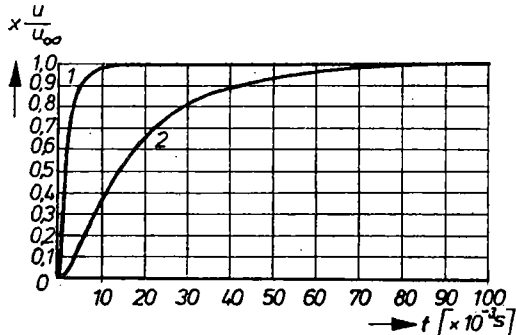


Fig. 3.18. Răspunsuri indiciale:
1 — răspunsul circuitului (fără șunt); 2 — răspunsul circuitului cu șunt.

obține un acord între valorile măsurate și cele calculate este necesar ca, în lanțul de cuadripoli din fig. 3.17, să se introducă, în amonte, un cuadripol echivalent generării unei rampe de curent, și în aval, cuadripolul echivalent oscilografului catodic. În orice împrejurare, timpul de răspuns măsurat pe oscilogramă este mai mare decit cel calculat cu relația (3.67). Astfel, pentru un şunt construit de $1000 \text{ A} - 1 \text{ s}$, pe oscilogramă s-a măsurat timpul de răspuns de $27 \cdot 10^{-9} \text{ s}$, în timp ce din relația (3.67) rezultă timpul de răspuns de $18,91 \cdot 10^{-9} \text{ s}$.

3.2.4. Compensarea schemei de măsurare care include un şunt cu pereți subțiri

Urmărind ideea de a obține, pentru ansamblul sistemului de măsurare, un timp de răspuns cît mai redus, este necesar a se realiza schema de principiu din fig. 3.16, care comportă o inductivitate mutuală M între circuitul de curent intens parcurs de curentul i și cel de curent, de măsurare, parcurs de curentul i_2 , în care şuntul este reprezentat printr-un cuadripol echivalent, după cum s-a arătat la paragraful 3.2.3. În fig. 3.19 se prezintă schița constructivă a şuntului coaxial cu ajutorul căruia se realizează cuplajul menționat. Elementele componente ale acestui şunt sunt săt identice cu cele pre-

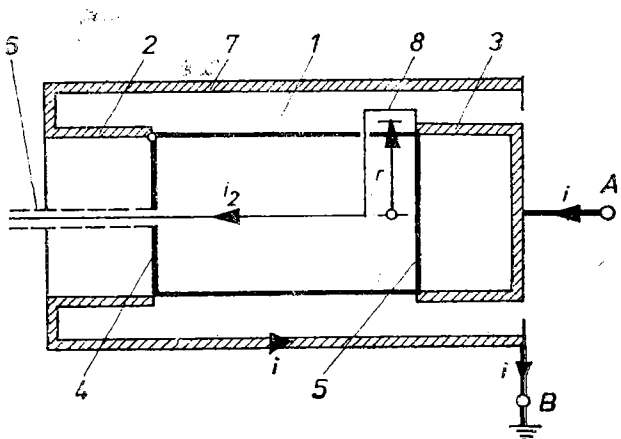


Fig. 3.19. Dispoziție constructivă pentru realizarea unei inductivități mutuale.

zentate în fig. 3.7, cu excepția bobinei 8 parcursă de curentul i_2 bobină care se aşază între tubul rezistiv 1 și ecranul 7, deci în cimpul magnetic al tubului respectiv parcurs de curentul intens i .

Tensiunea de măsurat este de forma celei prezentate de relația (3.1) în care tensiunea indușă $d\Phi/dt$ este controlată ca amplitudine prin dimensiunile geometrice ale bobinei 8 din fig. 3.19. Alura tensiunii care se aplică oscilografului este dată în fig. 3.20 de curba 1, unde se vede cum această curbă intersectează valoarea stabilizată, o dată la creștere, în punctul A, și o dată la descreștere, în punctul B. Valoarea virfului u_{max} depinde de inductivitatea mutuală M . Răspunsul schemei necompensate este indicat prin curba 2. Se poate constata că, prin acest mod de compensare, timpul de răspuns, definit de relația (2.8), se diminuează.

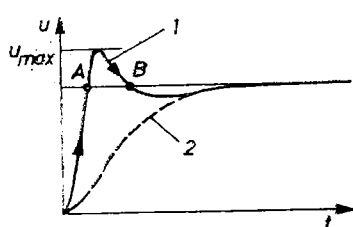


Fig. 3.20. Răspunsuri indiciale :
1 – compensat ; 2 – natural.

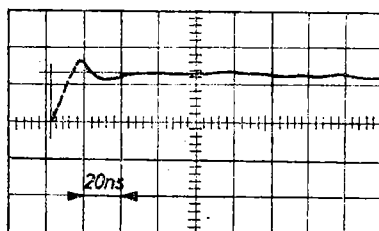


Fig. 3.21. Oscilograma unui răspuns indicial la un sunț de $2 \text{ m}\Omega$ compensat.

Prima încercare de a realiza o astfel de compensare a fost făcută de Eatoc și Lago [45], practicînd o trecere a conductorului de măsurare la $1/3$ din lungimea tubului rezistiv. S-a dovedit însă că în acest mod se realizează numai compensarea sunțului și nu a schemei întregi [35].

Pentru a realiza compensarea schemei, în totalitatea ei, se are în vedere schema de principiu din fig. 3.16 și expresia timpului de răspuns din relația (3.62). Dacă în această relație se pune condiția ca timpul de răspuns să fie egal cu zero, se obține valoarea inductivității mutuale

$$M = \frac{2R\alpha}{\omega_0^2}. \quad (1.68)$$

Pentru dimensionarea bobinei de compensare, reperul 8 din fig. 3.19, se utilizează în primă aproximatie relația

$$M = \frac{\mu_0}{2\pi r} NA, \quad (3.69)$$

în care : N este numărul de spire, iar A -aria definită de bobină.

În fig. 3.21 se prezintă oscilograma unui sistem de măsurare compensat, în componență căruia intră un sunț coaxial de 1 000A –

1 s cu datele $R = 2 \cdot 10^{-3} \Omega$; $L = 1,34 \cdot 10^{-10} \text{ H}$; $Z_c = 75 \Omega$; $L_2 = 1,625 \cdot 10^{-7} \text{ H}$; $\omega_0^2 = 2,76 \cdot 10^{16} \text{ s}^{-2}$; $\alpha = 2,6 \cdot 10^8 \text{ s}^{-1}$; $\omega_e = 2 \cdot 10^8 \text{ s}^{-1}$. Compensarea teoretică realizată cu relația (3.68) conduce la $M = 3,768 \cdot 10^{-11} \text{ H}$. În practică, s-a luat $M = 1,685 \cdot 10^{-11} \text{ H}$, pentru a diminua din vîrful răspunsului tranzitoriu.

Compensarea schemei de măsurare prin metoda bobinei plasată în cîmpul magnetic al curentului intens își găsește utilitate în schemele de măsurare care utilizează șunturi cu pereți relativ subțiri ($0,2 \dots 0,4 \text{ mm}$). Pentru pereți mai groși, urmărind realizarea condiției de compensare (3.68), vîrful tensiunii induse în bobină devine extrem de mare și apare detașat, în timp, față de restul răspunsului.

3.2.5. Compensarea schemei de măsurare care include un șunt cu pereți groși

Pentru curenți măsuраti, de ordinul zecilor de kA, peretele tubului rezistiv poate ajunge la grosimi de aproximativ $1 \dots 3 \text{ mm}$, din considerente de stabilitate termică și electrodinamică. În aceste cazuri se preferă o compensare bazată pe ideea *sistemelor compensabile cu fază minimă*, numite și *sisteme reversibile*, conform clasificării din anexa 2. În acest scop, este necesar să se determine funcția de transfer a șuntului și să se găsească o rețea de corecție a cărui funcție de transfer să fie inversul funcției de transfer a șuntului. În acest mod, semnalul de ieșire aplicat oscilografului nu va suferi distorsiuni în raport cu semnalul de intrare [27, 68].

Funcția de transfer a șuntului. În fig. 3.22 se prezintă schema electrică echivalentă a șuntului, care comportă inductivitatea mutuală M . Cu notațiile scrise pe desen, ecuațiile de funcționare sunt :

$$2Ri_1 = L \frac{d(i - i_1)}{dt} + 2R(i - i_1); \quad (3.70)$$

$$u_1 = 2R(i - i_1) + M \frac{di}{dt}. \quad (3.71)$$

Prin transformări succesive se obține funcția de transfer căutată

$$\mathcal{X}(p) = \frac{\mathfrak{L}u}{R\mathfrak{L}i} = \frac{\frac{LM}{2R^2}p^2 + \frac{2M}{R}p + 2}{\frac{L}{2R}p + 1}. \quad (3.72)$$

Functia de transfer a retelei de corectie. În fig. 3.23 se indică o rețea formată din inductivitatea L_3 , rezistențele R_1 , R_2 , Z_c și capacitatea C a cărui funcție de transfer este inversa funcției de

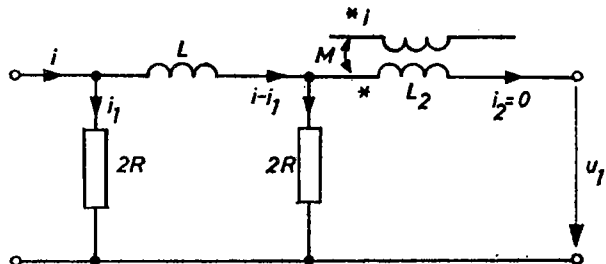


Fig. 3.22. Circuitul echivalent a șuntului.

transfer din relația (3.72). Cu notațiile din fig. 3.23, ecuațiile de funcționare sunt :

$$\begin{aligned} u_1 &= L_3 \frac{di}{dt} + R_1 i_1; \\ R_1 i_1 &= \frac{1}{C} \int_0^t i_2 dt + u_2; \\ \frac{1}{C} \int_0^t i_2 dt &= R_2(i - i_1 - i_2); \end{aligned} \quad (3.73)$$

$$i - i_1 = \frac{u_2}{Z_c}.$$

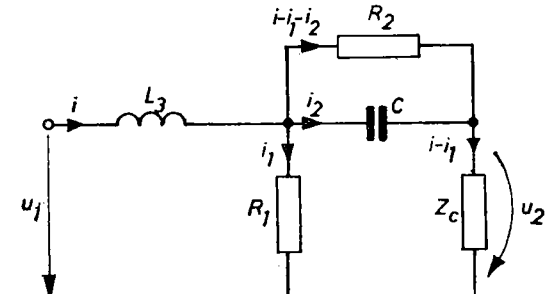


Fig. 3.23. Circuitul echivalent al rețelei de corecție.

Functia de transfer corespunzătoare este

$$\mathcal{H}_2(p) = \frac{\mathcal{L}u_2}{\mathcal{L}u_1} = \frac{CR_2 p + 1}{L_3 C \left(\frac{R_2}{Z_c} + \frac{R_2}{R_1} \right) p^2 + \left(\frac{L_3}{Z_c} + \frac{R_2 L_3}{R_1 Z} + CR_2 + \frac{L_3}{R_1} \right) p + \frac{R_2}{Z_c} + 1}. \quad (3.74)$$

Pentru a determina parametrii rețelei de corecție din fig. 3.23, se echivalează coeficienții corespunzători ai polinoamelor de la numitor și numărător, adică :

$$\frac{R_2}{Z_c} + 1 = 2; \quad (3.75)$$

$$CR_2 = \frac{L}{2R}; \quad (3.76)$$

$$\frac{L_3}{Z_c} + \frac{R_2 L_3}{R_1 Z_c} + CR_2 + \frac{L_3}{R_1} = \frac{2M}{R}; \quad (3.77)$$

$$L_3 C \left(\frac{R_2}{Z_c} + \frac{R_2}{R_1} \right) = \frac{LM}{2R^2}. \quad (3.78)$$

Din relațiile (3.75) ... (3.78) se determină valori pentru R_1 , R_2 , L_3 și C :

$$R_1 = \frac{RL}{M - L_0/2};$$

$$R_2 = Z_c; \quad (3.79)$$

$$C = \frac{L_0}{2RZ_c};$$

$$L_3 = CZ_c^2.$$

Se observă astfel că R_2 , C , L_3 nu depind de inductivitatea mutuală M și că numai R_1 depinde de această inductivitate. Se mai constată că, pentru ca R_1 să capete valori pozitive, este necesar ca

$$M > \frac{L_0}{2} \quad (3.80)$$

Cuplajul magnetic între circuitul de curent intens și cel care transmite semnalul la oscilograf se poate realiza fie după schema prezentată în fig. 3.27, fie prin introducerea unei bobine între cilindrul rezistiv și ecran. Inductivitatea mutuală realizată cu această bobină are expresia

$$M = \frac{\mu_0 b N}{2\pi} \ln \frac{r_2}{r_1} \quad (3.81)$$

unde: N este numărul de spire al bobinei;

b — dimensiunea longitudinală a bobinei;

r_1, r_2 — razele pe care sint plasate laturile externe ale bobinei.

În realizarea practică [38], valorile pentru R_2 , C , L_3 se pot lua cele rezultate din relațiile (3.79), în timp ce, valoarea rezistenței R_1 se reglează față de cea calculată din ea uza aproximărilor acceptate în stabilirea schemelor echivalente pentrușuntul coaxial și pentru rețeaua de corecție.

În fig. 3.24 se prezintă schema electrică a instalației de măsurare care cuprinde șuntul 1, rețeaua fizică 2, cablul coaxial 3 terminat cu impedanță caracteristică Z_c și oscilograful catodic 4. Este de observat că, rețelei de corecție schițată în fig. 3.23 îi co-

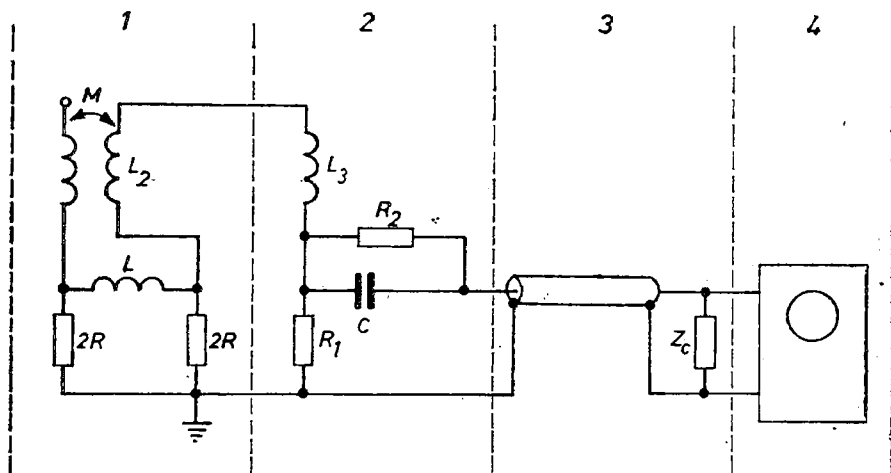


Fig. 3.24. Schemă de măsurare completă.

respunde, în schema 3.24, rețeaua fizică 2 și cablul coaxial 3 terminat cu impedanță caracteristică Z_c .

Compensarea instalației de măsurare, prin metoda rețelei de corecție, oferă posibilitatea reducerii sensibile a timpului de răspuns a instalației de măsurare. Astfel, în fig. 3.25 se prezintă [28] osci-

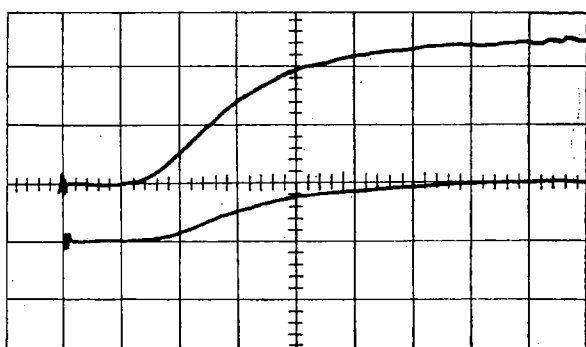


Fig. 3.25. Răspuns de 125 ns al unui șunt de 7,5 kA, necompensat; 50 ns/div.

lograma răspunsului la excitare treaptă de curent a unui şunt necompenzat de 7,5 kA, cu un timp de răspuns de 125 ns, iar în fig. 3.26 răspunsul aceluiaşi şunt compensat, cu un timp de răspuns de 14 ns.

Pentru crearea unui cuplaj magnetic între circuitul de curent intens și cel de măsurare, A. Schwab [62] realizează un şunt format din bare circulare dispuse pe generatoarele unui cilindru.

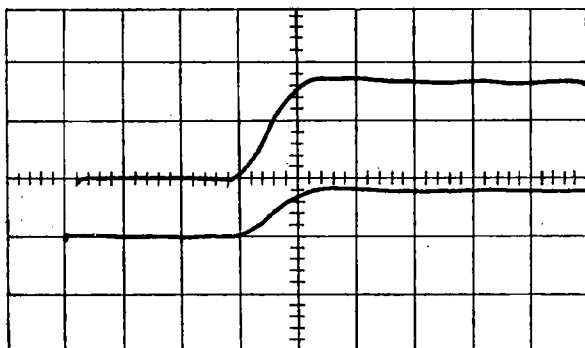


Fig. 3.26. Răspuns de 14 ns al unui şunt de 7,5 kA, compensat ; 25 ns/div.

Astfel cîmpul magnetic al barelor pătrunde, printre bare, în zona buclei de măsurare.

O dispoziție convenabilă, preconizată de autori [39], constă în menținerea structurii coaxiale a șuntului și realizarea unui cuplaj,

controlabil prin calcul, între circuitul de curent intens și cel de măsurare, ca în fig. 3.27. Curentul i , care trece prin cilindrul rezistiv 1, parurge radial conductoarele 3. Paralel cu aceste conductoare se află conductoarele 2, prin care se colectează curentul de măsurare i_2 . Inductivitatea mutuală reglabilă se realizează prin modificarea distanței d între cele două circuite.

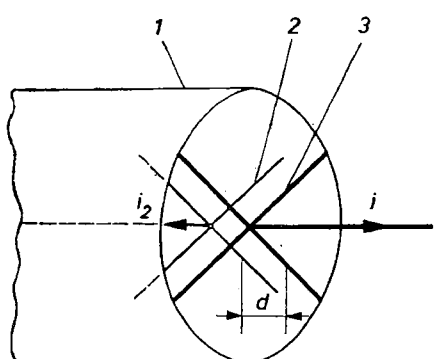


Fig. 3.27. Modalitate de a cupla magnetic circuitul de curent intens cu cel de măsurare.

3.2.6. Elemente de proiectare

Construcția unui șunt, destinat a măsura curenți cu variații rapide, presupune alegerea unor materiale potrivite, în ceea ce privește calitatea și dimensiunile, determinarea solicitărilor termice și electrohidraulice ce apar în unele componente ale șuntului, ca și eliminarea interferențelor posibile.

Materialul rezistiv. Acesta se alege din categoria materialelor cu rezistivitatea mai mare, dar cu un coeficient de temperatură al rezistivității mai redus. Din această categorie face parte manganina 86 Cu 2 Ni 12 Mn [41, 44] ale cărei proprietăți fizice sunt următoarele :

Rezistivitatea	$\rho = 0,435 \cdot 10^{-6} \Omega \text{m}$;
Coeficientul de temperaturi al rezistivității	$\alpha_R = \pm 1 \cdot 10^{-5} \text{ grd}^{-1}$;
Căldura volumică	$c_1 = 3,4 \cdot 10^6 \text{ Ws/m}^3 \cdot \text{grd}$;
Densitatea	$\rho_D = 8,4 \cdot 10^3 \text{ kg/m}^3$;
Temperatura de topire	$\theta_{\text{top}} = 960^\circ\text{C}$.

Se poate alege ca materiale rezistive și materiale de tip constantan, dar, în acest caz, este necesar să se observe că acesta are coeficientul de temperaturi al rezistivității $\alpha_R = -3 \cdot 10^{-5} \text{ grd}$, mai mare decât al manganinei.

Solicitări termice. Șuntul poate funcționa în felurite regimuri : regim permanent, de scurtă durată, de impuls. Limita de temperatură a materialului rezistiv se stabilește, în funcție de variația de rezistență, de la rece la cald, care se acceptă de cîteva fracții de procente. Pe de altă parte, la determinarea grosimii peretelui tubului rezistiv, există două cerințe contradictorii și anume :

a) În conformitate cu relația (3.29) a timpului de răspuns, urmărindu-se o valoare mai redusă a acestuia, rezultă o grosime mică a peretelui tubului rezistiv

$$\delta = \sqrt{6 \rho T_r / \mu_0}. \quad (3.82)$$

b) Pentru intensități mari ale curentului care se măsoară, este necesar, conservînd limita de temperatură, să se admită grosimi mari ale peretelui tubului rezistiv.

Grosimea peretelui tubului rezistiv se alege în funcție de precizia cerută asupra măsurării și de regimul de încărcare al șuntului.

Regimul permanent. Deoarece supratemperatura pe care o poate lua un șunt este sub 200 grd, se poate admite că în acest interval

de temperatură rezistivitatea variază liniar de la temperatura de preîncălzire θ_p la temperatura θ_t după relația :

$$\rho = \rho_p [1 + \alpha_R (\theta_t - \theta_p)] = \rho_p [1 + \alpha_R \theta_s], \quad (3.83)$$

în care : ρ_p este rezistivitatea la temperatura de preîncălzire ; $\theta_s = \theta_t - \theta_p$ — supratemperatura.

Din relația (3.83) rezultă supratemperatura admisibilă, luând drept criteriu variația de rezistență a șuntului

$$\theta_s = \frac{\Delta \rho}{\rho_p} \cdot \frac{1}{\alpha_R}. \quad (3.84)$$

Raportul $\Delta \rho / \rho_p$ se ia în limitele 0,01 ... 0,02, adică variația de rezistență a șuntului se acceptă a fi 0,1 ... 0,2%. Densitatea de curent J se poate determina [32] imediat

$$J = \sqrt{\frac{\alpha l_p \theta_s}{k_a \rho_p A}}, \quad (3.85)$$

unde : α este transmisivitatea căldurii la suprafață periferică a șuntului ;

A — aria secțiunii transversale a tubului rezistiv ;

l_p — lungimea periferică a tubului rezistiv ;

k_a — factorul de majorare a rezistenței datorită refulării curentului.

Transmisivitatea α variază în funcție de condițiile de răcire ale șuntului. Pentru răcire naturală $\alpha \approx 12 \text{ W/m}^2 \text{ grd}$, iar pentru răcire forțată, cu aer, la viteza 10 m/s, $\alpha \approx 80 \text{ W/m}^2 \text{ grd}$ [44].

Regimul de scurtă durată. Acesta apare la încercarea întreruptoarelor, cind durata trecerii curentului prin aparat este mai mică decât 1 s și ca urmare, regimul termic se consideră adiabatic. În mod general, pentru astfel de situații, densitatea de curent echivalentă J_{ee} rezultă [32]

$$J_{ee} = \sqrt{\frac{c_{01}}{k_a \alpha_R \rho_0} \ln \frac{1 + \alpha_R (\theta_p + \theta_s)}{1 + \alpha_R \theta_p}} \cdot \frac{1}{\sqrt{t}} \quad (3.86)$$

unde : este c_{01} căldura volumică la 0°C ;

α_n — valoare medie a coeficientului de temperatură a rezistivității ;

ρ_0 — rezistivitatea la 0°C ;

θ_s — supratemperatura peste temperatura de preîncălzire θ_p ;
 t — durata trecerii curentului prin șunt.

La folosirea unui material rezistiv de bună calitate, spre exemplu cu $\alpha_n = \pm 10^{-5} \cdot \text{grd}^{-1}$ și pentru supratemperaturi moderate, spre exemplu $\theta_s < 200$ grd, relația (3.86) ia o formă mai simplă și utilizabilă direct la calculul ariei secțiunii transversale a tubului rezistiv

$$A = \sqrt{\frac{c_{1p}\theta_s}{k_a \rho_p t}}, \quad (3.87)$$

unde c_{1p} și ρ_p sunt valori ale căldurii volumice, respectiv ale rezistivității la temperatura de preîncălzire, spre exemplu temperatura mediului ambiant.

În cazul regimului termic intermitent, caz frecvent într-o stație de încărcări de mare putere, șuntul este supus la solicitări termice repetitive, alternate cu pauze de curent. Un astfel de regim este descris cantitativ în lucrările care tratează regimul termic al aparatelor electrice [32].

Regimul excitației treaptă. Acesta este un regim asimilabil cu regimul de încărcare al șunturilor destinate a măsura curenți de impuls, la care durata semiamplitudinii este sensibil mai mare decât durata frontului. Pentru această situație puterea dezvoltată de trecerea curentului prin șunt sunt trebuie calculată ținând seamă de efectul peculiar tranzitoriu, adică de densitatea de curent variabilă în timp [31]. În acest scop în relația (A.6.12) se face schimbarea de variabilă $r=r_i + \delta x$, în care δ este grosimea peretelui tubului rezistiv și x este variabila nouă cuprinsă între 0 și 1 ; se obține astfel expresia densității de curent sub forma

$$J(x, t) = \frac{I}{2\pi(r_i + \delta x)} \left[1 + \sum_{k=1}^{\infty} (-1)^k (2 \cos k\pi x) e^{-\frac{t}{T_k}} \right]; \quad (3.88)$$

unde

$$T_k = \frac{\sigma \mu_0 \delta^2}{k^2 \pi}. \quad (3.89)$$

Puterea dezvoltată prin efect Joule-Lenz se exprimă în funcție de densitatea de curent

$$P_J = \int_0^t \frac{J^2(x, t)}{\sigma} 2\pi(r_1 + \delta x)l \delta dx, \quad (3.90)$$

unde l este lungimea tubului rezistiv.

După efectuarea calculelor, prezентate în anexa 9, se obține expresia puterii dezvoltate în tubul rezistiv la timpul t oarecare

$$P_J = P_0 \left[1 + 2 \sum_1^{\infty} e^{-\frac{2t}{T_k}} \right], \quad (3.91)$$

unde P_0 reprezintă puterea dezvoltată în regim permanent și deci

$$P_0 = \frac{I^2 l}{2\pi\sigma r_1}. \quad (3.92)$$

Energia suplimentară W_{st} , dezvoltată ca rezultat al efectului peculiar tranzitoriu, rezultă din relația (3.91)

$$W_{st} = \int_0^t (P_J - P_0) dt = 2P_0 \int_0^t \sum_1^{\infty} e^{-\frac{2t}{T_k}} dt \quad (3.93)$$

sau

$$W_{st} = \frac{I^2 l \mu_0 \delta}{2\pi^3 r_1} \left[\sum_1^{\infty} \left(-\frac{1}{k^2} e^{-\frac{2t}{T_k}} \right) + \sum_1^{\infty} \frac{1}{k^2} \right]. \quad (3.94)$$

Dacă în relația (3.94) se consideră $t=\infty$, se obține energia suplimentară $W_{s\infty}$ dezvoltată în tubul rezistiv de la apariția excitării treaptă de curent pînă la un moment, la care practic a dispărut refularea curentului.

$$W_{s\infty} = \frac{\mu_0 I^2 l \delta}{12\pi r_1}. \quad (3.95)$$

Pe de altă parte, energia dezvoltată în regim de curent constant este

$$W_{0t} = P_{0t} = \frac{I^2 lt}{2\pi\sigma\delta r_1}. \quad (3.96)$$

Energia totală dezvoltată în tubul rezistiv rezultă

$$W_t = W_{ot} + W_{st}. \quad (3.97)$$

Pentru a scoate în evidență ponderea energiei suplimentare W_{st} față de energia totală W_t , în fig. 3.28 s-au trase următoarele rapoarte: $W_{st}/W_{s\infty}$ curba 1; $W_{ot}/W_{s\infty}$, curba 2; $W_t/W_{s\infty}$, curba 3, pentru un şunt de $60 \text{ kA} - 1 \text{ s}$, cu caracteristicile $r_i = 84 \text{ mm}$,

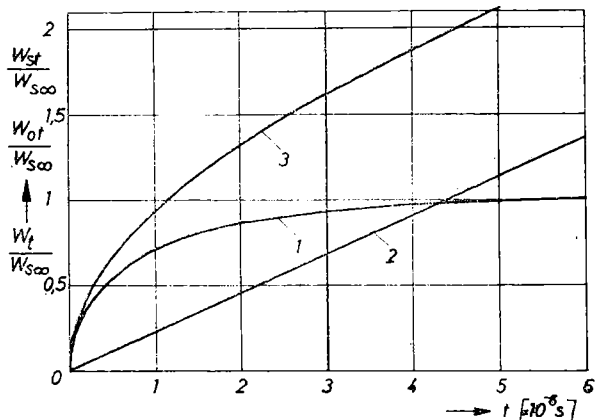


Fig. 3.28. Efectul termic produs de excitația treapta de curent

- 1 — $W_{st}/W_{s\infty}$;
- 2 — $W_{ot}/W_{s\infty}$;
- 3 — $W_t/W_{s\infty}$.

$r_e = 87 \text{ mm}$, $\delta = 3 \text{ mm}$; $l = 246 \text{ mm}$; $\sigma_{20} = 2,325 \cdot 10^6 \text{ S/m}$. Pentru acest caz concret, se constată că la aproximativ $4,25 \mu\text{s}$ energia suplimentară egalează energia dezvoltată în regim de curent constant.

Solicitări electrodinamice. Dacă un şunt coaxial este destinat a măsura curenti intensi, de ordinul $10^3 \dots 10^5 \text{ kA}$, este util a se calcula forțele electrodinamice care se exercită, pe de o parte, asupra tubului rezistiv, iar pe de altă parte, asupra ecranului.

Forțele electrodinamice exercitate asupra tubului rezistiv. Cimpul magnetic datorit curentului care trece prin ecran este nul în interiorul ecranului; ca urmare, cilindrul rezistiv se găsește sub efectul interacțiunii dintre curentul care îl parcurge și cimpul magnetic propriu. În fig. 3.29 se prezintă o construcție geometrică necesară calculării presiunii ce se exercită asupra tubului rezistiv de rază r_1 . Dacă curentul este uniform repartizat la periferia tubului

rezistiv, forța de interacțiune între conductoarele elementare definite la periferia cilindrului de unghiu elementar $d\alpha$ este

$$d^2F = |\mathbf{d}^2\mathbf{F}| = \frac{\mu_0}{2\pi} \left(\frac{id\alpha}{2\pi} \right)^2 \frac{l}{2r \sin \frac{\alpha}{2}}. \quad (3.98)$$

Presiunea exercitată pe tubul rezistiv este raportul între componenta radială $d^2F_r = d^2F \sin(\alpha/2)$ și suprafața $rd\alpha l$, adică

$$p = \int_0^{2\pi} \frac{d^2F \sin \frac{\alpha}{2}}{r_1 d\alpha l} = \frac{\mu_0 i^2}{8\pi^2 r_1^2}. \quad (3.99)$$

Integrala forței tangențiale $d^2F_t = d^2F \cos \frac{\alpha}{2}$ este nulă cind α variază între 0 și 2π . În concluzie tubul rezistiv este supus unei

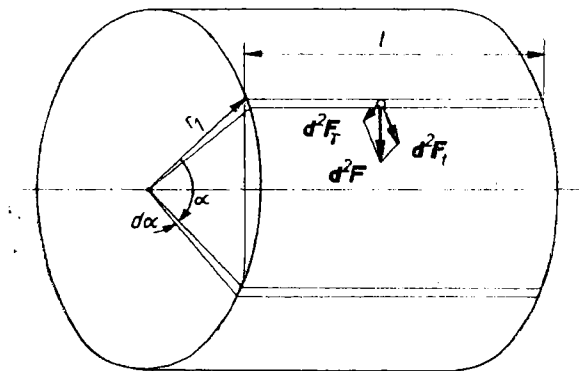


Fig. 3.29. Forțe exercitate asupra tubului rezistiv.

presiuni din exterior către interior, iar valoarea presiunii este dată de relația (3.99). Pentru a calcula forța internă T_1 , se secționează tubul rezistiv, ca în fig. 3.30 și se obține

$$T_1 = \frac{p}{2} \int_{-\pi/2}^{+\pi/2} r_1 l \cdot \cos \alpha \cdot d\alpha = pr_1 l. \quad (3.100)$$

Forțe electrodinamice exercitate asupra ecranului. Ecranul se află în cimpul magnetic al curentului ce trece prin tubul rezistiv și sub acțiunea cimpului magnetic propriu curentului ce trece prin

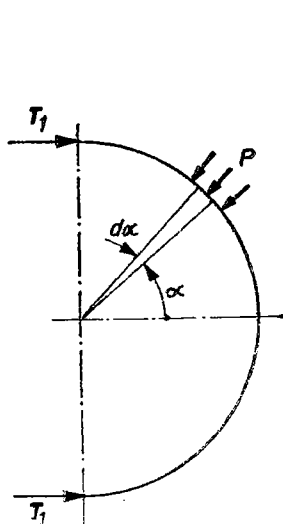


Fig. 3.30. Forță internă T_1 în tubul rezistiv.

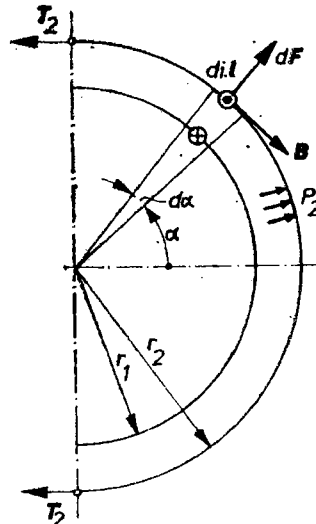


Fig. 3.31. Forțe electrodinamice în ecranul șuntului coaxial.

ecranul de rază r_2 . În acord cu relația (3.99), presiunea exercitată asupra ecranului, datorită curentului care circulă prin ecran, este

$$p_1 = \frac{\mu_0 i^2}{8\pi^2 r_2^2} \quad (3.101)$$

La periferia ecranului, cimpul magnetic produs de curentul care parcurge tubul rezistiv are numai o componentă tangențială, de valoarea $H = i/2\pi r_2$. Forță electrodinamică care se exercită asupra unui element de conductor, cu reprezentarea din fig. 3.31, este, ca modul

$$dF = di l \mu_0 H = rd\alpha \cdot \frac{i}{2\pi r_2} l \mu_0 \cdot \frac{i}{2\pi r_2} \quad (3.102)$$

Presiunea exercitată dinspre interior către exterior rezultă

$$p_2 = \frac{dF}{dA} = \frac{\mu_0 i^2}{2\pi r_2^2} \quad (3.103)$$

Presiunea rezultantă apare ca diferență și anume :

$$p = p_2 - p_1 = \frac{\mu_0 i^2}{8\pi^2 r_2^2} \quad (3.104)$$

și este îndreptată din spre interior spre exteriorul ecranului. Acesta este supus la forță de întindere

$$T_2 = \frac{1}{2} \int_{-\pi/2}^{+\pi/2} pr_2 l \cos \alpha \, d\alpha = pr_2 l. \quad (3.105)$$

Efectul ecranului. Ecranul fiind parcurs de un curent egal și de sens contrar cu curentul din tubul rezistiv, cimpul magnetic exterior ecranului este nul, abstracție făcind de efectele de capăt. Ca urmare, asupra unui sunt coaxial ecranat, parcurs de curent, plasat într-un cimp magnetic, nu se exercită nici o forță.

Semnalul util poate fi influențat de cimpuri magnetice exterioare, dacă grosimea ecranului și a peretelui tubului rezistiv sunt foarte mici.

Factorul de ecranare k_s , pentru un cimp magnetic alternativ de frecvență f , este definit, în acord cu notațiile din fig. 3.32, ca raportul între inducția magnetică B_i — în interiorul tubului și inducția magnetică B_0 incidentă — în exteriorul tubului [66]

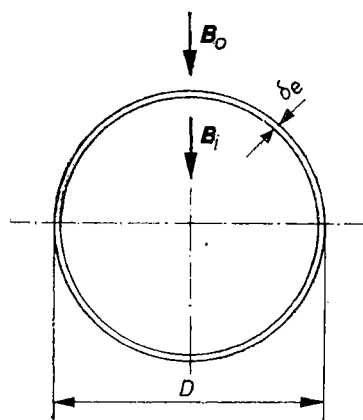


Fig. 3.32. Efectul ecranului.

$$k_s = \frac{B_i}{B_0} = \frac{1}{\sqrt{1 + (2\pi f T)^2}}, \quad (3.106)$$

unde : $T = \mu D \delta_e / 4 \rho$ este constanta de timp a curenților turbionari ;

- D — diametrul exterior al ecranului ;
- δ_e — grosimea peretelui ecranului ;
- ρ — rezistivitatea materialului.

Este de observat că, o ecranare magnetică este realizată și de către tubul rezistiv, căruia, la rîndul lui, i se poate aplica relația (3.106). Pentru scopuri practice realizarea unui ecran de 2 ... 3 mm din cupru constituie o soluție satisfăcătoare.

Adaptarea. La șunturile coaxiale de dimensiuni mari și cu lungimi mari ale tubului rezistiv, este necesar să se țină seama de procesul propagării semnalului de măsurare în interiorul șuntului coaxial [20], [34]. În fig. 3.33 se prezintă schematic șuntul coaxial, abstracție făcindu-se de prezența ecranului. Curentul de măsurare

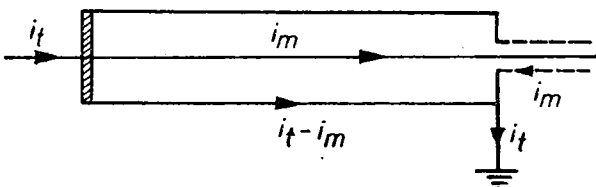


Fig. 3.33. Referitor la fenomenul de propagare.

i_m , care trece prin conductorul central, este cu cîteva ordine de mărime mai mic decît curentul total i_t ; prin tubul rezistiv trece curentul $i_t - i_m$. În fig. 3.34 se prezintă schema electrică echivalentă necesară stabilirii procesului de propagare al semnalului de măsurare; L_0 , C_0 , R_0 sunt respectiv inductivitatea lineică, capacitatea lineică și rezistența lineică. Conductorul central se consideră fără rezistență; rezistența lineică corespunde numai tubului rezistiv. Se admite că potențialul punctelor situate pe o generatoare a tubului rezistiv crește linear, de la extremitatea conectată la pămînt, la cealaltă extremitate în care intră curentul total i_t . Conducția lineică se neglijeează. În aceste condiții, ecuațiile diferențiale ale propagării semnalului util, observînd notațiile din fig. 3.34, sunt :

$$\begin{aligned} -\frac{\partial u_m}{\partial x} &= L_0 \frac{\partial i}{\partial t}; \\ -\frac{\partial i}{\partial x} &= C_0 \frac{\partial u}{\partial t}; \end{aligned} \quad (3.107)$$

Semnalul de măsurare — o tensiune — rezultă prin trecerea curentului de măsurare i_m prin impedanța caracteristică Z_c a cablului coaxial.

În anexa 10 se demonstrează pe baza relațiilor (3.100) și (3.107) că perioada proprie de oscilație a șuntului este

$$T = 4 \sqrt{LC} = 4l \sqrt{L_0 C_0}, \quad (3.108)$$

unde inductivitatea și capacitatea linieică se exprimă în funcție de diametrele d_1 al conductorului central și d_2 al tubului rezistiv

$$L_0 = \frac{y_0}{2\pi} \ln \frac{d_2}{d_1}; \quad C_0 = \frac{2\pi\varepsilon_0}{\ln \frac{d_2}{d_1}}. \quad (3.109)$$

Tot în anexa 10 se arată că, pentru a evita oscilații pe frecvență proprie este necesar ca șuntul să fie *adaptat*, adică *impedanță*

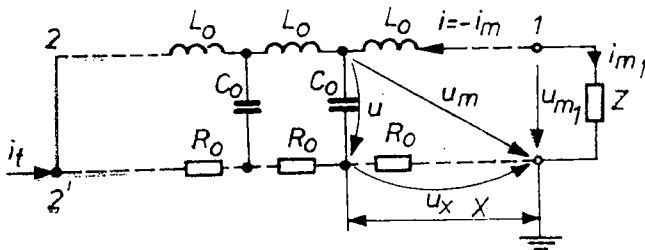


Fig. 3.34. Schema electrică echivalentă pentru fenomenul propagării.

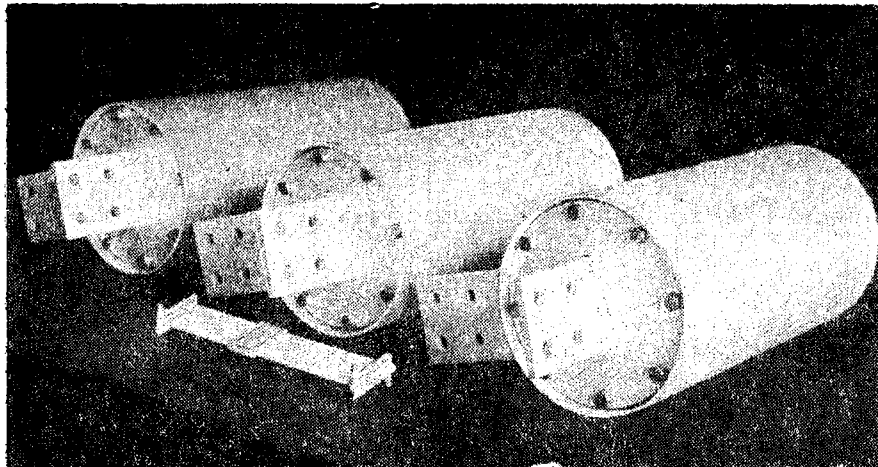


Fig. 3.35. Set de trei șunturi coaxiale 30 kA, 1 s.

internă $Z_0 = \sqrt{L_0/C_0}$ să fie egală cu impedanța caracteristică a cablului de măsurare.

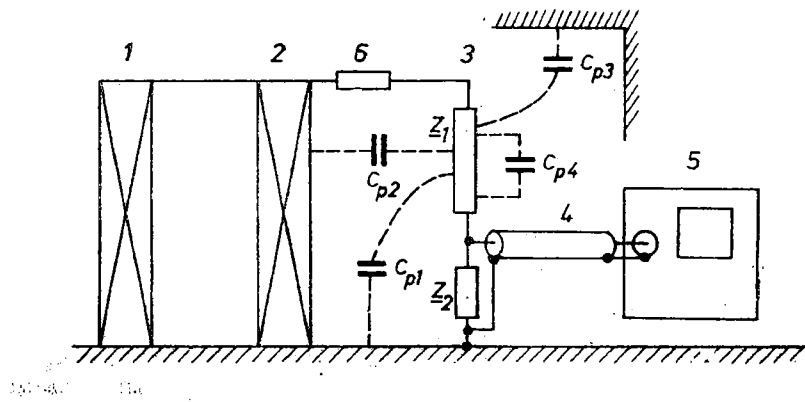
În fig. 3.35 se prezintă fotografia unui set de trei șunturi coaxiale de 30 kA — 1 s destinate a echipa o stație de încercări de mare putere.

4. Divizoare de tensiune

Folosirea divizoarelor de tensiune drept convertoare, la măsurarea tensiunilor continui, alternative sau de impuls, constituie singura posibilitate de a stabili o relație de dependență practic lineară, pentru un domeniu dat, între mărimea măsurată și mărimea de intrare într-un oscilograf catodic.

Aprecierea calității unui divizor de tensiune se face cu ajutorul unuia din criteriile stabilite în cap. 2, spre exemplu de comportare la excitația treaptă de tensiune sau de comportare la excitația sinusoidală de frecvență variabilă. Cu eșt un divizor de tensiune va avea un timp de răspuns mai mic sau o bandă de frecvență mai mare, cu atât calitatea lui va fi mai bună.

În structura divizoarelor de tensiune intră rezistoare și condensatoare ca elemente componente, dar în afara acestora existența inductivităților intrinseci și a capacităților parazite este de natură să influențeze sensibil performanțele divizoarelor de tensiune. În fig. 4.1 se prezintă o schemă generală de măsurare, în componență



căreia intră sursa de tensiune înaltă 1, obiectul care se încearcă 2, divizorul de tensiune 3, cablul de măsurare 4, oscilograful catodic 5 și rezistența de amortizare 6. Divizorul de tensiune 3 se compune din două impudențe: Z_1 – de înaltă tensiune și Z_2 – de joasă tensiune, conectate în serie. Prin dimensionarea potrivită a impedanțelor Z_1 și Z_2 , la bornele impudenței Z_2 se culege o tensiune sensibil mai mică, în acord cu sensibilitatea oscilografului, decit tensiunea aplicată întregului divizor. Capacitatele parazite C_{p1} , C_{p2} , C_{p3} se stabilesc față de obiectele învecinate, iar capacitatea parazită C_{p4} se stabilește între unele componente ale divizorului.

În prima etapă pare util a se stabili proprietățile intrinseci ale divizoarelor de tensiune, adică acele proprietăți care decurg din faptul că nu se iau în considerare nici inductivitățile intrinseci și nici capacitațile parazite. În aceste condiții, calculele corespunzătoare sunt utile la construcția și utilizarea divizoarelor de tensiune care fac parte din scheme de măsurare cu tensiuni relativ mici, spre exemplu sub 10 kV. Pentru asemenea tensiuni, divizoarele de tensiune au dimensiuni relativ mici, capacitațile parazite și inductivitățile intrinseci sunt mici și se poate face abstracție de procesul propagării undelor electromagnetice în divizor.

În etapa următoare, se consideră divizorul ca o linie cu structură complexă, în care are loc un proces de propagare a undelor electromagnetice, cu considerarea inductivităților intrinseci și a capacitaților parazite. În acest ultim concept, divizorul de tensiune are un ancombrament mare și este destinat a servi drept convertor pentru tensiuni înalte, de exemplu 100 ... 5 000 kV.

4.1. Structura simplă a divizoarelor de tensiune

Componentele intrinseci ale divizoarelor de tensiune sunt elemente pasive de tipul condensatorului și rezistorului cu ajutorul căror se realizează divizoare capacitive, rezistive și mixte.

4.1.1. Divizorul capacativ

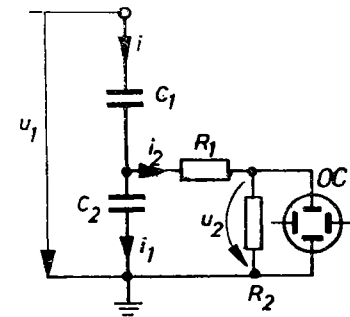
Schela electrică a divizorului capacativ este indicată în fig. 4.2, în care se observă că tensiunea măsurată este u_1 , iar tensiunea aplicată oscilografului este u_2 , de la bornele rezistenței R_2 de intrare în oscilograf; R_1 este o rezistență egală cu impudența caracteristică a cablului de măsurare prin care se transmite semnalul

de la divizor la oscilograf. Rezistența R_2 are în mod ușual valoarea de $1 \text{ M}\Omega$, în timp ce $R_1 = 50 \Omega$ sau 75Ω . Se constată deci că

$$R_1 + R_2 = R \approx R_2. \quad (4.1.)$$

Cu notațiile din fig. 4.2, ecuațiile de funcționare ale schemei sunt :

$$\begin{aligned} u_1 &= \frac{1}{C_1} \int_0^t i dt + u_2; \\ i &= i_1 + i_2; \\ i_1 &= C_2 \frac{du_2}{dt}; \\ i_2 &= \frac{u_2}{R}. \end{aligned} \quad (4.2)$$



Se obține astfel, ținând seama și de relația (4.1), răspunsul la excitația treaptă de tensiune U

Fig. 4.2. Schema electrică a divizorului capacativ.

$$u_2 = U \frac{C_1}{C_1 + C_2} e^{-\frac{t}{R(C_1 + C_2)}} \quad (4.3)$$

și cu caracteristica de frecvență în amplitudine

$$G(\omega) = \frac{\omega \tau}{\sqrt{1 + \omega^2 \tau^2}}, \quad (4.4)$$

cu

$$\tau = R(C_1 + C_2). \quad (4.5)$$

După cum rezultă din relațiile (4.3) și (4.5) un divizor de tensiune capacativ, al cărui braț de joasă tensiune se închide pe o rezistență, nu poate fi folosit la măsurarea tensiunilor de curent continuu, dar poate fi folosit cu succes la măsurarea tensiunilor alternative pînă la frecvențe ridicate, spre exemplu 1 MHz .

Pentru frecvențe foarte ridicate, de ordinul $10 \dots 100 \text{ MHz}$, se folosesc divizoare de tensiune înglobate în structuri coaxiale, la care inductivitatea intrinsecă a conexiunilor între brațul de înaltă tensiune — capacitatea C_1 , în fig. 4.2 — și brațul de joasă tensiune — capacitatea C_2 , în fig. 4.2 — este practic nulă. Un astfel de

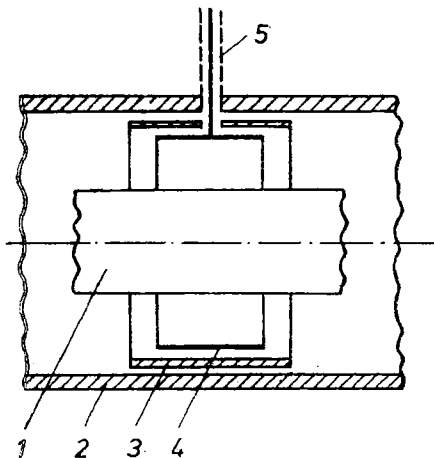


Fig. 4.3. Divizor de tensiune capacitive în structură coaxială.

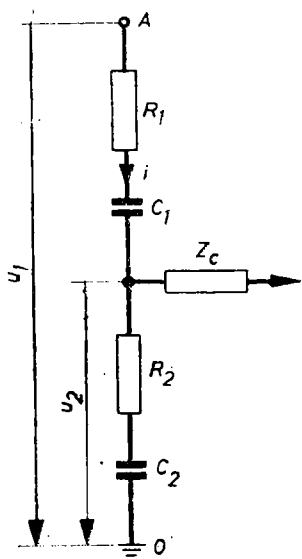


Fig. 4.4. Divizor de tensiune mixt, serie RC .

divizor este prezentat în fig. 4.3. Structura coaxială este realizată între conductorul cilindric central 1 și conductorul tubular 2. Armătura cilindrică 4 formează capacitatea C_1 față de conductorul 1 și capacitatea C_2 față de conductorul 2, față de care este izolață cu pelicula electroizolantă 3. Cu ajutorul mușiei coaxiale 5, se realizează legătura la cablul de măsurare. Realizarea unei presiuni de 10 barr în incintă determină o sensibilă creștere a rigidității dielectrice și permite astfel utilizarea divizorului la tensiuni de ordinul 10 ... 30 kV. Măsuri speciale se iau [54, 55] pentru obținerea unor performanțe deosebite, printre care să sint: ecranarea prizei de măsurare pe armătura 4 și limitarea lungimii armăturii 4 la o valoare mai mică decât 1/10 din lungimea de undă proprie a structurii coaxiale.

4.1.2. Divizorul mixt, serie RC

Proprietățile acestui tip de divizor rezultă din studiul comportării schemei de bază și a variantelor ce derivă din această schemă [26].

Schema de bază. În fig. 4.4 se prezintă schema electrică de bază a divizorului de tensiune mixt serie RC . Brațul de măsură tensiune este format din rezistența R_1 și capacitatea C_1 , iar cel

de joasă tensiune din rezistența R_2 și capacitatea C_2 . Divizorul de tensiune se conectează la plăcile oscilografului catodic prin intermediul unui cablu coaxial. În acest caz, este necesar ca acest cablu să se conecteze la divizor prin intermediul unei rezistențe egală în valoare cu impedanța caracteristică Z_c a cablului de măsurare.

Ecuatiile de funcționare privind tensiunea de intrare u_1 și tensiunea de ieșire u_2 sunt :

$$\left. \begin{aligned} u_1 &= R_1 i + \frac{1}{C_1} \int_0^t idt + u_2 \\ u_2 &= R_2 i + \frac{1}{C_2} \int_0^t i dt. \end{aligned} \right\} \quad (4.6)$$

Răspunsul la excitarea treaptă. La excitarea divizorului cu tensiunea treaptă $u_1 = U$, răspunsul rezultă

$$u_2 = U \frac{C}{C_2} \left[1 + \left(\frac{\tau_2}{\tau} - 1 \right) e^{-\frac{t}{\tau}} \right], \quad (4.7)$$

unde :

$$C = \frac{C_1 C_2}{C_1 + C_2}; \quad R = R_1 + R_2;$$

$$\tau = RC; \quad \tau_2 = R_2 C_2; \quad \tau_1 = R_1 C_1.$$

Răspunsul poate lua una din următoarele trei forme :

a. Pentru aceeași constantă de timp în brațul de înaltă tensiune și în brațul de joasă tensiune, adică pentru

$$R_1 C_1 = R_2 C_2 = RC = \tau$$

se obține

$$u_2 = \frac{R_2}{R} U. \quad (4.8)$$

Adică, răspunsul este compensat, de forma treptei ca în fig. 4.5, a și deci cu timpul de răspuns zero.

b. Pentru $\tau_2/\tau > 1$ se obține un răspuns supracompensat, ca în fig. 4.5, b.

c. Pentru $0 < \tau_2/\tau < 1$ rezultă un răspuns subcompensat, ca în fig. 4.5, c.

La un divizor de tensiune compus din module RC identice, la care se practică o priză pentru măsurarea în joasă tensiune, răspunsul este întotdeauna compensat.

La un divizor format din două sau mai multe elemente heterogene există posibilitatea de a avea oricare din cele trei tipuri de răspunsuri.

Caracteristica de frecvență. Această caracteristică oferă posibilități mai largi de apreciere a variantelor de schemă. Funcția de transfer a schemei din figură este

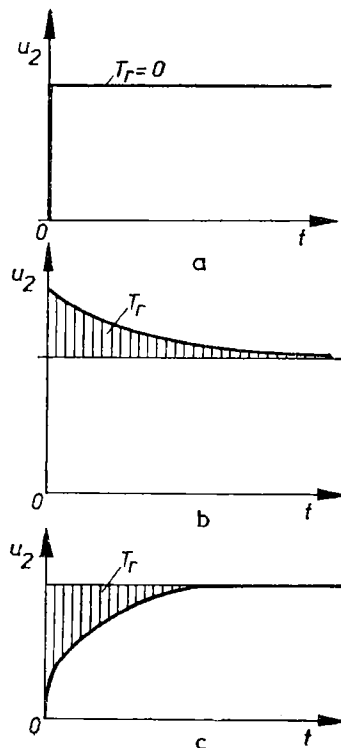


Fig. 4.5. Răspunsuri posibile ale divizorului mixt, serie, RC :

a -- compensat; b -- supracompensat; c -- subcompensat.

$$G(p) = \frac{p + 1/\tau_2}{p + 1/\tau} \quad (4.9)$$

De aici rezultă caracteristica de frecvență

$$G(j\omega) = \frac{\tau^2}{1 + \omega^2 \tau^2} \left[\frac{1}{\tau \tau_2} + \omega^2 + j\omega \left(\frac{1}{\tau} - \frac{1}{\tau_2} \right) \right], \quad (4.10)$$

cu caracteristica de amplitudine

$$A(\omega) = \sqrt{\frac{\tau^2}{1 + \omega^2 \tau^2} \left(\frac{1}{\tau \tau_2} + \omega^2 \right) + \omega^2 \left(\frac{1}{\tau} - \frac{1}{\tau_2} \right)^2}. \quad (4.11)$$

Variantele caracteristicei în amplitudine a frecvenței sunt:

a) pentru $\tau = \tau_2$, $A(\omega) = 1 = \text{const}$ și deci amplitudinea tensiunii de ieșire nu este influențată de frecvența de excitație a divizorului;

b) pentru $\tau_2 \neq \tau$ există o dependență a amplitudinii semnalului față de frecvența de excitație a divizorului de tensiune.

Impedanță de sarcină. În vederea măsurării cu ajutorul unui oscilograf, este necesar ca brațul de joasă tensiune să se închidă pe impedanță de intrare a unui amplificator. Această impedanță este cuprinsă între $1 \text{ M}\Omega$ și $10 \text{ M}\Omega$.

Schema electrică a dispozitivului de măsurare este dată în fig. 4.6. Proprietățile acestei scheme rezultă din analiza răspunsului la excitația cu treapta de tensiune și din caracteristica de frecvență.

Răspunsul la excitația treapta de tensiune. Ecuațiile schemei, cu notațiile din fig. 4.6, sunt :

$$u_1 = R_1 i_1 + \frac{1}{C_1} \int_0^t i_1 dt + R_3 i_3; \quad (4.12)$$

$$i_1 = i_2 + i_3;$$

$$R_2 i_2 + \frac{1}{C_2} \int_0^t i_2 dt = R_3 i_3 = u_2.$$

Prin rezolvarea acestui sistem de ecuații diferențiale, pentru excitația treapta de tensiune, adică $u_1 = U$, se obține

$$u_2 = \sigma U e^{-\delta t} \left[\operatorname{ch} \omega_e t + \right. \\ \left. + \left(\frac{1}{\omega_2 \tau_2} - \frac{\delta}{\omega_e} \right) \operatorname{sh} \omega_e t \right]. \quad (4.13)$$

unde :

$$\alpha = \frac{R_2 R_3}{R_1 R_2 + R_2 R_3 + R_1 R_3};$$

$$\delta = \frac{C_1 R_1 + C_2 R_2 + C_2 R_3 + C_1 R_3}{2 C_1 C_2 (R_1 R_2 + R_1 R_3 + R_2 R_3)}; \quad (4.14)$$

$$\omega_0^2 = \frac{1}{C_1 C_2 (R_1 R_2 + R_2 R_3 + R_1 R_3)}$$

În fig. 4.7 se prezintă răspunsul la excitația treapta pentru schema din fig. 4.6, în care s-au considerat următoarele valori : $R_1 = 500 \Omega$; $C_1 = 250 \text{ pF}$; $R_2 = 0,125 \Omega$; $C_2 = 1 \mu\text{F}$; $R_3 = 1 \text{ M}\Omega$. Se

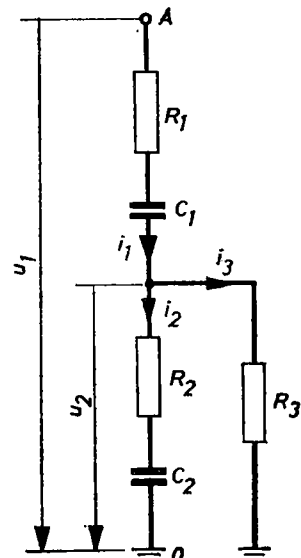


Fig. 4.6. Divizor de tensiune mixt, serie RC , cu impedanță de sarcină.

observă că datele au fost astfel alese încit $R_1C_1=R_2C_2=RC$, adică să se satisfacă condiția de compensare a schemei de bază. Timpul de răspuns corespunzător schemei din fig. 4.6 și deci și curbei din fig. 4.7 rezultă a fi infinit, ceea ce confirmă faptul că criteriul de

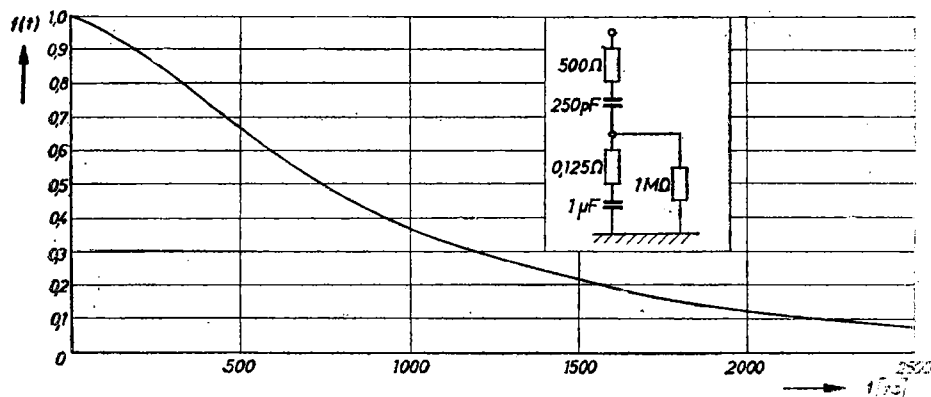


Fig. 4.7. Răspunsul indicial al divizorului din fig. 4.6.

calitate al unui sistem de măsurare nu poate fi luat timpul de răspuns, dacă răspunsul nu este de tip exponențial sau oscilant amortizat.

Caracteristica de frecvență. Pentru aprecierea calității sistemului de măsurare, corespunzător schemei din fig. 4.6, rămîne deci numai caracteristica de frecvență. Funcția de transfer corespunzătoare acestei scheme este

$$G(p) = \frac{p^2 + p/\tau}{p^2 + 2p\delta + \omega_0^2}; \quad (4.15)$$

cu caracteristica de frecvență

$$G(j\omega) = \frac{\left(-\omega^2 + j \cdot \frac{\omega}{\tau} \right)}{\omega_0^2 - \omega^2 + 2\omega\delta j} \quad (4.16)$$

și caracteristica de frecvență a amplitudinii

$$A(\omega) = \frac{\sqrt{[(\omega_0^2 - \omega^2)\omega^2 + 2\omega^2\delta/\tau]^2 + [(\omega_0^2 - \omega^2)\omega/\tau + 2\omega^3\delta]^2}}{(\omega_0^2 - \omega^2)^2 + 4\omega^2\delta^2}. \quad (4.17)$$

Examinarea relației (4.17) conduce la concluzia că acest tip de divizor nu este utilizabil pentru măsurarea tensiunii continue, pentru că în acest caz la $\omega=0$ și $A(0)=0$. Pentru frecvențe mai mari de 1 Hz, acest divizor este utilizabil, în ipoteza datelor indicate la §4.1.2, după cum se arată în fig. 4.8, în care s-a trasat caracteristica de frecvență a amplitudinii.

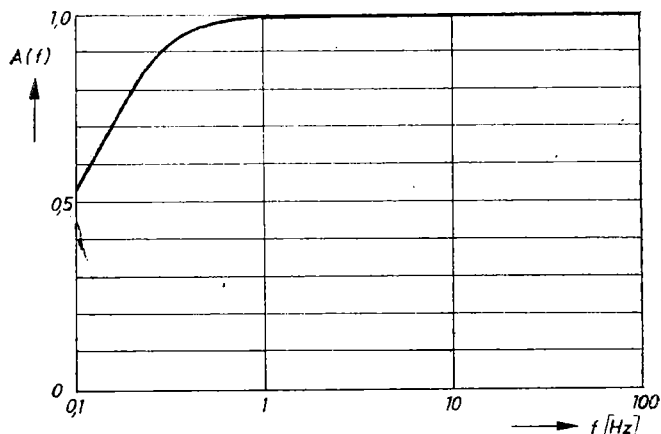


Fig. 4.8. Caracteristica de frecvență în amplitudine pentru divizorul din fig. 4.3.

Inductivitatea buclei de înaltă tensiune. Schemele prezentate în paragrafele precedente reprezintă situații extreme, puțin întâlnite în practică, dar utile pentru cercetarea proprietăților intrinseci.

Dacă se consideră cazul concret al încercării unui întretreruptor de înaltă tensiune, este clar că bucla, în care este introdus divizorul de tensiune și aparatul care se încearcă, prezintă o inductivitate apreciabilă. Până în prezent, nu este posibil să se executa montaje coaxiale pe partea de înaltă tensiune, pentru măsurarea tensiunii tranzistorii de restabilire. În bucla de joasă tensiune, legătura se execută cu cablul coaxial, ceea ce determină reducerea la minimum a inductivității în această buclă.

Aprecierea inductivității buclei dreptunghiulare de înaltă tensiune se face cu relația generală [43]

$$L = L_1 + L_2 + L_3 + L_4 + 2(M_{12} + M_{34}),$$

care explicitată, pe baza fig. 4.9, a, devine

$$L = \frac{\mu_0 a}{2\pi} \left[\frac{\mu_r}{2} + 2 \ln \frac{b}{r} \right] + \frac{\mu_0 b}{2\pi} \left[\frac{\mu_r}{2} + 2 \ln \frac{a}{r} \right]. \quad (4.18)$$

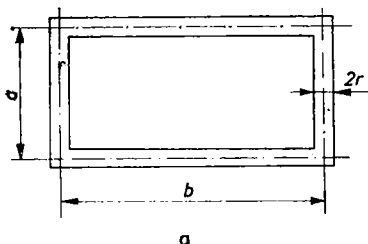


Fig. 4.9. Inductivitatea buclei de înaltă tensiune :

a — dimensiunile buclei; b — diagrama inductivității.

În fig. 4.9, b s-a trasa curba inductivității pentru o latură $a=1\text{ m}$, raza conductorului $0,01\text{ m}$ și latura b variabilă pînă la $4,5\text{ m}$. Se poate constata că inductivitatea poate să ajungă la cel mult 10^{-5} H , valoare care a fost acceptată în calculele ce urmează.

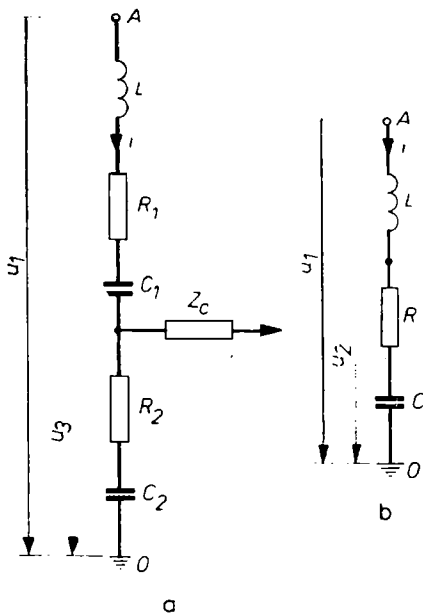
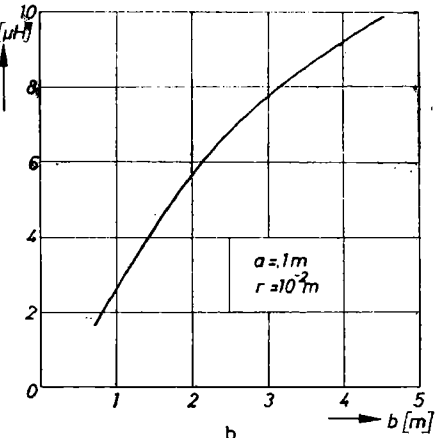


Fig. 4.10. Divizor de tensiune mixt serie R-C cu inductivitate :

a — schema generală ; b — schema redusă.

În fig. 4.10, a se prezintă schema electrică a divizorului mixt serie RC completat cu inductivitatea L a buclei de înaltă tensiune. În ipoteza compensării schemei de bază $\tau=R_1C_1=R_2C_2$, rezultă schema redusă din fig. 4.10, b, unde $R=R_1+R_2$ și $C=C_1C_2/(C_1+C_2)$. În aceste condiții, răspunsul la excitarea treaptă ca și caracteristica de frecvență se vor determina pentru ansamblul serie R , C , L .

Răspunsul de excitație treaptă. Circuitul din fig. 4.10, b este un circuit serie R , L , C , cu ecuațiile :

$$u_1 = L \frac{di}{dt} + Ri + \frac{1}{C} \int_0^t i dt ; \quad (4.19)$$

$$u_2 = Ri + \frac{1}{C} \int_0^t i dt .$$

Pentru excitația treaptă, adică $u_1 = U$, rezultă răspunsul

$$u_2 = U \left[1 - e^{-\delta t} \left(\operatorname{ch} \omega_e t - \frac{\delta}{\omega_e} \operatorname{sh} \omega_e t \right) \right]. \quad (4.20)$$

În fig. 4.11 se prezintă răspunsul la excitația treaptă a divizorului, după relația (4.20) pentru care notațiile sunt:

$$\delta = R/2L; \quad \omega_e = \sqrt{\delta^2 - \omega_0^2};$$

$$\omega_0^2 = 1/LC \text{ și cu } L = 10^{-5}H.$$

Pentru curba din fig. 4.11 se poate calcula timpul de răspuns, care rezultă a fi zero.

Caracteristica de frecvență. Funcția de transfer corespunzătoare schemei 4.10, b rezultă

$$G(p) = \frac{2p\delta + \omega_0^2}{p^2 + 2p\delta + \omega_0^2}, \quad (4.21)$$

iar caracteristica de frecvență este

$$G(j\omega) = \frac{\omega_0^2(\omega_0^2 - \omega^2) + 4\delta^2\omega^2 - 2\delta\omega^3 j}{(\omega_0^2 - \omega^2)^2 + 4\omega^2\delta^2}. \quad (4.22)$$

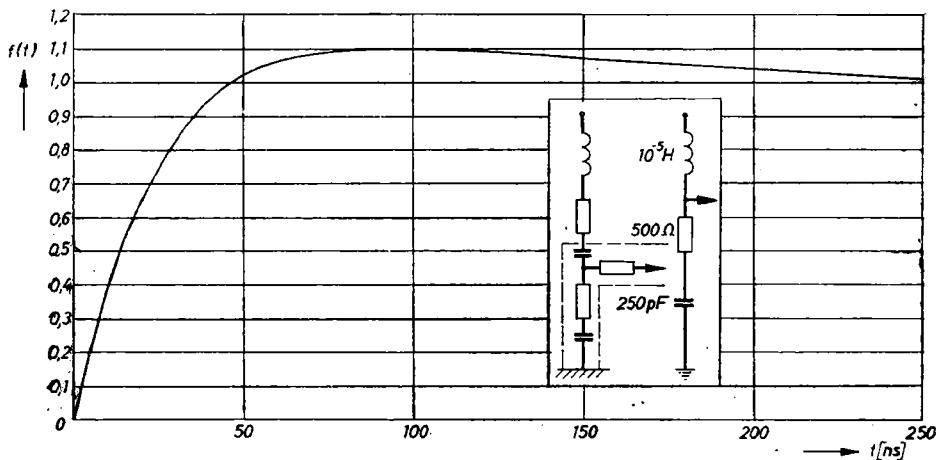


Fig. 4.11. Răspunsul indicial al divizorului din fig. 4.10.

cu caracteristica de frevență a amplitudinii

$$A(\omega) = \frac{\sqrt{[\omega_0^2(\omega_0^2 - \omega^2) + 4\delta^2\omega^2]^2 + 4\delta^2\omega^6}}{(\omega_0^2 - \omega^2)^2 + 4\omega^2\delta^2} \quad (4.23)$$

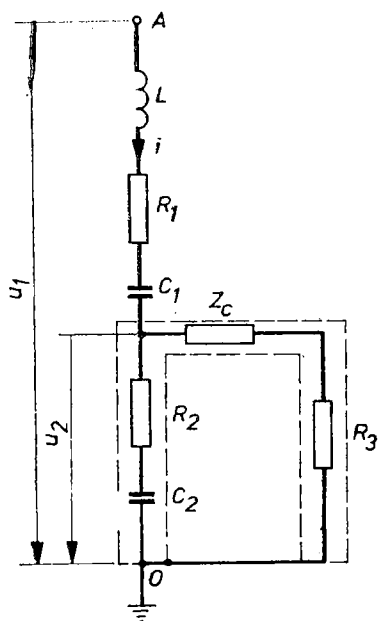


Fig. 4.12. Schema complexă a divizorului de tensiune mixt, serie, RC .

siune al divizorului se închide pe impedanța de intrare a amplificatorului, după cum se arată în schema electrică din fig. 4.12. Pentru această schemă, important este să cunoaște funcția de transfer și caracteristica de frecvență. Funcția de transfer se stabilește observind că același curent i parurge ramura de înaltă tensiune, formată din inductivitatea L , rezistența R_1 , capacitatea C_1 și ramura de joasă tensiune obținută prin conectarea în paralel rezistenței R_2 , capacității C_2 cu rezistența R_3 a amplificatorului. Impedanța rezistivă $Z_c \ll R_3$, astfel că în calcule se va considera numai R_3 în loc de $Z_c + R_3$. Se obține astfel funcția de transfer

$$\frac{U_2}{U_1} = \frac{R_3(R_2 + 1/pC_2)}{(R_1 + pL + 1/pC_1)(R_2 + R_3 + 1/pC_2) + R_3(R_2 + 1/pC_2)} \cdot (4.24)$$

și cu reprezentarea grafică din fig. 4.13, cu $R_3 = \infty$. Se constată o comportare bună a divizorului pînă la frevențe de 4 MHz, unde atenuarea este de 3 dB. Desigur că această apreciere este valabilă numai pentru compensarea intrinsecă a divizorului. În realitate mai trebuie ținut cont de procesul propagării în divizorul de tensiune și pe cablul coaxial de măsurare, ceea ce va conduce la o oarecare diminuare a benzii de frevență. Mai trebuie observat că schema din fig. 4.10 este utilizabilă numai dacă tensiunea de măsurare, pe partea de joasă tensiune, se aplică direct la plăcile unui oscilograf catodic, adică se exclude folosirea unui amplificator intermediar.

Schemă cu efect cumulat. Această schemă este indicată în cazul folosirii amplificatorului intermediar între divizorul de tensiune și oscilograful catodic. În mod obligatoriu, circuitul de măsurare de joasă ten-

Pentru valorile: $R_1 = 500 \Omega$; $C_1 = 250 \text{ pF}$; $R_2 = 0,125 \Omega$; $C_2 = 1 \mu\text{F}$; $L = 10^{-5} \text{ H}$; $R_3 = 1 \text{ M}\Omega$, se poate observa că $R_2 \ll R_3$; $R_1/C_2 \ll R_3/C_2$; $R_3/C_1 \gg R_3/C_2$; $R_2 R_3 \ll R_1 R_3$ și prin urmare, funcția de transfer se poate prezenta sub formă simplificată

$$G(p) = \frac{C_1 C_2 R_2 R_3 p^2 + C_1 R_3 p}{L R_3 C_1 C_2 p^3 + (C_1 C_2 R_1 R_3 + C_1 L) p^2 + R_3 C_2 p + 1}. \quad (4.25)$$

Caracteristica de frevență a amplitudinii, obținută pe baza funcției de transfer, este prezentată în fig. 4.13 cu $R_3 = 1 \text{ M}\Omega$. Se

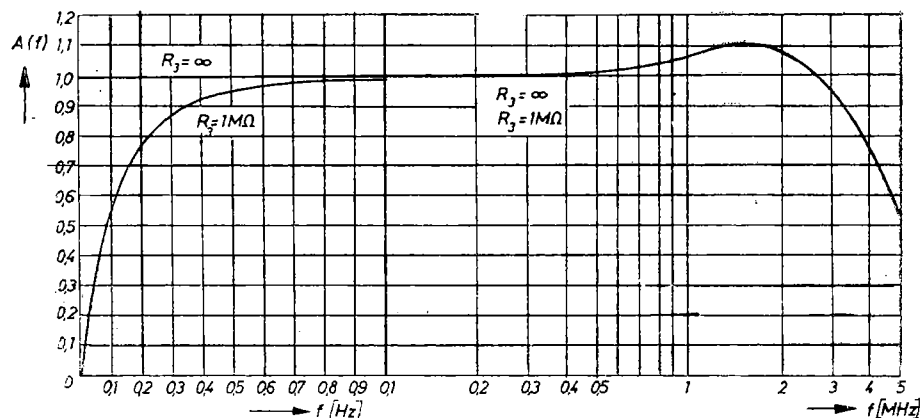


Fig. 4.13. Caracteristica de frevență în amplitudine a divizorului din fig. 4.12.

constată că divizorul de tensiune se comportă bine în gama $0,15 \text{ Hz} \dots 4 \text{ MHz}$, cu atenuare de 3 dB .

4.1.3. Divizorul mixt, paralel, RC

Acest tip de divizor prezintă avantaje la măsurarea tensiunilor continui, în cazul în care sarcina are impedanță — rezistență — diferită de zero. Inconvenientul, la acest tip de divizor, este de natură constructivă și se referă la dimensionarea rezistențelor conectate în paralel cu condensatoarele divizorului, rezistențe care se dim întionează din punct de vedere termic, pentru funcționarea de lungă durată.

Schema de bază. Această schemă este prezentată în fig. 4.14. Tensiunea de măsurat u_1 se aplică bornei A față de masă și deci brațelor de înaltă și joasă tensiune conectate în serie. Tensiunea redusă u_2 se obține între borna a și masă, adică pe brațul de joasă tensiune. Ecuatiile de funcționare ale divizorului, în acord cu notatiile din fig. 4.14, sunt :

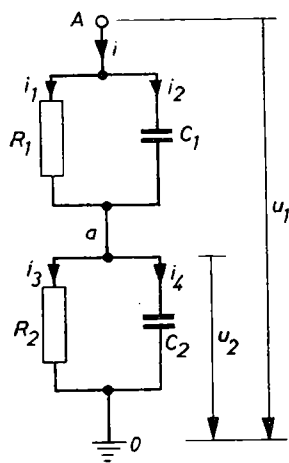


Fig. 4.14. Divizor de tensiune mixt, paralel, RC .

adică pentru $u_1 = U$,

$$\left. \begin{aligned} u_1 &= R_1 i_1 + R_2 i_3 = \frac{1}{C_1} \int_0^t i_2 dt + \frac{1}{C_2} \int_0^t i_4 dt ; \\ u_2 &= R_2 i_3 = \frac{1}{C_2} \int_0^t i_2 dt ; \\ R_1 i_1 &= \frac{1}{C_1} \int_0^t i_2 dt ; \\ i_1 + i_2 &= i_3 + i_4 . \end{aligned} \right\} \quad (4.26)$$

Rezolvarea acestui sistem de ecuații pentru excitarea treaptă de tensiune, conduce la răspunsul următor

$$u_2 = U \frac{C}{C_2} \left[\frac{\tau_2}{\tau} + \left(1 - \frac{\tau_2}{\tau} \right) e^{-\frac{t}{\tau}} \right] \quad (4.27)$$

unde :

$$\left. \begin{aligned} C &= \frac{C_1 C_2}{C_1 + C_2} ; & R &= R_1 + R_2 ; \\ \tau &= R C ; & \tau_1 &= R_1 C_1 ; & \tau_2 &= R_2 C_2 . \end{aligned} \right\} \quad (4.28)$$

Că și în cazul divizorului mixt, serie, RC și răspunsul divizorului mixt, paralel, RC poate lua trei forme caracteristice și anume : a. Dacă este îndeplinită condiția $\tau_2 = \tau = \tau_1$, rezultă răspunsul

$$u_2 = U \frac{C}{C_2} = U \frac{R_2}{R}, \quad (4.29)$$

adică tensiunea u_2 este redusă în raportul C/C_2 fără a fi distorsionată; divizorul este compensat.

b. Dacă este îndeplinită condiția $\tau_2 > \tau$, rezultă că $\tau_2 > \tau_1$, adică constanta de timp a brațului de joasă tensiune este mai mare decât constanta de timp a brațului de înaltă tensiune, divizorul este subcompensat.

c. Dacă este îndeplinită condiția $\tau_2 < \tau$, rezultă $\tau_2 < \tau_1$, adică constanta de timp a brațului de joasă tensiune mai mică decât constanta de timp a brațului de înaltă tensiune; divizorul este supra-compensat.

Schela cu efect cumulat. O asemenea schemă este prezentată în fig. 4.15, a, unde inductivitatea L este plasată în serie cu brațul de înaltă tensiune, iar rezistența de sarcină R_{2b} este conectată în paralel pe brațul de joasă tensiune; rezistența R_{2a} este proprie divizorului. Rezultă astfel rezistență în brațul de joasă tensiune

$$R_2 = \frac{R_{2a} R_{2b}}{R_{2a} + R_{2b}}. \quad (4.30)$$

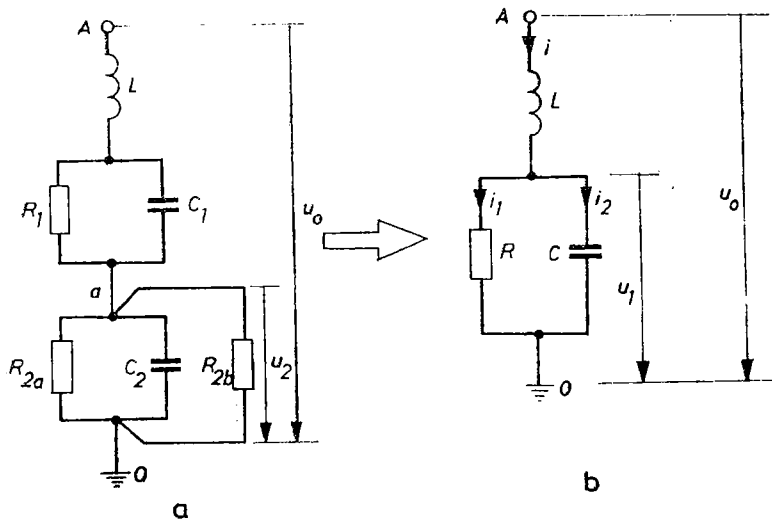


Fig. 4.15. Schema complexă a divizorului de tensiune mixt, paralel, RC :
a - schema generală; b - schema redusă.

Interes prezintă divizorul compensat, adică pentru care $\tau_1 = \tau_2$; în această situație schema electrică din fig. 4.15, a se reduce la

schema electrică din fig. 4.15, b. Ecuatiile de funcționare ale acestei scheme, nu notatiile luate din schemă, sunt :

$$\begin{aligned} u_0 &= L \frac{di}{dt} + u_1; \\ u_1 &= Ri_1 = \frac{1}{C} \int_0^t i_2 dt; \\ i &= i_1 + i_2; \\ i_1 &= \frac{u_1}{R}; \quad i_2 = C \frac{du_1}{dt}. \end{aligned} \quad (4.31)$$

Răspunsul la excitație treptată de tensiune, adică pentru $u_0 = U$ poate lua două variante și anume :

a. Răspuns oscilant amortizat, dacă $\omega_0^2 > \delta^2$

$$u_1 = U[1 - e^{-\delta t}(\cos \omega_e t + -\sin \omega_e t)]; \quad \omega_e = \sqrt{\omega_0^2 - \delta^2}. \quad (4.32)$$

b. Răspuns aperiodic, dacă $\omega_0^2 < \delta^2$

$$u_1 = U \left[1 - e^{-\delta t} \left(\operatorname{ch} \omega_e t + \frac{\delta}{\omega_e} \operatorname{sh} \omega_e t \right) \right]; \quad \omega_e = \sqrt{\delta^2 - \omega_0^2}, \quad (4.33)$$

unde : $\delta = 1/2 RC$ și $\omega_0^2 = 1/LC$.

Deoarece divizorul este compensat, osciloscopul va măsura tensiunea brațului de joasă tensiune

$$u_2 = u_1 C_2 / C_1, \quad (4.34)$$

cu valoarea u_1 dată de relațiile (4.32) și (4.33).

4.1.4. Divizorul rezistiv

Pentru măsurarea tensiunilor, în joasă și medie frevență, cum este cazul tensiunilor de restabilire la aparatelor de joasă tensiune, se pot utiliza divizoarele rezistive. Schema electrică a unui asemenea divizor este prezentată în fig. 4.16, în care R_1 este rezistența brațului de înaltă tensiune, iar R_2 , format din conectarea în paralel a rezistenței R_{2a} a divizorului cu rezistențe R_{2b} a intrării în osci-

loscop, constituie brațul de tensiune redusă. Raportul de reducere k este raportul între tensiunile u_2 de ieșire și u_1 de intrare

$$k = \frac{u_2}{u_1} = \frac{R_2}{R_1 + R_2}. \quad (4.35)$$

După cum se prezintă schema electrică în fig. 4.16, adică fără considerarea inductivității proprii și a capacităților parazite, divizorul rezistiv prezintă o bună caracteristică de frecvență, dacă este realizat cu rezistențe cu inductivitate minimală.

Din punct de vedere tehnologic, divizorul rezistiv ridică numai problema stabilității termice; rezistențele trebuie dimensionate corespunzător regimului de lucru, după caz: impuls, sinusoidal permanent, curent continuu. Din punct de vedere fenomenologic, divizorul rezistiv nu poate fi utilizat în scheme în care divizorul modifică sensibil amortizarea fenomenului studiat. Un astfel de exemplu îl constituie schemele de încercare ale aparatelor electrice de comutație, în situațiile în care se urmărește tensiunea de ardere a areului electric. Prezența divizorului cu rezistență redusă, conectat în paralel pe arcul electric, modifică condițiile de ardere și de stabilitate ale areului electric.

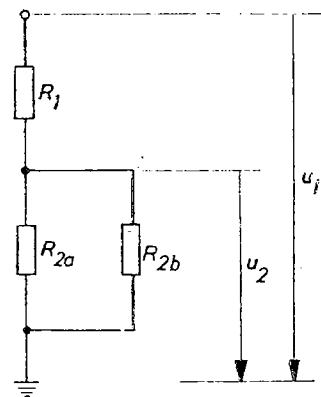


Fig. 4.16. Divizor de tensiune rezistiv.

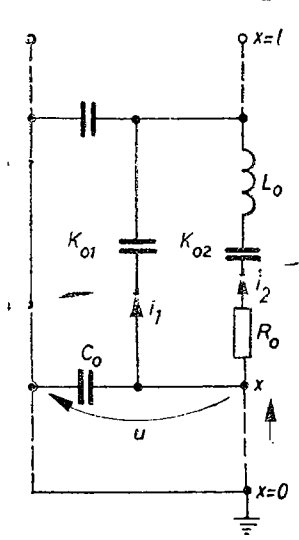
4.2. Structura complexă a divizoarelor de tensiune

În cazul măsurării tensiunilor mai ridicate — spre exemplu peste 1 kV — caz în care cresc dimensiunile geometrice ale divizorului, este necesar a se ține seama de inductivitatea proprie a componentelor divizorului, ca și de prezența capacităților parazite. În asemenea situații, brațul de înaltă tensiune se realizează din multe elemente discrete, identice, conectate în serie, ceea ce permite a trata divizoarele ca o rețea continuă, în care are loc un proces de propagare al semnalului aplicat.

Tratarea analitică a procesului de propagare a semnalului în lungul divizorului este cu atit mai dificilă, cu cît structura divizorului este mai complexă.

4.2.1. Divizorul mixt, serie RC

Structura complexă a acestui divizor este arătată în fig. 4.17, în care s-au notat parametrii lineici după cum urmează :



K_{01} , capacitatea longitudinală, mărime parazitară ;

K_{02} , capacitatea serie, mărime de construcție ;

L_0 , inductivitatea serie, mărime parazitară ;

R_0 , rezistența serie, mărime de construcție ;

C_0 , capacitatea transversală, mărime parazitară.

Lungimea divizorului este l ; în punctul $x=0$ se conectează la pămînt, iar în punctul $x=l$ se aplică semnalul de măsurare.

Între măriniile lineice și cele totale există următoarele relații :

$$\left. \begin{aligned} K_1 &= K_{01}/l; & R &= R_0 l; & L &= L_0 l; \\ K_2 &= K_{02}/l; & C &= C_0 l. \end{aligned} \right\} \quad (4.36)$$

Ecuatiile integro-diferențiale care caracterizează funcționarea divizorului, cu notațiile din fig. 4.17, sint :

Pentru variația de tensiune produsă de trecerea curentului i_1 prin capacitatea K_{01} , pe lungimea dx

$$-\frac{\partial u}{\partial x} dx = \frac{1}{K_{01}} \int_0^t i_1 dt. \quad (4.37)$$

Pentru variația de tensiune produsă de trecerea curentului i_2 prin inductivitatea L_0 , capacitatea K_{02} și rezistența R_0 conectate în serie, pe lungimea dx

$$-\frac{\partial u}{\partial x} dx = L_0 dx \frac{\partial i_2}{\partial t} + \frac{1}{K_{02}} \int_0^t i_2 dt + R_0 dx i_2 \quad (4.38)$$

Pentru variația de curent pe lungimea dx

$$-\frac{\partial}{\partial x} (i_1 + i_2) dx = C_0 dx \frac{\partial u}{\partial t}; \quad (4.39)$$

O rezolvare analitică completă a relațiilor simultane (4.37), (4.38) și (4.39) nu este posibilă, dar în condițiile oferite de construcțiile practice care definesc locul x al prizei brațului de joasă tensiune în lungul divizorului și mărimele relative ale capacităților parazite, se poate găsi o rezolvare [69, 70]. Aceste condiții sunt următoarele :

$$\begin{aligned} x/l &\ll 1 \\ C/(K_1 + K_2) &\ll 1 \\ K_1 &\ll K_2. \end{aligned} \quad (4.40)$$

Cu aceste precizări, răspunsul în tensiune la priza x de la extremitatea conectată la pămînt, prin aplicarea treptei de tensiune U la extremitatea divizorului, este

$$u(t) = U \frac{x}{l} \left[1 - \frac{C}{6(K_1 + K_2)} + 2e^{-\delta t} \sum_{n=1}^{\infty} \frac{(-1)^n \left(\operatorname{ch} \omega_e t + \frac{\delta}{\omega_e} \operatorname{sh} \omega_e t \right)}{\left(1 + \frac{K_1}{K_2} + \frac{C}{K_2 n^2 \pi^2} \right) \left(\frac{C + K_1 n^2 \pi^2}{C} \right)} \right]. \quad (4.41)$$

În relația (4.41), notațiile suplimentare sunt :

$$\delta = \frac{R}{2L}; \quad (4.42)$$

$$\omega_e = \sqrt{\delta^2 + \omega_0^2}; \quad (4.43)$$

$$\omega_0^2 = \frac{1 + \frac{K_1}{K_2} + \frac{C}{K_2 n^2 \pi^2}}{\frac{LC}{n^2 \pi^2} \left[1 + \frac{K_1 n^2 \pi^2}{C} \right]}. \quad (4.44)$$

Demonstrația relației (4.41) este dată în anexa 11. În acord cu precizările făcute la § 2.1.3, în care se justifică necesitatea obținerii unui răspuns amortizat, condiția de neoscilare a dispozitivului este ca $\delta^2 > \omega_0^2$, adică

$$R > 2n\pi \sqrt{\frac{L}{C} \cdot \frac{1 + K_1/K_2 + C/K_2 n^2 \pi^2}{1 + K_1 n^2 \pi^2 / C}}. \quad (4.45)$$

Dacă această condiție este îndeplinită pentru $n=1$, ea va fi îndeplinită pentru orice alte valori pozitive și întregi ale lui n . Pentru $n=1$ rezultă

$$R > 2\pi \sqrt{\frac{L}{C} \cdot \frac{1 + K_1/K_2 + C/K_2 \pi^2}{1 + K_1 \pi^2 / C}}. \quad (4.46)$$

Pentru $K_1 \ll K_2$ și $C/K_2 \pi^2 \ll 1$, ceea ce are loc la construcțiile uzuale de divizoare, condiția (4.46) se reduce la

$$R > 2\pi \sqrt{\frac{L}{C} \cdot \frac{1}{1 + K_1 \pi^2 / C}}. \quad (4.47)$$

Din relația (4.47) rezultă că pentru un divizor de tensiune mixt, serie, RC , inductivitatea totală L a divizorului joacă un

rol decisiv în obținerea unui răspuns neoscilant. Valorile practice ale inductivității lineice sunt de ordinul $L_0 \approx 1 \mu\text{H/m}$ pentru un conductor drept. Ca urmare, valori mai mici decât aceasta nu pot fi luate în considerare.

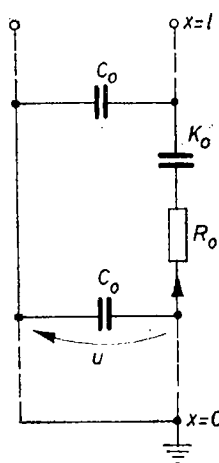


Fig. 4.18. Divizor de tensiune mixt, serie RC , cu schemă simplificată.

4.2.2. Divizorul mixt, serie RC , simplificat

La performanțe mai modeste, spre exemplu pentru o bandă de frecvență sub 0,5 MHz, se poate neglijă în calculație inductivitatea L_0 a divizorului ca și capacitatea longitudinală parazitară K_{01} . În aceste condiții schema electrică a divizorului se simplifică ca în fig. 4.18. Parametrii lineici de construcție sunt capacitatea serie K_0 și rezistența serie R_0 , iar ca parametru lineic parazitar rămîne capacitatea

transversală C_0 . Între mărimele liniice și cele totale sunt valabile relațiile :

$$\begin{aligned} K &= K_0/l; \\ R &= R_0 l; \\ C &= C_0 l. \end{aligned} \quad (4.48)$$

Ecuațiile de funcționare ale schemei din fig. 4.18 sunt următoarele :

$$-\frac{\partial u}{\partial x} dx = \frac{1}{K_0} \int_0^x i dt + R_0 dx i; \quad (4.49)$$

$$-\frac{\partial i}{\partial x} dx = C_0 dx \frac{\partial u}{\partial t}. \quad (4.50)$$

La aplicarea excitației treaptă de tensiune $u = U_1$ la extremitatea neconectată la pămînt a divizorului se obține răspunsul în tensiune la priza $x \ll l$ a divizorului

$$u(t) = U \frac{x}{l} \left[1 - \frac{C}{6K} + 2 \sum \frac{(-1)^n n^2 \pi^2 \exp\left(-\frac{n^2 \pi^2 K + C}{CKR} t\right)}{(n^2 \pi^2 K + C)/K} \right]. \quad (4.51)$$

Demonstrația relației (4.51) este dată în anexa 12.

4.2.3. Divizorul rezistiv

Structura divizorului rezistiv complex se obține din schema din fig. 4.17 a divizorului capacativ, serie, RC , în care capacitatea K_2 ia valoare infinit de mare. Se obține astfel schema din fig. 4.19.

Răspunsul la excitație treaptă de tensiune $u = U$ se obține din relațiile (4.41), (4.42) și (4.43) în care $K_2 \rightarrow \infty$. Rezultă astfel

$$\begin{aligned} u(t) &= U \frac{x}{l} \left[1 + \right. \\ &\left. + 2e^{-\delta t} \sum_{n=1}^{\infty} \frac{(-1)^n \left(\operatorname{ch} \omega_e t + \frac{\delta}{\omega_e} \operatorname{sh} \omega_e t \right)}{1 + K_1 n^2 \pi^2 / C} \right], \quad (4.52) \end{aligned}$$

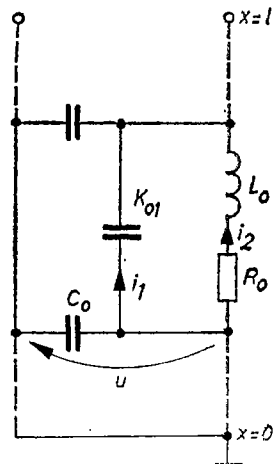


Fig. 4.19. Divizor de tensiune rezistiv, cu schemă complexă.

unde :

$$\delta = R/2L;$$

$$\omega_0^2 = \frac{n^2 \pi^2}{L(C + K_1 n^2 \pi^2)}; \quad (4.53)$$

$$\omega_e = \sqrt{\delta^2 - \omega_0^2}.$$

Pentru ca răspunsul divizorului la excitația treaptă să nu fie oscilant, este necesar ca $\delta^2 > \omega_0^2$, adică

$$R > 2\pi \sqrt{\frac{Ln^2}{C + K_1 n^2 \pi^2}}.$$

Pentru $n=1$, rezultă condiția de neoseilație a divizorului

$$R > 2\pi \sqrt{\frac{L}{C + K_1 \pi^2}}. \quad (4.54)$$

Dacă această condiție (4.54) este îndeplinită cu atât mai mult va fi îndeplinită pentru $n > 1$.

4.2.4. Divizorul rezistiv simplificat

La realizarea rezistenței divizorului cu inductivitate redusă și la acceptarea unei performanțe mai modeste — spre exemplu o bandă de frecvență sub 1 MHz — calcularea divizorului se poate realiza pe baza structurii din fig. 4.20, unde s-a neglijat inductivitatea intrinsecă. Răspunsul în tensiune al acestui divizor este dat [30] de relația

$$u(t) = U \frac{x}{l} \left[1 + 2 \sum \frac{(-1)^n \exp \left[-\frac{n^2 \pi^2 t}{R(C + K_1 n^2 \pi^2)} \right]}{1 + n^2 \pi^2 K_1 / C} \right]. \quad (4.55)$$

Expresia (4.55) se deduce utilizând metoda de calcul prezentată în anexa 11.

Cum pentru divizoare construite $K_1 \ll C_1$, schema structurală se prezintă ca în fig. 4.21, iar răspunsul la excitația treaptă de tensiune U este

$$u(t) = U \frac{e^{\frac{t}{T_n}}}{1 - 2 \sum_{n=1}^{\infty} (-1)^n \exp\left(\frac{n^2 \pi^2 t}{RC}\right)}. \quad (4.56)$$

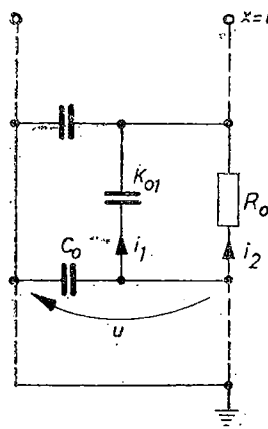
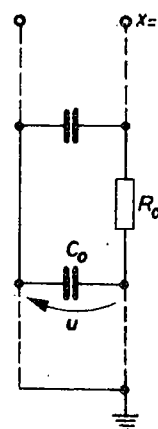


Fig. 4.20. Divizor de tensiune rezistiv, cu schemă simplificată.

Fig. 4.21. Divizor de tensiune rezistiv, schemă simplificată la extrem.



Timpul de răspuns corespunzător divizorului de tensiune astfel simplificat, cu notația $T_n = RC/n^2\pi^2$, rezultă

$$T_r = \int_0^\infty \left[1 - \left(1 + 2 \sum_{n=1}^{\infty} (-1)^n e^{-\frac{t}{T_n}} \right) \right] dt = -2 \sum_{n=1}^{\infty} (-1)^n T_n = \quad (4.57)$$

$$= \frac{2RC}{\pi^2} \sum_{n=1}^{\infty} (-1)^n \cdot \frac{1}{n^2} = \frac{RC}{6}. \quad (4.58)$$

În demonstrația relației (4.58) s-au utilizat rezultatele obținute în § 3.2.1. La aprecierea calității unui divizor rezistiv este decisiv produsul RC ; cum capacitatea parazită C nu poate fi diminuată, rezultă că este de dorit ca rezistența R să fie cât mai mică. Limite pentru diminuarea rezistenței sunt impuse de condiția de a nu aduce răspunsul în domeniul oscilant. De aceea, în mod practic, în cazul

măsurării tensiunilor înalte, valorile potrivite pentru rezistența R variază în jurul valorii $10 \text{ k}\Omega$.

O răspindire largă, la măsurarea tensiunilor înalte, o are divizorul rezistiv cu ecran, la care, prin prezența ecranului, se determină creșterea capacitatii longitudinale K_1 , astfel încât influența capacitatii transversale C_0 devine nesemnificativă. Prin această construcție se urmărește și linearizarea divizorului, în ce privește intensitatea cîmpului electric în lungul coloanei.

4.2.5. Divizorul universal

Un divizor, cu structură complexă, capabil să aibă performanțe bune la măsurarea tensiunilor de impuls, de curent alternativ și de curent continuu, este divizorul universal [23] schițat în fig. 4.22 și care are următorii parametrii lineici :

C_0 este capacitatea transversală, mărime parazitară ;

R_{01} — rezistența longitudinală, paralelă, mărime de construcție ;

R_{02} — rezistența serie, mărime de construcție ;

K_{02} — capacitatea serie, mărime de construcție.

Prezența rezistenței lineice longitudinale R_{01} este de natură a îmbunătăți performanțele divizorului la măsurarea tensiunilor continuu cu ajutorul oscilografelor cu impedanță de intrare finită, de exemplu $1 \text{ M}\Omega$. În adevăr, în cazul unui divizor capacativ, această impedanță cumulată în paralel pe brațul de joasă tensiune face imposibilă utilizarea divizorului la frecvență zero, după cum s-a notat la paragraful 4.1.2. În același timp, prezența rezistențelor longitudinale ridică probleme de dimensionare la încălzirea acestora ; o valoare cit mai ridicată a rezistențelor este de recomandat, din acest punct de vedere, dar în acest caz eficiența la măsurarea semnalelor de frecvență mică este mai limitată.

Între mărimele lineice și cele totale, ținând seama de lungimea l a divizorului, există relațiile :

$$\begin{aligned} C &= C_0 l ; \\ R_1 &= R_{01} l ; \\ R_2 &= R_{02} l ; \\ K_2 &= K_{02} / l . \end{aligned} \tag{4.59}$$

Performanțele divizorului se stabilesc pe baza ecuațiilor integro-diferențiale, în acord cu fig. 4.22,

$$-\frac{\partial u}{\partial x} dx = R_{01} dx i_1; \quad (4.60)$$

$$-\frac{\partial u}{\partial x} dx = \frac{1}{K_{02}} \int_0^x i_2 dt + R_{02} dx i_2; \quad (4.61)$$

$$-\frac{\partial}{\partial x} (i_1 + i_2) dx = C_0 dx \frac{\partial u}{\partial t}. \quad (4.62)$$

Acste ecuații, la aplicarea excitării treaptă de tensiune $u = U$, conduc la răspunsul, pe partea de joasă tensiune, a divizorului

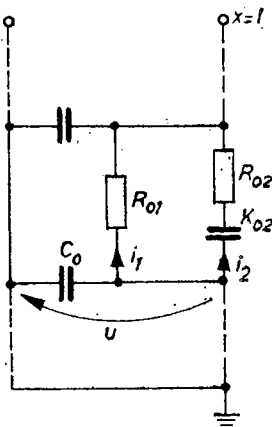


Fig. 4.22. Divizor de tensiune universal.

$$u(t) = U \frac{x}{l} \left[1 + \frac{2R_1 K_2}{R_2 C} \sum_{n=1}^{\infty} (-1)^n \pi^2 n^2 e^{-at} \left(\operatorname{ch} bt + \frac{b}{a} \operatorname{sh} bt \right) \right], \quad (4.63)$$

unde :

$$a = \frac{n^2 \pi^2}{2R_2 C}; \quad b = \sqrt{\left(\frac{n^2 \pi^2}{2R_2 C} \right)^2 - \frac{n^2 \pi^2}{R_1 R_2 C K_2}} \quad (4.64)$$

și cu demonstrația din anexa 13. Relația finală (4.63) este valabilă pentru $R_1 \gg R_2$ și $K_2 > C$, condiții îndeplinite la divizoare construite.

Dacă $R_1 \rightarrow \infty$, din relația (4.63) rezultă

$$u(t) = U \frac{x}{l} \left[1 + 2 \sum_{n=1}^{\infty} (-1)^n \exp \left(-\frac{n^2 \pi^2}{R_2 C} t \right) \right], \quad (4.65)$$

adică relația (4.51) a divizorului mixt, serie RC cu structură simplificată, la care se consideră că $n^2 \pi^2 K \gg C$, cu demonstrația din anexa 13.

La un divizor de tensiune de tip universal, structura de bază rămîne aceea a divizorului mixt, serie, RC , avind în vedere că re-

zistență longitudinală R_1 (100 ... 1 000 M Ω) este cu mult mai mare decât rezistența seriei R_1 (400 ... 600 Ω). La execuția divizorului, este necesar să ecrană rezistența longitudinală [23] în vederea asi-

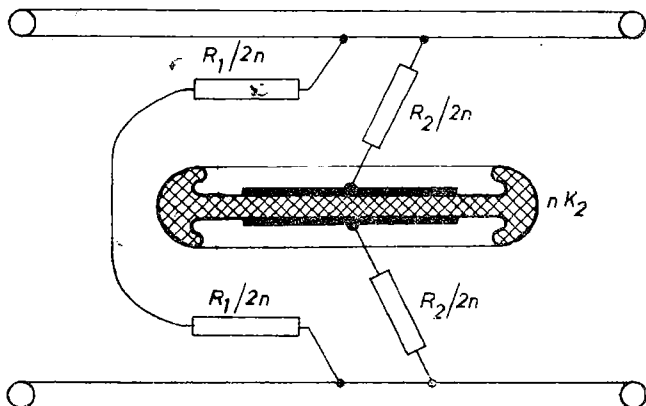


Fig. 4.23. Element din divizorul de tensiune universal.

gurării unui cîmp electric constant, în lungul rezistenței. La un divizor cu n elemente componente, structura unei componente arată ca în fig. 4.23.

4.3. Divizorul de tensiune în lanțul de măsurare

În fig. 4.1 s-a prezentat schema de măsurare în care se folosește divizorul de tensiune drept convertor de tensiune, iar în subcapitolele 4.1 și 4.2 s-au prezentat performanțele divizoarelor de tensiune extrase din schema de măsurare. În aceste capitole s-a făcut abstracție de multe aspecte constructive de natură să afecteze performanțele teoretice ale divizoarelor de tensiune. În cele ce urmează se prezintă acele fenomene și aspecte ce interferă rezultatele de calcul obținute prin considerarea divizorului extras din schema de măsurare, după cum urmează :

a. *Divizorul de tensiune este construit din elemente discrete.* Cu el numărul acestor elemente este mai mare cu atît structura divizorului se apropie mai mult de o structură continuă.

Dacă N este numărul de elemente identice în brațul de înaltă tensiune și n — în brațul de joasă tensiune, raportul x/l , în rela-

țiile din capitolul 4, care reprezintă răspunsul la excitație treaptă, poate fi înlocuit cu raportul n/N . Brațul de joasă tensiune este de cele mai multe ori constituit dintr-un singur element și are o construcție diferită de construcția elementelor din brațul de înaltă tensiune. Extinderea longitudinală a brațului de joasă tensiune este relativ mai mare decât ar corespunde rețelei electrice cuprinse în acest braț.

b. *Capacitatea divizorului față de pămînt nu este uniform repartizată* deoarece, din motive de izolație, divizoarele se extind după o direcție perpendiculară pe planul solului. Ca urmare, elementele componente mai apropiate de pămînt au o capacitate față de pămînt mai mare decât elementele mai depărtate. Folosirea ecranelor este de natură să reducă la minimum influența capacităților parazitare față de pămînt.

c. *Divizorul de tensiune face parte dintr-un lanț de măsurare*, din care în mod obligatoriu mai fac parte: rezistența de amortizare și linia de racord plasată între obiectul care se încearcă și divizor, ca și un cablu coaxial de racord între divizor și oscilograful catodic, după cum este arătat în fig. 4.1. Dacă obiectul care se încearcă este străpuns sau conturnat, în bucla de înaltă tensiune apar tensiuni induse, care distorsionează rezultatele măsurării.

d. *Efectul peculiar*, mai ales la măsurarea tensiunilor de impuls, este de natură să distorsioneze rezultatele, în măsura în care în construcția divizorului se utilizează secțiuni mici de conductor și ecrane necorespunzătoare.

e. În calculele precedente s-a considerat că *brațul de joasă tensiune este fără sarcină*, în multe montaje concrete acest lanț se închide pe o impedanță, în mod curent impedanță caracteristică a cablului de măsurare.

În fig. 4.24 se prezintă lanțul de măsurare limitat la trei componente: Impedanța de amortizare Z_a , linia de racord și divizorul de tensiune. Impedanța de amortizare Z_a , de natură unei rezistențe pure (cu o inductivitate întrusecă minimală), are rolul funcțional de a amortiza undele reflectate care se formează la trecerea de la linia de racord la divizorul de tensiune. În adevăr, linia de racord, în mod normal, nu se închide prin impedanță sa caracteristică, intrucât impedanța divizorului nu este egală cu impedanța caracteristică a liniei de racord. Impedanța de amortizare, cu o rezistență de 300 ... 500 Ω se plasează la extremitatea liniei spre obiectul care se încearcă.

Linia de racord este caracterizată prin impedanța caracteristică $Z_c = \sqrt{L_0/C_0}$ și prin timpul mort $\tau = l/\sqrt{L_0/C_0}$, adică timpul necesar

parcurgerii liniei de lungime l , L_0 și C_0 fiind inductivitatea lineică, respectiv capacitatea lineică.

Divizorul de tensiune este reprezentat printr-un quadripol în gol cu impedanță de intrare Z_d , deoarece, pe de o parte sarcina

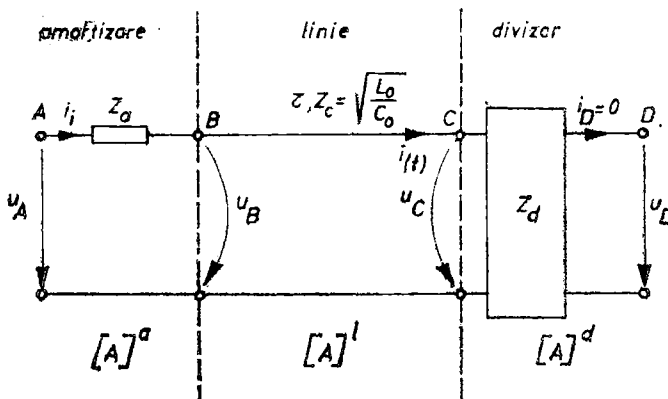


Fig. 4.24. Poziția divizorului de tensiune în lanțul de măsurare.

de ieșire nu determină o reacție asupra brațului de înaltă tensiune, iar pe de altă parte, impedanța de sarcină (cablul coaxial și impedanța terminală) poate fi inclusă, din punct de vedere al calculului, în structura brațului de joasă tensiune [69, 70].

4.3.1. Unda reflectată

După cum s-a arătat, lanțul de măsurare nu are o structură omogenă, astfel că este necesar a se calcula unda reflectată la trecerea de la linia de racord la divizorul de tensiune. Pentru a calcula unda reflectată, se consideră linia de racord ca o linie fără pierderi (rezistență nulă, perditanță nulă) cu impedanță caracteristică Z_c și că această linie se închide printr-o impedanță complexă Z_d . În anexa 14 se demonstrează că, unda reflectată are expresia în tensiune

$$U_r = U_d \left(\frac{Z_d - Z_c}{Z_d + Z_c} \right) = k_c U_d, \quad (4.66)$$

unde \underline{Z}_d este expresia impedanței operaționale corespunzătoare impedanței Z_d a divizorului de tensiune, iar k_c este factorul de reflexie în imagine

$$k_c = \frac{\underline{Z}_d - \underline{Z}_c}{\underline{Z}_d + \underline{Z}_c}. \quad (4.67)$$

4.3.2. Răspunsul indicial al lanțului de măsurare

Pentru a calcula timpul de răspuns al ansamblului reprezentat schematic în fig. 4.24, ansamblu format din impedanță (rezistență) de amortizare Z_a , linia de racord cu impedanță caracteristică Z_c și divizor de tensiune cu impedanță de intrare Z_d , este necesar să se cunoaște, în prealabil, răspunsul indicial al acestui ansamblu [8, 51, 71].

În acest scop, se folosește metoda undelor mobile și expresiile (4.66) și (4.67) ce caracterizează procesul de reflexie la schimbarea structurii unui sistem de transmisie electrică.

Înainte de producerea reflexiei în punctul C , pe durata propagării undei pe linia de racord, tensiunea în punctul B este

$$\underline{U}_B = \underline{U}_A \frac{\underline{Z}_c}{\underline{Z}_a + \underline{Z}_c} = \underline{U}_d. \quad (4.68)$$

La prima reflexie în punctul C , tensiunea corespunzătoare rezultă

$$\underline{U}_c = \underline{U}_d + \underline{U}_r = \underline{U}_d + \underline{U}_d k_c. \quad (4.69)$$

Sau, dacă se ține seama de relația (4.68), se obține

$$\underline{U}_c = \underline{U}_A \frac{\underline{Z}_c}{\underline{Z}_a + \underline{Z}_c} (1 + k_c). \quad (4.70)$$

Unda reflectată în punctul C se propagă pe linia de racord spre punctul B , unde se reflectă din nou cu coeficientul $K_B(p)$. Această undă, reflectată în punctul B , ajunge din nou în punctul C după un timp egal cu de două ori durata de propagare τ a liniei

$$t = 2\tau = 2l/v, \quad (4.71)$$

scurs între momentele primei și celei de a doua reflexii în punctul C . În relația (4.71), l este lungimea liniei de racord, iar v este viteza

de propagare pe această linie. În continuare, fenomenele de reflexie din punctele C și B se succed, astfel că în punctul C , la intrarea în divizorul de tensiune, vor apărea, pe lîngă unda directă, numeroase unde reflectate.

Dacă se ia ca origină a timpului momentul în care unda directă a ajuns în punctul C , la divizor, tensiunea de intrare în divizor se scrie sub forma

$$\begin{aligned} \mathcal{U}_C &= \mathcal{U}_A \left(\frac{\tilde{\mathfrak{Z}}_c}{\tilde{\mathfrak{Z}}_a + \tilde{\mathfrak{Z}}_c} \right) (1 + k_c) + e^{-\frac{2l}{v} p} \mathcal{U}_A \left(\frac{\tilde{\mathfrak{Z}}_c}{\tilde{\mathfrak{Z}}_c + \tilde{\mathfrak{Z}}_a} \right) (1 + k_c) k_B \cdot k_c + \\ &+ e^{-\frac{4l}{v} p} \mathcal{U}_A \left(\frac{\tilde{\mathfrak{Z}}_c}{\tilde{\mathfrak{Z}}_c + \tilde{\mathfrak{Z}}_a} \right) (1 + k_c) k_B^2 k_c^2 + \dots = \\ &= \mathcal{U}_A \left(\frac{\tilde{\mathfrak{Z}}_c}{\tilde{\mathfrak{Z}}_c + \tilde{\mathfrak{Z}}_a} \right) (1 + k_c) \times (1 + e^{-\frac{2l}{v} p} k_B k_c + e^{-\frac{4l}{v} p} k_B^2 k_c^2 + \dots). \quad (4.72) \end{aligned}$$

Seria infinită din expresia (4.72) este convergentă, astfel că relația (4.72) se poate scrie mai concentrat astfel

$$\mathcal{U}_C = \mathcal{U}_A \left(\frac{\tilde{\mathfrak{Z}}_c}{\tilde{\mathfrak{Z}}_c + \tilde{\mathfrak{Z}}_a} \right) (1 + k_c) \frac{1}{1 - e^{-\frac{2l}{v} p} \cdot k_c k_B}. \quad (4.73)$$

Se poate lua ca origină a timpului momentul plecării undei directe din punctul B . În acest caz, în original, rezultă o întârziere $\tau = l/v$, iar în imagine tensiunea \mathcal{U}_c la intrarea în divizor se scrie

$$\mathcal{U}_C = \mathcal{U}_A \left(\frac{\tilde{\mathfrak{Z}}_c}{\tilde{\mathfrak{Z}}_c + \tilde{\mathfrak{Z}}_a} \right) (1 + k_c) \frac{e^{-\tau p}}{1 - e^{-2\tau p} \cdot k_c k_B}. \quad (4.74)$$

Expresia (4.74) reprezintă, în imagine, excitația divizorului de tensiune. Răspunsul \mathcal{U}_D , la această excitație, se formulează cu relația

$$\mathcal{U}_D = \mathcal{U}_C \cdot \mathcal{K}_d(p), \quad (4.75)$$

unde $\mathcal{K}_d(p)$ este funcția de transfer a divizorului de tensiune.

Funcția de transfer a întregului lanț de măsurare este definită de relația

$$\mathcal{H}(p) := \frac{\mathcal{U}_D}{\mathcal{U}_A} = e^{-\tau p} \left(\frac{\mathfrak{Z}_c}{\mathfrak{Z}_c + \mathfrak{Z}_a} \right) (1 + k_C) \cdot \frac{\mathcal{H}_d(p)}{1 - e^{-2\tau p} k_C k_B}. \quad (4.76)$$

Funcția de transfer $\mathcal{H}_d(p)$ a divizorului de tensiune se calculează din relația matriceală

$$\begin{bmatrix} \mathcal{U}_C \\ \mathcal{U}_B \end{bmatrix} = \begin{bmatrix} A_{11}^d & A_{12}^d \\ A_{21}^d & A_{22}^d \end{bmatrix} \begin{bmatrix} \mathcal{U}_D \\ \mathcal{U}_B \end{bmatrix}, \quad (4.77)$$

în care $\mathcal{U}_B = 0$, deoarece, $i_B = 0$, adică divizorul de tensiune se consideră neîncărat. În această circumstanță $\mathcal{U}_C = A_{11}^d \mathcal{U}_D$ și deci

$$\mathcal{H}_d(p) = \frac{\mathcal{U}_D}{\mathcal{U}_C} = \frac{1}{A_{11}^d}. \quad (4.78)$$

Funcția de transfer normată¹⁾ a lanțului de măsurare este

$$\mathcal{G}(p) = \frac{\mathcal{H}(p)}{\mathcal{H}(0)}$$

sau

$$\mathcal{G}(p) = e^{-\tau p} \frac{\mathfrak{Z}_c + \mathfrak{Z}_a(0)}{\mathfrak{Z}_c + \mathfrak{Z}_a(p)} \cdot \frac{1 + k_C(p)}{1 + k_C(0)} \cdot \frac{1 - k_C(0)k_B(0)}{1 - e^{-2\tau p} k_C(p)k_B(p)} \cdot \frac{A_{11}^d(0)}{A_{11}^d(p)}. \quad (4.79)$$

Printr-o serie de transformări relația (4.79) devine

$$\mathcal{G}(p) = e^{-\tau p} \frac{1 + \frac{\mathfrak{Z}_a(0)}{\mathfrak{Z}_a(p)}}{1 + \frac{\mathfrak{Z}_a(p)}{\mathfrak{Z}_a(0)}} \cdot \frac{1 - k_C(p)k_B(p)}{1 - e^{-2\tau p} k_C(p) \cdot k_B(p)} \cdot \frac{A_{11}^d(0)}{A_{11}^d(p)}. \quad (4.80)$$

Răspunsul indicial se obține cu relația

$$f(t) = \mathcal{L}^{-1} \left[\frac{1}{p} \mathcal{G}(p) \right]. \quad (4.81)$$

¹⁾ În condițiile expuse în cap. 2.

4.3.3. Timpul de răspuns

Având la dispoziție, fie funcția de transfer normată, fie răspunsul indicial, timpul de răspuns se poate calcula cu ajutorul uneia din cele două metode, expuse în cap. 2, adică

a. Cu ajutorul expresiei răspunsului indicial

$$T_r = \int_0^\infty [1 - f(t)] dt; \quad (4.82 \text{ a})$$

b. Cu ajutorul expresiei funcției de transfer normate

$$T_r = -\mathcal{G}'(0). \quad (4.82 \text{ b})$$

Este convenabil să se calculeze timpul de răspuns cu relația (4.82 b), care folosește expresia funcției de transfer normate, deoarece în acest mod se evită găsirea răspunsului indicial. În acest scop se observă că relația (4.79) se poate scrie sub forma

$$\mathcal{G}(p) = vwxyz, \quad (4.83)$$

unde :

$$v = e^{-\tau p}; \quad (4.84)$$

$$w = \frac{\mathfrak{S}_c + \mathfrak{S}_a(0)}{\mathfrak{S}_c + \mathfrak{S}_a(p)}; \quad (4.85)$$

$$x = \frac{1 + k_c(p)}{1 + k_c(0)}; \quad (4.86)$$

$$y = \frac{1 - k_c(0) k_B(0)}{1 - e^{-2p} k_c(p) k_B(p)}; \quad (4.87)$$

$$z = \frac{A_{11}^d(0)}{A_{11}^d(p)}. \quad (4.88)$$

Cu aceste notări timpul de răspuns rezultă

$$T_r = -\mathcal{G}'(0) = -\lim_{p \rightarrow 0} \left[v w x y \left(\frac{v'}{v} + \frac{w'}{w} + \frac{x'}{x} + \frac{y'}{y} + \frac{z'}{z} \right) \right]. \quad (4.89)$$

Se observă că

$$v(0) = 1; \quad w(0) = 1; \quad x(0) = 1; \quad y(0) = 1; \quad z(0) = 1,$$

astfel că expresia timpului de răspuns se reduce la

$$T_r = -\lim_{p \rightarrow 0} (v' + w' + x' + y' + z'). \quad (4.90)$$

După efectuarea calculelor se obține

$$\begin{aligned} T_r &= T_d + \tau \left[\frac{\frac{\ddot{x}_d(0)\ddot{x}_a(0)}{\ddot{x}_c} + \ddot{x}_c}{\frac{\ddot{x}_d(0) + \ddot{x}_a(0)}{\ddot{x}_c}} - 1 \right] + \\ &+ \frac{\ddot{x}_a(0)}{\ddot{x}_c} \left[T_{KC} \frac{\ddot{x}_a(0) + \ddot{x}_c}{\ddot{x}_d(0) + \ddot{x}_a(0)} - T_{KB} \frac{\ddot{x}_a(0) + \ddot{x}_c}{\ddot{x}_d(0) + \ddot{x}_a(0)} \right], \end{aligned} \quad (4.91)$$

cu următoarele notății :

a) Timpul de răspuns al divizorului

$$T_d = -g'(0) = -\lim_{p \rightarrow 0} \frac{d}{dp} \left[\frac{\mathcal{H}_d(p)}{\mathcal{H}_d(0)} \right] = -\lim_{p \rightarrow 0} \frac{d}{dp} \left[\frac{A_{11}^d(0)}{A_{11}^d(p)} \right] = \frac{A_{11}^{d'}(0)}{A_{11}^d(0)}. \quad (4.92)$$

b) Timpul de răspuns corespunzător reflexiei la intrarea în divizor

$$T_{KC} = -\lim_{p \rightarrow 0} \frac{d}{dp} \left[\frac{1 + k_c(p)}{1 + k_c(0)} \right] = -\frac{k'_c(0)}{1 + k_c(0)}. \quad (4.93)$$

c) Timpul de răspuns corespunzător reflexiei la amortizare

$$T_{KB} = -\lim_{p \rightarrow 0} \frac{d}{dp} \left[\frac{1 + k_B(p)}{1 + k_B(0)} \right] = -\frac{k'_B(0)}{1 + k_B(0)}. \quad (4.94)$$

4.3.4. Un model de calcul pentru timpul de răspuns

Calculul timpului de răspuns cu ajutorul relaiei (4.91) este accesibil dacă se poate stabili o schemă echivalentă a divizorului de tensiune. Un asemenea caz îl prezintă divizorul rezistiv. Schema echivalentă a acestui divizor este prezentată în fig. 4.25.

Echivalența se referă la faptul că timpul de răspuns al schemei din fig. 4.25 este identic cu timpul de răspuns dat de relaia (4.58) al divizorului rezistiv.

Lanțul de măsurare este astfel desenat în fig. 4.26, în care față de fig. 4.24 s-au făcut următoarele completări :

a) impedanța de amortizare Z_a este reprezentată prin rezistența R_a și inducțivitatea L_a ;

b) în punctul C s-a introdus capacitatea C_e a unui ecran, cu care divizorul rezistiv este echipat, în vederea uniformizării câmpului electric în lungul divizorului ;

c) divizorul de tensiune este reprezentat în schema echivalentă prin quadripolul cuprins între punctele C și D , care conține atât schema echivalentă din fig. 4.25, cît și capacitatea C_e a ecranului. În raționamentele ce urmează se consideră că rezistența

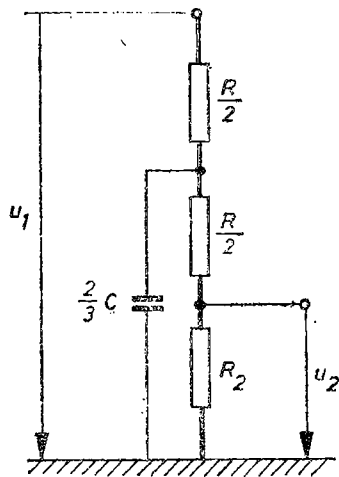


Fig. 4.25. Schema echivalentă a divizorului de tensiune rezistiv.

R a divizorului de tensiune este sensibil mai mare decât rezistența R_2 la bornele căreia se captează semnalul util, adică $R \gg R_2$.

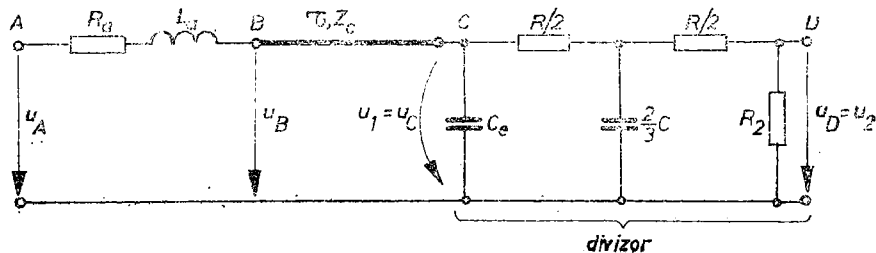
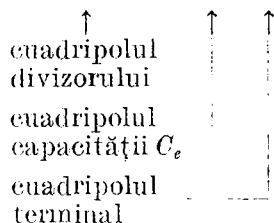


Fig. 4.26. Lanțul de măsurare ce include divizorul de tensiune rezistiv.

În aceste condiții, cuadripolul corespunzător divizorului de tensiune se consideră a fi constituit din doi cuadripoli conectați în lanț, adică

$$[A_d] = \begin{bmatrix} A_{11}^d & A_{12}^d \\ A_{21}^d & A_{22}^d \end{bmatrix} = [A_e][A_t]. \quad (4.95)$$



Matricea cuadripolului capacității ecran este

$$[A_e] = \begin{bmatrix} 1 & 0 \\ pC_e & 1 \end{bmatrix}. \quad (4.96)$$

Matricea cuadripolului terminal este

$$[A_t] = \begin{bmatrix} 1 + \frac{R}{R_2} + p \frac{RC}{3} \left(\frac{R}{2R_2} + 1 \right) & R + p \frac{R^2C}{6} \\ \frac{1}{R_2} + pC \left(\frac{2}{3} + \frac{R}{3R_2} \right) & 1 + p \frac{RC}{3} \end{bmatrix}. \quad (4.97)$$

Din expresia (4.91) rezultă că este necesar să se calculeze numai expresia lui A_{11}^t , deoarece se poate considera că divizorul funcționează în gol și A_{21}^t pentru calculul impedanței divizorului. Rezultă, dacă $R_2 \ll R$, pentru matricea terminală :

$$A_{11}^t = \frac{R}{R_2} + p \frac{R^2C}{6R_2}; \quad (4.98)$$

$$A_{21}^t = \frac{1}{R_2} + p \frac{CR}{3R_2}.$$

Pentru matricea divizorului, se poate scrie

$$A_{11}^d = A_{11}^t = \frac{R}{R_2} + p \frac{R^2 C}{6 R_2}; \quad (4.99)$$

$$A_{12}^d = A_{12}^t; \quad (4.100)$$

$$A_{21}^d = p C_e A_{11}^t + A_{21}^t = p C_e \left(\frac{R}{R_2} + p \frac{R^2 C}{6 R_2} \right) + \frac{1}{R_2} + p \frac{C R}{3 R_2}; \quad (4.101)$$

$$A_{22}^d = p C_e A_{12}^t + A_{22}^t. \quad (4.102)$$

Impedanța operațională a divizorului rezultă

$$Z_d = \frac{A_{11}^d(p)}{A_{21}^d(p)} = \frac{R(1 + p T_3)}{p C_e R(1 + p T_3) + 2 p T_3 + 1} \quad (4.103)$$

unde

$$T_3 = \frac{RC}{6}. \quad (4.104)$$

Pentru un lanț de măsurare adaptat la trecerea de la linia de racord la impedanță de amortizare, adică pentru $\tilde{s}_a = \tilde{s}_e$, factorul de reflexie corespunzător este nul

$$k_B(p) = \frac{\tilde{s}_a(p) - \tilde{s}_e(p)}{\tilde{s}_a(p) + \tilde{s}_e(p)} = 0. \quad (4.105)$$

Dacă se consideră originea timpului momentul în care unda de tensiune ajunge la divizor, din relația (4.80) se obține

$$\tilde{q}(p) = \frac{\frac{1}{p} + \frac{\tilde{s}_a(0)}{\tilde{s}_e(0)}}{\frac{1 + \tilde{s}_e(p)}{\tilde{s}_e(p)}} \cdot \frac{A_{11}^d(0)}{A_{11}^d(p)}, \quad (4.106)$$

iar răspunsul indicial rezultă conform relației (4.81)

$$f(t - \tau) = \mathcal{L}^{-1} \left\{ \frac{1}{p} \cdot \frac{\frac{1}{p} + \frac{\tilde{s}_a(0)}{\tilde{s}_e(0)}}{\frac{1 + \tilde{s}_e(p)}{\tilde{s}_e(p)}} \cdot \frac{A_{11}^d(0)}{A_{11}^d(p)} \right\} = \mathcal{L}^{-1} F(p). \quad (4.107)$$

După transformări algebrice se obține în final expresia transformatei Laplace sub formă normată

$$\mathcal{F}(p) = \frac{1}{p} \cdot \frac{\omega_0^2}{p^2 + 2p\delta + \omega_0^2}, \quad (4.108)$$

unde :

$$\begin{aligned} \delta &= \frac{1}{2} \left(\frac{1}{T_1} + \frac{1}{T_2} + \frac{1}{T_3} \right); \\ \omega_0^2 &= \frac{1}{T_2 T_3} \left(1 + \frac{Z_e}{R} \right); \\ T_1 &= \frac{RC_s}{2}; \\ T_2 &= Z_e C_s; \\ T_3 &= \frac{RC}{6}; \end{aligned} \quad (4.109)$$

Răspunsul indicial poate avea două forme, după cum fenomenul este aperiodic sau oscilant amortizat și anume :

a. Răspuns aperiodic ; $\delta^2 > \omega_e^2$; $\omega_e = \sqrt{\delta^2 - \omega_0^2}$;

$$f(t - \tau) = 1 - e^{-\delta t} \left(\operatorname{ch} \omega_e t + \frac{\delta}{\omega_e} \operatorname{sh} \omega_e t \right). \quad (4.110)$$

b. Răspuns oscilant amortizat ; $\omega_0^2 > \delta^2$; $\omega_e = \sqrt{\omega_0^2 - \delta^2}$;

$$f(t - \tau) = 1 - e^{-\delta t} \left(\cos \omega_e t + \frac{\delta}{\omega_e} \sin \omega_e t \right); \quad (4.111)$$

După cum s-a arătat în cap. 2, în principiu se urmărește a se obține un răspuns amortizat. Timpul de răspuns se calculează cu relațiile (4.91) ... (4.94). Se obține în final

$$T_r = \frac{T_2 + T_3 + Z_e C / 3}{1 + Z_e / R_2} \quad (4.112)$$

cu demonstrația din anexa 15.

Observația 1. Un divizor de tensiune se poate echivala, cu o mai bună aproximare, cu un lanț de quadripoli. În anexa 16 se prezintă calculul parametrilor fundamentali ai matricei divizorului.

Observația 2. Dacă apar dificultăți la trecerea de la imaginea originală, în scopul obținerii răspunsului sistemului de măsurare, se recurge la utilizarea metodei Bergeron [12, 56]. Pentru a ilustra utilitatea acestei metode, în anexa 17 se prezintă un calcul în care divizorul de tensiune este echivalent cu o rezistență.

Observația 3. Prin adaptarea liniei de racord cu impedanță de amortizare se elimină reflectarea în punctul *B* (fig. 4.24) a undei reflectate la intrarea în divizor, în punctul *C*. Impedanță de amortizare se construiește cu o rezistență antiinductivă de valoare $R_a = 300 \dots 500 \Omega$, adică valoarea acestei rezistențe egalează practic valoarea impedanței caracteristice a unui conductor tubular sau sub formă de bandă, așezat la cîțiva metri deasupra solului. Teoretic se poate elimina și unda reflectată la intrarea în divizor, dacă impedanța caracteristică a divizorului egalează pe cea a liniei de racord.

4.3.5. Cablul coaxial

Semnalul de măsurare, captat de la brațul de joasă tensiune al divizorului, este transmis oscilografului catodic prin intermediul unui cablu coaxial. Un asemenea cablu cu izolație de polietilenă are o impedanță caracteristică de $50 \dots 75 \Omega$. Expresia impedanței cablului coaxial este de forma

$$Z_c = \sqrt{\frac{R_0 + j\omega L_0}{G_0 + j\omega C_0}} \quad (4.113)$$

cu modulul

$$|Z_c| = \sqrt{\frac{L_0^2 + \omega^2 L_0^2}{G_0^2 + \omega^2 C_0^2}}. \quad (4.114)$$

După cum rezultă din relațiile (4.113) și (4.114), valorile impedanței caracteristice, în complex sau modul, depind de frecvența de lucru. În același timp, trebuie menționat că mărimele lineice R_0 și G_0 depind, în oricare măsură, de frecvența de lucru. În adevăr, fiecărei frecvențe îi este propriu un factor de majorare a rezistenței. De asemenea, pierderile depind și de frecvența de lucru. Pentru lungimi scurte de cablu coaxial, cu izolație bună, se poate approxima

$$Z_c = \sqrt{\frac{L_0}{C_0}}. \quad (4.115)$$

Din motivele menționate, adaptările care se practică la extremitățile cablului coaxial au o valabilitate limitată ca bandă de frecvență, cu atit mai mult cu cît impedanțele de adaptare sunt realizate sub forma unor rezistențe cu inductivitate redusă.

În cele ce urmează se prezintă principalele tipuri de adaptări utilizate în tehnica măsurărilor cu divizoare de tensiune.

Adaptarea divizorului rezistiv. Divizorul rezistiv se adaptează la extremitatea dinspre oscilograf, ca în fig. 4.27, cu o rezistență (cu inductivitate reziduală minimală) egală în valoare cu impedanța caracteristică a cablului coaxial. În acest mod se evită formarea undei reflectate, la extremitatea cablului spre oscilograful catodic. În raportul de divizare, rezistența brațului de joasă tensiune este rezistența obținută din conectarea în paralel a rezistenței R_2 cu rezistența R_b egală cu impedanța caracteristică a cablului coaxial.

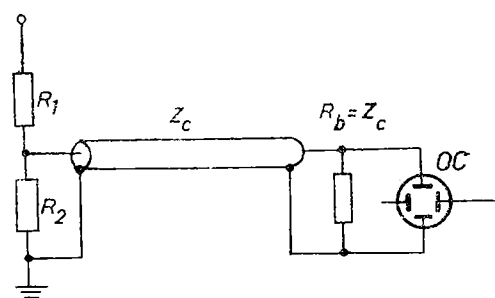


Fig. 4.27. Adaptarea cablului coaxial la divizorul de tensiune rezistiv.

Adaptarea divizorului capacativ. La un astfel de divizor, cablul coaxial nu poate fi adaptat cu o rezistență la extremitatea spre oscilograf, deoarece prezența acestei rezistențe modifică raportul de divizare. De aceea, adaptarea, în acest caz, se face cu ajutorul unei rezistențe egală în valoare cu impedanța caracteristică a cablului coaxial conectată la intrarea în cablul coaxial, ca în fig. 4.28. Pentru frecvențe relativ joase, reactanța oferită de condensatorul C_2 este ne-

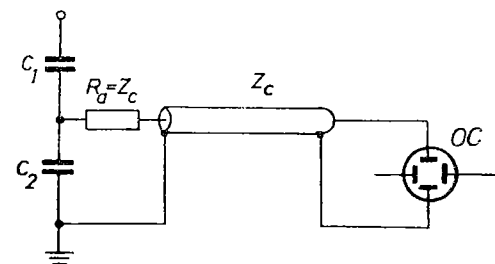


Fig. 4.28. Adaptarea cablului coaxial la divizorul de tensiune capacativ.

$R_g = Z_c$ și deci se poate considera că, la plecare, cablul coaxial se închide pe impedanța caracteristică. Această conexiune este deosebit de importantă, deoarece unda de tensiune reflectată de extremitatea liberă — spre oscilograf — este total absorbită de extremitatea dinspre divizorul de tensiune.

Adaptarea divizorului mixt, serie, RC. Acest divizor poate fi considerat ca un divizor capacitive amortizat. Astfel, adaptarea cablului coaxial se realizează ca în fig. 4.29, întocmai ca la divizorul capacitive. Banda de frecvență a unui asemenea divizor poate ajunge pînă la 1 MHz. Pentru a realiza o bandă de frecvență mai mare, se recomandă [1, 5] schema din fig. 4.30, în care pe lîngă adaptarea de la extremitatea spre divizor cu rezistență $R_a = Z_c$, cablul coaxial se adaptează la extremitatea spre oscilograf cu rezistență $R_b = Z_c$ conectată în serie cu condensatorul C_b . Pentru a nu modifica raportul de divizare este necesar să fie satisfăcută relația

$$C_1 + C_2 = C_c + C_b \quad (4.116)$$

în care : C_1, C_2 sunt capacitățile divizorului de tensiune ;

C_c este capacitatea cablului coaxial ;

C_b — capacitatea suplimentară la extremitatea cablului coaxial spre oscilograf.

Aceeași adaptare, descrisă de relația (4.116), poate fi aplicată și divizorului de tensiune pur capacitive.

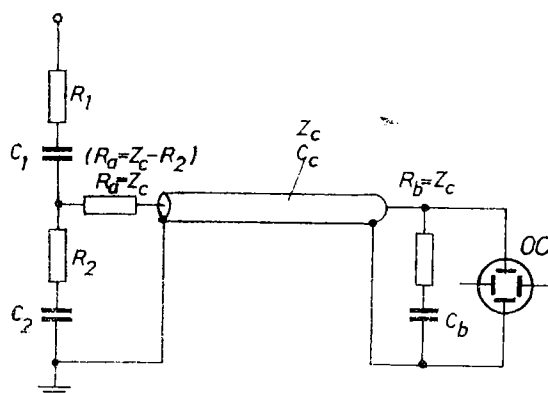


Fig. 4.30. Adaptarea cablului coaxial la divizorul de tensiune mixt, serie, RC , după Burch [1, 5].

Adaptare dublă spre divizorul de tensiune. O variantă mai nouă a divizorului capacitive se bazează pe construcția brațului de înaltă tensiune sub forma unui condensator avind ca dielectric azot, la aproximativ 15 atm, sau hexafluorură de sulf la presiuni mai reduse, aproximativ 4 atmosfere [63]. În acest caz, este necesară o dublă adaptare spre divizorul

de tensiune, ca în fig. 4.31. Prima adaptare se efectuează, în mod normal, la captarea semnalului de pe divizor, înainte de intrarea în cablul coaxial, realizând $R_1 = Z_{c1}$. A două adaptare se realizează la terminația cablului coaxial de legătură între condensatorul de înaltă și cel de joasă tensiune prin stabilirea egalității între impedanța caracteristică Z_{c2} a acestui cablu și valoarea rezistenței R_2 de adaptare; adică $Z_{c2} = R_2$.

Rețea de corecție. O nouă posibilitate constă în a stabili o rețea de corecție pe partea de joasă tensiune a divizorului [61]. Se ridică experimental caracteristica de frecvență în amplitudine, pentru care se stabilește funcția de transfer, apoi cu ajutorul teoriei sintezei rețelelor se stabilește o funcție de transfer inversă, care servește ca element de plecare în stabilirea rețelei de corecție.

Numeroase alte soluții privind apătarea sînt propuse [52] pentru cazuri particulare, dar esențial este ca lungimea cablului coaxial să rămînă cît mai scurtă (20...30 m), în scopul {evitării distorsiunilor produse de un cablu coaxial prea lung.

4.4. Exemple de construcții

La realizarea unui divizor se iau în considerare numeroși factori cum sunt :

- natura și amplitudinea solicitării : tensiune de impuls, alternativă sau continuă;
- durata solicitării, dată la solicitarea de impuls prin funcția de timp ce descrie tensiunea de impuls, precum și repetitivitatea solicitării;
- locul divizorului în schema de măsurare și amplasarea lui în stația de încercări.

În cele ce urmează, se vor prezenta, ca exemple, două construcții diferite pentru divizoare realizate și anume : un divizor de tensiune

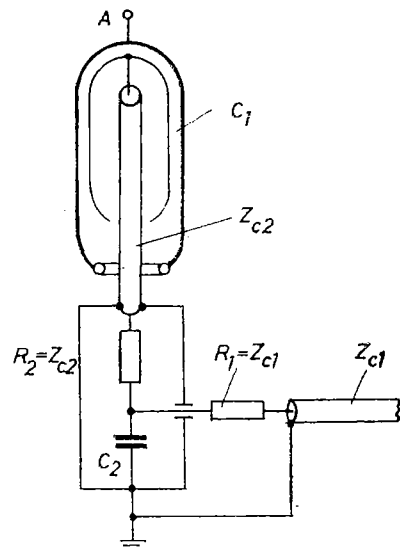


Fig. 4.31. Adaptarea unui divizor de tensiune capacativ, după Schwab [63].

rezistiv pentru măsurarea tensiunilor de impuls și un divizor mixt, serie, RC pentru măsurarea tensiunii de restabilire.

4.4.1. Divizor de tensiune rezistiv pentru 1,6 MV tensiune de impuls

De mare însemnatate pentru un asemenea divizor este să se precizeze valoarea rezistenței și solicitarea dielectrică.

Valoarea rezistenței. În principiu, cu cât valoarea rezistenței este mai mare, cu atât solicitarea termică este mai redusă la o tensiune de lucru U dată. Energia dezvoltată prin efect Joule în rezistență divizorului este

$$W = \int_0^t P \, dt = \frac{1}{R} \int_0^t u^2 \, dt. \quad (4.117)$$

Dar rezistența nu se poate lăua oricără de mare, deoarece timpul de răspuns crește proporțional cu rezistența divizorului după relația (4.58) considerind divizorul singur, sau după relația (4.112), la considerarea întregului lanț de măsurare. Cu cât tensiunea de lucru este mai mare, cu atât și capacitatea față de pămînt a coloanei divizorului este mai mare și ca urmare, valoarea rezistenței trebuie limitată. În cazul practic, al divizorului realizat, s-a ales rezistența $R = 10\,000\,\Omega$, la o capacitate față de pămînt $C = 34,81\text{ pF}$. Timpul de răspuns nu poate fi mai bun decât

$$T_r = \frac{RC}{6} = \frac{10\,000 \cdot 34,81 \cdot 10^{-12}}{6} = 58 \cdot 10^{-9}\text{ s}.$$

În regim aperiodic sau puternic amortizat. În regim oscilant se pot obține valori mai mici ale timpului de răspuns, față de $58 \cdot 10^{-9}\text{ s}$. Rezistența este realizată prin bobinarea neinductivă a unui conductor rezistiv cu $\varnothing = 0,3\text{ mm}$, emailat și izolat dublu cu mătase, pe un tub de pertinax cu diametrul variabil în trei trepte.

Solicitarea dielectrică. În vederea realizării unui cîmp electric cît mai constant în lungul coloanei divizorului, acesta se echipează la partea superioară cu un ecran de mari dimensiuni, iar la partea inferioară se prevede un inel la potențialul pămîntului, dar situat la oarecare distanță față de pămînt, ca în fig. 4.32. Solicitarea dielectrică se determină dacă în prealabil se calculează capacitațile parazite

ale divizorului. În fig. 4.33 se prezintă o schiță din care rezultă că aceste capacități parazite sănt următoarele :

- C_{ep} — capacitatea ecranului față de pămînt ;
- C_p — capacitatea față de pămînt a coloanei divizorului ;
- C_m — capacitatea mutuală între două secțiuni din coloana divizorului ;
- C_{ec} = capacitatea ecranului față de coloana divizorului.

O metodă practică și rapidă pentru calcularea capacităților parazite menționate constă în modelarea cîmpului electric cu ajutorul băii electrolitice. Pentru divizorul realizat s-au obținut rezultatele de modelare prezentate în fig. 4.34...4.39.

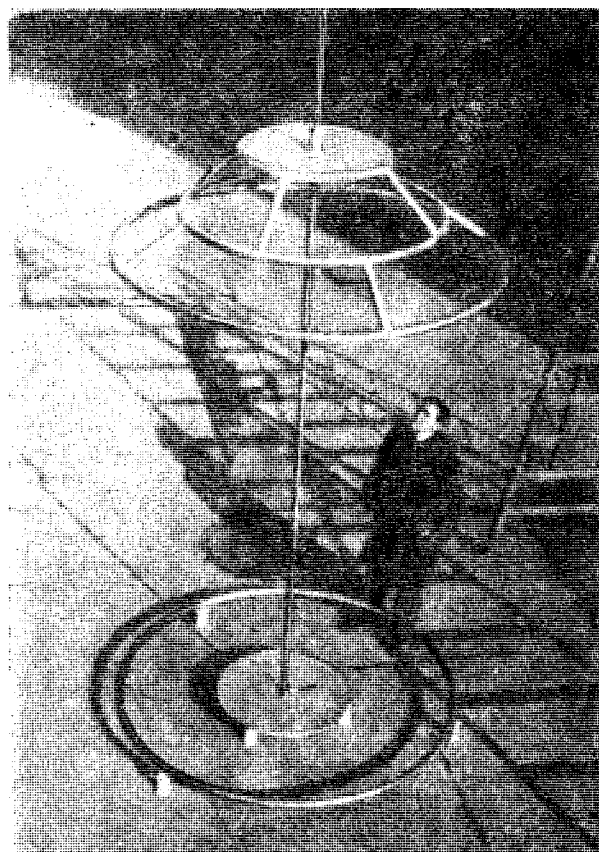


Fig. 4.32. Divizor rezistiv
cu ecran de 1,6 MV.

În fig. 4.34 s-a desenat cîmpul electric al ecranului față de pămînt. Suprafețele echipotențiale sunt numerotate cu 0,0 ; 0,1 . . . 0,9 ; 1,0. Aceste suprafețe s-au determinat cu ajutorul modelării tridimensionale cu simetrie axială. Capacitatea ecranului față de pămînt se calculează cu relația bine cunoscută [57]

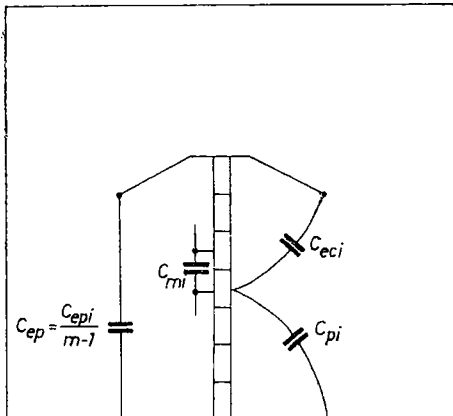


Fig. 4.33. Referitor la capacitațiile parazite.

$$C_{ep} = 2\pi \varepsilon_0 \frac{n}{m-1} k \cdot k_1 \quad (4.118)$$

în care : $k = \varepsilon_r r \frac{b}{a}$; $r \frac{b}{a} =$
 $= \text{const}$;

r — raza tubului de flux constant;
 b — lățimea tubului de flux constant;
 a — înălțimea tubului de flux constant;

k_1 este scara de reducere a modelului față de original;

n — numărul de tuburi de flux electric constant;

m — numărul de suprafețe echipotențiale.

Suprafețele echipotențiale secționează, imaginar, tubul rezistiv și determină astfel capacitați echivalente egale, deoarece sarcina electrică se conservă, iar diferența de potențial rămîne constantă.

În fig. 4.35 s-a desenat cîmpul electric al coloanei divizorului față de pămînt, în scopul determinării capacității C_{pi} a diferitelor segmente de tub rezistiv, față de pămînt.

Capacitatea mutuală C_{mi} se calculează cu relația

$$C_{mi} = \frac{C_{0n} \cdot C_{0(n+1)}}{C_{0n} + C_{0(n+1)}}, \quad (4.119)$$

în care : C_{0n} și $C_{0(n+1)}$ sunt capacitațiile unor segmente adiacente din tubul rezistiv față de un plan de referință, care trece perpendicular pe coloana tubului rezistiv, ca în fig. 4.36.

În fig. 4.37 s-a trasat cîmpul electric al ecranului față de coloana divizorului, în scopul determinării capacităților C_{eci} , a segmentelor din tubul rezistiv față de ecran.

În final, rețeaua de rezistențe și capacitați se prezintă ca în fig. 4.38, în care s-a neglijat inductivitatea reziduală a bobinajului realizat neinductiv, a divizorului de tensiune. Schema electrică

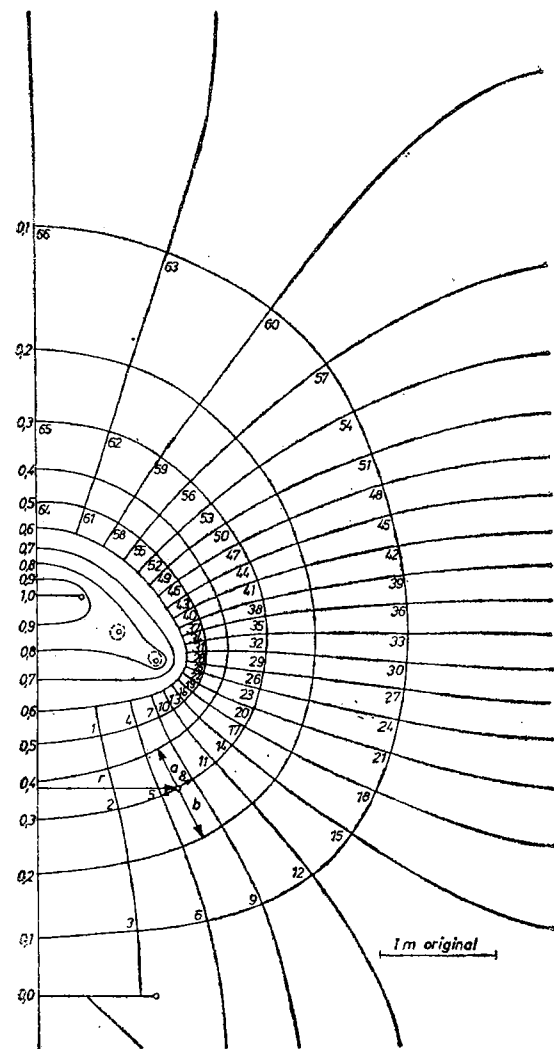


Fig. 4.34. Cimpul electric al ecranului față de pămînt.

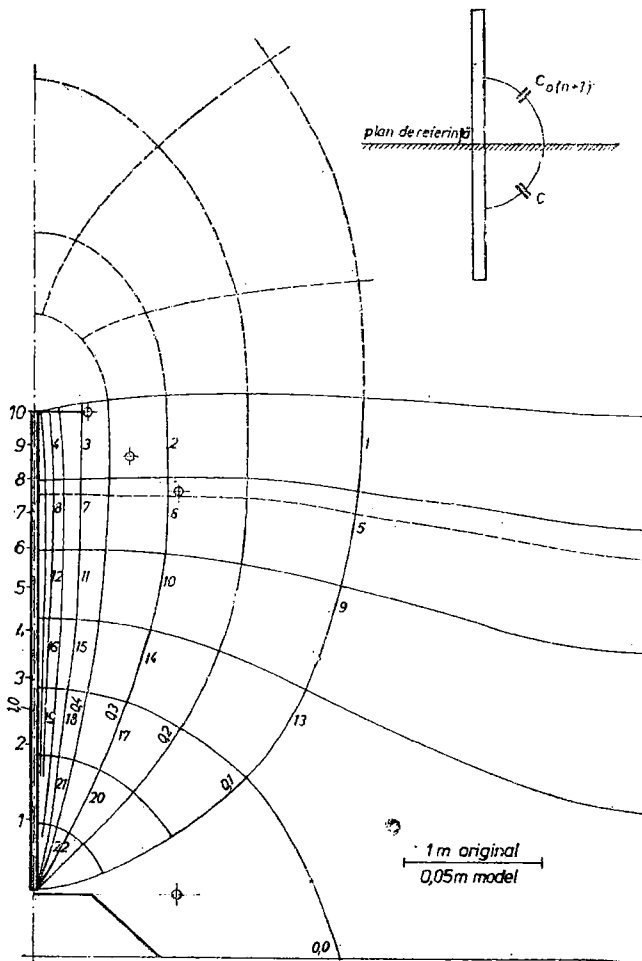


Fig. 4.36. Referitor la calculul capacităților mutuale.

Fig. 4.35. Cimpul electric al coloanei divisorului față de pămînt.

din fig. 4.38 a servit la realizarea unui model fizic, în care rezistențele s-au menținut egale cu rezistențele din original, iar valorile capacităților, trecute în paranteză, au fost majorate de 10 ori. Majorarea capacităților în model s-a făcut în scopul eliminării influenței

capacităților parasite ale conexiunilor. Modelul astfel realizat reprezintă o rețea RC , în care timpul este dilatat de zece ori. O excitare a modelului cu undă de impuls $1,5/50 \mu s$ și $15/500 \mu s$ va arăta comporta-

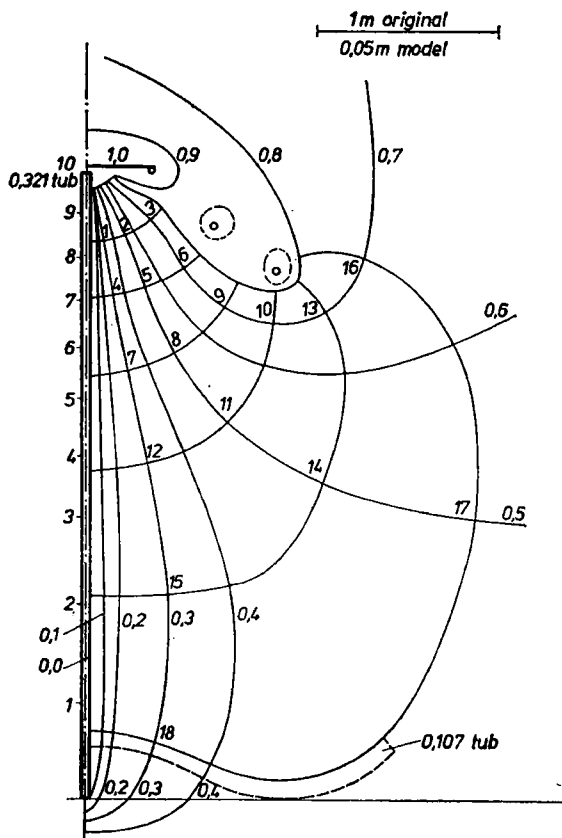


Fig. 4.37. Cimpul electric al ecranului față de coloana divisorului.

rea originalului la excitarea cu undă de impuls $0,15/5 \mu s$, respectiv $1,5/50 \mu s$. În fig. 4.39, curba 1 reprezintă repartitia tensiunii în lungul divisorului de tensiune, repartitie obtinută pe model la excitarea acestuia cu undele de impuls $0,15/5 \mu s$ și $1,5/50 \mu s$. Curba 2, din aceeași figură, arată repartitia tensiunii datorată ecranului, în acord

cu cîmpul electric prezentat în fig. 4.34. Se constată că, prezența ecranului este de natură să determine în mod decisiv solicitarea dielectrică în lungul divizorului, deoarece cele două curbe 1 și 2, sunt foarte apropiate una de alta.

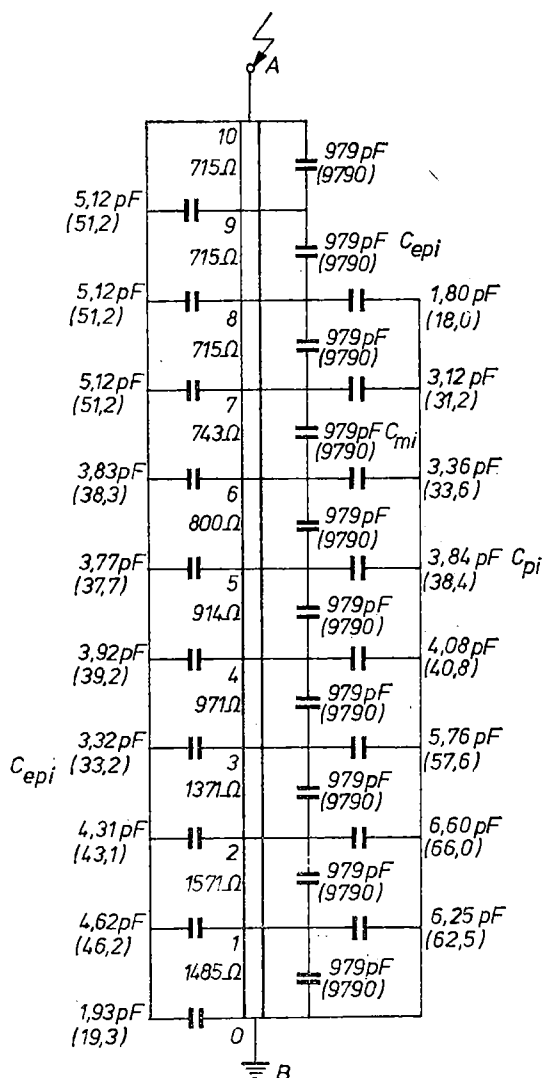


Fig. 4.38. Rețeaua echivalentă de capacități și rezistențe.

Performanțele divizorului rezistiv, ecranat, construit, rezultă din timpul de răspuns măsurat direct sau din caracteristica de frecvență.

În fig. 4.40 se prezintă răspunsul indicial al divizorului la excitația treaptă de tensiune, la trei valori diferite ale rezistenței de amorti-

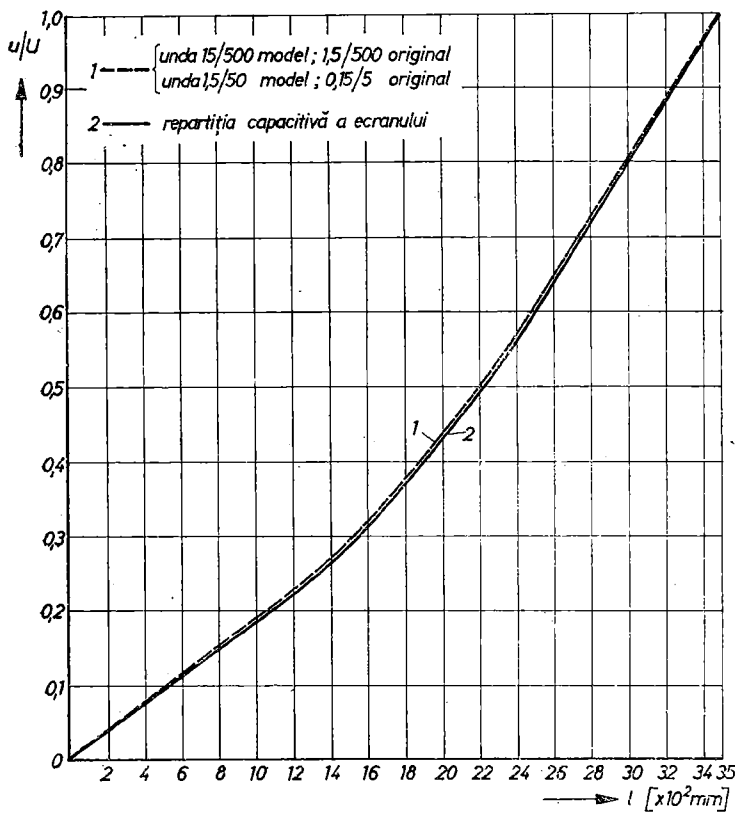


Fig. 4.39. Repartiția tensiunii în lungul coloanei divizorului :

1 — curba rezultantă; 2 — curba datorită ecranului.

zare R , plasată pe linia de racord între sursă și divizorul de tensiune. Parametrii răspunsului sunt prezentate în tabelul 4.1.

Parametrii răspunsului indicial din fig. 4.40

Oscilograma	a	b	c	d
Factorul de oscilație	1,4	1,27	1,15	1,06
T_r , ns	19	24	48	74,5
R_a , Ω	0	120	250	500

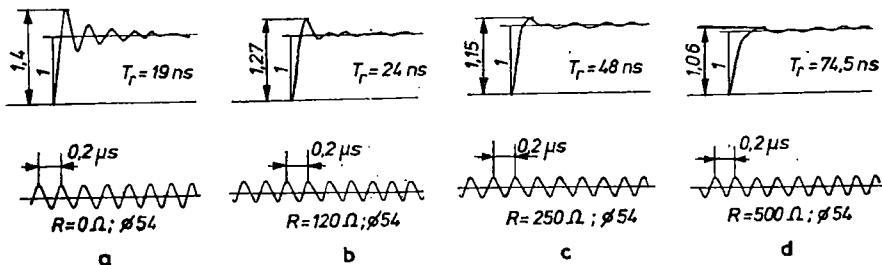


Fig. 4.40. Răspunsul indicial (vezi tabelul 4.1) al divizorului de 1,6 MV.

Se poate constata deci că, în absența rezistenței de amortizare, în mod aparent răspunsul este mai bun, luând în considerare criteriul timpului de răspuns, dar în acest caz răspunsul este oscilant amortizat cu factorul de oscilație 1,4. Prezența rezistenței de amortizare crește timpul de răspuns, dar reduce sensibil oscilațiile. De asemenea, diametrul conductorului sau lățimea benzii, din care este construită linia de racord, are influență asupra funcției indiciale, în sensul că un diametru mai mare, sau o lățime de bandă mai mare, determină diminuarea oscilațiilor. În montajul experimentat diametru conductorului a fost $\phi = 54$ mm.

Caracteristica de frecvență în amplitudine a divizorului construit este dată în fig. 4.41. Se constată că banda de frecvență a divizorului este 7 MHz la o atenuare de 3 dB. Tendința de oscilație în primul interval se datorează liniei de racord, iar tendința de oscilație către frecvența de 20 MHz se datorează cablului coaxial pe partea de joasă tensiune a divizorului.

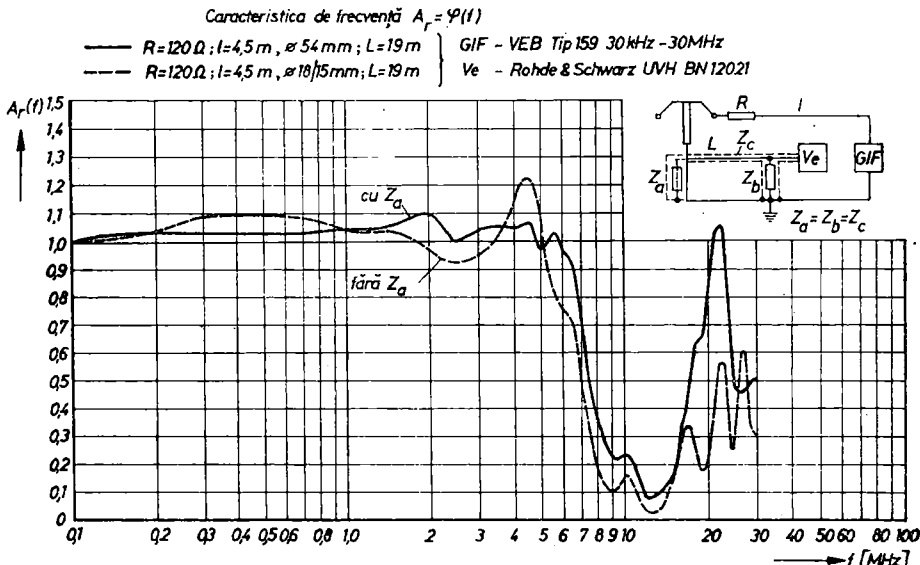


Fig. 4.41. Caracteristica de frecvență în amplitudine a divizorului de 1,6 MV.

4.4.2. Divizor mixt, serie, RC pentru tensiunea alternativă de 20 kVef

Un asemenea divizor este folosit la măsurarea tensiunii oscilante de restabilire a întreruptoarelor de putere. În aceste condiții de utilizare apar solicitări dielectrice și termice specifice.

Solicitări dielectrice. Valoarea de vîrf a tensiunii de restabilire la care este supus divizorul în schema de încercare, [32] este

$$u = \frac{\gamma 1,5 \sqrt{2} U_n}{\sqrt{3}} \approx 40 \text{ kV}_{\max} \quad (4.120)$$

unde: $\gamma = 1,6$ este factorul de oscilație al tensiunii de restabilire; $U_n = 20 \text{ kV}$ — tensiunea nominală.

Raportul teoretic de divizare este $40 \text{ kV}/10 \text{ V} = 4000$. Brațul de înaltă tensiune al divizorului este constituit din cinci condensatoare ceramice de cîte 1250 pF și cinci rezistențe de cîte 100Ω . Condensatoarele sunt încercate la $U_i = 12 \text{ kV}_{\text{ef}}$, iar rezistențele au o tensiune de conturare $U_c = 200 \text{ V}$.

Valoarea efectivă a curentului la tensiunea maximă este

$$I = \frac{1,5 U_n}{\sqrt{3} \sqrt{R^2 + 1/C^2 \omega^2}} = 1,37 \cdot 10^{-3} \text{ A.} \quad (4.121)$$

Căderea de tensiune pe o rezistență, la frecvența industrială, este

$$U_R = \sqrt{2} I \cdot R_1 = 2 \cdot 1,37 \cdot 10^{-3} \cdot 100 = 0,19 V_{\max}.$$

Deci căderea de tensiune pe rezistență este extrem de mică față de căderea de tensiune pe condensator. Tensiunea oscilantă de

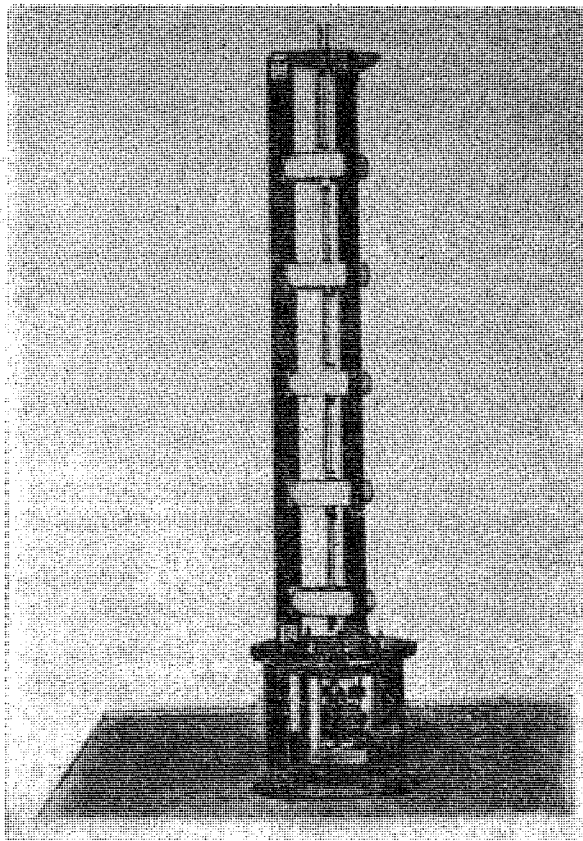


Fig. 4.42. Divizor mixt,
serie RC de 40 kV.

restabilire are o frecvență sensibil superioară frecvenței industriale și ca urmare, reactanța condensatoarelor va fi, ca mărime relativă, superioară reactanței la 50 Hz.

Un condensator este supus solicitării dielectrice maxime

$$u_c = \frac{u}{n} = \frac{40 \cdot 10^3}{5} = 8 \cdot 10^3 \text{ V.} \quad (4.122)$$

Solicitări termice. Acestea sunt extrem de reduse, atât pentru rezistențe ($P = \Delta U_R \cdot I$), cât și pentru condensatoare, care au pierderi reduse, fiind destinate a lucra în circuite de înaltă frecvență.

În fig. 4.42 se vede ansamblul divizorului de tensiune mixt, serie, RC . În zona inferioară este plasat brațul de joasă tensiune, care are aceeași constantă de timp ca brațul de înaltă tensiune, adică

$$R_1 C_1 = R_2 C_2 = \tau = 105,5 \cdot 10^{-9} \text{ s.} \quad (4.123)$$

În brațul de joasă tensiune se montează și un descărcător pentru a proteja oscilograful de eventualele supratensiuni accidentale. Caracteristica de frecvență în amplitudine este trasată în fig. 4.43

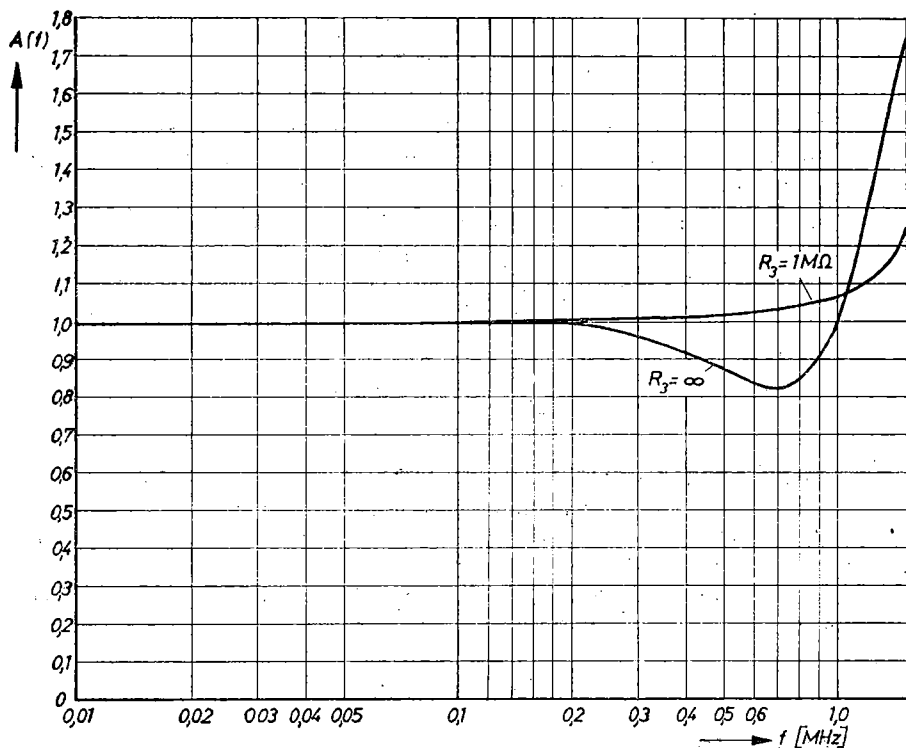


Fig. 4.43. Caracteristica de frecvență în amplitudine a divizorului de tensiune de 40 kV.

pentru două valori ale rezistenței terminale ale cablului coaxial și anume $R_3 = \infty$ și $R_3 = 1 \text{ M}\Omega$. Banda de frecvență în cazul rezistenței terminale de $1 \text{ M}\Omega$ este de $1,4 \text{ MHz}$.

4.4.3. Date suplimentare privind construcția divizoarelor de tensiune

Condițiile de exploatare, ca și tensiunile de încercare din ce în ce mai mari, conduc la necesitatea de a folosi divizoare de tensiune cu performanțe superioare cu dimensiuni cît mai reduse.

Cu privire la amortizarea divizoarelor mixte, serie, RC . Un divizor mixt, serie, RC trebuie acordat, în ceea ce privește rezistența de amortizare, pentru fiecare montaj de încercare, astfel valoarea rezistenței R ce intră în structura divizorului, după Zaengl [70], este

$$R \approx 4 \sqrt{\frac{L}{C}}, \quad (4.124)$$

unde L este inductivitatea totală a circuitului de măsurare, iar C este capacitatea totală a divizorului rezultată din conectarea în serie a capacităților discrete.

În cazul unui divizor de tensiune utilizat în același timp drept capacitate de sarcină a unui generator de impuls și dispozitiv de măsurare, Feser [17] arată că se poate utiliza un divizor de tensiune cu amortizare slabă, care include în brațul de înaltă tensiune rezistența

$$R(0,25 \dots 1,25) \sqrt{\frac{L}{C}}, \quad (4.125)$$

iar brațul de joasă tensiune nu cuprinde rezistențe amortizoare.

Cu privire la adaptarea cablului de măsurare. În cazul divizoarelor mixte, serie, RC , ca în figurile 4.29 și 4.30, cablul de măsurare se conectează la divizor prin intermediul unei rezistențe care diferă de valoarea impedanței caracteristice a cablului de măsurare. Valoarea acestei rezistențe este

$$R_a = Z_c - R_2. \quad (4.126)$$

Această corecție se efectuează pentru cazul în care rezistența R_2 , în brațul de joasă tensiune, are valori semnificative față de valoarea

impedanței caracteristice. În acest fel, pentru frecvențe înalte, reacțanța condensatorului din brațul de joasă tensiune fiind considerată nulă, cablul de măsurare se închide pe impedanță caracteristică.

Cu privire la ecranele divizoarelor rezistive. La măsurarea tensiunilor de impuls foarte mari, de exemplu peste 2 MVA, se utilizează divizoare de tensiune rezistive cu ecrane multiple distribuite în lungul divizorului [16]. Aceste ecrane au dimensiuni mai mari spre zonele cu tensiune mai ridicată. Rezultă astfel capacitați longitudinale variabile în lungul ecranului, de natură să asigure o distribuție uniformă a tensiunii în lungul divizorului de tensiune. În afară de acest rol, prin forma și dimensiunile electrozilor, se urmărește și evitarea descărcărilor partiale și o diminuare a intensității cîmpului electric în jurul divizorului de tensiune.

5. Spectre de frecvență

Sunturile și divizoarele de tensiune sunt convertoare de mărimi electomagnetice variabile în timp, mărimi caracterizate și prin spectre de frecvență proprii. Este absolut necesar să se cunoaște spectrele de frecvență ale mărimilor de intrare, în convertoare, în scopul dimensionării acestor convertoare la banda de frecvență necesară obținerii unor semnale de măsură nedeformate.

Pentru a oferi o imagine asupra benzilor de frecvență ce se cer sănturilor și divizoarelor de tensiune, în tabelul 5.1, pentru cîteva unde de curent și tensiune reprezentative, se prezintă :

- forma și denumirea undei ;
- expresia analitică a undei ;
- expresia analitică a spectrului de frecvență.

Diagramele corespunzătoare expresiilor analitice ale spectrelor de frecvență sunt prezentate în fig. 5.1 . . . 5.8, în acord cu trimiterile din tabelul 5.1.

Calculul expresiilor analitice s-a efectuat cu ajutorul transformantei Fourier, pentru funcții $F(t)$ nule la $t < 0$

$$\underline{F}(j\omega) = \int_0^{\infty} F(t) e^{-j\omega t} dt. \quad (5.1)$$

Limita superioară a integralei a luat valoarea ∞ la funcțiile de timp a căror existență se extinde la infinit și valori finite pentru undele cu existență limitată în timp, cum este cazul impulsului, a undei de impuls tăiate, a curentului sinusoidal tăiat etc.

Densitatea spectrală sau spectrul de frecvență s-a obținut după efectuarea calculelor cerute de relația (5.1) și separarea părții reale și imaginare, cu relația

$$|\underline{A}(j\omega)| = \sqrt{R_e^2[\underline{F}(j\omega)] + I_m^2[\underline{F}(j\omega)]}. \quad (5.2)$$

Unele rezultate, trecute în tabelul 5.1 și în diagramele la care se face trimiterea în tabelul menționat, merită a fi scoase în evidență, după cum urmează :

- a. Componenta aperiodică a curentului de scurtcircuit a fost reprezentată prin curba exponențială, poziția 2. Spectrul de frecvență

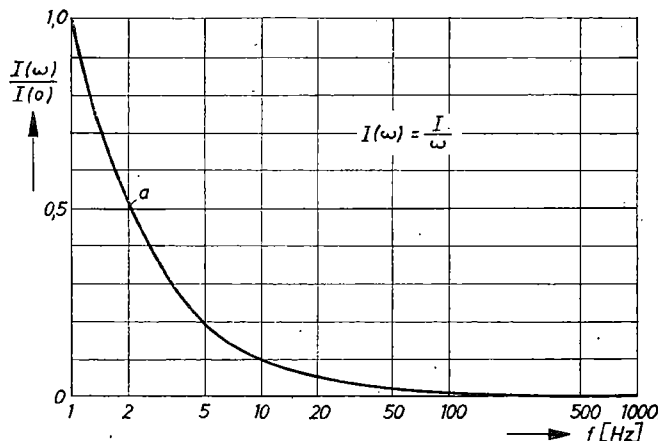


Fig. 5.1. Spectrul de frecvență al excitației treaptă.

corespunzător, desenat în fig. 5.2, arată că pentru măsurarea acestei componente este suficient ca șuntul corespunzător să aibă o bandă de frecvență de numai 1 000 Hz.

- b. Banda de frecvență a unui divizor de tensiune utilizat la măsurarea undei de impuls de tensiune tăiată, poziția 5, este relativ largă dacă tăierea undei se efectuează pe frontul undei. Astfel, banda de frecvență necesară este de numai 0,75 MHz, dacă undă este tăiată la 50 μs ca în fig. 5.6 și de 40 MHz, dacă tăierea se efectuează la 0,5 μs, ca în fig. 5.5.

Tabelul 5.1

Spectrul de frecvență al unor unde

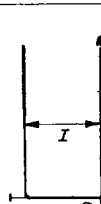
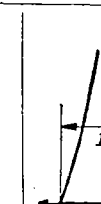
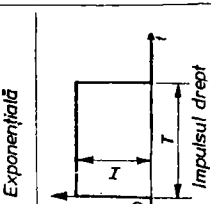
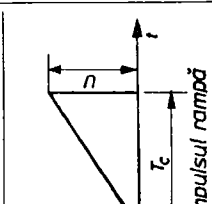
Nr. crt.	Unda		Spectrul de frecvență		Forma
	Forma și denumirea	Expresia analitică	Expresia analitică	Spectrul de frecvență	
4	 $i=0, \quad t < 0$ $i=I, \quad t > T$	$I(\omega) = \frac{I}{\omega}$			Fig. 5.1
2	 $i=0, \quad t < 0$ $i=I e^{-\lambda t}, \quad t > 0$ $\lambda = 22,311 \text{ s}^{-1}$	$I(\omega) = \frac{I}{\sqrt{\lambda^2 + \omega^2}}$			Fig. 5.2
3	 $i=I, \quad 0 < t < T$ $i=0, \quad t < 0; \quad t > T$	$I(\omega) = 2I \frac{\sin \frac{\omega T}{2}}{\omega}$			Fig. 5.3
4	 $i=U \frac{t}{T_c}, \quad 0 \leq t \leq T_c$ $i=0, \quad t < 0; \quad t > T_c$	$U(\omega) = \frac{U \sqrt{\omega^2 T_c^2 + 2(1 - \cos \omega T_c - \omega T_c \sin \omega T_c)}}{\omega^3 T_c}$	$U(\omega) =$ $= \frac{U \sqrt{\omega^2 T_c^2 + 2(1 - \cos \omega T_c - \omega T_c \sin \omega T_c)}}{\omega^3 T_c}$		Fig. 5.4

Fig. 5.5
 $T_c = 0,1 \mu s$
 $T_c = 0,5 \mu s$

$$U(j\omega) = \frac{U(j\omega)}{k} =$$

$$u = k(e^{-\frac{t}{T_1}} - e^{-\frac{t}{T_2}})$$

$$T_1 = 69,10 \cdot 10^{-6} s$$

$$T_2 = 0,395 \cdot 10^{-6} s$$

$$u=0; t<0; t>T_c$$

$$= \left\{ \frac{T_1}{1+T_1^2\omega^2} \left[1 + e^{-\frac{T_c}{T_1}} (\omega T_1 \sin \omega T_c - \cos \omega T_c) \right] - \right.$$

$$\left. - \frac{T_2}{1+T_2^2\omega^2} \left[1 + e^{-\frac{T_c}{T_2}} (\omega T_2 \sin \omega T_c - \cos \omega T_c) \right] - \right.$$

$$- j \left\{ \frac{T_1}{1+T_1^2\omega^2} \left[\omega T_1 - e^{-\frac{T_c}{T_1}} (\omega T_1 \cos \omega T_c + \right. \right.$$

$$\left. \left. + \sin \omega T_c) \right] - \right.$$

$$\left. - \frac{T_2}{1+T_2^2\omega^2} \left[\omega T_2 - e^{-\frac{T_c}{T_2}} (\omega T_2 \cos \omega T_c + \sin \omega T_c) \right] \right\}$$

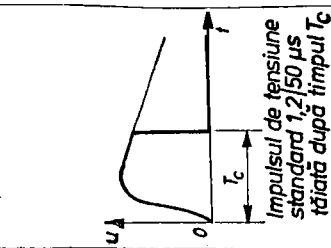


Fig. 5.6
 $T_c = 10 \mu s$
 $T_c = 50 \mu s$

$$I(\omega) = \frac{i}{\omega_0 \left(1 - \frac{\omega^2}{\omega_0^2} \right)} \times$$

$$\times \sqrt{2 + \left(\frac{\omega^2}{\omega_0^2} - 1 \right) \sin^2 \alpha_0 - \frac{2\omega}{\omega_0} \sin \alpha_0 \sin \alpha_0 - 2 \cos \alpha_0 \cos \alpha_0}$$

$$\alpha = \omega T_c; \alpha_0 = \omega_0 T_c; \omega_0 = 314 \text{ s}^{-1}$$

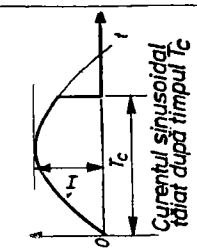
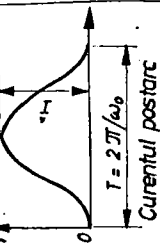


Fig. 5.7
 $T = 1 \mu s$
 $T_c = 5 \text{ ms}$
 $T_c = 9 \text{ ms}$

$$I(\omega) = \frac{i}{\sqrt{2}} \cdot \frac{\sqrt{1 - \cos(2\pi\omega/\omega_0)}}{\omega(1 - \omega^2/\omega_0^2)}$$

$$\omega_0 = \frac{2\pi}{T}$$



c. Banda de frecvență a unui sunt destinat a măsura curentul postarc este de numai 0,3 MHz dacă se măsoară un curent postarc termic și de peste 2 MHz dacă se măsoară un curent postarc dielectric, cum se arată în poziția 7 și în fig. 5.8.

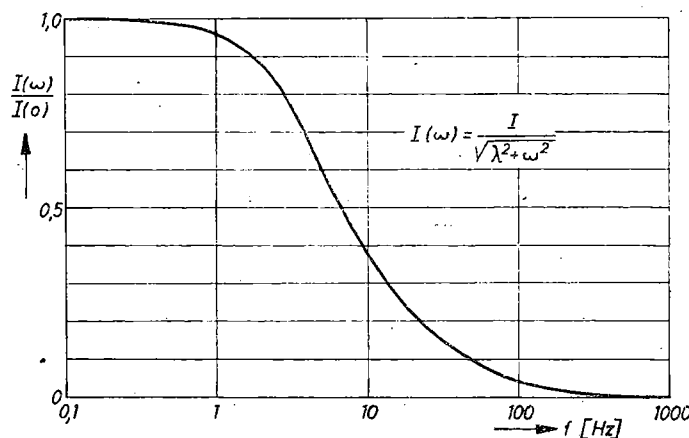


Fig. 5.2. Spectrul de frecvență al unei exponențiale.

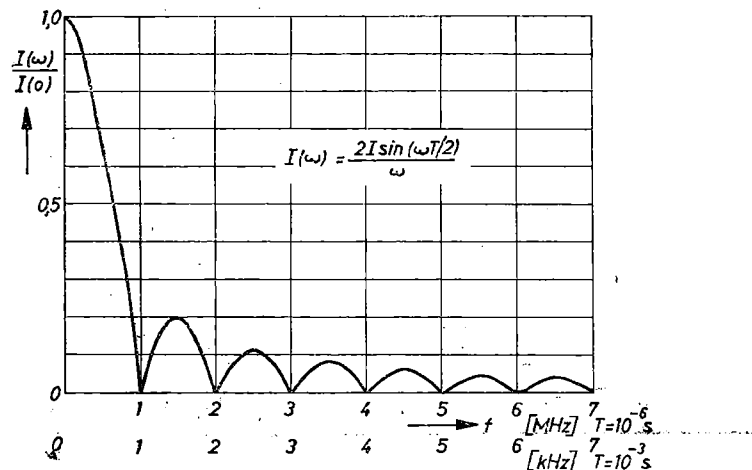


Fig. 5.3. Spectrul de frecvență al impulsului drept.

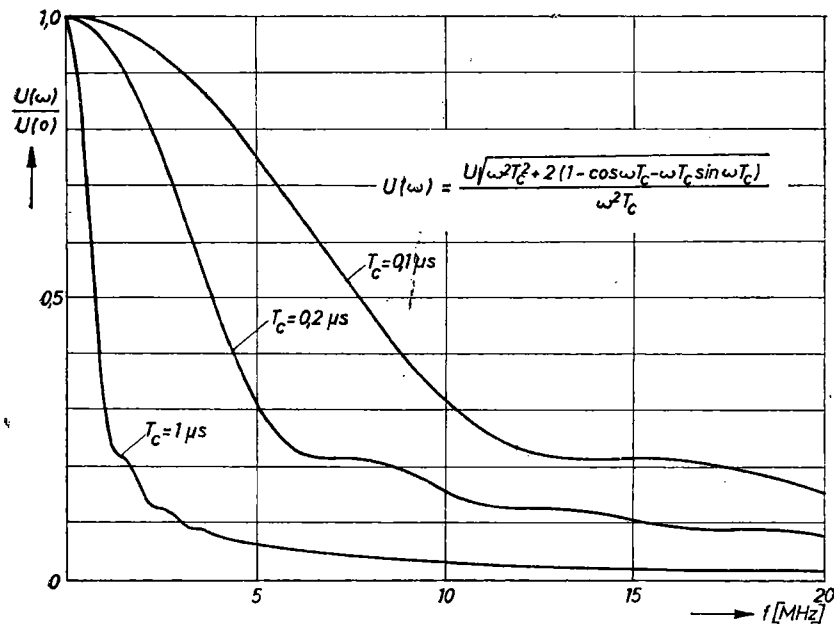


Fig. 5.4. Spectrul de frecvență al unui impuls rampă.

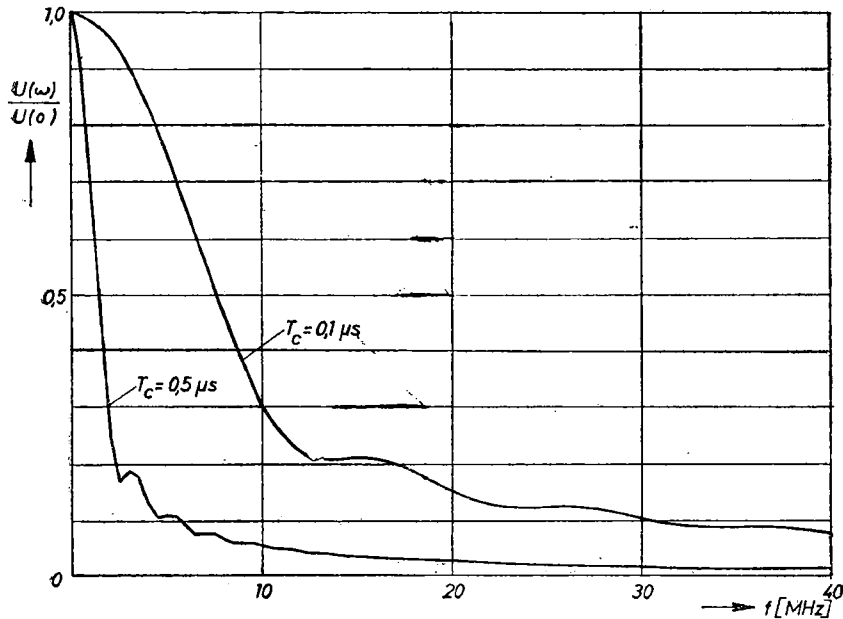


Fig. 5.5. Spectrul de frecvență pentru undă de impuls standard, tăiată.

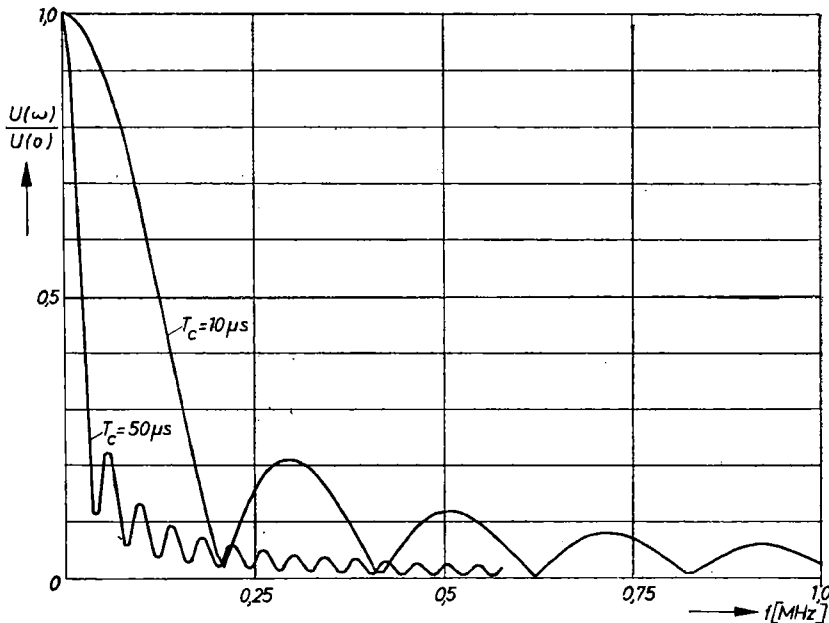


Fig. 5.6. Spectrul de frecvență pentru unda de impuls tăiată (continuare).

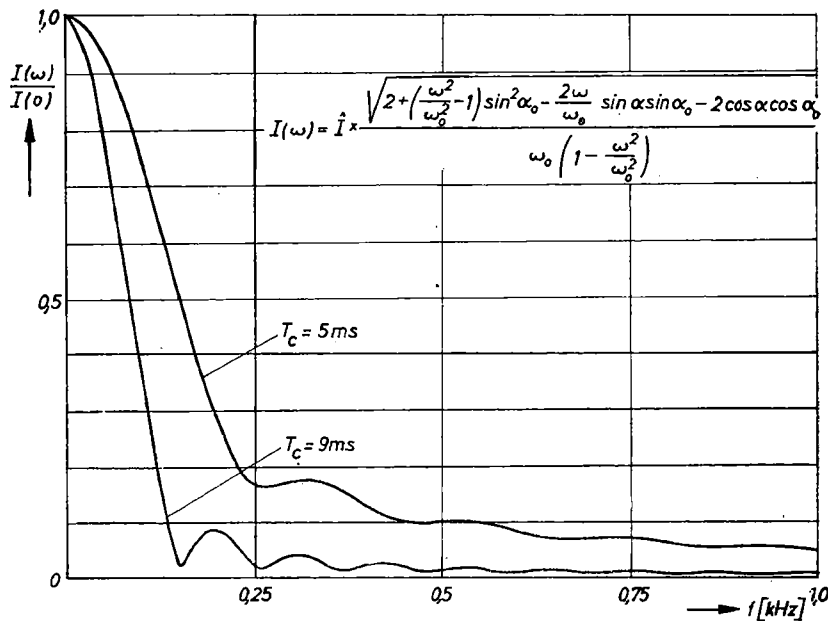


Fig. 5.7. Spectrul de frecvență pentru curentul sinusoidal tăiat.

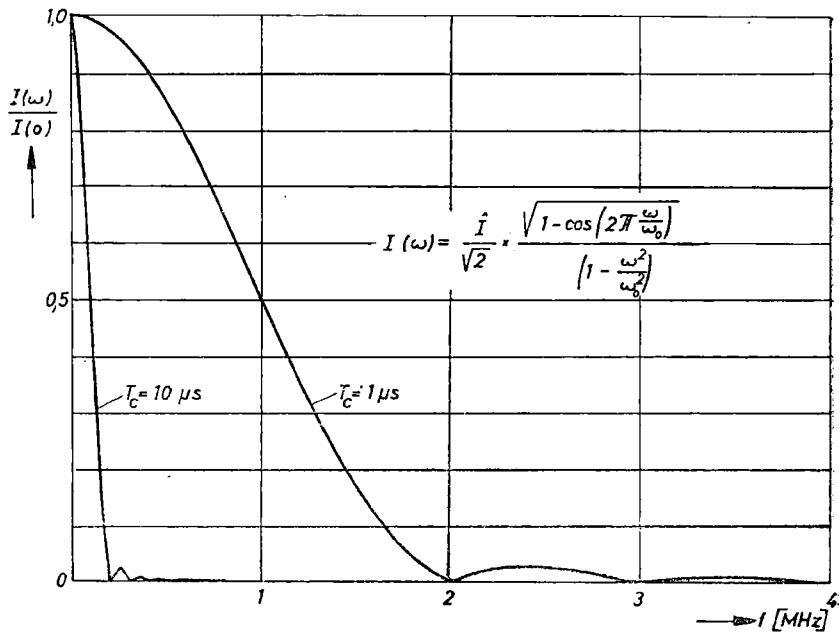


Fig. 5.8. Spectrul de frecvență pentru curentul postare.

6. Instalații pentru determinarea performanțelor

Pentru a măsura performanțele șunturilor coaxiale și divizoarelor de tensiune, în acord cu criteriile expuse în cap. 2, este necesar să dispunem de surse care să producă fie excitația treaptă fie excitația sinusoidală.

6.1. Producerea excitației treaptă la încercarea șunturilor coaxiale

Mijloacele tehnice necesare producerii excitației treaptă sunt diferite, în funcție de grosimea peretelui cilindrului rezistiv al șuntului. Pentru pereți relativ subțiri, de ordinul $0,05 \dots 0,5$ mm se utilizează generatorul de oscilații dreptunghiulare realizat dintr-un cablu coaxial, cu pierderi reduse, încărcat la o tensiune $1 \dots 10$ kV, și care se scurtează la o extremitate, cealaltă rămînind liberă, ca în fig. 6.1, a. La producerea scurtcircuitului, curentul este dat de relația

$$I = \frac{U}{Z_c}. \quad (6.1)$$

unde U este tensiunea de încărcare prealabilă a cablului, iar Z_c este impedanța sa caracteristică. Prin scurtcircuitare, tensiunea la extremitatea scurtcircuitată capătă brusc valoarea zero, deci apare, la această extremitate, tensiunea $-U$, care se propagă cu viteza $v = 1/\sqrt{L_0 C_0}$ către extremitatea liberă; aici se reflectă conservîndu-și polaritatea și se propagă către extremitatea scurtcircuitată, unde se reflectă cu schimbarea polarității s.a.m.d. Durata necesară propagării undei de polaritate $-U$ de la extremitatea scurtcircuitată la cea liberă și înapoi la cea scurtcircuitată este

$$\tau = \frac{2l}{v}. \quad (6.2)$$

După această durată, curentul își schimbă sensul odată cu schimbarea polarității tensiunii reflectate. Se produce astfel un tren de oscilații rectangulare de curent ca în fig. 6.1, b. Teoretic, în cazul unui cablu fără pierderi, oscilațiile își conservă amplitudinea, fără a fi necesar să se introduce, din exterior, energie suplimentară.

În fig. 6.2 se prezintă schema electrică a instalației care folosește principiul descris al generatorului de curent rectangular. Cablul coaxial 1 este de tipul celui utilizat în televiziune, cu izolație de polietilenă. Lungimea cablului utilizat depinde de valoarea timpului de răspuns al șuntului încercat și poate fi cuprinsă între 5 și 100 m.

Condiția de folosire a acestei metode de determinare a timpului de răspuns este ca pe durata $\tau = 2l/v$ răspunsul să se stabilizeze în amplitudine. Comutatorul 2 se poate realiza cu ajutorul unui releu cu contacte muiate în mercur, tipul CLARE [49], folosit curent în construcția centralelor telefonice. Un asemenea releu comută curenti de ordinul 1...5 A fără vibrații mecanice, deci fără arc electric. La încercarea șunturilor coaxiale, cu pereti mai groși ai tubului rezistiv și deci cu valori mai mici ale rezistențelor, este necesar să se folosi un curent mai intens, de 50...100 A. În acest caz, comutația se realizează cu ajutorul unui eclator, care poate fi în aer la presiunea atmosferică, în care caz timpul propriu de creștere este de 5...10 ns,

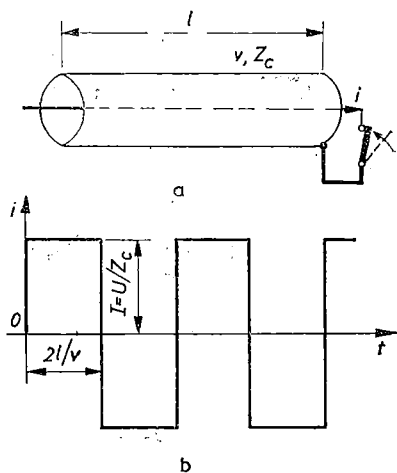


Fig. 6.1. Producerea oscilațiilor rectangulare de curent:
a - cablu încărcat care se scurtcircuitează la o extremitate; b - diagrama curentului.

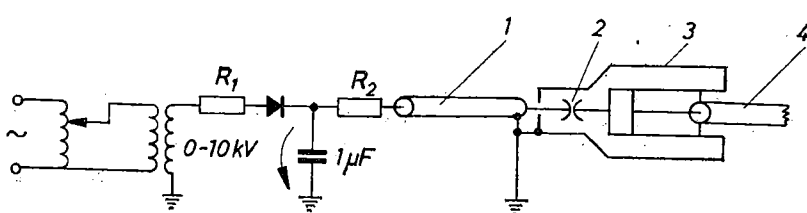


Fig. 6.2. Schema electrică a instalației care produce excitația treaptă de curent. Se folosește un cablu coaxial.

sau în azot sub presiunea de pînă la 8 at, cînd timpul propriu de creștere este de cîteva nanosecunde. Rezistența R_1 servește la limitarea curentului de încărcare a condensatorului tampon, cu capacitatea de aproximativ $1 \mu\text{F}$, iar rezistența $R_2 \approx 5 M \Omega$ servește la menținerea

practic în gol a extremității cablului coaxial. Eclatorul 2, șuntul 3 și cablul 4 de măsurare sunt toate montate coaxial.

Cu montajul schițat în fig. 6.2 s-a obținut oscilograma undelor de curent rectangular ca în fig. 6.3, a, la încercarea unui șunt coaxial cu rezistență de $2,02 \text{ m } \Omega$. Se remarcă faptul că rezistența șuntului este sensibil mai mică decît valoarea impedanței caracteristice (75Ω) a cablului coaxial 1, astfel încît relația (6.1) poate fi folosită cu suficientă aproximație. În oscilogramă se mai constată atenuarea în timp a semnalului de curent. În evaluarea timpului de răspuns trebuie reținută prima treaptă de curent, la care amortizarea este minimă. Această evaluare se face prin dilatarea convenabilă a timpului ca în fig. 6.3, b, unde o diviziune echivalează cu 20 ns față de fig. 6.3, a,

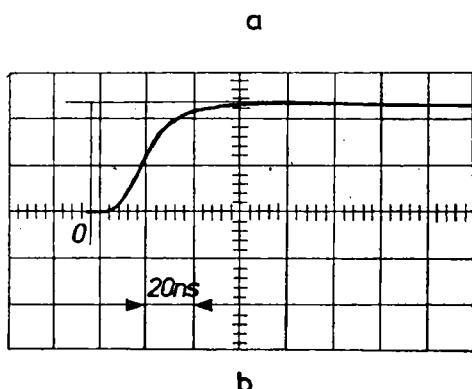


Fig. 6.3. Oscilograme obținute cu schema din fig. 6.2:

a – unde de curent rectangular; b – prima treaptă.

în care o diviziune echivalează cu 20 ns . Timpul de răspuns astfel măsurat pe oscilograma din fig. 6.3, b este de 25 ns .

În cazul șunturilor coaxiale cu valori de rezistență extrem de mici, spre exemplu $4 \cdot 10^{-5} \Omega$, schema de încercare din fig. 6.2 nu mai este potrivită, deoarece impune lungimi de cablu coaxial de aproximativ 1 km. O instalație de încercare compactă este prezentată în fig. 6.4, în care, locul cablului coaxial scurte circuitat la o extremitate este preluat de un condensator 1, în construcție coaxială, de capacitate suficient de mare, spre exemplu $4 \dots 5 \mu\text{F}$, care se descarcă pe

șuntul coaxial 3, prin intermediul rezistenței R_3 , cu ajutorul eclatorului 2. În acest caz, excitația nu mai este o treaptă de curent, ci exponențială de descărcare a unui condensator, de forma

$$i = I e^{-t/T}, \quad (6.3)$$

în care curentul în momentul $t = 0$ este $I = U/R_3$. Este de la sine înțeles că această exponențială se poate assimila cu o treaptă de

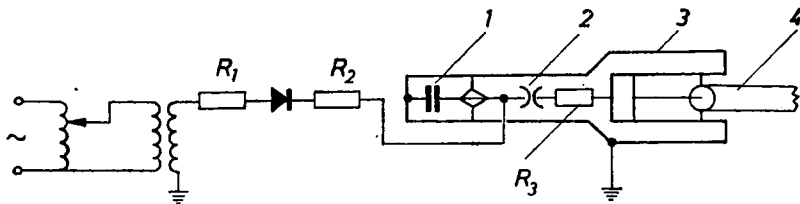


Fig. 6.4. Schema electrică a instalației de produs excitație exponențială. Se folosește un condensator coaxial.

curent, cu condiția ca timpul de răspuns al șuntului incercat să fie sensibil mai mic decât constanta de timp $T = R_2 C$ a exponențialei din relația (6.3).

6.2. Producerea excitației treaptă la încercarea divizoarelor de tensiune

La determinarea timpului de răspuns al unui divizor de tensiune, este util ca excitația treaptă de tensiune să aibă o amplitudine suficient de mare pentru a verifica divizorul în condiții cît mai apropiate de cele din funcționarea normală. În fig. 6.5, a se prezintă schema electrică cu ajutorul căreia s-au obținut răspunsurile din fig. 4.40. Condensatorul C cu o capacitate de $0,15 \mu\text{F}$ este încărcat la o tensiune de aproximativ 100 kV . Prin amorsarea cu trigger a eclatorului E_{c1} , condensatorul C se descarcă pe rezistența R_2 cu o valoare de $20 \text{ k}\Omega$. Constanta de timp a circuitului de descărcare este deci suficient de mare, 3 ms , în raport cu timpul de răspuns, cîteva zeci de ns, al divizorului. După cîteva μs de la inițierea descărcării, eclatorul E_{c2} autoamorsează și în acest mod divizorul este excitat cu o treaptă de tensiune. Eclatorul E_{c2} poate fi realizat într-un recipient cu azot, la presiunea de cîteva atmosfere, sau poate fi realizat

cu electrozi de fier amplasați într-un recipient de ulei [1]. Utilizarea uleiului permite să se regleze distanța între electrozi și cluatorul E_{c2} la cîțiva mm. Folosirea fierului ca material pentru electrozi este utilă pentru a diminua timpul de formare a canalului de străpungere și distanței disruptive. Divizorul se aşază în poziția de funcționare,

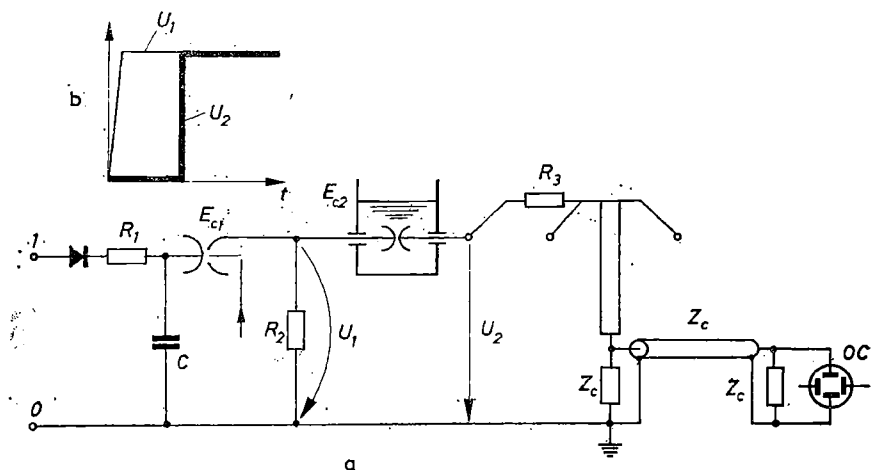


Fig. 6.5. Instalație pentru produs treapta de tensiune:
a – schema electrică; b – diagramele de tensiune.

iar în circuitul de excitație este introdusă rezistența de amortizare R_3 . O atenție deosebită se acordă pămîntului care este comun, sub forma unei plăci de cupru sau aluminiu și legat într-un singur punct la priza de pămînt. Oscilograful primește potențialul zero prin intermediul ecranului cablului de măsură. În fig. 6.5, b se prezintă diagramele pentru tensiunea U_1 de descărcare a condensatorului C și tensiunea U_2 de excitare a divizorului de tensiune. La realizarea schemei de încercare se respectă condițiile de montaj specifice [10].

6.3. Determinarea caracteristicii de frecvență a divizoarelor de tensiune

Caracteristica de frecvență cuprinde atît răspunsul în amplitudine, cît și cel în fază. Echipamentul necesar determinării caracteristicii de frecvență în amplitudine este schițat în fig. 6.6. Generatorul de semnal sinusoidal I , echipat cu un voltmetriu la ieșire, produce un

semnal sinusoidal care se aplică divizorului 2. Semnalul de ieșire din divizor, intră prin intermediul cablului coaxial, în voltmetrul electronic 3. Cu asemenea instalație, pentru frevențe discrete cuprinse între 10 kHz și 1,4 MHz, s-a trasat caracteristica de frecvență din fig. 4.43, a unui divizor mixt, serie, RC cu raport de reducere 4 000. Pentru

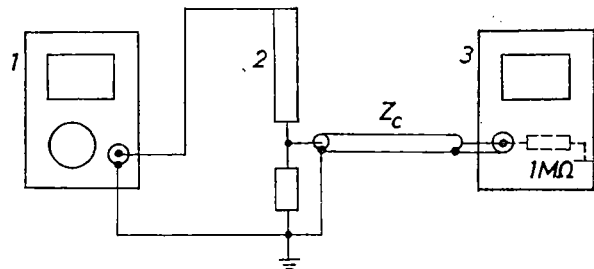


Fig. 6.6. Echipament pentru determinarea caracteristicii de frecvență în amplitudine.

fiecare valoare discretă a frecvenței se menține constantă amplitudinea tensiunii de intrare în divizor și se citește tensiunea de ieșire.

Pentru a trasa și caracteristica de frecvență a fazei este necesar să se dispune de un osciloscop de tip dual, cu bandă largă, echipat cu amplificator diferențial [1]. Schema electrică a unei asemenea instalații este dată în fig. 6.7. Generatorul de semnal sinusoidal 1

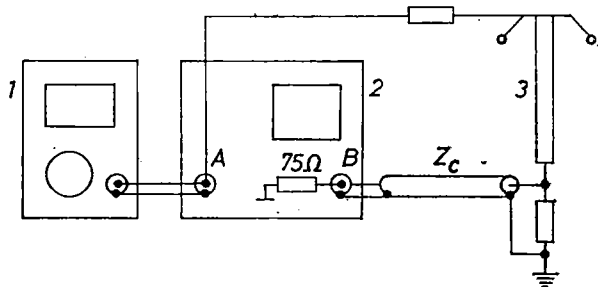


Fig. 6.7. Echipament pentru determinarea caracteristicii de frecvență în amplitudine și fază.

produce un semnal care se aplică atât la intrarea în amplificatorul A al osciloscopului 2, cât și la intrarea în divizorul de tensiune 3. Semnalul de ieșire din divizor se aplică la intrarea în amplificatorul B. Un asemenea osciloscop, de exemplu Philips PM 3250, cu bandă de frecvență de 60 MHz, poate măsura și afișa valori instantanee pentru cele două mărimi de intrare și poate de asemenea să efectueze diferența instantanee a celor două mărimi.

Pentru a obține defazajul propriu divizorului de tensiune, din valoarea măsurată se scade defazajul produs de cablul coaxial de măsurare

$$\Phi_c(\omega) = \omega l \sqrt{L_0 C_0} \quad (6.4)$$

unde :

l este lungimea cablului de măsurare ;

L_0, C_0 sunt parametrii lineici ai cablului de măsurare.

O posibilitate suplimentară de a crește precizia măsurării experimentale a defazajului între semnalele de intrare și ieșire, o constituie cea de a doua bază de timp a osciloscopului și „lupa de timp” care sunt module curente în structura osciloscoapelor cu bandă largă de frecvență. Raportul de divizare (reducere), adică raportul între semnalul de ieșire și cel de intrare, se determină cu multă ușurință, ținând seama de calibrarea amplificatoarelor de întărire și de faptul că aceste amplificatoare oferă sensibilități calibrate între 1 mV/div pînă la 5 V/div. Cu alte cuvinte, se poate determina rapoarte de reducere cuprinse între 1/1 și 1/5 000...1/15 000.

Analizoarele de rețea, de exemplu HP 8407 A, oferă posibilitatea de a înscrie direct, cu ajutorul unui ploter, caracteristica de frecvență în amplitudine și fază. O asemenea înscriere este dată în fig. 2.10 pentru un divizor de tensiune universal, cu raport de reducere 1/100. Caracteristica în amplitudine este dată ca atenuare, iar caracteristica în fază este dată direct în grade. Frecvența de testare este cuprinsă între 0,1 MHz și 10 MHz.

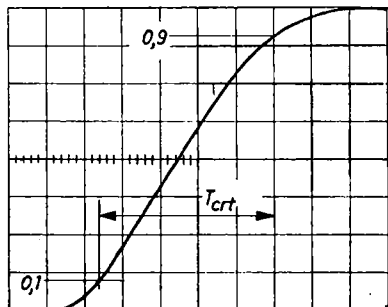
6.4. Determinarea timpului de creștere

Determinarea timpului de creștere se efectuează cu ajutorul unui osciloscop catodic cu bandă largă de frecvență, de exemplu 60 MHz ... 500 MHz și cu un caroiaj convenabil al ecranului, ca în fig. 6.8. Fenomenul este extins, pe ecran, la maximum, atât ca amplitudine cât și ca durată. Timpul cuprins între 0,1 și 0,9 din amplitudine reprezintă timpul de creștere total T_{crt} , care cuprinde :

- T_{cre} — timpul de creștere al eclatorului 2 a montajului din fig. 6.2 ;
- T_{crs} — timpul de creștere al șuntului coaxial ;
- T_{crc} — timpul de creștere al cablului coaxial ;
- T_{cro} — timpul de creștere al osciloscopului catodic.

În principiu ne interesează să determinăm timpul de creștere propriu convertorului, în exemplul ales, al șuntului coaxial. Dacă timpul de creștere al șuntului coaxial este relativ mare față de cel

Fig. 6.8. Relativ la determinarea timpului de creștere.



al eclatorului și al cablului coaxial, în acord cu relația (2.67) se poate approxima timpul de creștere al șuntului

$$T_{crs} = \sqrt{T_{crt}^2 - T_{cro}^2}. \quad (6.6)$$

Timpul de creștere al oscilografului este dat de constructor. Spre exemplu, acest timp, pentru osciloscopul Philips PM 3250, cu banda de frecvență de 60 MHz, este de 7 ns.

7. Cîteva aplicații

Șunturile coaxiale și divizoarele de tensiune își găsesc o largă aplicare în instalațiile electrice de măsurare și încercări, în care apar mărimi (curenți și tensiuni) cu variații rapide în timp. În acest sens reprezentative sunt următoarele domenii moderne de aplicații :

- a) tehnica încercărilor dielectrice ;
- b) tehnica încercărilor aparatelor de comutăție de joasă și înaltă tensiune ;
- c) tehnica mutatoarelor echipate cu semiconductoare.

Cadrul lucrării de față nu îngăduie prezentarea pe larg a acestor aplicații, dar prezentarea unor scheme reprezentative este utilă pentru a scoate în evidență rolul funcțional al șunturilor coaxiale și al divizoarelor de tensiune.

7.1. Încercarea la impuls de tensiune a transformatoarelor

Una din încercările dielectrice ce se efectuează asupra transformatoarelor este încercarea la impuls de tensiune, în acord cu standardele de stat [30], și cu recomandările Comisiei electrotehnice internaționale privind coordonarea izolației [77]. Încercarea cu impuls de tensiune este destinată a verifica izolația transformatoarelor în condițiile de solicitare în exploatare, după cum urmează :

- a) izolația principală, față de masă și între faze ;
- b) izolația între spirele unei infășurări ;
- c) izolația punctului neutru în cazul în care transformatorul este destinat să funcționeze cu neutrul izolat.

În fig. 7.1 se prezintă schema electrică a încercării la impuls a unui transformator, în scopul verificării izolației principale și izolației între spire. Generatorul de impuls de tensiune este reprezentat de condensatorul C , eclatorul E_g și rezistența de front R_1 . Eclatorul E_t servește la tăierea undei, iar divizorul de tensiune D_t , la înregistrarea

tensiunii de încercare, care trebuie să mențină o durată minimă a semiamplitudinii [30]. Transformatorul T este pregătit pentru a fi încercat în felul următor¹⁾: unda de impuls se aplică fazei 1, din primarul transformatorului; fazele 2 și 3 se conectează la pămînt

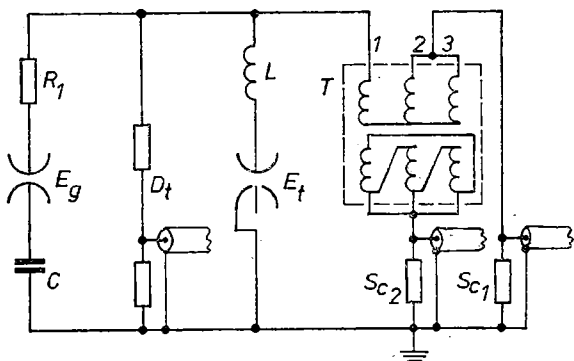


Fig. 7.1. Folosirea șunturilor coaxiale și a unui divizor de tensiune, la încercarea cu impuls de tensiune a unui transformator.

prin intermediul șuntului coaxial S_{c1} . Înfășurarea secundară, în triunghi, este scurtcircuitată și conectată la pămînt prin intermediul șuntului coaxial S_{c2} . Se înregistrează curentul din înfășurarea căreia î se aplică tensiunea de impuls, adică curentul din faza 1 care se ramifică în fazele 2 și 3. Se mai înregistrează curentul capacitive al capacității formată de înfășurarea primară și cea secundară. Curentul acesta, măsurat de șuntul coaxial S_{c2} , este indicator pentru prezența unui scurtcircuit între spirele fazei 1. Tehnica încercării constă în a aplica, în prima etapă, un impuls de tensiune redusă — aproximativ 50% din tensiunea normală de încercare — și a se înregistra curentul capacitive. Oscilograma astfel obținută se numește normogramă.

În etapa a doua se aplică tensiunea de încercare plină și se înregistrează curentul capacitive. Prin compararea oscilogrammei curentului capacitive de tensiune plină cu normograma obținută mai înainte se constată absența sau producerea defectului de scurtcircuit între spire. Dacă oscilograma nu diferă de normogramă rezultă

¹⁾ Nuunai în cazul conexiunii stea cu neutralul izolat este valabilă schema din fig. 7.1.

că transformatorul nu a suferit nici o avarie în timpul încercării. Dacă dimpotrivă, există diferențe între oscilogramă și normogramă, rezultă că a apărut o deteriorare a izolației între spire.

În fig. 7.2 se prezintă normograma și oscilogramele cu defect, care apar la $1,3 \mu s$; $1,2 \mu s$; $1,6 \mu s$. În aceste oscilograme se constată că pînă la apariția defectului, curentul rămîne identic cu cel din normogramă, iar după apariția defectului, curentul capacativ ia forme sensibil diferite. Se mai observă variațiile rapide ale curentului capacativ și de aici necesitatea de a folosi șunturi coaxiale cu banda de frecvență de ordinul 10 MHz . De asemenea, măsurarea undei de tensiune tăiate se realizează cu divizorul de tensiune D_t , cu banda de frecvență de aproximativ 1 MHz , după cum rezultă din fig. 5.6.

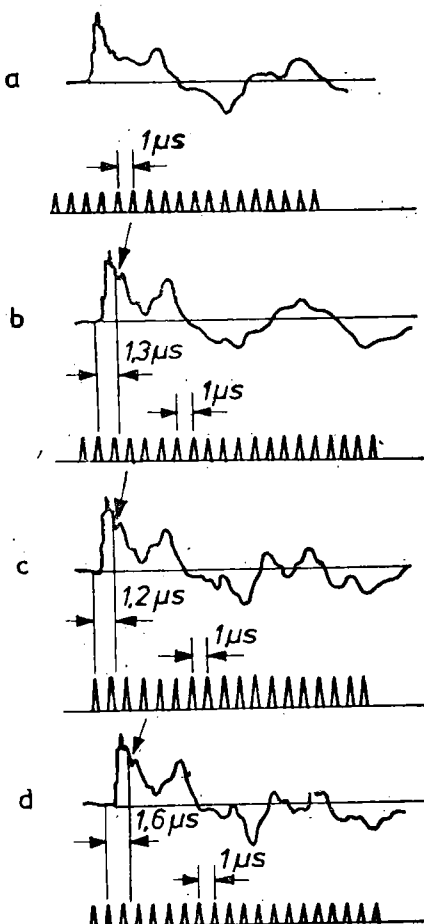


Fig. 7.2. Detectarea unui defect de izolație între spire:

a – normogramă; b, c, d – oscilograme cu defect.

7.2. Măsurarea tensiunii de arc electric, a tensiunii de restabilire și a curentului postarc

Un alt caz reprezentativ, în care se cere ca șunturile coaxiale și divizoarele de tensiune să aibă performanțe superioare, este cel al încercării capacității de deconectare a unui intreruptor de putere de joasă sau înaltă tensiune, în curent alternativ. În adevară, reușita unei intreruperi depinde de procesele fizice ce au loc în jurul trecerii prin zero a curentului de scurtcircuit, în

etapa în care contactele aparatului s-au separat, iar în camera de stingere există un arc electric [32]. Fără a intra în detalii specifice, este suficient să se menționeze că în aceste condiții este necesar să se măsoare :

- currentul intens, cu cîteva microsecunde înainte de trecerea naturală prin valoarea zero ;
- tensiunea de arc electric ;
- currentul postarc, cu cîteva ordine de mărime mai mic decît currentul de scurtcircuit ;
- tensiunea de restabilire la bornele intrerupatorului, în cazul intreruperii reușite.

O schemă electrică cu ajutorul căreia se măsoară mărimile menționate, cu ajutorul sunturilor și al divizoarelor de tensiune, trebuie să satisfacă condiția de a elimina interferența între circuitul de curent intens și circuitele utilizate la măsurarea tensiunilor. O asemenea schemă numită *montaj diferențial* [59] este arătată în fig. 7.3.

În schema 7.3, a se prezintă principiul de măsurare. Divizorul de tensiune D_{t_1} măsoară, pe conturul A, B, C, A , tensiunea

$$u_A = u + \frac{d\Phi}{dt}, \quad (7.1)$$

unde : u_A este tensiunea bornei A față de masă (punctul c) ;

u — tensiunea la bornele intrerupatorului ;
 $d\Phi/dt$ — tensiunea indușă în bucla de măsurare.

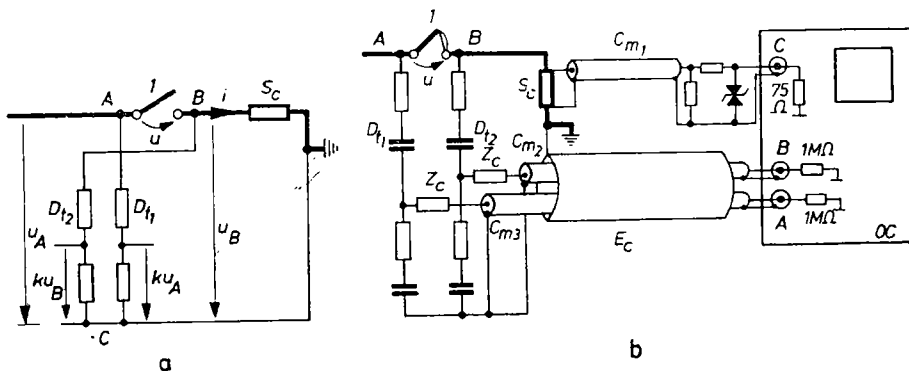


Fig. 7.3. Înregistrarea mărimilor la trecerea curentului, într-un intreruptor, prin valoarea zero :

a — schema de principiu ; b — schema de conexiuni.

Divizorul de tensiune D_{t2} măsoară, pe conturul B, C, B , tensiunea

$$u_B = \frac{d\Phi}{dt}. \quad (7.2)$$

Semnalele captate pe brațele de joasă tensiune ale celor două divizoare sunt kU_A și kU_B , unde k este raportul de reducere al celor două divizoare de tensiune. Prin efectuarea diferenței

$$ku_A - ku_B = k \left(u + \frac{d\Phi}{dt} - \frac{d\Phi}{dt} \right) = ku, \quad (7.3)$$

se constată că se obține un semnal proporțional cu tensiunea la bornele intreruptorului și că se elimină tensiunea indușă în bucla de măsurare.

În schema 7.3, b se prezintă schema de conexiuni corespunzătoare montajului diferențial. Cele două semnale ku_A și ku_B se introduc în amplificatorul diferențial al osciloscopului OC , în care se efectuează diferența dată de relația (7.3). Cablurile de măsurare C_{m2} și C_{m3} , dublu ecranate, sunt introduse în interiorul ecranului E_c . Divizoarele de tensiune D_{t1} și D_{t2} , de construcție identică, sunt de tipul mixt, serie, RC . Măsurarea curentului de scurtcircuit și a curentului postarc se realizează cu sunțul coaxial S_c . Cum între intensitățile celor doi curenti există diferențe de cîteva ordine de mărime, limitarea semnalului transferat de cablul de măsurare C_{m1} se obține cu ajutorul a două diode Zener montate antiparalel la intrarea C a osciloscopului.

Utilizarea montajului diferențial necesită o prealabilă echilibrare a celor două bucle de măsurare, în care sunt introduse divizoarele de tensiune. Astfel, dacă intreruptorul 1 este închis și prin el se trece curent intens, amplasarea geometrică a celor două divizoare de tensiune trebuie astfel făcută încît amplificatorul diferențial al osciloscopului să scoată o tensiune nulă.

În fig. 7.4 se prezintă [58] oscilograma curentului intens

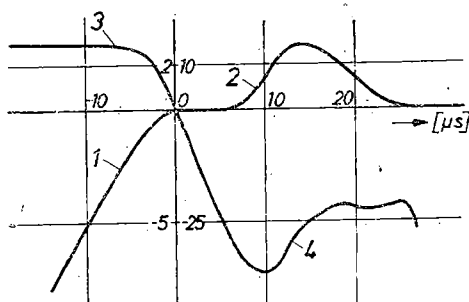


Fig. 7.4. Oscilograma la intreruperea curentului intr-un intreruptor de inalta tensiune.

Î cu cîteva zeci de microsecunde înainte de trecerea prin zero a curentului postarc termic 2, a tensiunii de arc 3 și a tensiunii de restabilire 4, mărimi ce se pot măsura cu montajul diferențial prezentat în fig. 7.3. Se remarcă, în acord cu analiza Fourier din tabelul 5.1, poziția 7, și fig. 5.8, că banda de frecvență necesară șuntului coaxial, pentru a măsura curentul postarc, este de aproximativ 0,3 MHz.

7.3. Măsurarea curenților în circuitele mutatoarelor

În circuitele mutatoarelor cu comutație liberă și cu comutație forțată, variațiile de curent sunt deosebit de rapide și se situează de multe ori la limita pantei admise de ventil. În cazul ventilelor semiconductoare, această pantă variază între 50 și 800 A/ μ s. Ventilele speciale pot atinge pante de 4 000 A/ μ s. În aceste condiții, măsurarea curenților nu poate fi efectuată decât utilizând șunturi coaxiale, cu timp mic de răspuns. Astfel, este posibil să se evaluateze exact durata unei comutații și să se folosească ventilele semiconductoare la parametrii garanțiați.

Formele curenților ce apar în circuitele mutatoarelor pot fi extrem de variate, în funcție de structura schemei mutatorului.

În fig. 7.5, a este dată schema de conexiuni, de curenți tari a unui redresor trifazat în punte Graetz. Sursa de curent alternativ se aplică bornelor 1, 2, 3 ale transformatorului T . Tensiunea continuă se obține la bornele A și B ale sarcinii formată din inductivitatea L_s și rezistența R_s . Oscilograma curentului i în secundarul transformatorului este dată în fig. 7.5, b. Conținutul de armonice real al acestui curent este ușor diferit de conținutul undei de curent idealizate cu durată unghiulară $2\pi/3$.

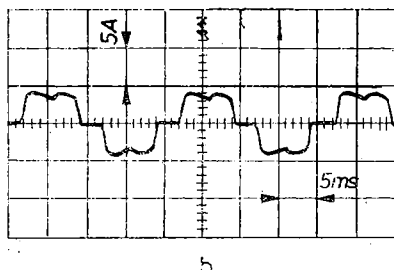
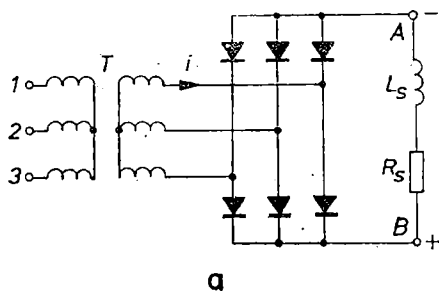


Fig. 7.5. Măsurarea curentului redresat : a – schema electrică ; b – oscilograma curentului.

În fig. 7.6 este dată [65] schema electrică a unui invertor monofazat cu comutare forțată. Tensiunea alternativă se obține la bornele C , D , ale sarcinii formată din rezistențe R_s și inductivitatea L_s . Oscilograma curentului i , care trece prin tiristorul T_1 se vede în fig. 7.6, b. Se constată că după o conducție de 5 ms, cu-

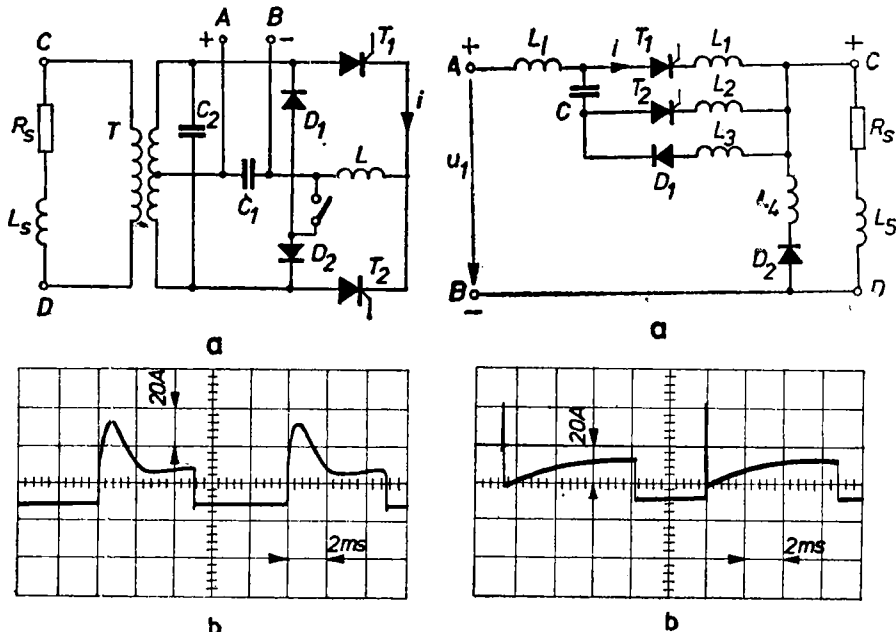


Fig. 7.6. Măsurarea curentului în ventilul unui invertor :
a – schema electrică; b – oscilograma curentului.

rentul care trece prin tiristor scade brusc la valoarea zero, în timpul necesar deionizării tiristorului. De asemenea, stabilirea conducerii se realizează rapid, în funcție de constanta de timp a circuitului.

În fig. 7.7, a se prezintă schema de curenți tari ai unui variator de tensiune continuă. Tensiunea continuă este aplicată la bornele A , B , iar tensiunea continuă variabilă se obține la bornele C , D ale sarcinii formate din rezistența R_s și inductivitatea L_s . Oscilograma curentului i în tiristorul T_1 , este dată în fig. 7.7, b. Se observă că virful initial de curent are o durată mai mică de 0,2 ms. Măsurarea acestui virf de curent, în condiții de suficientă aproximatie, este posibilă numai cu ajutorul unui șunt coaxial, cu o bandă de frecvență de minimum 100 kHz.

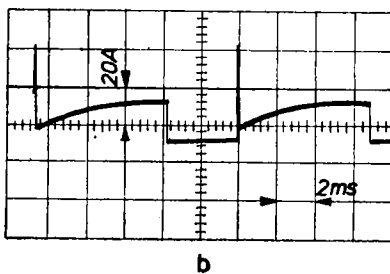


Fig. 7.7. Măsurarea curentului în ventilul unui variator de tensiune continuă :
a – schema electrică; b – oscilograma curentului.

8. Interferențe în circuitul de măsurare

Nivelul semnalelor utile, provenite de la șunturi sau divizoare de tensiune, este uneori comparabil cu nivelul perturbator intr-un laborator de încercări. Astfel, la măsurarea unui curent de 30 kA_{ef} , semnalul efectiv poate fi 10 V_{ef} , iar curentul în cablul de măsurare numai de 200 mA . La efectuarea unei încercări cu tensiune de impuls de $1,5\text{ MV}$, semnalul util este aproximativ 100 V . Este evident faptul că, măsurările se efectuează în vecinătatea și sub influența unor cîmpuri electromagnetice puternice. Aceste aspecte devin încă mai critice în operațiunea de etalonare a șunturilor și divizoarelor de tensiune, situații în care semnalele de excitație sunt reduse, iar nivelul semnalului de ieșire rezultă extrem de mic. Astfel, la excitarea unui șunt coaxial, cu o rezistență de $4 \cdot 10^{-5}\text{ }\Omega$, cu un curent de 100 kA , rezultă un semnal de ieșire de numai 4 mV . Un semnal util de această amplitudine poate fi interferat cu multă ușurință de cîmpuri electromagnetice de proveniență comună.

Sediul interferenței îl constituie cablul coaxial, ce transmite semnalul util de la convertor (șunt sau divizor de tensiune) la oscilograful catodic, și oscilograful catodic cu conexiunile lui de alimentare și cu conductorul de protecție care leagă carcasa metalică a oscilografului la pămînt.

8.1. Detectarea unei interferențe

Pentru a detecta apariția unei interferențe la efectuarea unei încercări (ne referim la fig. 4.1, de exemplu) se efectuează două verificări și anume :

a) cablului coaxial 4 i se desface legătura conductorului central la divizor, dar se conservă legătura ecranului la pămînt. În acest mod cablul coaxial rămîne în gol la extremitatea spre divizorul de tensiune ;

b) conductorul central al cablului coaxial spre divizorul de tensiune se conectează la ecran, care rămîne conectat la pămînt.

Se realizează astfel scurtecircuitarea extremității spre divizorul de tensiune.

În ambele situații, a și b, se procedează la declanșarea fenomenei cercetat și în ambele situații pe ecranul oscilografului nu apare semnal de interferență, ci numai linia bazei de timp, dacă acest semnal nu există. Dacă dimpotrivă, există semnal de interferență, acesta va apărea pe ecran sub forma unor oscilații, mai mult sau mai puțin neregulate, în jurul liniei de zero.

8.2. Efectul trecerii unui curent de interferență prin ecranul cablului coaxial

În fig. 8.1 este schițat un cablu coaxial de lungime l , prin căruia se injectează curentul sinusoidal $I(\omega)$. Cablul fiind scurtecircuitat la o extremitate, se constată că la cealaltă extremitate, între conductorul central conectat la borna a și ecran, conectat la borna b, se măsoară tensiunea $U(\omega)$. Se poate defini [42, 62, 64] astfel o impedanță de cuplaj $Z(\omega)$ a cablului coaxial cu relația

$$Z(\omega) = \frac{U(\omega)}{I(\omega) \cdot l} \quad (8.1)$$

Impedanța de cuplaj a cablului coaxial ia valori din ce în ce mai mici pe măsură ce frecvența curentului injectat crește, ceea ce se explică prin accentuarea efectului peculiar odată cu creșterea frecvenței. Măsurarea trebuie efectuată la o lungime l a cablului sensibil mai mică decât un sfert din lungimea de undă proprie, adică pentru $l \ll \lambda/4$. Se constată astfel că, trecerea unui curent de interferență prin ecranul cablului conduce la apariția unei tensiuni de interferență în circuitul de măsurare.

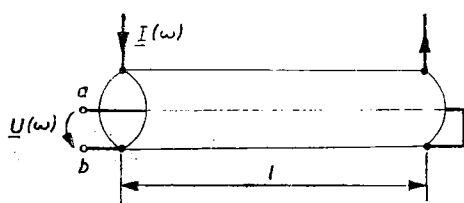


Fig. 8.1. Relativ la impedanța de cuplaj a unui cablu coaxial.

Trecerea unui curent de interferență prin ecranul cablului de măsurare sau prin carcasa oscilografului catodic poate avea multe cauze. Acestea se pot urmări în fig. 8.2, care reprezintă schema

În mod similar se poate defini o impedanță de cuplaj a oscilografului catodic, adică trecerea unui curent de interferență prin carcasa metallică a oscilografului poate conduce la apariția unui semnal perturbator în circuitul de măsurare.

Trecerea unui curent de interferență prin ecranul ca-

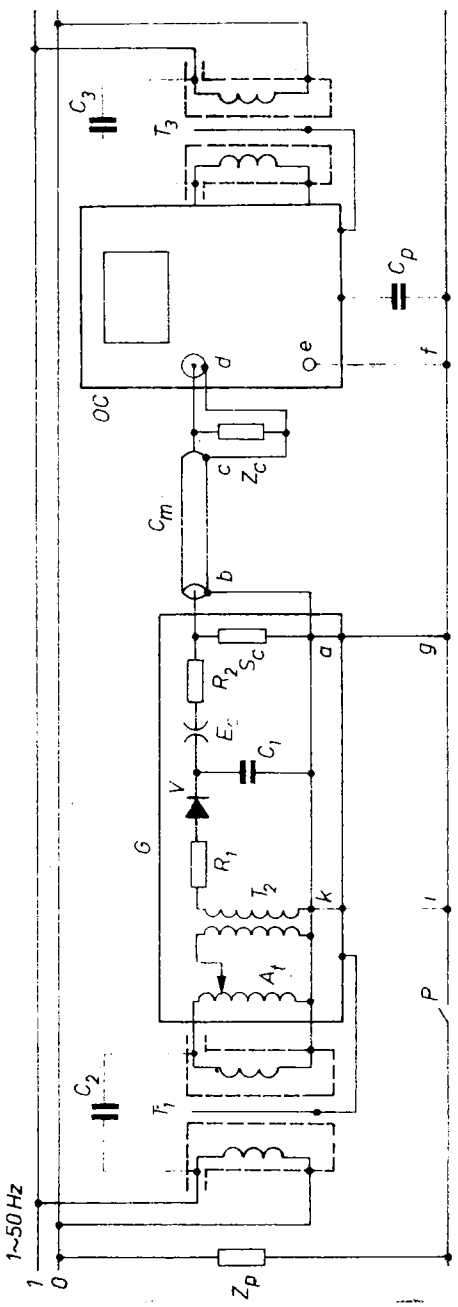


Fig. 8.2. Schema electrică tip pentru cercetarea interferenței.

electrică de principiu folosită la determinarea timpului de răspuns al unui șunt coaxial. În carcasa metalică G sunt adăpostite auto-transformatorul At , transformatorul T_2 , dioda V , rezistențele limitatoare R_1 și R_2 , condensatorul C_1 , care se descarcă pe șuntul coaxial S_c prin intermediul eclatorului E_c . Acest complex este alimentat de la rețeaua de curent alternativ prin intermediul transformatorului de izolare T_1 . Oscilograful catodic OC este și el alimentat prin transformatorul de izolare T_3 . Semnalul util captat de pe șuntul S_c este transmis oscilografului cu ajutorul cablului coaxial cu impedanță caracteristică Z_c . Cauzele menționate pot fi următoarele :

a) tensiune electromotoare indușă în bucla a, b, c, d, e, f, g realizată prin legarea la conductorul de protecție P , atât a carcasei G cit și a oscilografului OC ;

b) trecerea unui curent de scurgere, provenit de la alți consumatori, sau chiar trecerea curentului cauzat de o capacitate parazită C_p a osciloscopului, cind acesta este neconectat la conductorul de protecție, produce o cădere de tensiune între punctele f și g , care determină o circulație de curent prin ecranul cablului coaxial ;

c) traversarea transformatoarelor de alimentare T_1 și T_3 de către curenți capacitivi, ca urmare a capacității existente între primarul și secundarul celor două transformatoare ;

b) legarea la pămînt nepotrivită ; dacă în loc ca legarea la pămînt a sursei de curent să se efectueze în punctul a , s-ar face în punctul k , cu conductorul $k-i$, între punctele a și k ar apărea, la trecerea curentului de descărcare a condensatorului C_1 , o cădere de tensiune care determină trecerea unui curent prin ecranul cablului coaxial și prin carcasa oscilografului catodic.

În afara de cauzele menționate mai este necesar a se lua în considerare insuficiența ecranare a osciloscopului, astfel încît cîmpul electromagnetic produs de descărcarea condensatorului C_1 să trundă direct în sistemul de deflecție verticală a osciloscopului catodic. De asemenea, prezența excentricităților pronunțate în construcția cablului coaxial, ca și o incorectă tratare a mufelor terminale ale cablului, pot constitui cauze suplimentare de interferență.

8.3. Metode pentru eliminarea interferenței

Pentru fiecare montaj în parte este necesar a se studia schema electrică după modelul indicat în fig. 8.2. Metodele de eliminare a interferenței sint următoarele :

a) anularea legăturii la pămînt $e-f$, chiar dacă oscilograful are conductor de protecție inclus în fișă de conexiune, de tipul Schuko ;

această măsură întrerupe curentul de conduction prin ecran și oscilograf;

b) folosirea unui conductor cu două sau trei ecrane suprapuse. Ultimul ecran poate fi constituit din tub metalic flexibil. Astfel, curentul de interferență se va scurge prin ecranul exterior, iar semnalul util rămîne neinfluențat. În fig. 8.3, a se prezintă răspunsul tranzistorului al unui său coaxial de 2,02 m Ω , încercat cu schema din fig. 6.2, în care cablul coaxial este simplu ecranat.

În fig. 8.3, b se prezintă același răspuns obținut cu un cablu coaxial dublu ecranat.

c. Utilizarea transformatoarelor ecranate. Ecranarea se efectuează după cum se arată în fig. 8.2 la transformatoarele T_1 și T_3 după o tehnologie complexă. Se ecranează fiecare infășurare în parte, iar una din cele două extremități se conectează la ecran. Prin această conexiune se reduce considerabil capacitatea parazită între infășurare și ecran. Miezul magnetic este izolat față de ecranele infășurărilor. Procedind în acest mod, capacitatea normală de circa 2000–5000 pF, care există la un transformator neecranat, se reduce la o fractiune de pF [15].

d. Conectarea corectă a sursei de curent intens, adică în punctul de legătură cu cablul coaxial;

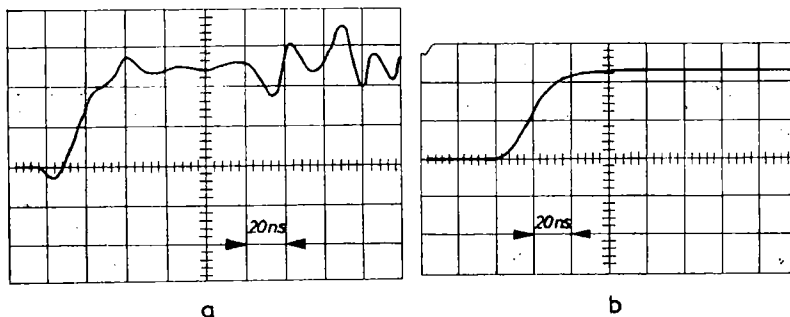


Fig. 8.3. Oscilograma tip pentru eliminarea interferenței:
a — cu cablul coaxial simplu ecranat; b — cu cablul coaxial dublu ecranat.

e) extragerea oscilografului catodic de sub acțiunea directă a cîmpului electromagnetic, prin așezarea lui la o distanță mai mare de sursa de unde electromagneticice;

f) ecranarea oscilografului parțial, adică pe cinci fețe ale unui paralelipiped, sau total într-o cabină special amenajată.

Anexa 1

Deducerea relației (2.17). Se caută funcția de transfer a sistemului de corecție care are răspunsul, la excitația treaptă, de forma rampei, adică de forma

$$x_{ce}(t) = \begin{cases} \frac{t}{\tau} & \text{pentru } 0 \leq t \leq \tau; \\ 1 & \text{pentru } t > \tau. \end{cases}$$

Transformata Laplace a acestei funcții este

$$\mathcal{X}_{ce}(p) = \frac{1}{\tau} \int_0^\tau e^{-pt} t dt + \int_\tau^\infty e^{-pt} dt. \quad (\text{A.1.1})$$

Cum $\int x e^{ax} dx = e^{ax} \left(\frac{x}{a} - \frac{1}{a^2} \right)$, cu $a = -p$; $x = t$, rezultă :

$$\mathcal{X}_{ce}(p) = \frac{1}{\tau} \left[e^{-pt} \left(-\frac{t}{p} - \frac{1}{p^2} \right) \right]_0^\tau - \left[\frac{1}{p} e^{-pt} \right]_\tau^\infty = \frac{1 - e^{-p\tau}}{\tau p^2}. \quad (\text{A.1.2})$$

Transformata Laplace a semnalului de intrare treaptă unitară fiind $1/p$, rezultă funcția de transfer de corecție

$$\mathcal{H}_c(p) = \frac{1 - e^{-p\tau}}{\tau p}. \quad (2.17)$$

Timpul de răspuns corespunzător funcției de transfer (2.17) se calculează cu relația (2.9) și se obține $T_{rc} = \tau/2$.

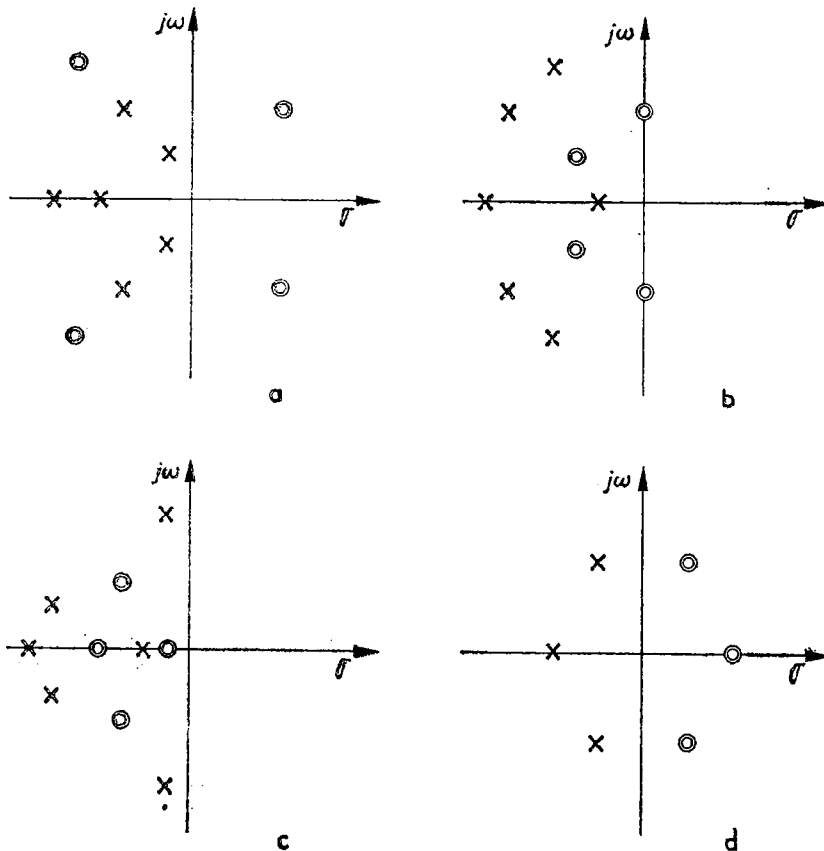
Anexa 2

Clasificarea funcțiilor de transfer după poziția zerourilor și a polilor în planul complex [68]. O funcție $\mathcal{H}(p)$, scrisă ca în relația (2.31), ca să descrie comportarea dinamică a sistemului este necesar să îndeplinească următoarele condiții :

1) $\mathcal{H}(p)$ să fie o funcție reală și ratională de p , adică să poată fi scrisă, ca în relația 2.31, sub forma raportului a două polinoame cu coeficienți reali.

2) $\mathcal{H}(p)$ să fie un polinom Hurwitz, adică să nu conțină poli în semiplanul drept nici la infinit; $q \leq k$ în (2.31).

Pentru ca sistemele (rețelele) să fie realizabile există, fiind îndeplinite condițiile 1) și 2) următoarele variante, reprezentate în fig. A.2.1.



A.2.1. Referitor la clasificarea sistemelor lineare după polii și zerourile funcției de transfer.

- a) sistem general; cu zerouri și în semiplanul drept;
- b) sistem cu fază minimă: nu are zerouri în semiplanul drept;
- c) sistem cu fază minimă compensabil sau reversibil: nu are zerouri în partea dreaptă a semiplanului și nici pe axa $j\omega$;
- d) sistem trece tot: zerourile sunt simetrice, în raport cu axa $j\omega$, față de poli.

Anexa 3

Deducerea relației (2.58). Din lucrările de analiză și sinteza rețelelor [72], răspunsul la excitația treaptă a unei rețele se obține cu relația

$$f(t) = \int_{-\infty}^t g(t) dt, \quad (\text{A.3.1})$$

unde $g(t)$ este funcția pondere normată, care rezultă a fi transformata Fourier inversă a caracteristicii de frecvență $\underline{G}(j\omega)$, adică

$$g(t) = \frac{1}{2\pi} \int_{-\infty}^{+\infty} \underline{G}(j\omega) e^{j\omega t} d\omega, \quad (\text{A.3.2})$$

relație în care $\underline{G}(j\omega)$ are expresia din relația (2.33). Se obține astfel

$$g(t) = \frac{1}{2\pi} \int_{-\infty}^{+\infty} G(\omega) e^{j[\omega t + \varphi(\omega)]} d\omega. \quad (\text{A.3.3})$$

Prin utilizarea teoremei lui Euler se obține

$$g(t) = \frac{1}{2\pi} \int_{-\infty}^{+\infty} G(\omega) \cos [\omega t + \varphi(\omega)] d\omega + \frac{j}{2\pi} \int_{-\infty}^{+\infty} G(\omega) \sin [\omega t + \varphi(\omega)] d\omega. \quad (\text{A.3.4})$$

Pe de altă parte, funcția de transfer se consideră a fi raportul a două polinoame; în acord cu relația (2.40)

$$\underline{G}(j\omega) = \left| \frac{\sum_{q=0}^m \underline{B}_q(j\omega)^q}{\sum_{k=0}^n \underline{A}_k(j\omega)^k} \right|_{k=1} = \frac{R_1(\omega) + jX_1(\omega)}{R_2(\omega) + jX_2(\omega)}. \quad (\text{A.3.5})$$

Părțile reale $R_1(\omega)$ și $R_2(\omega)$ rezultă din valorile pare ale lui q și k , iar cele imaginare $jX_1(\omega)$ și $jX_2(\omega)$ rezultă din valorile impare ale lui q și k .

Modulul funcției de transfer din (A.3.5) este

$$G(\omega) = \sqrt{\frac{R_1^2(\omega) + X_1^2(\omega)}{R_2^2(\omega) + X_2^2(\omega)}}. \quad (\text{A.3.6})$$

Se observă că acest modul este o funcție pară de ω , adică conține pe ω la puteri pare. Funcțiile $R_1(\omega)$ și $R_2(\omega)$ sunt pare, iar funcțiile $X_1(\omega)$ și $X_2(\omega)$ sunt impare, adică :

$$R_1(\omega) = R_1(-\omega);$$

$$R_2(\omega) = R_2(-\omega); \quad (\text{A.3.7})$$

$$X_1(-\omega) = -X_1(\omega);$$

$$X_2(-\omega) = -X_2(\omega).$$

Argumentul funcției de transfer este

$$\varphi(\omega) = \arctg \frac{X_1(\omega) R_2(\omega) - R_1(\omega) X_2(\omega)}{R_1(\omega) R_2(\omega) + X_1(\omega) X_2(\omega)} \quad (\text{A.3.8})$$

și rezultă a fi o funcție impară, adică

$$-\varphi(\omega) = \varphi(-\omega). \quad (\text{A.3.9})$$

În relația (A.3.4)

$$\frac{j}{2\pi} \int_{-\infty}^{+\infty} G(\omega) \sin [\omega t + \varphi(\omega)] d\omega = 0,$$

deoarece integrantul este o funcție impară de ω , în timp ce

$$\frac{1}{2\pi} \int_{-\infty}^{+\infty} G(\omega) \cos [\omega t + \varphi(\omega)] d\omega = \frac{1}{\pi} \int_0^{\infty} G(\omega) \cos [\omega t + \varphi(\omega)] d\omega,$$

deoarece integrantul este o funcție pară de ω . Rezultă din (A.3.4)

$$g(t) = \frac{1}{\pi} \int_0^{\infty} G(\omega) \cos [\omega t + \varphi(\omega)] d\omega. \quad (\text{A.3.10})$$

Pentru sisteme care sunt în repaus, pentru $t < 0$, rezultă că atât răspunsul indicial, cât și funcția pondere sunt nule, adică $f(-t) = 0$ și $g(-t) = 0$. Dacă în expresia (A.3.4) se introduce $-t$, în loc de t , se obține

$$0 = \frac{1}{\pi} \int_0^{\infty} G(\omega) \cos [\varphi(\omega) - \omega t] d\omega. \quad (\text{A.3.11})$$

Prin adunarea relațiilor (A.3.10) cu (A.3.11) rezultă

$$g(t) = \frac{2}{\pi} \int_0^\infty G(\omega) \cos \omega t \cos \varphi(\omega) d\omega. \quad (\text{A.3.12})$$

Pentru un dispozitiv de măsurare cu defazaj minimal și compensat, $\cos \varphi(\omega) = 1$, funcția pondere se calculează numai din modulul funcției de transfer

$$g(t) = \frac{2}{\pi} \int_0^\infty G(\omega) \cos \omega t d\omega, \quad (\text{A.3.13})$$

unde :

$$\omega = 2\pi f; d\omega = 2\pi df; G(f) = e^{-k^2 f^2},$$

expresia funcției indiciale rezultă

$$f(t) = \int_0^t g(t) dt = \frac{1}{2} \int_0^t dt \int_0^\infty e^{-k^2 f^2} \cos(2\pi ft) df. \quad (2.58)$$

Anexa 4

Deducerea relației (3.17). Determinarea constantei A din relația (3.16) se face prin punerea condițiilor la frontieră pentru cîmpul magnetic, I fiind amplitudinea excitării treaptă de curent

$$H_a = \frac{I}{2\pi a} \quad \text{la } r = a, \quad (\text{A.4.1.})$$

iar imaginea cîmpului este

$$\mathcal{H}_a = \frac{I}{2\pi ap}. \quad (\text{A.4.2})$$

Din relația (3.16) se obține pentru $r = a$

$$A = \frac{I}{2\pi ap} \cdot \frac{j\gamma}{J_1(j\gamma a)}, \quad (\text{A.4.3})$$

deci

$$\mathcal{H} = \frac{I}{2\pi a} \cdot \frac{1}{p} \cdot \frac{J_1(j\gamma r)}{J_1(j\gamma a)} = \frac{I}{2\pi a} \cdot F(p). \quad (\text{A.4.4})$$

Se aplică dezvoltarea Heaviside funcției

$$F(p) := \frac{P_1(p)}{p P_2(p)} = \frac{1}{p} \cdot \frac{J_1(j\gamma r)}{J_1(j\gamma a)}, \quad (\text{A.4.5})$$

cu relația cunoscută

$$f(t) = \frac{P_1(0)}{P_2(0)} + \sum_{k=1}^{\infty} \frac{P_1(p_k)}{p_k P_2(p_k)} e^{p_k t}. \quad (\text{A.4.6})$$

Ridicarea nedeterminării $\frac{P_1(0)}{P_2(0)} = \frac{J_1(0)}{J_1(0)} = \frac{0}{0}$ se face utilizând expresiile funcțiilor Bessel pentru argument foarte mic, adică $J_1(x) = \frac{x}{2}$ pentru $x \ll 1$.

Deci

$$\frac{P_1(0)}{P_2(0)} = \frac{r}{a}. \quad (\text{A.4.7})$$

Anularea numitorului $P_2(p) = J_1(j\gamma a)$ se consideră pentru rădăcinile $\beta_k = j\gamma_k a$;

$$J_1(\beta_k) = 0, \quad (\text{A.4.8})$$

care conduce cu ajutorul relației (3.10) la

$$p_k := -\frac{\beta_k^2}{\tau \mu a^2}. \quad (\text{A.4.9})$$

Se pot calcula astfel expresiile:

$$\begin{aligned} p_k P'_k(p_k) &= p_k \left[\frac{d}{dp} J_1(j\gamma a) \right] = \frac{1}{2} \beta_k J'_1(\beta_k) = \frac{1}{2} \beta_k \left[-\frac{1}{\beta_k} J_1(\beta_k) + \right. \\ &\quad \left. + J_0(\beta_k) \right] = -\frac{1}{2} \beta_k J_0(\beta_k) \end{aligned} \quad (\text{A.4.10})$$

și

$$P_1(p_k) = J_1(j\gamma_k r) = J_1\left(\beta_k \frac{r}{a}\right). \quad (\text{A.4.11})$$

Rezultă, înlocuind relațiile (A.4.7), (A.4.10) și (A.4.11) în relația (A.4.6)

$$f(t) = \frac{r}{a} + 2 \sum_{k=1}^{\infty} \frac{J_1\left(\beta_k \frac{r}{a}\right)}{\beta_k J_0(\beta_k)} e^{-\frac{\beta_k^2}{\sigma^2 a^2} t}. \quad (\text{A.4.12})$$

Din relațiile (A.4.12) și (A.4.4) se obține relația (3.17).

Anexa 5

Deducerea relației (3.18). Din relațiile (3.12) și (3.17) se obține

$$\begin{aligned} J &= \frac{1}{r} H + \frac{\partial H}{\partial r} = \frac{1}{2\pi ar} \left[\frac{r}{a} + 2 \sum_{k=1}^{\infty} \frac{J_1\left(\beta_k \frac{r}{a}\right)}{\beta_k J_0(\beta_k)} e^{-\frac{t}{T_k}} \right] + \\ &+ \frac{I}{2\pi a} \left[\frac{1}{a} + 2 \sum_{k=1}^{\infty} \frac{\frac{\beta_k}{a} J'_1\left(\beta_k \frac{r}{a}\right)}{\beta_k J_0(\beta_k)} e^{-\frac{t}{T_k}} \right] = \frac{I}{2\pi ar} \left[\frac{2r}{a} + \right. \\ &\left. + 2 \sum_{k=1}^{\infty} \frac{J_1\left(\beta_k \frac{r}{a}\right) + \beta_k \frac{r}{a} J'_1\left(\beta_k \frac{r}{a}\right)}{\beta_k J_0(\beta_k)} e^{-\frac{t}{T_k}} \right]. \end{aligned} \quad (\text{A.5.1})$$

Înlocuind în relația (A.5.1) pe

$$J'_1\left(\beta_k \frac{r}{a}\right) = -\frac{a}{\beta_k r} J_1\left(\beta_k \frac{r}{a}\right) + J_0\left(\beta_k \frac{r}{a}\right),$$

se obține

$$\begin{aligned} J &= \frac{I}{2\pi ar} \left[\frac{2r}{a} + 2 \sum_{k=1}^{\infty} \frac{\frac{r}{a} J_0\left(\beta_k \frac{r}{a}\right)}{J_0(\beta_k)} e^{-\frac{t}{T_k}} \right] = \\ &= \frac{I}{\pi a^2} \left[1 + \sum_{k=1}^{\infty} \frac{J_0\left(\beta_k \frac{r}{a}\right)}{J_0(\beta_k)} e^{-\frac{t}{T_k}} \right], \end{aligned}$$

care este chiar relația (3.18).

Anexa 6

Deducerea relațiilor (3.23) și (3.24). Se consideră legătura între intensitatea cîmpului magnetic și cea a cîmpului electric, în peretele tubului la distanța r de axa tubului

$$H = \frac{i}{2\pi r}, \quad (\text{A.6.1})$$

unde i reprezintă curentul care trece prin secțiunea unui tub de rază interioară r_i și de o rază exterioară oarecare $r < r_e$. Înlocuind în (3.5) se obține

$$\frac{\partial^2 i}{\partial r^2} - \frac{1}{r} \cdot \frac{\partial i}{\partial r} = \sigma \mu \frac{\partial i}{\partial t}. \quad (\text{A.6.2})$$

Făcind schimbările de variabilă

$$r = r_i + \delta x \text{ și } t = \sigma \mu \delta^2 \tau$$

unde δ este grosimea tubului, iar $0 < x < 1$, rezultă

$$\frac{\partial^2 i}{\partial x^2} - \frac{1}{r_i/\delta + x} \cdot \frac{\partial i}{\partial x} = \frac{i}{\partial \tau}.$$

Dacă tubul este suficient de subțire, se negligează termenul $\frac{1}{r_i/\delta + x} \cdot \frac{\partial i}{\partial x}$ și ecuația devine

$$\frac{\partial^2 i}{\partial x^2} = \frac{\partial i}{\partial \tau}.$$

Făcind o nouă înlocuire

$$y = \pi x$$

se obține

$$\frac{\partial^2 i}{\partial y^2} = \frac{1}{\pi^2} \frac{\partial i}{\partial \tau}. \quad (\text{A.6.3})$$

Aplicînd transformarea Laplace $\mathfrak{L}(i) = \mathfrak{J}$ se obține ecuația

$$\frac{d^2 \mathfrak{J}}{dy^2} = \frac{p}{\pi^2} \mathfrak{J}$$

cu soluția

$$j = A e^{-\frac{\sqrt{p}}{\pi} y} + B e^{\frac{\sqrt{p}}{\pi} y}. \quad (\text{A.6.4})$$

Condițiile de graniță sunt :

$$r = r_i; \quad x = 0; \quad y = 0; \quad i = 0,$$

$$r = r_e; \quad x = 1; \quad y = \pi; \quad i = I. \quad (\text{A.6.5})$$

Deci din relațiile (A.6.4) și (A.6.5) se deduce

$$A = -B = \frac{I}{p(e^{-\sqrt{p}} - e^{\sqrt{p}})}$$

sau

$$j = \frac{I}{p} \cdot \frac{\operatorname{sh} \left(\frac{\sqrt{p}}{\pi} y \right)}{\operatorname{sh} \sqrt{p}} = F(p) = \frac{P_1(p)}{p P_2(p)}.$$

Aplicând dezvoltarea Heaviside

$$i(t) = \frac{P_1(0)}{P_2(0)} + \sum_{k=1}^n \frac{P_1(p_k)}{p_k P'_2(p_k)} e^{p_k t} \quad (\text{A.6.6})$$

se ridică nedeterminarea $\frac{P_1(0)}{P_2(0)} = \frac{0}{0}$, cu ajutorul regulei lui l'Hôspital

$$\lim_{p \rightarrow 0} \frac{P_1(p)}{P_2(p)} = \lim_{p \rightarrow 0} \frac{I \frac{y}{\sqrt{p}} \operatorname{ch} \frac{\sqrt{p}}{\pi} y}{\frac{1}{2\sqrt{p}} \operatorname{ch} \sqrt{p}} = I \frac{y}{\pi}. \quad (\text{A.6.7})$$

$P_2(p)$ se anulează pentru :

$$\operatorname{sh} \sqrt{p} = \frac{1}{j} \sin j \sqrt{p} = 0; \quad (\text{A.6.8})$$

$$j \sqrt{p_k} = k\pi \text{ sau } p_k = -k^2\pi^2.$$

Rezultă

$$P_1(p_k) = \frac{I}{j} \sin j \cdot \frac{\sqrt{p_k}}{\pi} y = \frac{1}{j} \sin ky; \quad (\text{A.6.9})$$

$$p_k P'_2(p_k) = p_k \frac{1}{2\sqrt{p_k}} \operatorname{ch} \sqrt{p_k} = \frac{k\pi}{2j} \cos k\pi = \frac{k\pi}{2j} (-1)^k. \quad (\text{A.6.10})$$

Deci din relațiile (A.6.6) și (A.6.7) rezultă :

$$i(y, \tau) = I \frac{y}{\pi} + I \sum_{k=1}^{\infty} \frac{2 \sin ky}{(-1)^k k\pi} e^{-k^2\pi^2\tau}$$

sau

$$i(x, \tau) = Ix + I \sum_{k=1}^{\infty} \frac{2 \sin k\pi x}{(-1)^k k\pi} e^{-k^2\pi^2\tau}. \quad (\text{A.6.11})$$

Calculind densitatea de curent $J = \frac{di}{dA}$, unde $dA = 2\pi(r_i + \delta x)\delta dx = 2\pi r \delta dx$, se obține din relația (A.6.11)

$$J(x, \tau) = \frac{I}{2\pi r \delta} \left[1 + \sum_{k=1}^{\infty} (-1)^k (2 \cos k\pi x) e^{-k^2\pi^2\tau} \right]. \quad (\text{A.6.12})$$

Pentru

$$x = 1; \quad r_i + \delta = r_e; \quad J = J_e,$$

$$J_e(\tau) = \frac{I}{2\pi r_e \delta} \left[1 + 2 \sum_{k=1}^{\infty} e^{-k^2\pi^2\tau} \right]. \quad (\text{A.6.13})$$

Pentru

$$x = 0; \quad J = J_i,$$

$$J_i(\tau) = \frac{I}{2\pi r_i \delta} \left[1 + 2 \sum_{k=1}^{\infty} (-1)^k e^{-k^2\pi^2\tau} \right]; \quad (\text{A.6.14})$$

Înlocuind pe $\tau = \frac{t}{\tau_0} - \frac{\delta^2}{\tau_0^2}$ în ecuațiile (A.6.11) și (A.6.12) se obțin ecuațiile (3.23) și (3.24).

Anexa 7

Deducerea relației (3.30). În relația (3.15) constantele A și B se determină prin punerea condițiilor la frontieră pentru cîmpul magnetic :

$$\text{pentru } r = r_i; \quad H_i = 0; \quad \mathcal{H}_i = 0, \quad (\text{A.7.1})$$

$$\text{pentru } r = r_e; \quad H_e = \frac{I}{2 \pi r_e}; \quad \mathcal{H}_e = \frac{1}{p} \cdot \frac{I}{2 \pi r_e}.$$

Cu condițiile (A. 7.1), relația (3.15) devine

$$0 = \frac{\sigma}{j\gamma} \left[A J_1(j \gamma r_i) + B N_1(j \gamma r_i) \right] \quad (\text{A.7.2})$$

$$\frac{1}{p} \cdot \frac{I}{2 \pi r_e} = \frac{\sigma}{j\gamma} [A J_1(j \gamma r_e) + B N_1(j \gamma r_e)]. \quad (\text{A.7.3})$$

Din (A.7.1) și (A.7.2) se obține :

$$A = - \frac{1}{p} \cdot \frac{I}{2 \pi r_e} \cdot \frac{j\gamma}{\sigma} \cdot \frac{N_1(j \gamma r_i)}{J_1(j \gamma r_i) N_1(j \gamma r_e) - J_1(j \gamma r_e) N_1(j \gamma r_i)}; \quad (\text{A.7.4})$$

$$B = \frac{1}{p} \cdot \frac{I}{2 \pi r_e} \cdot \frac{j\gamma}{\sigma} \cdot \frac{J_1(j \gamma r_i)}{J_1(j \gamma r_i) N_1(j \gamma r_e) - J_1(j \gamma r_e) N_1(j \gamma r_i)}. \quad (\text{A.7.5})$$

Înlocuind (A.7.4) și (A.7.5) în relația (3.15) se obține imaginea cîmpului magnetic

$$\mathcal{H} = \frac{I}{2 \pi r_e} \cdot \frac{1}{p} \left[\frac{J_1(j \gamma r_i) N_1(j \gamma r) - N_1(j \gamma r_i) J_1(j \gamma r)}{J_1(j \gamma r_i) N_1(j \gamma r_e) - J_1(j \gamma r_e) N_1(j \gamma r_i)} \right] = \frac{I}{2 \pi r_e} F(p), \quad (\text{A.7.6})$$

în care

$$F(p) = \frac{P_1(p)}{p P_2(p)} = \frac{1}{p} \cdot \frac{J_1(j \gamma r_i) N_1(j \gamma r) - N_1(j \gamma r_i) J_1(j \gamma r)}{J_1(j \gamma r_i) N_1(j \gamma r_e) - J_1(j \gamma r_e) N_1(j \gamma r_i)}. \quad (\text{A.7.7})$$

Aplicînd dezvoltarea Heaviside funcției $F(p)$, se obține funcția originală

$$f(t) = \frac{P_1(0)}{P_2(0)} + \sum_{k=1}^{\infty} \frac{P_1(p_k)}{p_k P'_2(p_k)} e^{p_k t}. \quad (\text{A.7.8})$$

Ridicarea nedeterminării

$$\frac{P_1(0)}{P_2(0)} = \frac{J_1(0) N_1(0) - N_1(0) J_1(0)}{J_1(0) N_1(0) - J_1(0) N_1(0)}$$

se face utilizînd expresia funcțiilor Bessel pentru argument mic, adică

$$J_1(x) = \frac{x}{2} \text{ și } N_1(x) = -\frac{1}{\pi} \cdot \frac{2}{x}; \quad |x| \ll 1$$

și se obține

$$\frac{P_1(0)}{P_2(0)} = \frac{(r^2 - r_i^2) r_e}{(r_e^2 - r_i^2) r}. \quad (\text{A.7.9})$$

Anularea numitorului

$$\begin{aligned} P_2(p) &= J_1(j\gamma r_i) N_1(j\gamma r_e) - J_1(j\gamma r_e) N_1(j\gamma r_i) = \\ &= J_1(x) N_1(mx) - J_1(mx) N_1(x) = 0, \end{aligned}$$

în care $x = j\gamma r_i$ și $m = \frac{r_e}{r_i}$,

se face pentru valori x_k tabelate [40].

În consecință, din relația (3.10) se obține

$$p_k = -\frac{x_k^2}{\sigma \mu r_i^2} \quad (\text{A.7.10})$$

cu

$$x_k = j\gamma_k r_i.$$

Se poate calcula astfel expresia

$$P_1(p_k) = J_1(x_k) N_1\left(x_k \frac{r}{r_i}\right) - N_1(x_k) J_1\left(x_k \frac{r}{r_i}\right); \quad (\text{A.7.11})$$

în care

$$\text{și } P'_2(p_k) = p_k \frac{d}{dp} [J_1(j\gamma r_i) N_1(j\gamma r_e) - J_1(j\gamma r_e) N_1(j\gamma r_i)] =$$

$$= -\frac{x_k}{2} \{ J_1(mx_k) N_0(x_k) - N_1(mx_k) J_0(x_k) + \\ + m[N_1(x_k) J_0(mx_k) - J_1(x_k) N_0(mx_k)]\} = -\frac{1}{2} x_k a_k,$$

(A.7.12)

$$\text{cu } \gamma' = \frac{\sigma\mu}{2\gamma}; J'_1(x) = -\frac{1}{x} J_1(x) + J_0(x); N'_1(x) = -\frac{1}{x} N_1(x) + N_0(x).$$

$$P'_2(p_k) = -j \frac{\sigma\mu}{2\gamma} r_i a_k.$$

Din relațiile (A.7.8) și (A.7.12) se obține

$$f(t) = \frac{(r^2 - r_i^2) r_e}{(r_e^2 - r_i^2) r} - \\ - 2 \sum_{k=1}^{\infty} \frac{J_1(x_k) N_1\left(x_k \frac{r}{r_i}\right) - N_1(x_k) J_1\left(x_k \frac{r}{r_i}\right)}{x_k a_k} e^{-\frac{t}{T_k}} \quad (\text{A.7.13})$$

Cum $H = \frac{I}{2\pi r_e} f(t)$, cu ajutorul relației (A.7.13) se obține relația (3.30).

Anexa 8

Deducerea relației (3.33). Din relațiile (3.30) și (3.31) se obține

$$J(r, t) = \frac{I}{2\pi r_e r} \left\{ \frac{(r^2 - r_i^2)}{(r_e^2 - r_i^2)} \cdot \frac{r_e}{r} - \right.$$

$$\begin{aligned}
& - 2 \sum_{k=1}^{\infty} \frac{J_1(x_k) N_1\left(x_k \frac{r}{r_i}\right) - N_1(x_k) J_1\left(x_k \frac{r}{r_i}\right)}{x_k a_k} e^{-\frac{t}{T_k}} \Bigg\} + \\
& + \frac{I}{2 \pi r_e} \left\{ \frac{r_e}{r_e^2 - r_i^2} \cdot \frac{r^2 + r_i^2}{r^2} \right. \\
& - 2 \sum_{k=1}^{\infty} \frac{x_k}{r_i} \left[\left(J_1(x_k) N'_1\left(x_k \frac{r}{r_i}\right) - N_1(x_k) J'_1\left(x_k \frac{r}{r_i}\right) \right] \right. e^{-\frac{t}{T_k}} \Bigg\}. \quad (\text{A.8.1})
\end{aligned}$$

Introducind în relația (A.8.1) expresiile :

$$\begin{aligned}
J'_1\left(x_k \frac{r}{r_i}\right) & = - \frac{r_i}{x_k r} J_1\left(x_k \frac{r}{r_i}\right) + J_0\left(x_k \frac{r}{r_i}\right); \\
N'_1\left(x_k \frac{r}{r_i}\right) & = - \frac{r_i}{x_k r} N_1\left(x_k \frac{r}{r_i}\right) + N_0\left(x_k \frac{r}{r_i}\right),
\end{aligned}$$

se obține

$$\begin{aligned}
J(r, t) & = \frac{I}{2 \pi r_e r} \left\{ \frac{2 r_e r}{r_e^2 - r_i^2} - \right. \\
& - 2 \sum_{k=1}^{\infty} \frac{x_k r}{r_i} \left[\frac{J_1(x_k) N_0\left(x_k \frac{r}{r_i}\right) - N_1(x_k) J_0\left(x_k \frac{r}{r_i}\right)}{x_k a_k} \right] e^{-\frac{t}{T_k}} \Bigg\} \quad (\text{A.8.2})
\end{aligned}$$

Din relația (A.8.2) se obține relația (3.33).

Apendică 9

Deducerea relației (3.91). Prin introducerea expresiei densității de curent din (3.88) în relația (3.90) se obține

$$\begin{aligned}
P_J & = \frac{I^2}{(2 \pi \delta)^2 \sigma} \int_0^1 \frac{1}{(r_i + \delta x)^2} \left[1 + \sum_{k=1}^{\infty} (-1)^k (2 \cos k \pi x) e^{-\frac{t}{T_k}} \right] \times \\
& \quad \times 2 \pi (r_i + \delta x) 1 \delta dx = \\
& = \frac{I^2 l}{2 \pi \sigma \delta r_i} \int_0^1 \frac{r_i}{r_i + \delta x} \left[1 + \sum_{k=1}^{\infty} (-1)^k (2 \cos k \pi x) e^{-\frac{t}{T_k}} \right]^2 dx. \quad (\text{A.9.1})
\end{aligned}$$

Pentru grosimi mici de tub, $\frac{r}{r_i + \delta x} \approx 1$, deci, integrala din expresia (A.9.1) devine:

$$\begin{aligned} A &= \int_0^1 \left[1 + \sum_{k=1}^{\infty} (-1)^k (2 \cos k \pi x) e^{-\frac{t}{T_k}} \right]^2 dx = \\ &= \int_0^1 dx + 4 \sum_{k=1}^{\infty} (-1)^k e^{-\frac{t}{T_k}} \int_0^1 \cos k \pi x dx + \\ &\quad + 4 \sum_{k=1}^{\infty} (-1)^{m+n} e^{-\left(\frac{1}{T_m} + \frac{1}{T_n}\right)t} \int_0^1 \cos m \pi x \cos n \pi x dx + \\ &\quad + 4 \sum_{k=1}^{\infty} (-1)^{2k} e^{-\frac{2t}{T_k}} \int_0^1 \cos^2 k \pi x dx. \end{aligned}$$

Rezultatele pentru fiecare integrală sunt:

$$\int_0^1 dx = 1; \quad \int_0^1 \cos k n x dx = \left| \frac{\sin k \pi x}{k \pi} \right|_0^1 = 0;$$

$$\int_0^1 \cos m \pi x \cos n \pi x dx = \left| \frac{\sin(m+n)x}{2(m+n)} + \frac{\sin(m-n)x}{2(m-n)} \right|_0^1 = 0;$$

$$\int_0^1 \cos^2 k \pi x dx = \left| \frac{x}{2} + \frac{1}{4} \frac{1}{k \pi} \sin 2k \pi x \right|_0^1 = \frac{1}{2}.$$

Prin urmare, puterea corespunzătoare efectului Joule-Lenz este

$$P_J = \frac{I^2 l}{2 \pi \sigma \delta r_i} A = P_0 \left[1 + 2 \sum_{k=1}^{\infty} e^{-\frac{2t}{T_k}} \right]. \quad (3.91)$$

Anexa 10

Deducerea relației (3.108). Înlocuind în ecuațiile (3.106) și (3.107): $i = -i_m$ și $u = u_m - u_x$ și aplicând transformarea Laplace se obține

$$\frac{dU_m}{dx} = p L_0 I_m; \quad \frac{dI_m}{dx} = p C_0 (U_m - U_x). \quad (A.10.1)$$

Eliminind pe \mathcal{I}_m din prima dintre ecuații rezultă

$$\frac{d^2 \mathcal{U}_m}{dx^2} = pL_0 pC_0 (\mathcal{U}_m - \mathcal{U}_x) = \gamma^2 (\mathcal{U}_m - \mathcal{U}_x) \quad (\text{A.10.2})$$

cu

$$\gamma = p \sqrt{L_0 C_0}. \quad (\text{A.10.3})$$

Tinând seama că $i_m \ll i_t$, se poate calcula tensiunea în lungul tubului

$$u_x = R_0 x (i_t - i_m) \approx R_0 x i_t = u_0 x \quad (\text{A.10.4})$$

în care

$$u_0 = R_0 i_t.$$

Deci transformata Laplace a acestei tensiuni este $\mathcal{U}_x = \mathcal{U}_0 x$. Soluția ecuației (A.10.2) este de forma

$$\mathcal{U}_m = C_1 e^{\gamma x} + C_2 e^{-\gamma x} + \mathcal{U}_0 x. \quad (\text{A.10.5})$$

Din relațiile (A.10.1) și (A.10.5) rezultă curentul \mathcal{I}_m

$$\mathcal{I}_m = \frac{\gamma}{pL_0} (C_1 e^{\gamma x} - C_2 e^{-\gamma x}) + \frac{\mathcal{U}_0}{pL_0} = \frac{C_1}{Z_c} e^{\gamma x} - \frac{C_2}{Z_c} e^{-\gamma x} + \frac{\mathcal{U}_0}{pL_0} \quad (\text{A.10.6})$$

cu

$$Z_c = \frac{pL_0}{\gamma} = \sqrt{\frac{L_0}{C_0}}.$$

Constantele C_1 și C_2 se determină din soluțiile (A.10.5) și (A.10.6) pentru condiția la limită $x = 0$

$$\mathcal{U}_{m1} = C_1 + C_2; \quad \mathcal{I}_{m1} = \frac{C_1 - C_2}{Z_c} + \frac{\mathcal{U}_0}{pL_0} \quad (\text{A.10.7})$$

Deci :

$$C_1 = \frac{1}{2} \left[\mathcal{U}_{m1} + \mathcal{I}_{m1} Z_c = \frac{Z_c \mathcal{U}_0}{pL_0} \right];$$

$$C_2 = \frac{1}{2} \left[\mathcal{U}_{m1} - \mathcal{I}_{m1} Z_c + \frac{Z_c \mathcal{U}_0}{pL_0} \right].$$

care introduse în (A.10.5) și (A.10.6) conduc la

$$\mathfrak{U}_m = \mathfrak{U}_{m1} \operatorname{ch} \gamma x + \left[\mathfrak{J}_{m1} Z_c = \frac{Z_c}{pL_0} \mathfrak{U}_0 \right] \operatorname{sh} \gamma x + \mathfrak{U}_0 x; \quad (\text{A.10.8})$$

$$\mathfrak{J}_m = \frac{\mathfrak{U}_{m1}}{Z_c} \operatorname{sh} \gamma x + \left[\mathfrak{J}_{m1} - \frac{\mathfrak{U}_0}{pL_0} \right] \operatorname{ch} \gamma x + \frac{\mathfrak{U}_0}{pL_0}. \quad (\text{A.10.9})$$

Înînd seama că pentru $x = l$, $\mathfrak{U}_2 = \mathfrak{U}_{m2} - \mathfrak{U}_0 l$, cu $\mathfrak{U}_2 = 0$, linia fiind scurtecircuitată la acest capăt, rezultă din (A.10.9)

$$\mathfrak{U}_{m2} = \mathfrak{U}_0 l = \mathfrak{U}_{m1} \operatorname{ch} \gamma l + \left(\mathfrak{J}_{m1} Z_c - \frac{Z_c}{pL_0} \mathfrak{U}_0 \right) \operatorname{sh} \gamma l + \mathfrak{U}_0 l.$$

Sau transformata Laplace a tensiunii măsurate este

$$\mathfrak{U}_{m1} := \left(-\mathfrak{J}_1 Z_c + \frac{Z_c}{pL_0} \mathfrak{U}_0 \right) \operatorname{th} \gamma l.$$

Înînd seama că încercarea sunțului se face la excităția treaptă de curent $i_t = I$, rezultă $u_0 = R_0 I = U_0 = U/l$, în care $U = R_0 \cdot l \cdot I = RI$, iar transformata $\mathfrak{U}_0 = U/pl$

$$\mathfrak{U}_{m1} := \left(-\mathfrak{J}_{m1} Z_c + \frac{Z_c}{pL_0} \frac{U}{pl} \right) \operatorname{th} \gamma l. \quad (\text{A.10.10})$$

Pentru a se obține originalul expresiei (A.10.10) se consideră cîteva cazuri particolare ale impedanței Z din fig. 3.34.

Liniu deschisă $Z = \infty$, $\mathfrak{J}_{m1} = 0$

Rezultă din (A.10.10)

$$\begin{aligned} \mathfrak{U}_{m1} &= \frac{Z_0}{pl_0} \cdot \frac{U}{pl} \cdot \operatorname{th} \gamma l = \frac{C_0}{pL_0} \cdot \frac{U}{pl} \cdot \operatorname{th} pT_0 = \\ &= \frac{U}{p^2 T_0} \cdot \frac{e^{pT_0} - e^{-pT_0}}{e^{pT_0} + e^{-pT_0}} = \frac{2U}{2p^2 T_0} \cdot \frac{1 - e^{-2pT_0}}{1 + e^{-2pT_0}}, \end{aligned} \quad (\text{A.10.11})$$

în care s-a notat

$\gamma l = pl \sqrt{L_0 C_0}$, $p \sqrt{LC} = pT_0$, iar $T_0 = \sqrt{LC}$ are dimensiua unui timp.

Conform [11] originalul expresiei (A.10.11) este indicat în fig. A.10.1, a. Se observă că tensiunea măsurată $u_{m1}(t)$ oscilează cu perioada $T = 4 T_0$, corespunzător relației (3.108) în jurul valorii U_0 .

În consecință pentru orice valoare $Z \neq Z_c$ se obțin oscilații de tensiune, deci pentru ca linia să fie lipsită de oscilații, ea trebuie adaptată.

Linie adaptată. $Z = Z_c$, $U_{m1} = I_{m1} Z_c$, rezultă din (A.10.10) :

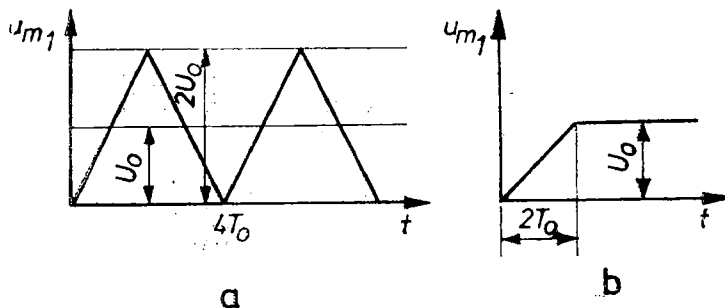
$$u_{m1} = -u_{m1} \operatorname{th} \gamma l + \frac{Z_c}{pL_0} \cdot \frac{U}{pl} \operatorname{th} \gamma l$$

sau

$$\begin{aligned} u_{m1} &= \frac{Z_c}{pL_0} \cdot \frac{U}{pl} \frac{\operatorname{th} \gamma l}{1 + \operatorname{th} \gamma l} = \frac{\sqrt{L_0}}{C_0} \cdot \frac{U(e^{pt_0} - e^{-pt_0})}{p^2 l L_0} = \\ &= \frac{U}{2 p^2 T_0} (1 - e^{-2pT_0}). \end{aligned} \quad (\text{A.10.12})$$

Conform [11] originalul expresiei (A.10.12) este indicat în fig. A.10.1, b. Se observă că $u_{m1}(t)$ variază aperiodic și ajunge după $t = 2T_0$ la valoarea U_0 .

Timpul de răspuns corespunzător fenomenului de propagare pe linia adaptată este, conform fig. A.10.1, b, egal cu $T_0 = \sqrt{LC}$.



A.10.1. Referitor la adaptarea internă a șuntului coaxial.

Anexa 11

Deducerea relației (A.41). Notind transformatele Laplace cu litere mari runde, din relațiile (4.37), (4.38), (4.39) se obține :

$$\frac{d\mathcal{U}}{d\alpha} = - \frac{\mathcal{J}_1}{pK_{01}}; \quad (\text{A.11.1})$$

$$\frac{d\mathcal{U}}{dx} = - \left(pL_0 + \frac{1}{pK_{02}} + R_0 \right) \mathcal{J}_2; \quad (\text{A.11.2})$$

$$\frac{d\mathcal{J}_1}{dx} + \frac{d\mathcal{J}_2}{dx} = - pC_0 \mathcal{U}. \quad (\text{A.11.3})$$

Prin derivarea în raport cu x a primelor două relații și introducerea în a treia se obține

$$\frac{d^2\mathcal{U}}{dx^2} - \frac{C_0 L_0 (p^2 + pR_0/L_0 + 1/L_0 K_{02})}{K_{01} L_0 (p^2 + pR_0/L_0 + 1/L_0 K_{02}) + 1} = 0. \quad (\text{A.11.4})$$

Se notează

$$\lambda = \sqrt{\frac{C_0 L_0 (p^2 + pR_0/L_0 + 1/L_0 K_{02})}{K_{01} L_0 (p^2 + pR_0/L_0 + 1/L_0 K_{02}) + 1}} \quad (\text{A.11.5})$$

și se păstrează notațiile (4.36). Se obține astfel

$$\lambda = \frac{1}{l} \sqrt{\frac{LC(p^2 + pR/L + 1/LK_2)}{K_1 L(p^2 + pR/L + 1/LK_2)}} = \frac{1}{l} \alpha \quad (\text{A.11.6})$$

cu

$$\alpha = \frac{LC(p^2 + pR/L + 1/LK_2)}{K_1 L(p^2 + pR/L + 1/LK_2)}. \quad (\text{A.11.7})$$

Soluția generală, în domeniul imagine, a ecuației (A.11.4) este

$$\mathcal{U} = A e^{\lambda x} + e^{-\lambda x}. \quad (\text{A.11.8})$$

Condițiile la limită sunt :

- pentru $x = 0$; $u = 0$; $\mathcal{U} = 0$;
- pentru $x = l$; $u = U$; $\mathcal{U} = U/p$.

Rezultă astfel soluția în domeniul imagine

$$\mathcal{U} = \frac{U}{p} \cdot \frac{\operatorname{sh} \frac{x}{l} \sqrt{\alpha}}{\operatorname{sh} \sqrt{\alpha}} = \frac{U}{p} \cdot \frac{1}{f(p)}, \quad (\text{A.11.9})$$

cu

$$f(p) = \frac{\operatorname{sh} \sqrt{\alpha}}{\operatorname{sh} \frac{x}{l} \sqrt{\alpha}}. \quad (\text{A.11.10})$$

Functia originală se calculează cu formula dezvoltării a lui Heaviside

$$u(t) = U \left[\frac{1}{f(0)} + \sum_{i=1}^n \frac{e^{p_i t}}{p_i f'(p_i)} \right], \quad (\text{A.11.11})$$

unde p_i sunt valorile care anulează $f(p)$. Se observă că

$$f(0) = \operatorname{sh} \frac{\sqrt{\frac{C}{K_1 + K_2}}}{\operatorname{sh} \frac{x}{l} \sqrt{\frac{C}{K_1 + K_2}}}. \quad (\text{A.11.12})$$

Prin dezvoltarea în serie a numărătorului și a numitorului din relația (A.11.12) se obține

$$f(0) = \frac{1 + \frac{C}{6(K_1 + K_2)}}{\frac{x}{l} + \frac{x^2}{l^2} \cdot \frac{C}{K_1 + K_2}} \approx \frac{1 + \frac{C}{6(K_1 + K_2)}}{\frac{x}{l}},$$

deoarece $x/l \ll 1$ și $C/(K_1 + K_2) \ll 1$. Ca urmare,

$$\frac{1}{f(0)} = \frac{l}{x} \cdot \frac{1}{1 + \frac{1}{6(K_1 + K_2)}} \approx \frac{x}{l} \left(1 - \frac{1}{6(K_1 + K_2)} \right). \quad (\text{A.11.13})$$

Rădăcinile numitorului în relația (A.11.9) se anulează pentru $\operatorname{sh} \sqrt{\alpha} = 0$ sau ținând seama de relațiile între funcțiile trigonometrice și cele hiperbolice pentru $\frac{1}{J} \sin j \sqrt{\alpha} = 0$, adică pentru

$$j\sqrt{\alpha} = n\pi, \quad (A.11.14)$$

$$n = 1, 2, 3, \dots,$$

din (A.11.14) și (A.11.7) se obține ecuația în p

$$p^2(n^2\pi^2K_1L + LC) + p(K_1Rn^2\pi^2 + RC) + n^2\pi^2(1 + K_1/K_2) + C/K_2 = 0 \quad (A.11.15)$$

cu rădăcinile

$$p_i = -\delta \pm \omega_e \quad (A.11.16)$$

și notările :

$$\delta = R/2L \quad (4.42)$$

$$\omega_e = \sqrt{\left(\frac{R}{2L}\right)^2 - \frac{1 + \frac{K_1}{K_2} + \frac{C}{K_2 n^2 \pi^2}}{\frac{LC}{n^2 \pi^2} \left(1 + \frac{K_1 n^2 \pi^2}{C}\right)}} = \sqrt{\delta^2 - \omega_0^2} \quad (4.43)$$

$$\omega_0^2 = \frac{1 + \frac{K_1}{K_2} + \frac{C}{K_2 n^2 \pi^2}}{\frac{LC}{n^2 \pi^2} \left(1 + \frac{K_1 n^2 \pi^2}{C}\right)}. \quad (4.44)$$

Se poate acum calcula

$$f'(p_i) = \frac{\operatorname{sh} \frac{x}{l} \sqrt{\alpha} \cdot \operatorname{ch} \sqrt{\alpha} - \frac{\alpha'}{2\sqrt{\alpha}} - \operatorname{sh} \sqrt{\alpha} \operatorname{ch} \frac{x}{l} \sqrt{\alpha} \cdot \frac{x}{l} \cdot \frac{\alpha}{2\sqrt{\alpha}}}{\left[\operatorname{sh} \frac{x}{l} \sqrt{\alpha}\right]^2}.$$

Pentru $\frac{x}{l} \ll 1$ se poate considera $\operatorname{sh} \frac{x}{l} \sqrt{\alpha} \approx \frac{x}{l} \sqrt{\alpha}$ și $\operatorname{ch} \sqrt{\alpha} \approx 1$.

Se obține astfel

$$f'(p_i) = \frac{l}{x} \cdot \frac{\alpha'}{2\alpha} \left[\operatorname{ch} \sqrt{\alpha} - \frac{1}{\sqrt{\alpha}} \operatorname{sh} \sqrt{\alpha} \right]. \quad (\text{A.11.17})$$

Se calculează $\alpha' = d\alpha/dp$ din relația (A.11.7) cu observația $K_1/K_2 \ll 1$; se obține

$$\alpha' = \pm 2l\omega_e(C + K_1 n^2 \pi^2)^2/C, \quad (\text{A.11.18})$$

se mai observă că

$$\operatorname{ch} \sqrt{\alpha} = \operatorname{ch}(-jn\pi) = \cos n\pi = (-1)^n;$$

$$\operatorname{sh} \sqrt{\alpha} = \operatorname{sh}(-jn\pi) = -j \sin n\pi = 0; \quad (\text{A.11.19})$$

$$\alpha = (\sqrt{\alpha})^2 = (-j n\pi)^2 = -n^2 \pi^2.$$

Cu aceste elemente determinate se poate calcula expresia (A.11.17)

$$f'(p) = \frac{l}{x} \cdot \frac{(-1)^n [\pm L\omega_e(C + K_1 n^2 \pi^2)^2]}{-C n^2 \pi^2}.$$

Se obține astfel soluția în original

$$u(t) = U \frac{x}{l} \left[1 - \frac{C}{6(K_1 + K_2)} e^{-\delta t} \sum_{n=1}^{\infty} \frac{(-1)^n e^{\pm \omega_e t} C n^2 \pi^2}{(-\delta \pm \omega_e)(\pm \omega_e)L(C + K_1 n^2 \pi^2)^2} \right], \quad (\text{A.11.20})$$

dar se observă că, pentru înregistrarea numai a soluțiilor distințe se poate scrie

$$\begin{aligned} \frac{e^{\pm \omega_e t}}{(-\delta \pm \omega_e)(\pm \omega_e)} &\rightarrow \frac{e^{\omega_e t}}{(-\delta + \omega_e)\omega_e} + \frac{e^{-\omega_e t}}{(\delta + \omega_e)\omega_e} = \\ &= 2 \left(\operatorname{ch} \omega_e t + \frac{\delta}{\omega_e} \operatorname{sh} \omega_e t \right) / (\omega_e^2 - \delta^2). \quad (\text{A.11.21}) \end{aligned}$$

Dar

$$\omega_e^2 - \delta^2 = - \frac{1 + \frac{K_1}{K_2} + \frac{C}{K_2 n^2 \pi^2}}{\frac{LC}{n^2 \pi^2} \left(1 + \frac{K_1 n^2 \pi^2}{C}\right)}. \quad (\text{A.11.22})$$

Expresiile (A.11.21) și (A.11.22) se introduc în (A.11.20) și se obține relația finală (4.41).

Anexa 12

Deducerea relației (4.51). Din ecuațiile (4.49) și (4.50) transcrise în imagine Laplace se obține

$$\frac{d^2\mathcal{U}}{dx^2} = - \left(\frac{1}{K_0 p} + R_0 \right) \mathcal{J}; \quad (\text{A.12.1})$$

$$\frac{d\mathcal{J}}{dx} = - C_0 p^2 \mathcal{U}, \quad (\text{A.12.2})$$

din care rezultă

$$\frac{d^2\mathcal{U}}{dx^2} - \frac{C_0(1 + R_0 K_0 p)^2 \mathcal{U}}{K_0} = 0, \quad (\text{A.12.3})$$

cu soluția în imagine, (vezi anexa 11), la excitarea treaptă U de tensiune

$$\mathcal{U} = \frac{U}{p} \cdot \frac{\sin h \lambda x}{\sin h \lambda l} = \frac{U}{p} \cdot \frac{\operatorname{sh} \frac{x}{l} \sqrt{\alpha}}{\operatorname{sh} \sqrt{\alpha}} = \frac{U}{p} \cdot \frac{1}{f(p)} \quad (\text{A.12.4})$$

unde :

$$\lambda = \sqrt{\frac{C_0(1 + R_0 K_0 p)}{K_0}} = \frac{1}{l} \sqrt{\alpha}; \quad (\text{A.12.5})$$

$$\alpha = \frac{C(1 + R K p)}{K}. \quad (\text{A.12.6})$$

Soluția în domeniul original se obține cu relația de tipul (A.11.11). În acest scop se calculează

$$f(0) = \frac{\operatorname{sh} \sqrt{\frac{C}{K}}}{\operatorname{sh} \frac{x}{l} \sqrt{\frac{C}{K}}} = \frac{1 + \frac{C}{6K}}{\frac{x}{l} \left(1 + \frac{1}{6} \cdot \frac{x^2}{l^2} \cdot \frac{C}{K} \right)}$$

Pentru $x/l \ll 1$ rezultă astfel

$$\frac{1}{f(0)} = \frac{x}{l} \cdot \frac{1}{1 + \frac{1}{6} \frac{C}{K}} \approx \frac{x}{l} \left(1 - \frac{1}{6} \cdot \frac{C}{K} \right); \quad (\text{A.12.7})$$

Pentru a găsi rădăcinile numitorului în relația (A.12.4) se observă că

$$\operatorname{sh} \sqrt{\alpha} = \frac{1}{j} \sin \sqrt{\alpha} = 0 \text{ și deci } j \sqrt{\alpha} = n\pi \text{ sau } \sqrt{\alpha} = -jn\pi,$$

adică

$$\sqrt{\frac{C(1+RKp)}{K}} = -jn\pi, \text{ cu } n = 1, 2, 3 \dots \quad (\text{A.12.8})$$

Se obține astfel

$$p_i = -\frac{n^2\pi^2 K + C}{CKR}; \quad (\text{A.12.9})$$

se calculează

$$f'(p_i) = \frac{l}{x} \cdot \frac{\alpha'}{\alpha} \left(\operatorname{ch} \sqrt{\alpha} - \frac{1}{\alpha} \operatorname{sh} \sqrt{\alpha} \right);$$

$$\alpha' = RC;$$

$$\operatorname{ch} \sqrt{\alpha} = \operatorname{ch} (-jn\pi) = \cos n\pi = (-1)^n;$$

$$\operatorname{sh} \sqrt{\alpha} = \operatorname{sh} (-jn\pi) = -j \sin \pi n = 0;$$

$$\frac{1}{f'(p_i)} = -\frac{x}{l} \cdot \frac{2(-1)^n n^2\pi^2}{RC}.$$

Se obține astfel funcția indicială

$$f(t) = \frac{x}{l} \left[1 - \frac{C}{6K} + 2 \sum_{n=1}^{\infty} \frac{(-1)^n n^2 \pi^2 \exp\left(-\frac{n^2 \pi^2 K + C}{CRK} t\right)}{(n^2 \pi^2 K + C)/K} \right] \quad (\text{A.12.10})$$

din care se deduce relația (4.51).

Anexa 13

Demonstrația relațiilor (4.63) și (4.65). Ecuațiile (4.60), (4.61), (4.62) transcrise în imagine Laplace au forma :

$$\begin{aligned} \frac{d^3 u}{dx^3} &= -R_{01} J_1; \\ \frac{d^3 u}{dx^3} &= -\left(\frac{1}{pK_{02}} + R_{02}\right) J_2; \\ \frac{d^2 J_1}{dx^2} + \frac{dJ_2}{dx} &= -p C_0 u, \end{aligned} \quad (\text{A.13.1})$$

din care rezultă

$$\frac{d^2 u}{dx^2} - \frac{p C_0 R_{01} (p R_{02} K_{02} + 1)}{p(R_{02} K_{02} + R_{01} K_{02}) + 1} = 0. \quad (\text{A.13.2})$$

Soluția în imagine a ecuației diferențiale (A.13.2), pentru excitația treaptă de tensiune $u = U$, este

$$u = \frac{U}{p} \cdot \frac{\operatorname{sh} \lambda x}{\operatorname{sh} \lambda l} \quad (\text{A.13.3})$$

unde :

$$\lambda = \sqrt{\frac{p^2 R_{01} R_{02} C_0 K_{02} + p C_0 R_{01}}{p(R_{02} K_{02} + R_{01} K_{02}) + 1}} \quad (\text{A.13.4})$$

Dacă se ține seama de ecuațiile de legătură (4.59), între mărimele lineice și cele totale ale divizorului rezultă soluția în imagine sub forma

$$\frac{U}{p} = \frac{1}{\operatorname{sh} \sqrt{\alpha}} = \frac{U}{p} \cdot \frac{1}{f(p)} = \frac{U}{\operatorname{sh} \frac{x}{l} \sqrt{\alpha}} \quad (\text{A.13.5})$$

unde

$$\alpha = \frac{p^2 R_1 R_2 C K_2 + p C R_1}{p(R_2 K_2 + R_1 K_2) + 1} \quad (\text{A.13.6})$$

Soluția în domeniul original este de forma ecuației (A.11.11). În acest scop, se calculează $1/f(0)$ prin dezvoltarea în serie a numitorului și numărătorului și ținând seama că $x \ll l$. Astfel, rezultă

$$\frac{1}{f(p)} = \frac{1}{f(0)} = \frac{\frac{x}{l} + \frac{x^3}{l^3} \cdot \frac{\alpha}{6} + \frac{x^5}{l^5} \cdot \frac{\alpha^2}{120}}{1 + \frac{\alpha}{6} + \frac{\alpha^2}{120}} = \frac{x}{l} \quad (\text{A.13.7})$$

Pentru a calcula rădăcinile p_i ale numitorului, se observă că numitorul în relația (A.13.5) se anulează dacă

$$\operatorname{sh} \sqrt{\alpha} = \frac{1}{j} \sin j\sqrt{\alpha} = 0, \quad (\text{A.13.8})$$

adică pentru

$$\sqrt{\alpha} = -jn\pi, \quad (\text{A.13.9})$$

ceea ce conduce la ecuația

$$p^2 R_1 R_2 C K_2 + p [C R_1 + n^2 \pi^2 K_2 (R_1 + R_2)] + n^2 \pi^2 = 0$$

cu rădăcinile

$$p_i = \frac{-C R_1 - n^2 \pi^2 K_2 (R_1 + R_2)}{2 R_1 R_2 C K_2} \pm \sqrt{\frac{C R_1 + n^2 \pi^2 K_2 (R_1 + R_2)}{2 R_1 R_2 C K_2} - \frac{n^2 \pi^2}{R_1 R_2 C K_2}}. \quad (\text{A.13.10})$$

Pentru $R_1 \gg R_2$ și $K_2 \gg \frac{C}{n^2\pi^2}$ relația (A.13.10) se transformă în

$$p_i = -a \pm b$$

$$a = \frac{n^2\pi^2}{2R_2C}; \quad b = \sqrt{\left(\frac{n^2\pi^2}{2R_2C}\right)^2 - \frac{n^2\pi^2}{R_1R_2CK_2}}; \quad (\text{A.13.11})$$

Pentru a folosi expresia (A.11.17) pentru $f'(p)$, se calculează α' în ipoteza că $R_1 \gg R_2$ și se obține

$$\alpha' = R_2 C \frac{\frac{p^2}{R_1K_2} p + \frac{1}{R_1R_2K_2^2}}{p^2 + \frac{2}{R_1K_2} p + \frac{1}{K_2^2R_1^2}}. \quad (\text{A.13.12})$$

Prin introducerea în (A.13.12) a expresiei p_i din (A.13.11) se obține

$$\alpha' = \frac{\pm b \frac{n^2\pi^2}{R_2C} + \frac{n^4\pi^4}{2R_2^2C^2} + \left(1 + \frac{2R_2C^2}{R_1K_2^2n^4\pi^4}\right)}{\pm b \frac{n^2\pi^2}{R_2C} + \frac{n^2\pi^4}{2R_2^2C^2} \left(1 + \frac{2R_2^2C^2}{K_2^2R_1^2n^4\pi^4}\right)} \cdot R_2C. \quad (\text{A.13.13})$$

Dar cum $R_1 \gg R_2$ și $K_2 > C$ din relația (A.13.13) rezultă

$$\alpha' \approx R_2C. \quad (\text{A.13.14})$$

În relația (A.11.17) se observă :

$$\operatorname{ch} \bar{\alpha} = \operatorname{ch}(-jn\pi) = \cos n\pi = (-1)^n;$$

$$\operatorname{sh} \bar{\alpha} = \operatorname{sh}(jn\pi) = -j \sin n\pi = 0;$$

$$\alpha = -n^2\pi^2,$$

astfel că pentru $f'(p)$ se obține

$$f'(p) = \frac{l}{x} \cdot \frac{R_2C(-1)^n}{-2n^2\pi^2}; \quad (\text{A.13.15})$$

iar funcția indicială rezultă

$$f(t) = \frac{x}{l} \left[1 - \frac{2}{R_2 C} \sum_{n=1}^{\infty} \frac{(-1)^n \pi^2 n^2}{(-a \pm b)} e^{(-a \pm b)t} \right]. \quad (\text{A.13.16})$$

Pentru a extrage soluțiile distincte din relația (A.13.16) se observă că

$$\frac{e^{-a \pm bt}}{-a \pm b} \rightarrow -R_1 K_2 e^{-at} \left(\operatorname{ch} bt + \frac{b}{a} \operatorname{sh} bt \right). \quad (\text{A.13.17})$$

Rezultă astfel pentru funcția indicială din (A.13.16) expresia

$$f(t) = \frac{x}{l} \left[1 + \frac{2 R_1 K_2}{R_2 C} \sum_{n=1}^{\infty} (-1)^n n^2 \pi^2 e^{-at} \left(\operatorname{ch} bt + \frac{b}{a} \operatorname{sh} bt \right) \right] \quad (\text{A.13.18})$$

și pentru răspunsul la excitația treaptă de amplitudine U , relația (4.63).

Dacă rezistența longitudinală $R_1 \rightarrow \infty$ rezultă din relația (A.13.11)

$$p_i = -\frac{n^2 \pi^2}{R_2 C}, \quad (\text{A.13.19})$$

iar în locul relației (A.13.16) respectiv (A.13.18) se obține

$$f(t) = \frac{x}{l} \left[1 + 2 \sum_{n=1}^{\infty} (-1)^n \exp \left(-\frac{n^2 \pi^2}{R_2 C} t \right) \right], \quad (\text{A.13.20})$$

din care rezultă relația (4.65).

Anexa 14

Deducerea relației (4.66). Ecuațiile telegraștilor pentru o linie fără pierderi sint :

$$\begin{aligned} -\frac{\partial u}{\partial x} &= L_0 \frac{\partial i}{\partial t}; \\ -\frac{\partial i}{\partial x} &= C_0 \frac{\partial u}{\partial t}; \end{aligned} \quad (\text{A.14.1})$$

Prin aplicarea transformării Laplace se obține

$$\frac{d^2\mathcal{U}}{dx^2} - \gamma^2 \mathcal{U} = 0; \quad (\text{A.14.2})$$

$$\mathfrak{J} = - \frac{1}{pL_0} \cdot \frac{\partial \mathcal{U}}{\partial x}, \quad (\text{A.14.3})$$

unde

$$\gamma = p \sqrt{L_0 C_0}.$$

Soluția ecuației (A.14.1) sub formă generală este

$$\mathcal{U} = A_1(p) e^{-\gamma x} + A_2(p) e^{\gamma x}, \quad (\text{A.14.4})$$

iar pentru relația (A.14.3), ținând seama că impedanța caracteristică $Z_c = \sqrt{L_0/C_0}$, rezultă

$$\mathfrak{J} = \frac{1}{Z_c} [A_1(p) e^{-\gamma x} - A_2(p) e^{\gamma x}]. \quad (\text{A.14.5})$$

Dacă se notează viteza de propagare $v = 1/\sqrt{L_0 C_0}$ se obțin soluțiile în domeniul imagine :

$$\mathcal{U} = A_1(p) e^{-p \frac{x}{v}} + A_2(p) e^{p \frac{x}{v}} = \mathcal{U}_d + \mathcal{U}_r; \quad (\text{A.14.6})$$

$$\mathfrak{J} = \frac{1}{Z_c} [A_1(p) e^{-p \frac{x}{v}} - A_2(p) e^{p \frac{x}{v}}] = \mathfrak{J}_d + \mathfrak{J}_r. \quad (\text{A.14.7})$$

Dacă se notează

$$\mathcal{L}^{-1} A_1(p) = f_1(t);$$

$$\mathcal{L}^{-1} A_2(p) = f_2(t),$$

rezultă [3] :

$$\left. \begin{aligned} \mathcal{L}^{-1} A_1(p) e^{-p \frac{x}{v}} &= f_1 \left(t - \frac{x}{v} \right) \\ \mathcal{L}^{-1} A_2(p) e^{p \frac{x}{v}} &= f_2 \left(t + \frac{x}{v} \right) \end{aligned} \right\} t \geq \frac{x}{v} \geq 0,$$

iar soluțiile în domeniul original sint:

$$u(t) = f_1\left(t - \frac{x}{v}\right) + f_2\left(t + \frac{x}{v}\right);$$

$$i(t) = \frac{1}{Z_c} \left[f_1\left(t - \frac{x}{v}\right) - f_2\left(t + \frac{x}{v}\right) \right]. \quad (\text{A.14.8})$$

Dacă se notează :

unda directă de tensiune $f_1\left(t - \frac{x}{v}\right) = u_d$;

unda reflectată de tensiune $f_2\left(t + \frac{x}{v}\right) = u_r$;

unda directă de curent $f_1\left(t - \frac{x}{v}\right)/Z_c = i_d$;

unda reflectată de curent $f_2\left(t + \frac{x}{v}\right)/Z_c = i_r$,

rezultă ecuațiile generale :

$$u(t) = u_d + u_r;$$

$$i(t) = i_d - i_r. \quad (\text{A.14.9})$$

În cazul fig. 4.24, în domeniul imagine, se poate scrie în punctul *C* :

$$\mathcal{U}_c = \mathcal{U}_d + \mathcal{U}_r = \mathcal{I}_c \cdot \mathfrak{Z}; \quad (\text{A.14.10})$$

$$\mathcal{I}_c = \mathcal{I}_d - \mathcal{I}_r = \frac{1}{\mathfrak{Z}_c} (\mathcal{U}_d - \mathcal{U}_r). \quad (\text{A.14.11})$$

De unde rezultă

$$\mathcal{U}_r = \mathcal{U}_c \frac{\mathfrak{Z} - \mathfrak{Z}_c}{\mathfrak{Z} + \mathfrak{Z}_c}. \quad (4.66)$$

Anexa 15

Deducerea relației (4.112). Timpul de răspuns se obține cu ajutorul relațiilor (4.91) ... (4.94) în succesiunea următoare :

a. Timpul de răspuns al divizorului

$$T_d = \frac{A_{11}^{d'}}{A_{11}^d(0)} = \frac{\frac{R^2 C}{6 R_2}}{\frac{R}{R_2}} = \frac{R C}{6} = T_3. \quad (\text{A.15.1})$$

b. Timpul de răspuns corespunzător reflexiei la intrare în divizor ; se observă că $\tilde{\mathcal{Z}}(p) = Z_c$,

$$T_{kc} = - \frac{k'_c(0)}{1 + k_c(0)} = \frac{T_2 + T_3 Z_c / R}{1 + Z_c / R}. \quad (\text{A.15.2})$$

c. Timpul de răspuns corespunzător reflexiei la amortizare

$$T_{kb} = - \frac{k'_b(0)}{1 + k_b(0)} = 0 \quad (\text{A.15.3})$$

deoarece $k_b(p) = 0$ la adaptarea liniei cu impedanță de amortizare

d. $\tilde{\mathcal{Z}}_a(0)/\tilde{\mathcal{Z}}_c = 1.$ (A.15.4)

e. Expresia

$$\frac{\frac{\tilde{\mathcal{Z}}_a(0)}{\tilde{\mathcal{Z}}_c} \frac{\tilde{\mathcal{Z}}_a(0)}{\tilde{\mathcal{Z}}_c} + \tilde{\mathcal{Z}}_c}{\tilde{\mathcal{Z}}_a(0) + \tilde{\mathcal{Z}}_a(0)} = 1. \quad (\text{A.15.5})$$

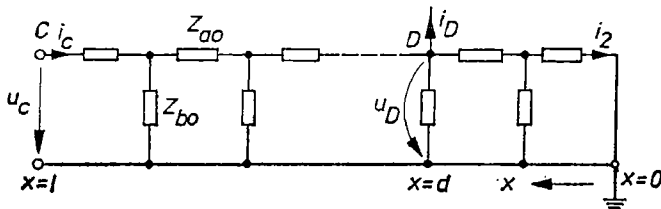
f. Expresia

$$\frac{\tilde{\mathcal{Z}}_a(0) + \tilde{\mathcal{Z}}_c}{\tilde{\mathcal{Z}}_a(0) + \tilde{\mathcal{Z}}_a(0)} = 1. \quad (\text{A.15.6})$$

Prin introducerea relațiilor (A.15.1)...(A.15.6) în relația (4.91) se obține (4.112).

Anexa 16

Expresiile parametrilor fundamentali ai unui lanț de cuadripoli ce modelează un divizor de tensiune. În fig. A. 16.1 se prezintă schema lanțului de cuadripoli, în care C este borna de intrare în divi-



A.16.1. Relativ la determinarea parametrilor fundamentali ai lanțului de cuadripoli ce modelează un divizor de tensiune.

zor, iar D este borna de ieșire din care se extrage curentul i_D . S-a mai notat :

$\tilde{Z}_{a0}(p)$ — impedanță lineică operațională longitudinală ;

$\tilde{Z}_{b0}(p)$ — impedanță lineică operațională transversală.

În general, pentru o linie cu constante uniform repartizate, ecuațiile tensiunii și curentului, la distanța x , sint :

$$\left. \begin{aligned} U_x &= U_2 \operatorname{ch} \gamma x + J_2 \tilde{Z}_c \operatorname{sh} \gamma x \\ J_x &= \frac{U_2}{\tilde{Z}_0} \operatorname{sh} \gamma x + J_2 \operatorname{ch} \gamma x \end{aligned} \right\}. \quad (\text{A.16.1})$$

unde :

$$\left. \begin{aligned} \gamma &= \sqrt{\frac{\tilde{Z}_{a0}}{\tilde{Z}_{b0}}} = \frac{1}{l} \sqrt{\frac{\tilde{Z}_a}{\tilde{Z}_b}} \\ \tilde{Z}_c &= \sqrt{\tilde{Z}_{a0} \tilde{Z}_{b0}} = \sqrt{\tilde{Z}_a \tilde{Z}_b} \\ \tilde{Z}_0 &= \tilde{Z}_{a0} \cdot l; \quad \tilde{Z}_0 = \tilde{Z}_{b0}/l \end{aligned} \right\} \quad (\text{A.16.2})$$

Dacă $\mathfrak{I}_D = 0$, iar linia este scurtecircuitată în punctul $x = 0$, din relațiile (A.16.1) se obține :

$$\left. \begin{aligned} \mathcal{U}_c &= \mathfrak{I}_2 \mathfrak{Z}_c \operatorname{sh} \gamma l \\ \mathfrak{I}_c &= \mathfrak{I}_2 \operatorname{ch} \gamma l \end{aligned} \right\}, \quad (\text{A.16.3})$$

$$\mathcal{U}_D = \mathfrak{I}_2 \mathfrak{Z}_c \operatorname{sh} \gamma d \quad (\text{A.16.4})$$

din care rezultă :

$$\left. \begin{aligned} \mathcal{U}_c &= \mathcal{U}_D \frac{\operatorname{sh} \sqrt{\frac{\mathfrak{Z}_a}{\mathfrak{Z}_b}}}{\operatorname{sh} \frac{d}{l} \sqrt{\frac{\mathfrak{Z}_a}{\mathfrak{Z}_b}}} \\ \mathfrak{I}_c &= \frac{\mathcal{U}_D}{\mathfrak{Z}_c} \cdot \frac{\operatorname{ch} \sqrt{\frac{\mathfrak{Z}_a}{\mathfrak{Z}_b}}}{\operatorname{sh} \frac{d}{l} \sqrt{\frac{\mathfrak{Z}_a}{\mathfrak{Z}_b}}} \end{aligned} \right\}. \quad (\text{A.16.5})$$

Dacă $\mathfrak{I}_D \neq 0$, prin metoda suprapunerii efectelor, din ecuațiile (A.16.1) și (A.16.5) se obțin relațiile finale :

$$\left. \begin{aligned} \mathcal{U}_c &= \mathcal{U}_D \frac{\operatorname{sh} \sqrt{\frac{\mathfrak{Z}_a}{\mathfrak{Z}_b}}}{\operatorname{sh} \frac{d}{l} \sqrt{\frac{\mathfrak{Z}_a}{\mathfrak{Z}_b}}} + \mathfrak{I}_D \mathfrak{Z}_C \operatorname{sh} \frac{l-d}{l} \sqrt{\frac{\mathfrak{Z}_a}{\mathfrak{Z}_b}} \\ \mathfrak{I}_c &= \frac{\mathcal{U}_D}{\mathfrak{Z}_c} \cdot \frac{\operatorname{ch} \sqrt{\frac{\mathfrak{Z}_a}{\mathfrak{Z}_b}}}{\operatorname{sh} \frac{d}{l} \sqrt{\frac{\mathfrak{Z}_a}{\mathfrak{Z}_b}}} + \mathfrak{I}_D \operatorname{ch} \frac{l-d}{l} \sqrt{\frac{\mathfrak{Z}_a}{\mathfrak{Z}_b}} \end{aligned} \right\}. \quad (\text{A.16.6})$$

Prin trecerea la componente discrete ale divizorului de tensiune, lungimii l îi corespund m cuadripoli, iar lungimii d îi corespund n

cuadripoli. Astfel, parametrii fundamentali ai lanțului de cuadripoli, corespunzători divizorului de tensiune, rezultă [71] :

$$\left. \begin{aligned} A_{11}^t &= \frac{\operatorname{sh} \sqrt{\frac{Z_a}{Z_b}}}{\operatorname{sh} \frac{n}{m} \sqrt{\frac{Z_a}{Z_b}}}; \quad A_{12}^t = Z_c \operatorname{sh} \frac{m-n}{m} \sqrt{\frac{Z_a}{Z_b}} \\ A_{21}^t &= \frac{1}{Z_c} \frac{\operatorname{ch} \sqrt{\frac{Z_a}{Z_b}}}{\operatorname{sh} \frac{n}{m} \sqrt{\frac{Z_a}{Z_b}}}; \quad A_{22} = \operatorname{ch} \frac{m-n}{m} \sqrt{\frac{Z_a}{Z_b}} \end{aligned} \right\}. \quad (\text{A.16.7})$$

Anexa 17

Metoda Bergeron aplicată la un sistem de măsurare [50, 56]. Această metodă se bazează pe teoria undelor mobile (vezi A.14) aplicată unei linii fără pierderi. Soluțiile (A.14.8) se mai pot scrie sub forma :

$$\left. \begin{aligned} u &= g_1(x - vt) + g_2(x + vt) \\ i &= \frac{1}{Z_c} [g_1(x - vt) - g_2(x + vt)] \end{aligned} \right\}. \quad (\text{A.17.1})$$

Prin ordonarea, respectiv scăderea ecuațiilor, se obține :

$$\left. \begin{aligned} u + Z_c i &= 2g_1(x - vt) \\ u - Z_c i &= 2g_2(x + vt) \end{aligned} \right\}. \quad (\text{A.17.2})$$

După ideea lui Bergeron interpretarea acestor ecuații se face în felul următor :

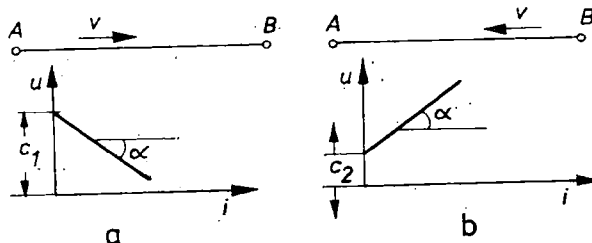
Pentru un observator care se deplasează odată cu unda directă de la extremitatea A a liniei către extremitatea B , ca în fig. A.17.1, a , starea electrică este descrisă de relația

$$u + Z_c i = C_1. \quad (\text{A.17.3})$$

Dacă observatorul călătorește din B în A odată cu unda reflectată, ca în fig. 9.17.1, b, starea electrică este descrisă de relația

$$u - Z_c i = C_2, \quad (\text{A.17.4})$$

în care C_1 și C_2 sunt constante determinate de condițiile inițiale de la extremitățile liniei. Ecuațiile (A.17.3) și (A.17.4) sunt reprezentate în



A.17.1. Relativ la metoda Bergeron.

diagrame u , i ca în fig. A.17.1, prin dreptele Bergeron. Dreapta corespunzătoare undei directe are panta $\operatorname{tg} \alpha = -Z_c$, iar dreapta corespunzătoare undei reflectate are panta $\operatorname{tg} \alpha = Z_c$.

În cazul sistemului de măsurare, linia prezintă în amonte rezistență de amortizare R_a , iar în aval rezistență divizorului R , ca în fig. A.17.2.

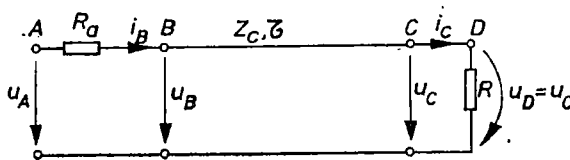


Fig. A.17.2. Sistem de măsurare cu rezistență de amortizare R_a , linie de racord Z_c și rezistență R .

Etapele de calcul ale metodei grafice Bergeron sunt :

a) se aleg scările pentru curenti și tensiuni și se calculează

$$\operatorname{tg} \alpha = \frac{u}{i} = \pm Z_c;$$

b) se introduc în diagramă relațiile $u = f(i)$ pentru extremitățile B și C ale liniei, adică

$$u_B = u_A - R_a \cdot i_B \text{ și } u_C = R_d i_C \text{ ca în fig. A.17.3, a ;}$$

c) se stabilește starea electrică a punctului B la $t = 0$ în felul următor : se presupune o undă reflectată plecind din C la $t = -\tau$, adică din punctul $C_{-1\tau}(0,0)$ din diagramă ; unda ajunge în punctul B la $t = 0$, adică în punctul $B_{0\tau}$ din diagramă ; acest punct se găsește la intersecția dreptei Bergeron 1 și a dreptei $u_B = u_A - R_a i_B$;

e) pentru obținerea stării electrice la $t = \tau$ în C , se desenează dreapta Bergeron 2, corespunzătoare undei directe și la intersecția ei cu $u_C = R_d i_C$ se obține $C_{1\tau}$ și.a.m.d.

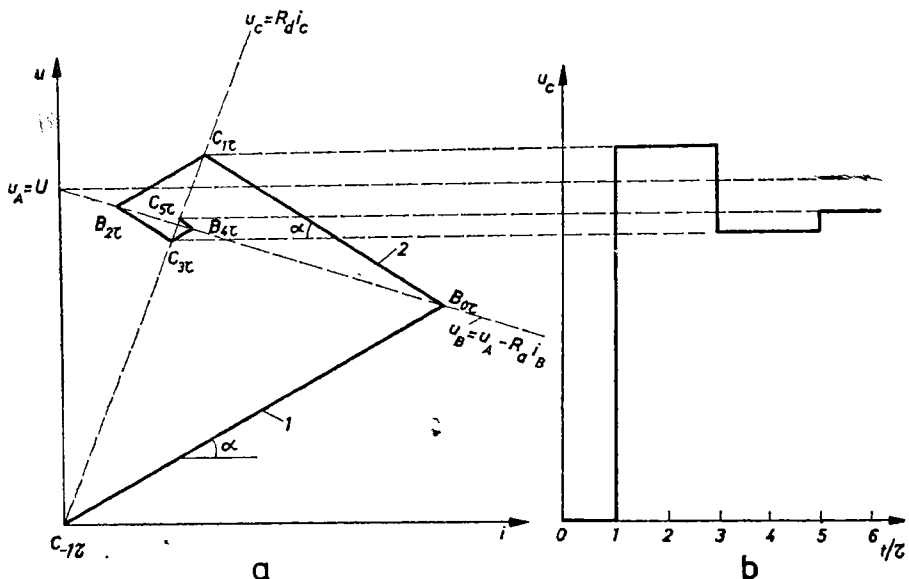


Fig. A.17.3. Construcție grafică :

a – diagrama $u=f(i)$; b – diagrama răspunsului în tensiune $u_c=f(t)$.

În fig. A.17.3, b se trasează variația tensiunii $u_c = f(t)$, adică a răspunsului. Metoda Bergeron se pretează la programarea pe calculator [12].

B i b l i o g r a f i e

- 1 Asner, A. **Stosspannungsmesstechnik.** Berlin-Heidelberg-New York, Springer — Verlag, 1974.
- 2 Avramescu, A. **Über die Zeitkonstante des Skinefektes.** „ETZ—A”, **3**, p. 78—82, (1959).
- 3 AEG — **Hilfsbuch 1. Grundlagen der Elektrotechnik,** Berlin Verlag Elitera, 1972.
- 4 Bahrs, D. **Zu Problemen der Spannungsmessung in der elektrischen Hochleistungstechnik.** „Wissenschaftlich — technische Mitteilung IPH” **12**, p. 21—26 (1971).
- 5 Burch, **On potential dividers for cathode ray oscillograph.** „Phil. Mag., Seria VII, vol. 13, p. 760, (1932).
- 6 Cartianu, G. **Analiza și sinteza circuitelor electrice.** București, Editura didactică și pedagogică, 1972.
- 7 Constantinescu, E. **Calecul efectului pelicular și determinarea stabilității termice a conductorilor cilindrici masivi la curentul de soc.** „Buletinul științific al Academiei R.P.R.”, Secțiunea de științe tehnice și chimice tom IV, **3—4**, p. 255—270 (1952).
- 8 Creed, F., Kawamura, T., Newi, G. **Step response of Measuring Systems for High Impulse Voltages.** „IEEE Transactions”, PAS—86, **11**, p. 1408—1420, (1967).
- 9 Debelle, I. **Determination de la transmittance d'un Systeme lineaire à partir de sa réponse indicielle.** „Revue trimestrielle d'automatique”, vol. IX, **3**, p. 135—144, (1967).
- 10 Dharmalingan, K. și Gururaj, B. I. **Step response of optimally damped. EHV capacitive dividers.** „IEEE Transactions”, PAS vol. 95, p. 1777—1783, (1967).
- 11 Doelsch, G. **Einführung in Theorie und Anwendung der Laplace-Transformation.** Basel und Stuttgart, Birkhäuser Verlag 1958.
- 12 Dommel, H. **Digital Computer Solution of Electromagnetic Transients in Single-and Multiphase Networks.** „Transactions IEEE” PAS — 77, **4**, p. 388—399, (1969).
- 13 Duytschaever, Dick. **Calcul numerique de la reponse en fréquence à partir de la réponse indicielle non idéale.** „Automatisme”, Tome XIII, **1**, Janvier (1968).
- 14 E. d. F. **La mesure des grandeurs électriques à variation ultrarapide.** Electricité de France HP 23—CC/n 6501, 1963.
- 15 M. H. van Eijk. **Guarding techniques.** Number **1**, Number **2**, Philips T & M news 17.7201.20.4100.11 ; 17.7201.20.4130.11.
- 16 Fesser, K. **Bemessung von Elektroden im UHV-Bereich, gezeigt am Beispiel von Toroid-Elektroden für Spannungsteiler.** „Haefely Publication” D1—30 p. **1—7**, (1975).
- 17 Feser, K. **Diviseur de tension d'un type nouveau, destiné à la mesure de tension de choc et de tensions de choc très élevées.** „Bul. ASE”, **62, 19**, p. 929—935, (1971).
- 18 Feser, K. **Transient behaviour of damped dividers of some million volts.** „IEEE Transactions” PAS vol. **93**, p. 116—121, (1974).
- 19 Gardiol, F. **Adaptation conjuguée et adaptation de ligne.** „Bul. SEV” **62, 26**, p. 1249—1251, (1971).

20. Gary, M. G. Shunt coaxial pour la mesure de courants de choc. „RGE”, 65, 5, p. 279–289, (1959).
- 21 Gille, J.C., Decaulne, P., Pelegrin, M. **Theorie et calcul des asservisments lineaires**. Paris, Dunod, 1971.
- 22 Graham, D., Lathrop, R. C. **The Synthesis of „Optimum” Transient Response : Criteria and Standard Forms**. „AIEE Transactions” Part. II, Applications and Industry, Vol. 73, p. 273–288 (1953).!
- 23 Harada, T., Aoshima, . 1 MV Universal voltage divider. „Hochspannungskonferenz”, München, p. 212–216 (1975).
- 24 Harada, R., Kawamura, R., Akatsu, Y. Development of a high quality resistance divider for impulse voltage measurements „Hochspannungskonferenz München” p. 2247–2250, (1975).
- 25 Hölzer, E., Holzwarth, E. **Theorie und Technik der Pulsmodulation**. Berlin/Göttingen/Heidelberg, Springer-Verlag, 1957.
- 26 Hortopan, G. Performanțele divisorului de tensiune mixt, serie R-C. „Electrotehnica” 21, 2, p. 74–79, (1973).
- 27 Hortopan, G., Hortopan, V. Das Verhalten der Koaxialen Messwiderstände beim Messen elektrischer Ströme. „Rev. Roum. Sci. Techn. Electrotechn. et Energ.” 19, 1, p. 41–47, (1974).
- 28 Hortopan, G., Hortopan, V., Trușcă, V. Echipament specific pentru încercarea aparatelor de comutare. „Electrotehnica”, 23, 1, p. 1–8, (1975).
- 29 Hortopan, V. Răspunsul la excitația treaptă de curent a conductorului cilindric plin. „Electrotehnica”, 18, 4, p. 118–121, (1970).
- 30 Hortopan, G. **Tehnica impulsului în laboratorul de înaltă tensiune**. București, Editura tehnică, 1965.
- 31 Hortopan, V. Calculul pierderilor suplimentare de căldură ale conductoarelor cilindrice în regim tranzitoriu. „Electrotehnica”, 24, 1, p. 1–8, (1976).
- 32 Hortopan, G. **Aparate electrice**. — Ediția a II-a. București, Editura didactică și pedagogică, 1972.
- 33 Hortopan, V. Răspunsul la excitația treaptă de curent a conductorului tubular. „Electrotehnica”, 18, 5, p. 160–166, (1970).
- 34 Hortopan, G., Hortopan, V., Pavelescu, D. Criteriile de dimensionare ale șuntului coaxial. „Electrotehnica”, 20, 6, p. 218–224, (1972).
- 35 Hortopan, V. Metode de compensare ale șunturilor coaxiale. „Electrotehnica”, 19, 6, p. 223–227, (1971).
- 36 Hortopan, G., Hortopan, V. Eine allgemeine Theorie der Messwiderstände im Übergangszustand. „ETZA”, 92, 8, p. 470–474, (1971).
- 37 Hortopan, V. Folosirea funcțiilor de transfer la determinarea criteriului de calitate al dispozitivelor de măsură pentru curenți cu variații rapide. „Electrotehnica”, 19, 4, p. 128–133, (1971).
- 38 Hortopan, G. Șunturi coaxiale pentru curenți limită. „Electrotehnica”, 21, 2, p. 53–58, (1977).
- 39 Hortopan, G., Hortopan, V. Șunt coaxial cu timp de răspuns compensat. Certificat de inventator OSIM nr. 58987/1974.
- 40 Jahnke – Emde – Lösch. **Tafeln höherer Funktionen**. Stuttgart Sechste Auflage, Teubner, 1960.

- 41 Isabellenhütte — Manganin. Catalog III B 6 EWD II/68 3 000.
- 42 Kaden, H. *Wirbelströme und Schirmung in der Nachrichtentechnik*. Berlin-Heidelberg-New york, 2 Auflage, Springer, 1959.
- 43 Kalantarov, P. L., Teillin, L. A. *Caleculul inductanțelor* (traducere din limba rusă), București, Editura tehnica, 1958.
- 44 Kesselring, W. *Theoretische Grundlagen-zur Berechnung der Schaltgeräte*. Sammlung Göschen, Berlin, Walter de Gruyter, 1968.
- 45 Lago, B., Eatok, R. *Coaxial Shunts*. Proc IEE vol. 114, 1967, p. 1317—1324.
- 46 Luhrman, H., Melewski. *Sprungantwort und Antwortzeit rohrtörmiger koaxialer Strom-Messwiderstände beliebiger Wandstärke*. „Arch f. Electrotech.“ 57, 3, p. 11—118, (1975).
- 47 Miller, K. W. *Difusion on electric current into rods, tubes and flat surfaces*. „Transactions AIEE“ vol. 66, p. 1496—1502, (1947).
- 48 Mocanu, C. *Bazele electrotehnicii III — 4 Curenți variabili în conductoare masive*, București, Ed. IPB, 1969.
- 49 Möller, K. *Eine einfache Anordnung zum Messen der Rechteckstoss-Wiedergabe von Strom-Messwiderständen kurzer Anstiegszeit*. „ETZA, 89, 17, p. 414—415, (1968).
- 50 Möller, K. *Hochspannungstechnik I, Hilfsblätter zur Vorlesung T. H.*, Aachen, 1976.
- 51 Palva, M. V. *Confrontés aux problèmes de mesure en THT*. „Electra“, 35, p. 157—254, (iulie 1974).
- 52 Park, I. R. *Surge measurement errors introduced by coaxial cables*. „AIEE Transactions vol. 77, Com. & Electronics 37, p. 343—350, (1958).
- 53 Penescu, C. §.a. *Identificarea automată a proceselor automatizate*. București, Editura tehnica, 1971.
- 54 Pfeiffer, W. *Aufbau und Anwendung kapazitiver Spannungsteiler extrem kurzer Anstiegszeit für gasisiolerte koaxialsysteme*. „ETZ-A 94, 2, p. 91—94 (1973).
- 55 Pfeiffer, W. *Impulstechnik*, Wien-München, Carl Hanser-Verlag 1976.
- 56 Prinz, H., Zaengl, W., Völcker, O. *Das Bergeron-Verfahren zur Lösung von Wanderwellenaufgaben*. „Bul. ASE vol. 53, 16, p. 725—739, (1962).
- 57 Rădulef, R. *Bazele teoretice ale electrotehnicii*, Vol. I. București, Litografia învățămintului, 1955.
- 58 Rieder, W., Urbanek, J. *Nouveau aspects de recherches de l'effet du passage à zero du courant sur les réamorages dans les disjoneteurs. Une théorie des conditions de non-équilibre thermique des arcs*. CIGRE“ Rap. 107, (1966).
- 59 Rijanto, Hendro. *Ein experimentelles Verfahren zur Bestimmung von Lichtbogen-kenngrößen*. Hannover, Dissertation T. H. 1975.
- 60 Rijic, I. M., Gradstein, I. S., *Tabele și integrale, sume, serii și produse* (traducere din limba rusă), București, Editura tehnica, 1955.
- 61 Schwab, A., Pagel, I. *Kapazitiver Spannungsteiler*. Jahresbericht 1972, Hochspannungsinstitut T. H. Karlsruhe.
- 62 Schwab, A. *Hochspannungsmesstechnik*, Berlin-Heidelberg, New York, Springer, 1969.
- 63 Schwab, A., Pagel, H. *Precision capacitive Voltage Divider for Impulse Voltage Measurements*. „IEEE Transaction“ PAS vol. 91, 6, p. 2376—2382, (1972).
- 64 Schwab, A. Herold, J. *Elektromagnetische Interferenzerscheinungen Schnell veränderlicher Spannungen und Ströme*. „ATM Blatt“ V 3362, 5, p. 185—188, (1973).

- 65 *Titz, G., Ludu, N., Șerbănescu, M. Indrumar de laborator la Mutatoare*, IPB, 1976.
- 66 *Wilson, W., R. Mankoff, L. L. Short circuit Forces in isolated phase Busses*. „Trans. AIEE PAS” 75, p. 382—395, (1954).
- 67 *Wolf, H. Über den Zusammenhang zwischen Bandbreite und Anstiegszeit*. „Elektronik”, 10, p. 303—308, (1963).
- 68 *Wunsch, G. Theorie und Anwendung linearer Netzwerke. Teil I, Teil II*. Leipzig, Geest & Portig, 1961, 1964.
- 69 *Zaengl, W., Freser, K. Ein Beitrag zur Berechnung des Übertragungsverhaltens von Stoßspannungsteilern*. „Bul. SEV”, 55, 25, S. 1249—1256, (1964).
- 70 *Zaengl, W. „Ein neuer Teiler für steile Stoßspannungen*. „Bul. SEV” 56, 7, p. 232—240, (1965).
- 71 *Zaengl, W. Der Stoßspannungsteiler mit Zuleitung*. „Bul. SEV” 61, 21, p. 1—15, (1970).
- 72 *Zeveke, G., Iankin, P., Netushil, A., Strakhov, S. Analysis of electric Circuits*. Moscow, Mir Publischer, 1969.
- 73 42(BC)27 : *Techniques des essais à haute tension. Dispositifs de mesure. Guide d’application*. Projet, CEI, 1976.
- 74 Publication 60—1. *Techniques des essais à haute tension. Première partie. Définitions et prescriptions générales relatives aux essais*. CEI- Geneve, 1973.
- 75 Publications 60—2. *Techniques des essais à haute tension. Deuxième partie. Modalités d’essais*. Geneve, CEI, 1973.
- 76 Publication 60—3. *Techniques des essais à haute tension. Troisième partie. Dispositifs de mesure*. Geneve, CEI, 1976.
- 77 Publication 71 : *Recommandation pour la coordination de l’isolation*. Geneve, CEI, 1976.

ÎN SERIA ELECTROENERGETICĂ

Au mai apărut:

Nitu V., Albert H., Brădescu M.

Metode statistico-probabilistice utilizate în energetică

Nicolaide A.

Producerea energiei electrice pe cale magnetohidrodinamică

Preda M., Cristea P.

Analiza și sinteza circuitelor electrice

Bălan Gh. §.a.

Coordonarea izolației în sistemele electrice

Penescu C., Călin S.

Protecția prin relee electrice a sistemelor electrice

Gheorghiu N., Militaru P.

Teoria și practica iluminatului electric

Goia L. §. a.

Coroziunea și protecția anticorosivă a conductelor electrice

Hore R. A.

Metode moderne de calcul și proiectare a sistemelor electrice

Dimo P. §. a.

Calculul și proiectarea sistemelor electroenergetice

Müller R.

Protectia contra tensiunilor de atingere în instalațiile de joasă tensiune

Venikov A. V.

Aplicarea teoriei similitudinii și modelării în electroenergetică

Nitu V. §. a.

Instalațiile electrice ale centralelor și stațiilor

Clarke Edith

Analiza circuitelor sistemelor electroenergetice

Savin Gh., Rosman H.

Circuite electrice neliniare și parametrice

Bercovici M., Arie A., Poeată Al.

Rețelele electrice. Calculul electric

Gheorghiu N., Gayraud J., Rădoi A.

Utilizarea energiei electrice în industrie și agricultură

Dan I., Moseanu Al.

Redresoare cu semiconductoare

Happ H.

Diakoptiea – metodă de analiză a sistemelor complexe

Drăgan G. și al.

Supratensiuni interne în sistemele electroenergetice

Antoniu I. S. și al.

Calculul circuitelor electrice în regimuri normale și anormale de funcționare. Probleme

Călin S., Marcus S.

Protecția prin relee a sistemelor electrice. Ediția a II-a

Tănăsescu Fl., Cramariuc R.

Electrostatica în tehnică

Potolea E.

Calculul regimurilor de funcționare a sistemelor electro-energetice

Vor apărea:

Arie A. și al.

Rețelele electrice. Calculul mecanic

Mihăileanu C.

Goluri de tensiune în sistemele electroenergetice



Lei 11